

MIȘCA B.R.H.

FENOMENE DE TRANSPORT ȘI TRANSFER

Presa Universitară Clujeană

BARBU-RADU-HORAȚIU MIȘCA

**ÎNDRUMĂTOR
DE LABORATOR ȘI PROIECT**

PENTRU DISCIPLINA

FENOMENE DE TRANSPORT ȘI TRANSFER

destinat Facultății de Biologie, secția de inginerie biochimică

PRESA UNIVERSITARĂ CLUJEANĂ

2018

Referenți științifici:

Prof. habil. dr. ing. Paizs Csaba

Prof. dr. ing. Alexandru Ozunu

ISBN 978-606-37-0418-5

© 2018 Autorul volumului. Toate drepturile rezervate. Reproducerea integrală sau parțială a textului, prin orice mijloace, fără acordul autorului, este interzisă și se pedepsește conform legii.

Universitatea Babeș-Bolyai
Presa Universitară Clujeană
Director: Codruța Săcelean
Str. Hasdeu, nr. 51
400371 Cluj-Napoca, România
Tel./fax: (+40)-264-597.401
E-mail: editura@editura.ubbcluj.ro
<http://www.editura.ubbcluj.ro/>

Lucrare dedicată familiei mele.



Barbu-Radu-Horațiu MIȘCA

S-a născut în data de 12 Decembrie 1955 în Blaj, jud. Alba, într-o familie de intelectuali ardeleni având rădăcini adânci în viața socială și culturală a comunității. Studiile primare, elementare și liceale sunt urmate la Liceul „Jacob Mureșianu” din străvechiul centru cultural ardelean. În 1974 este declarat „admis” la cursurile Facultății de Chimie Industrială a Universității „Traian Vuia” din Timișoara. După efectuarea stagiului militar „cu termen redus”, urmează studiile universitare dedicate ingineriei chimice. Datorită rezultatelor didactice, sociale și cultural din primii ani de studii, în 1978 este numit „preparator” pe lângă Catedra de Procese de Transfer, Operații și Utilaje în Industria Chimică. Finalizarea pregătirii ostășești, îi conferă gradul de sublocotenent în specialitatea militară 23, geniu chimic. Repartizarea guvernamentală de la finalul studiilor îl aduce la Cluj-Napoca, la Întreprinderea „Napochim” ca inginer chimist stagiar, unde parcurge treptele ingineresti de la șef de atelier, șef de secție și apoi șef a Secției de Producție de Mic Tonaj, (stația pilot), de sub direcția Compartimentului de Cercetare și Proiectare. Aici introduce în producție sau pilotează peste 200 de produse noi sau modernizate. Simultan cu activitatea de la „Napochim”, din anul 1982 activează în calitate de „cadru didactic asociat” la Facultatea de Chimie și Inginerie Chimică a Universității „Babeș-Bolyai”, Cluj-Napoca, la Catedra de Inginerie Chimică, disciplina de Procese de Transfer, Operații și Utilaje în Industria Chimică. În anul 1987 ocupă prin concurs postul de „asistent titular” la aceeași disciplină, la care activează până în prezent. Cursurile de specializare din această perioadă îl ridică la gradul militar de „căpitan în rezervă” și

expert în Protecție Antichimică, Antinucleară și Antibiologică. Urcă scara ierarhiei universitare ca „șef de lucrări” (1992), iar specializările profesionale îl ajută la obținerea titlului de „doctor inginer” (1998), apoi de „conferențiar” (2004). În această perioadă participă la înființarea unor noi secții la Facultatea de Chimie și Inginerie Chimică, (bioingineria, informatica sistemelor chimice, 1996), a Colegiului pentru Protecția Mediului de la Turda, (1998), a Facultății pentru Protecția Mediului și Ingineria Mediului, (2004), a secției de bioinginerie de la Facultatea de Biologie și Geografie, (2007). Pentru toate aceste specializări a inițiat și a participat la înființarea aparaturii de laborator de specialitate, a suporturilor de curs, laborator și seminar, la derularea practicii tehnologice sau a vizitelor profesionale în întreprinderi sau pe teren, specializările sale permițând acest câmp mai larg de activitate. În paralel cu activitatea didactică obligatorie, a participat la elaborarea a peste 80 de studii pentru protecția mediului, bilanțuri de mediu, expertize și studii de impact asupra mediului.

Autorul mulțumește pe această cale întregii familii, educatoarelor, profesorilor, laboranților și tehnicienilor, tuturor celor care m-au educat și sprijinit în întreaga activitate educațională sau profesională. Un cuvânt special de mulțumire este pentru D-l. Prof. emerit dr. ing. Liviu LITERAT și D-l. Chim. Corneliu CRIHĂLMEANU.

Mulțumesc celor care m-au ajutat de-a lungul timpului cu gândul, vorba sau cu fapta.

Lor, tuturor.

Cuvânt înainte

Lucrarea aceasta apare în mod logic și legic în urma publicării în anul 2014 a cursului de FENOMENE de TRANSPORT și TRANSFER, care conține și notițele privind seminarul de sprijin al disciplinei atât în forma tipărită, cât și în forma electronică. În acest fel se întrește sistemul educațional și de instruire, (curs, seminar, laborator și proiect), publicarea prezentei lucrări, din nou, atât în formă tipărită cât și electronic, permite studiul confortabil în bibliotecă sau de pe sistemele electronice.

Materialul didactic este structurat în cinci secțiuni: I). ALGORITMI de CALCUL, II). EXEMPLIFICAREA ALGORITMILOR, III). LUCRĂRI de LABORATOR, IV). ANEXE, și V). BIBLIOGRAFIE.

I). În prima parte este prezentată structura integrală a unui proiect, (chiar și pentru examenul de licență), pe capitole și subcapitole. Dezvoltarea proiectului solicită efectuarea unor calcule justificative pentru dimensionarea aparaturii sau a tehnologiei. În acest scop sunt prezentați 24 algoritmi de calcul pentru operațiile principale utilizate în cadrul bioprocesării materialelor.

II). Secțiunea a II - a prezintă în detaliu exemplificarea elaborării unui bioproces cu aplicarea algoritmilor pentru fiecare operație în parte, cu justificări, mod de calcul, observații și interpretarea rezultatelor. În această parte se insistă asupra proceselor principale din biotehnologie: sterilizarea mediului de cultură, a aparaturii și a aerului necesar proceselor aerobe.

III). S-au ales 9 lucrări de laborator considerate foarte utile atât pentru vizualizarea derulării operațiilor, cât și pentru realizarea și calculul bioproceselor. Pe lângă prezentarea clasică a experimentelor, parte teoretică, instalația experimentală și modul de colectare a datelor, calculul și interpretarea măsurărilor experimentale, sunt prezentate și valori experimentale colectate de către studenți pe aceleași instalații, dar în condiții diferite, în vederea aprofundării cunoștințelor. Lucrările pot fi operate în mai multe moduri, la alegerea conducătorului activităților didactice.

IV). În Anexe sunt cuprinse date, valori ale constantelor fizico-chimice, formule de calcul și alte mărimi necesare efectuării unui calcul pentru un proiect de bioinginerie, pentru lucrările de laborator sau de licență.

V). Partea de bibliografie conține două mari părți. Prima parte conține Bibliografia selectivă, cu un minim necesar de referințe legate direct de bioinginerie, de culturile de microorganism folosite în bioprocесări, aparatura, modalități de operare, dar și exemple practice preluate din industriile de bioprocесare sau valorificarea resurselor regenerabile. Este prezentată și o referință ce prezintă un bioprocес la nivel pilot, material folosit pentru secțiunea de Exemplificare a algoritmilor. Partea a doua conține Bibliografia generală, care cuprinde câteva lucrări de specialitate ce prezintă pe larg procesele, operațiunile, utilajele, modul lor de funcționare și relații de calcul necesare oricăror (bio)procesе. Ambele părți conțin referințe bibliografice în limba română existente în bibliotecile clujene.

In memoriam:



Dorel-Dorinel LUNG

Dl. LUNG Dorel, Dorel pentru cei care-l cunoșteau și au lucrat împreună cu dânsul, s-a născut în Municipiul Cluj-Napoca, la 15 August 1955, dintr-o familie de muncitori români. Clasele I și a II-a le urmează la Liceul „Ioan Bobu”, iar clasele III-VIII la Liceul nr. 15, actualul Liceul „Onisifor Ghibu”, ca urmare a schimbării domiciliului părinților. Se înscrie la Școala Profesională de 3 ani a Liceului „Traian Vuia”, tot din Cluj-Napoca, apoi se încadrează în muncă la Întreprinderea „Napochim” ca operator chimist, de unde este încorporat în vederea satisfacerii stagiului militar, 1973–1975. La revenirea din Armată, continuă activitatea la „Napochim” până în anul 1984, perioadă în care urmează cursurile Liceului „Nicolae Bălcescu”, la seral, secția mecanică. În 1984 este transferat în interesul serviciului la Institutul de Cercetări și Prospekțiuni Miniere Nemetaliifere, unde pe lângă cursurile de specializare ca operator-preparator pentru minereuri, conduce activitățile uneia dintre instalațiile pilot și participă activ și eficient la operațiile de cercetare-prospectare din teren a Institutului. În urma evenimentelor din 1989 și a disoluției Institutului, este transferat la Universitatea „Babeș-Bolyai”, la Facultatea de Chimie și Inginerie Chimică, Departamentul de Inginerie Chimică, Disciplinele de Procese, Operații și Utilaje în Industria Chimică. Aici se ocupă de întreținerea aparaturii, buna funcționare a activităților didactice atât în laboratoarele din zona sa de interes, cât și la practica tehnologică a studenților, Având în vedere vasta pregătire profesională, participă la modernizarea și actualizarea lucrărilor de laborator și la activitatea generală a Facultății. A fost un coleg conștiincios, respectuos, săritor să ajute unde i se cerea și un prieten bun. Decesul dânsului vine subit, chiar după participarea la supravegherea examenului de admitere în Facultate, la data de 22 Iulie 2018.

Dumnezeu să-l odihnească în pace.

Cuprins

Cuvânt înainte.....	5
---------------------	---

Fascicula I. Algoritmi de calcul.....	11
---------------------------------------	----

- Proiect, etape în derularea unui proiect, noțiuni de calcul
- Scheme de separare

Algoritm pentru - (pre)dimensionare a capacității (bio)reactorului

- predimensionarea conductelor
- a instalațiilor de pompare, a grătarelor
- a sedimentării gravitaționale și centrifugale
- a filtrării, amestecării și fluidizării
- transferului termic
- sterilizarea termică și încălzirea aparaturii
- vaporizarea, (concentrarea), soluției
- extracția solutului
- adsorbere, absorbere, schimbători de ioni
- cristalizare
- uscare

Fascicula II. Exemplificarea proiectului.....	25
---	----

Notații, tema, prezentarea general

- generalități fundamentale
- schemele procesului tehnologic
- etapele procesului tehnologic
- sterilizarea aerului pentru procese aerobe
 - termică uscată
 - filtrare
 - calculul teoretic al sterilizării prin filtrare

- sterilizarea aparaturii și a mediului de cultură
- separarea biomasei
- decantare, filtrare, centrifugare
- fluidizare

Calculul termic al (bio)reactoarelor

- bilanțul termic, forța motrice
- izolarea termică
- concentrarea soluțiilor, (vaporizarea)

Recuperarea materialului util, - extracția

- adsorbția, absorbția, schimbul ionic
- cristalizarea
- uscarea

Fascicula III. Lucrări de laborator.....105

- Determinarea regimului de curgere
- Curgerea prin coloane cu umplutură
- Sedimentarea suspensiilor
- Filtrarea la presiune constantă
- Fluidizarea
- K la schimbătoarele de căldură
- Transfer termic în sisteme bifazice
- Uscarea materialelor
- Biofermentația materialelor organice

Fascicula IV. Anexe.....150

- Table, țevi, reactoare, coeficienți de umplere, zveltețe: pct. 1 - 7
- Densitatea materialelor: pct. 8
- Viscositatea fluidelor: pct. 9 - 18
- Viteză, regimuri de curgere, pierderi de presiune: pct. 19 - 25
- Coeficienți de frecare, de rezistență locală: pct. 26 - 37
- Coloane cu umplutură: pct. 38 - 43
- Puterea pompelor și compresoarelor: pct. 44 - 59
- Sedimentarea: pct. 59 - 64
- Ciclonarea: pct. 65 - 68

- Filtrarea: pct. 69 - 76
- Centrifugarea: pct. 78 - 88
- Fluidizarea: pct. 89 - 108
- Amestecarea fluidelor: pct. 109 - 114
- Transferul termic: pct. 115 - 127
- Coeficienți parțiali și totali de transfer termic: pct. 128 - 130
- ΔT_{med} , Transfer termic în regim nestaționar: pct. 131 - 133
- Vaporizarea: pct. 134 - 147
- K, izolații termice, pierderi de căldură: pct. 148 - 153
- Adsorbția: pct. 154 - 155
- Uscarea, extracția: pct. 154 - 160
- Schema reacțiilor de denocivizare: pct. 161 - 163
- Proprietăți termice a materialelor: pct. 164 - 170
- Parametrii sterilizării: pct. 171 - 172
- Calculul extracției solid-lichid: pct. 173 - 174
- Valori admise a poluanților: pct. 175 - 182

Fascicula V. Bibliografie.....206

- selectivă
- generală

FASCICULA I. Algoritmi de calcul

(pentru Fac. Biologie, secția ing. bio.)

Proiect: un material grafic sau electronic ce explică și dorește materializarea unei idei sau teme date, în limitele unui timp prestabilit. Proiectul în sensul ingineriei cuprinde câteva capitole importante:

Proiect

1. Tema

2. Memoriul justificativ

- Istoric;
- Prezentarea produsului: formula, proprietăți fizico-chimice, aplicații, ...
- Breviar economic: piața actuală, prognoză, studiu de marketing, dezvoltare, vânzări, costuri estimative, ...
- Metode de obținere;
- Tehnologii de obținere;
- Alegerea și justificarea metodei;
- Descrierea metodei și a procesului tehnologic.

3. Memoriul tehnic

- Calculele de bilanț de materiale și energetice;
- Calculele de predimensionare și dimensionare a aparaturii;
- Alegerea aparaturii;
- Calculele de hazard și risc tehnologic și de mediu;
- Bibliografia.

4. Anexe

- Planșe desenate;
- Experimente, mostre;
- Simulări și modelări fizice sau electronice a aparaturii și experimentelor;
- Rezultatele modelărilor și simulărilor fizice.

Etape în derularea unui proiect

1. - Informații asupra temei, (documentarea);
 - Documentarea primară;
 - Documentarea de detaliu.
2. - Stabilirea tehnologiei
3. - Determinarea BM și BT
4. - Predimensionarea aparaturii
 - tipurile de aparate;
 - dimensiuni de gabarit;
 - timpi de operare;
 - dimensiuni și caracteristici tehnice calculate sau standardizate;
5. Dimensionarea de detaliu.

Noțiuni de calcul

- Calculele de **predimensionare** urmăresc aflarea cu aproximație a dimensiunilor principale ale aparatelor și utilajelor folosindu-se de estimări sau mărimi determinate pe dispozitive asemănătoare, preluate din practică, experimente sau din valori preluate din literatură. Este evident că o bună evaluare a acestor mărimi conduc la valori mai apropiate de cele adevărate.

- Pe baza acestor valori calculate, se poate trece la **standardizarea** aparatului sau **alegerea** acestuia din standarde naționale sau internaționale, (STAS, DIN, ASTM, BS, GOST) sau alte normative, (Caiete de Sarcini, Prospecte de Piață sau Comerț).

- Calculele de **dimensionare** stabilesc pe baza datelor predimensionate valorile cât mai exacte ale dimensiunilor reale ale aparatelor sau a timpilor de execuție.

- Calculele de **verificare** stabilesc parametri reali de funcționare, (chiar momentană), a aparaturii pe baza datelor din procesul tehnologic funcțional și a dimensiunilor aparatului real, existent deja în dotare. Calculele de verificare arată modul în care se poate modifica încărcarea materială sau energetică a procesului tehnologic pentru a obține rezultatele cele mai bune, atât din punct de vedere cantitativ, cantitativ, dar și o eficiență economică mai mare.

- Principalele **mărimi tehnologice** urmărite prin calcul la predimensionare și dimensionare sunt:

- dimensiunile conductelor de legătură dependente de fluxurile de intrare și ieșire, (lungime, diametru, denivelări, rezistențe locale ...);
- dimensiuni dependente de capacitate, (volum, diametru, înălțime ...);

- dimensiuni dependente de fenomenele fizico-mecanice, (tip de material, coroziune, grosime de pereți, geometrie constructivă, elemente interioare, elemente de legătură ...);
 - dimensiuni dependente de fenomenele fizico-chimice, (cinetică, conversie, viteze de trecere, timpi de reacție, productivitate ...);
 - dimensiuni dependente de fenomene termice, (călduri de reacție, călduri intrate, cedate, transferate, primite, pierdute în mediu sau ieșite cu materialele, sterilizare, pasteurizare, congelare, ...);
 - dimensiuni dependente de procesele de separare, (cernere, decantare, filtrare, distilare, extracție, uscare, atomizare, liofilizare etc. ...).
- Calculele au la bază specificitatea procesului sau operației respective, care trebuie clar precizate prin tema de proiectare și pornesc de la schema fluxului tehnologic și bilanțul de materiale și energetic al procesului.

Principal există **două mari categorii de operații**:

- cele considerate **„auxiliare”**: depozitare, transport, măcinare, peletizare, dizolvare, amestecare, fluidizare, compactare, formare, confectionare etc., operații care asigură aducerea materiei prime și a produsului finit la cele mai bune dimensiuni necesare procesului sau pentru expediere ca produs finit. Aceste operații se calculează după algoritmi specifici, speciali și caracteristici pentru fiecare operație în parte;
- cele considerate **„separari”**, care se calculează după algoritmi operațiilor unitare de transport și transfer.

Schema principalelor operații de separare

Faza majoritară	Faza minoritară		
	Solid	Lichid	Gaz
Solid	sortare extracție clasare centrifugare flotație sublimare separare magnetică separare electrostatică zețaj	filtrare presare hidrociclonare centrifugare uscare extracție evaporare granulare	ciclonare filtrare separare electrostatică separare sonică spălare încălzire separare în curent de aer
Lichid	decantare filtrare centrifugare cristalizare evaporare atomizare	decantare extracție distilare rectificare adsorbție schimbători de ioni	stripare desorbție
Gaz	sedimentare ciclonare filtrare spălare precipitare electrostatică separare sonică	ciclonare spălare precipitare electrostatică separare sonică condensare	difuzie termodifuzie adsorbție absorbție chemosorbție desublimare

Algoritm de (pre)dimensionare a conductelor

1. - Alegerea traseului de conducte;
2. - Se identifică și se tablează rezistențele locale după geometria traseului și fluxul tehnologic preconizat;
3. - Se calculează vitezele de circulație a fluidelor în funcție de natura lor și parametrii tehnologici;
4. - Se verifică dacă viteza calculată se încadrează în limitele unanim acceptate în practică;
5. - Se calculează pierderile totale de presiune, Δp_{total} ;
6. - Se calculează înălțimea manometrică de pompare, H_m .

Algoritm de (pre)dimensionare a capacității (bio)reactorului

- Există două situații:

a) - Se impune un volum de lichid ce trebuie tratat;

a. a) - Volumul de ce trebuie prelucrat se încadrează în limitele volumului util, $V_{u\text{ vas}}$, ale reactoarelor standardizate. Din catalog se preiau dimensiunile și alte caracteristici.

a. b) - Volumul de lichid destinat prelucrării este diferit, mai mare, decât a reactoarelor standard.

- Se alege aspectul și forma reactorului: cilindrică, cilindrică cu fund emisferic, cu fund conic, cu fund elipsoidal, cu fund în „mâner de coș” etc.;

- Se calculează volumul total al aparatului, V_t și a dimensiunilor principale: diametrul, D_r , [m], înălțimea totală a reactorului, H_r [m], precum și înălțimea lichidului din reactor, H_l [m]. Aceste dimensiuni se calculează prin intermediul coeficientului de umplere, φ , [-] și a celui de zveltețe, $\zeta = H/D$, [-];

- Diametrul reactorului rezultat din calcul se standardizează, alegându-se cea mai apropiată valoare din tabel, față de cea calculată;

- Se recalculează H_T și H_l cu valoarea diametrului standardizat;

- Se calculează suprafața interioară a virolei cilindrice;

- Se calculează pierderea de presiune hidrostatică, Δp , [Pa], pentru noua înălțime a stratului de lichid folosind parametrii lichidului din vas;

- Se calculează, dacă este cazul, volumul și suprafața laterală a fundului recipientului în funcție de forma acestuia;

- Se determină suprafața secțiunii transversale a reactorului, S_r ;

- Dacă agitarea se asigură simultan cu aerarea, se calculează cantitatea necesară de aer barbotat, Q_{nec} , [m³/min], prin intermediul debitului specific de aer, $Q_{v\text{ aer}}$, [m³/m²·min].

b) Se impune productivitatea (bio)reactorului, cantitatea de produs finit care trebuie să rezulte în final. Aceasta arată intrinsec faptul că se cunoaște procesul și fluxul tehnologic, etapele de lucru, pierderile tehnologice, randamentele pe fiecare fază etc.;

- Se efectuează bilanțul de materiale conform derulării procesului, adăugând pierderile tehnologice sau limitările conversiilor;

- Rezultă cantitatea de materiale, respectiv întregul volum de masă de reacție;

- Se reia calculul de la punctul **a. b.)** al algoritmului.

- Pentru ambele situații se estimează prin calcul masa reactorului, M_r , [kg], din volumul, $V_{T\text{ oțel}}$, [m³] și densitatea oțelului, $\rho_{\text{oțel}}$, [kg/m³];

- Volumul oțelului din care este confecționat reactorul, mantaua acestuia, eventual alte accesorii se determină din date geometrice.

Algoritm de proiectare a instalațiilor de pompare

1. - Determinarea funcției specifice a instalației;
2. - Alegerea tipului de pompă;
3. - Alegerea traseului de vehiculare a fluidului;
4. - Determinarea rezistențelor locale: tip, dimensiune, număr etc.;
5. - Alegerea sau calcularea vitezei de circulație a fluidului pe traseul respectiv;
6. - Calcularea pierderilor totale de presiune, (căderea totală de presiune, sarcina hidraulică), Δp_T , [Pa];
7. - Alegerea sau determinarea tipodimensiunilor pompei după catalogul furnizorilor;
8. - Verificarea parametrilor funcționali;
9. - Calculul puterii de acționare și de instalare.

Schema de ansamblu a separării solid-lichid

separare solid-lichid				
sedimentare	filtrare	cernere	presare	uscare
$g, \omega^2 \cdot R,$	gravitațional, $g,$			granulare
îngroșare	sub vid, $\Delta p,$			peletizare
decantare	sub presiune, $\Delta p,$			cristalizare
	centrifugală, $\omega^2 \cdot R,$			atomizare

Algoritm de calcul pentru grătare de reținere, (cernere)

1. - Alegerea tipului de grătar;
2. - Calculul pierderii de presiune, ca sarcină hidraulică;
3. - Estimarea puterii necesare de acționare pentru grătarele mobile.

Algoritmi de calcul a operației de sedimentare

Principal sunt patru variante de calcul:

- a)** - se impune diametrul particulei care sedimentează;
- b)** - se cunosc parametrii decantorului;
- c)** - separarea în regim nestaționar;
- d)** - sedimentarea în câmp centrifugal.

a) Se cunoaște sau se impune diametrul particulei care sedimentează sau care scapă din decantor:

- 1.** - Calcularea vitezei de sedimentare;
- 2.** - Verificarea domeniului de sedimentare;
- 3.** - Corectarea vitezei de sedimentare teoretice;
- 4.** - Determinarea timpului de staționare;
- 5.** - Calcularea dimensiunilor decantorului.

b) Se cunosc parametrii dimensionali și funcționali ai decantorului:

- 1.** - Determinarea vitezei de trecerea fluidului;
- 2.** - Determinarea timpului de trecere, (staționare), în decantoarele continue;
- 3.** - Calcularea vitezei teoretice de sedimentare;
- 4.** - Determinarea vitezei practice de sedimentare;
- 5.** - Calculul diametrului particulei.

c) Separarea în regim nestaționar:

- 1.** - Determinarea timpului de sedimentare, pentru decantoare discontinue;
- 2.** - Evaluarea dimensiunii particulei rămase în suspensie.

d) Separarea în câmp centrifugal:

- 1.** - Calculul vitezei de sedimentare în câmp centrifugal;
- 2.** - Calculul diametrului particulei care sedimentează.

Algoritm de calcul a operației de sedimentare prin centrifugare

Principial sunt trei variante de calcul:

- a) - discontinuă;
- b) - semicontinuă;
- c) - continuă.

a) Operarea discontinuă:

- 1. - Calculul volumului tamburului centrifugii;
- 2. - Calculul grosimii stratului de lichid, suspensie;
- 3. - Calculul vitezei de sedimentare în câmp centrifugal;
- 4. - Calculul timpului de sedimentare în centrifugă;
- 5. - Calculul presiunii de centrifugare;
- 6. - Calculul puterii necesare la centrifugare.

b) Operarea semicontinuă:

- 1. - Calculul debitului volumic de suspensie, (a capacității de producție), a unei centrifuge de sedimentare discontinue cu descărcare cu cuțit raclor;

c) Operarea continuă:

- 1. - Calculul debitului volumic de suspensie, (a capacității de producție), a unei centrifuge **orizontală** cu funcționare continuă cu descărcare prin șnec;
- 2. - Calculul debitul volumic de suspensie, (a capacității de producție), a unei supercentrifuge tubulare **verticală** cu funcționare continuă.

Algoritm de calcul al procesului de centrifugare

- 1. - Calculul forței centrifuge.
- 2. - Calculul presiunii de filtrare.
- 3. - Calculul puterii la centrifugare.
- 4. - Calculul capacităților de producție.

Algoritm de calcul a operației de ciclonare

- 1. - Identificarea parametrilor funcționali;
- 2. - Prealegerea aparatului;
- 3. - Calculul vitezei convenționale (de calcul);
- 4. - Calculul diametrului ciclonului;
- 5. - Calculul pierderii de presiune;
- 6. - Calculul diametrului minim al particulei reținute.

Algoritm de calcul a operației de filtrare

1. - Determinarea experimentală a constantelor de filtrare;
2. - Bilanțul de materiale pe filtru;
3. - Alegerea tipului de filtru;
4. - Calculul timpului de filtrare;
5. - În cazul cunoașterii sau impunerii timpului de filtrare, se determină suprafața activă a filtrului;
6. - Alegerea tipodimensiunii filtrului, (aparaturii);
7. - Calculul vitezei de filtrare finală;
8. - Calculul timpului de spălare a turtei;
9. - Calculul timpului total de operare.
10. - Dimensionarea filtrelor cu saci pentru gaze.

Algoritmul de calcul pentru sterilizarea prin filtrul fibros

1. - Se determină debitul de aer necesar (pentru agitare, aerare, oxidare, creștere, ...);
2. - Se determină timpul de fermentație;
3. - Se determină concentrația microorganismelor din locul de aspirație a aerului care urmează a fi barbotat în mediul de (bio)cultură;
4. - Se impune numărul admis de celule patogene în (bio)culturi;
5. - Se calculează numărul total permis de microorganisme patogene din fermentator la sfârșitul fermentației;
6. - Se determină numărul de microorganisme reținute în total pe filtru pentru ca în finalul (bio)reacției să avem numărul permis de microorganisme patogene;
7. - Se determină K ;
8. - Se aplică relația de dimensionare a filtrului pentru a se afla lungimea necesară;
9. - Se aplică coeficientul de corecție al lungimii filtrului;
10. - Se verifică unitățile de măsură introduse în relațiile de calcul;
11. - Se determină caracteristicile aparatului de sterilizare a aerului prin filtrare: suprafața transversală necesară și diametrul filtrului.

Algoritm de calcul a operației de agitare (amestecare)

1. - Alegerea formei agitatorului și a vasului;
2. - Determinarea experimentală a efectului de amestecare și a spectrului de curgere pe un model de laborator;
3. - Ridicarea, (transpunerea), la scară modelului;
4. - Determinarea turației pentru prototip;
5. - Calculul puterii necesare la amestecare;
6. - Calculul de rezistență mecanică.

Algoritm de calcul a operației de fluidizare

1. - Determinarea spectrului granulometric și a diametrului echivalent;
2. - Calculul vitezei minime de fluidizare;
3. - Alegerea vitezei de fluidizare de lucru;
4. - Determinarea porozității stratului;
5. - Calculul vitezei de antrenare din strat;
6. - Calculul diametrului particulei care scapă din aparat;
7. - Calculul debitului de fluid;
8. - Determinarea pierderii de presiune în stratul fluidizat;
9. - Determinarea duratei de staționare a particulei în stratul fluidizat.

Algoritmul de calcul al schimbătoarelor de căldură

1. - Determinarea temperaturilor de intrare și ieșire a fluidelor, a cantităților sau debitelor de fluide;
2. - Calculul $\Delta T_{med\ cc}$;
3. - Determinarea schemei generale de curgere a aparatului;
4. - Calculul factorilor de corecție;
5. - Calculul ΔT_{med} pentru curenții încrucișați, generați de schema aparatului;
6. - Definitivarea geometriei aparatului și a materialelor utilizate;
7. - Calculul coeficienților parțiali de transport termic;
8. - Calculul rezistenței pereților despărțitori ai fluidelor;
9. - Estimarea rezistenței depunerilor pe pereți;
10. - Calculul coeficientului total de transfer termic;
11. - Calculul ariei, (suprafeței) de transfer;
12. - Standardizarea dimensiunilor principale;
13. - Calculul hidrodinamic al pierderilor de presiune;
14. - Calculul de rezistență mecanică.

Algoritm de calcul pentru izolațiile termice

1. - Identificarea problemei generale a izolației;
2. - Determinarea parametrilor constanți și fixați de procesul tehnologic;
3. - Alegerea materialului izolant;
4. - Calculul coeficienților parțiali de transport;
5. - Calculul grosimii izolației principale sau a celei critice;
6. - Calculul materialului de protecție;
7. - Standardizarea materialelor;
8. - Detalii tehnologice de fixare, montaj și protecție a izolației.

Algoritmul de calcul pentru sterilizarea termică

1. - Se determină numărul inițial de microorganisme din mediul de cultură și tipul lor;
2. - Se determină constanta de deces a microorganismelor;
3. - Se calculează factorul preexponențial și energia de activare pentru reacția de deces a tipului respectiv de microorganism;
4. - Se efectuează o simulare numerică pentru optimizarea procesului;
5. - Se calculează timpul τ , [s], de menținere la temperatura T , [$^{\circ}\text{C}$] de sterilizare.

Algoritmul de calcul pentru încălzirea aparaturii și a mediului de cultură

1. - Se identifică sursa termică și parametrii săi;
2. - Se calculează bilanțul termic global;
3. - Calculul căldurii necesare încălzirii sistemului până la temperatura de sterilizare;
4. - Calculul sau estimarea căldurii pierdute în mediul înconjurător;
5. - Calculul grosimii stratului de izolație;
6. - Calculul suprafeței de transfer termic;
7. - Determinarea forței motrice medii, ΔT_{med} ;
8. - Calculul timpului de încălzire al reactorului și a mediului de cultură;
9. - Calculul cantității sau a debitului de agent termic.

Algoritmul de calcul pentru perioada de menținere la temperatura de sterilizare

1. - Sursa termică și parametrii săi sunt deja mărimi cunoscute, aceleași ca și pentru perioada de încălzire;
2. - Identificarea caracteristicilor de bază a lichidului din mediul de cultură, apa, în condițiile de sterilizare, adică temperatura și presiunea de sterilizare;
3. - Selectarea timpului de sterilizare, determinat anterior;
4. - Alegerea ratei de vaporizare a apei din mediul de cultură, eventual optimizarea acesteia prin simulare numerică;
5. - Calculul bilanțului global termic;
6. - Detalierea bilanțului termic;
7. - Calculul pierderilor de căldură cu exteriorul;
8. - Calculul forței motrice la transferul termic;
9. - Calculul cantității și a debitului de abur;
10. - Calculul necesarului de apă de răcire în condensator.

Algoritmul de calcul pentru perioada de răcire nestaționară a bioreactorului

1. - Se cunoaște temperatura de sterilizare, de inoculare și de intrare a apei de răcire;
2. - Identificarea caracteristicilor de bază a materialelor și apei de răcire;
3. - Selectarea regimului nestaționar de răcire, cu specificitatea sa de calcul;
4. - Calculul bilanțului termic global;
5. - Calculul forței motrice la transferul termic în regim nestaționar;
6. - Calculul timpului de răcire;
7. - Determinarea cantității minime de apă de răcire;
8. - Calculul debitului de apă de răcire;
9. - Optimizarea timpului de răcire.

Algoritm de calcul a operației de vaporizare, (pentru Fac. Biologie, secția ing. bio.)

1. - Justificarea algoritmului;
2. - Identificarea parametrilor funcționali ai aparaturii și procesului;
3. - Calculul bilanțului de materiale pentru vaporizare;
4. - Calculul bilanțului termic;
5. - Determinarea temperaturii de fierbere a soluției în condițiile din vaporizator;
6. - Calculul forței motrice la vaporizare;
7. - Determinarea temperaturii de fierbere a soluției în alte condiții de presiune decât cea atmosferică;
8. - Calculul cantității de apă de răcire a vaporilor secundari;
9. - Calculul suprafeței de încălzire;
10. - Calculul pierderilor exterioare de căldură.

Algoritm de calcul pentru extractoare, (pentru Fac. Biologie, secția ing. bio.)

1. - Trasarea curbei de echilibru;
2. - Alegerea variantei și a operațiilor din lanțul tehnologic;
3. - Calcularea bilanțurilor de materiale și termice, (dacă este cazul);
4. - Calcularea cantității minime, optime și de lucru;
5. - Determinarea numărului de trepte de contact;
6. - Calculul timpului de epuizare a particulei solide;
7. - Calculul retenției statice de lichid.

Algoritm de calcul pentru adsorbere și dispozitive schimbătoare de ioni

1. - Organizarea și analiza procesului: continuu sau discontinuu;
2. - Alegerea adsorbantului sau a schimbătorului de ioni;
3. - Determinarea experimentală, prin calcul sau din date de literatură a capacității specifice de adsorbție sau de schimb ionic și a vitezei optime de filtrație;
4. - Efectuarea bilanțului de materiale și termic;
5. - Calculul timpului de contactare, de proces, (pentru procesele discontinue).

Algoritm de calcul a operației de cristalizare

1. - Alegerea tipului de proces;
2. - Alegerea modalității de cristalizare;
3. - Calculul bilanțului de materiale;
4. - Calculul bilanțului termic;
5. - Calculul randamentului cristalizării.

Algoritm de calcul pentru absorbere, (pentru Fac. Biologie, secția ing. bio.)

1. - Justificare;
2. - Reacții chimice de bază la denocivizare;
3. - Identificarea limitelor admisibile a noxelor eliminate în atmosferă;
4. - Calculul necesarului de denocivizant;
5. - Calculul necesarului de denocivizant și apă de diluare pentru o perioadă de timp.

Algoritm de calcul pentru absorbere, (pentru Fac. Ing. Ch.)

1. - Ridicarea curbei de echilibru fie din date experimentale, fie prin metode predictive;
2. - Calcularea bilanțurilor de materiale, a debitului minim de solvent și a debitului de lucru;
3. - Calcularea efectului termic și determinarea variantelor de eliminare a acestuia;
4. - Trasarea liniei de operare;
5. - Determinarea numărului de trepte de contact;
6. - Determinarea eficacității talerului sau a înălțimii echivalente talerului teoretic;
7. - Calculul înălțimii părții active și totale a aparatului;
8. - Calculul vitezei de înecare și a celei optime de lucru;
9. - Calculul diametrului coloanei;
10. - Calculul dispozitivelor interioare;
11. - Calculul pierderilor de presiune;
12. - Calculul pierderilor de solvent prin evaporare.

Algoritmi de alegere și calcul al uscătoarelor

1. - Colectarea de informații asupra materialului supus uscării;
2. - Alegerea tipului de uscător;
3. - Alegerea modalității de uscare;
4. - Calculul uscătorului tip „dulap”;
5. - Calculul atomizoarelor;
6. - Uscarea osmotică;
7. - Uscarea prin liofilizare.

FASCICULA II. Exemplificarea proiectului

(pentru Fac. Biologie, secția ing. bio.)

Notații și simboluri

Pentru fiecare caz particular se va explicita semnificația termenilor sau a identităților acestora, pentru a evita confuziile, deoarece cu aceleași notații generale, acceptate unanim în știință și tehnologie, pot fi marcate și alte mărimi sau parametri.

- **Observație:** Ceea ce este notat cu: „v.A.” înseamnă: „vezi ANEXA”,
„v.B.” înseamnă „vezi Bibliografia”,
„v.CS”: „vezi Caietul de Seminar”,
„v.IL”: „vezi Îndrumătorul de Laborator”.

- A = arie, suprafață, $[m^2]$;
- $a = (c_p \cdot \eta / \lambda)$ = difuzivitatea termică, $[s/m^2]$, coeficient, $[s/m^2]$, coeficient, $[-]$;
- α = coeficient parțial de transfer termic, $[W/m^2 \cdot ^\circ K]$, coeficient adimensional, $[-]$;
- unghi sexagesimal, $[^\circ]$;
- b = lățimea barelor, $[m]$, coeficient, $[s/m]$;
- β = coeficient parțial de transfer de masă, $[kg/m^2]$, coeficient adimensional, $[-]$;
- C = constantă numerică, $[-]$;
- c = concentrația;
- c_p = căldura sensibilă, $[J/kg \cdot ^\circ K]$;
- d_p = diametrul particulei, conductei, $[m]$;
- d_{ech} = diametrul echivalent, $[m]$;
- δ = grosime de strat de material, $[m]$;
- ε = coeficient, $[-]$;
- ζ = coeficient, $[-]$;
- η = viscozitate dinamică, $[Pa \cdot s]$, randament, $[\%]$;
- g = accelerația gravitațională, $[m/s^2]$;
- h = înălțime, $[m]$;
- H = înălțime, altitudine, $[m]$;
- k = coeficient, $[-]$;
- K = coeficientul total de transfer termic, $[W/m^2 \cdot ^\circ K]$;

- L = lungimea liniară, [m];
- λ = coeficient de frecare, [-], conductivitate termică, [W/m⁰K];
- M = masă, cantitate, [kg], masă molară, [kg/kmol];
- n = număr, [s⁻¹];
- μ = simbolul micronului, [10⁻⁶]
- ν = (η/ρ) = viscozitatea cinematică, [s/m²];
- ω = viteză unghiulară, pulsația, [s⁻¹];
- π = 3,14 = constantă numerică, [-];
- Δp = pierderea de presiune, [Pa];
- Q = cantitate de căldură, [J], flux termic, [W];
- Q_M = debit masic, [kg/s];
- Q_V = debit volumic, [m³/s];
- r = căldura latentă de schimbare de fază, [J/kg·s], raza particulei sau conductei, [m];
- R = constanta gazelor, 8 310/M, [J/kg⁰K];
- ρ = densitatea materialului, [kg/m³];
- S = arie, secțiune, suprafață, [m²];
- s = distanță, [m];
- σ = tensiune superficială, (interfacială), [N/m], [kg/s²];
- T = temperatura, [°K], [°C];
- τ = timp, [s];
- w = viteza liniară, [m/s];
- x = concentrația;

1. Tema: Să se calculeze un fermentator aerob pentru obținerea gluconatului de sodiu.

2. Memoriul justificativ

- Istoric. Procesele de fermentație aerobă sau anaerobă sunt cunoscute de mii de ani fiind utilizate îndeosebi în industriile alimentare, pentru conservarea alimentelor, „v. B”.

- Prezentarea produsului: gluconat de sodiu: formula chimică, proprietăți fizico-chimice, aplicații etc. „v. B”.

- Breviar economic: piața actuală, prognoză, studiu de marketing, dezvoltare vânzări etc., „v. B”.

- Metode de obținere, „v. B”.

- Tehnologii de obținere, „v. B”.

- Alegerea și justificarea metodei;

- Descrierea metodei și a procesului tehnologic, „v. B”.

3. Memoriul tehnic

- Calculele de bilanț de materiale și energetice: conform algoritmilor prezentați anterior, a explicațiilor, a relațiilor de calcul din acest capitol și „v.A.”;
- Calculele de predimensionare și dimensionare a aparaturii: conform algoritmilor prezentați anterior, a explicațiilor, a relațiilor de calcul din acest capitol și „v.A.”;
- Alegerea aparaturii. conform algoritmilor prezentați anterior, a explicațiilor, a relațiilor de calcul din acest capitol și „v.A.”;
- Calculele de hazard și risc tehnologic și de mediu;
- Bibliografia.

4. Anexele

- Planșe desenate;
- Experimente, mostre;
- Simulări și modelări electronice a aparaturii și experimentelor;
- Rezultatele modelărilor și simulărilor fizice.

**În acest capitol se vor exemplifica situațiile mai deosebite,
apărute în derularea calculului.**

**În continuare NU voi atinge TOATE punctele prezentate
în derularea algoritmilor de calcul, ci doar cele considerate sensibile.**

Fiecare punct TREBUIE dezvoltat individual.

1. Tema generală: Să se calculeze un biofermentator aerob

În procesul de biosinteză/bioprosesare se folosesc medii de cultură, numite uneori și substraturi, eventual oxigen și microorganisme.

- **Substraturile**, mediile de cultură, trebuie să conțină un minimum obligatoriu de materiale:

- a) - sursă de carbon biodegradabil;
- b) - sursă de azot;
- c) - sursă de microelemente: **minimum** fosfor și potasiu;
- d) - sursă de magneziu;
- e) - adjuvanți ;
- f) - precursori.

- Exemplu:

a) - glucoză, glucoză comercială, sirop sau hidrolizat de porumb ori alte cereale, melasă, hidrolizate proteice etc.;

b) - NH_4NO_3 ; ca surse de azot amoniacal și nitric;

c) - KH_2PO_4 , KCl , $(\text{NH}_4)_2\text{HPO}_4$, KH_2PO_4 ; ca surse de potasiu și fosfor;

d) - $\text{MgSO}_4 \cdot 7 \text{H}_2\text{O}$, MgCl_2 ca sursă de magneziu;

e) - pentru stimularea formării flocoanelor și agregatelor micelare: agar-agar, alginat, gelatină, derivați de celuloză, polimeri sintetici și derivați ai acestora, derivați de poli(acrilamidă), ai acetatului de vinil, ai alcoolului polivinilic etc.;

- pentru completarea compoziției mediului de cultură cu surse complementare de microelemente: extract de cartofi, de bere sau drojdie de bere, peptonă, uree, tartrat feric, de cobalt, de mangan etc. Pe lângă acestea, din apa de dizolvare sau de diluare ori folosită ca mediu de vehiculare apar ioni de Na^+ , K^+ , Ca^{2+} , Mg^{2+} , HCO_3^- , CO_3^{2-} , Cl^- etc.

- regulatori de pH: acid sulfuric, hidroxid de sodiu, bicarbonat sau carbonat de sodiu, carbonat de calciu; mono-, di- și trifosfații de amoniu, sodiu și potasiu în mediu acid sau bazic, citrați, gluconati sau tartrați de sodiu sau potasiu constituie baza sistemelor tampon, cele care țin nivelul pH - ului întregului mediu de (bio)reacție constant;

- mediu de dizolvare și vehiculare a materialelor: apa, în care apar în mod **natural** ioni de sodiu, potasiu, calciu, magneziu, clor, fier, mangan, aluminiu, siliciu etc.;

f) - precursori, adică materiale care au molecule au o structură preformată, acceptată de microorganisme, care se pot dezvolta în structuri de metaboliți utile în bioprosesare.

- **Microorganismele** utilizate în derularea procesului tehnologic pot fi din clasele drojdiilor, bacteriilor, fungilor, algelor, virusurilor sau a enzimelor libere sau imobilizate. Se utilizează specii „de cultură” specializate, așa numitul inocul, dezvoltate prin studii de cercetare microbiologice de laborator.

- **Procedeele de bioprosesare** pot fi clasificate în funcție de:

A) - modul de realizare a culturilor microbiene:

- culturi pe suprafață;
- culturi în profunzime;

B) - necesarul de oxigen:

- sisteme de fermentație aerobe;
- sisteme de fermentație anaerobe;

C) - procedeul de fabricație:

- fermentații discontinue;
- fermentații continue.

- **Fermentațiile la suprafață** se practică mai rar în ingineria biotehnologică și numai pentru microorganisme aerobe. Este utilizată frecvent pentru epurarea biologică a apelor uzate în instalații cu capacități medii.

- **Fermentațiile în profunzime** se utilizează în majoritatea proceselor de creștere a microorganismelor. Industrial, acest tip de fermentație poate fi realizată prin procedee de fermentație discontinuă și procedee de fermentație continuă, în mediu lichid sau solid.

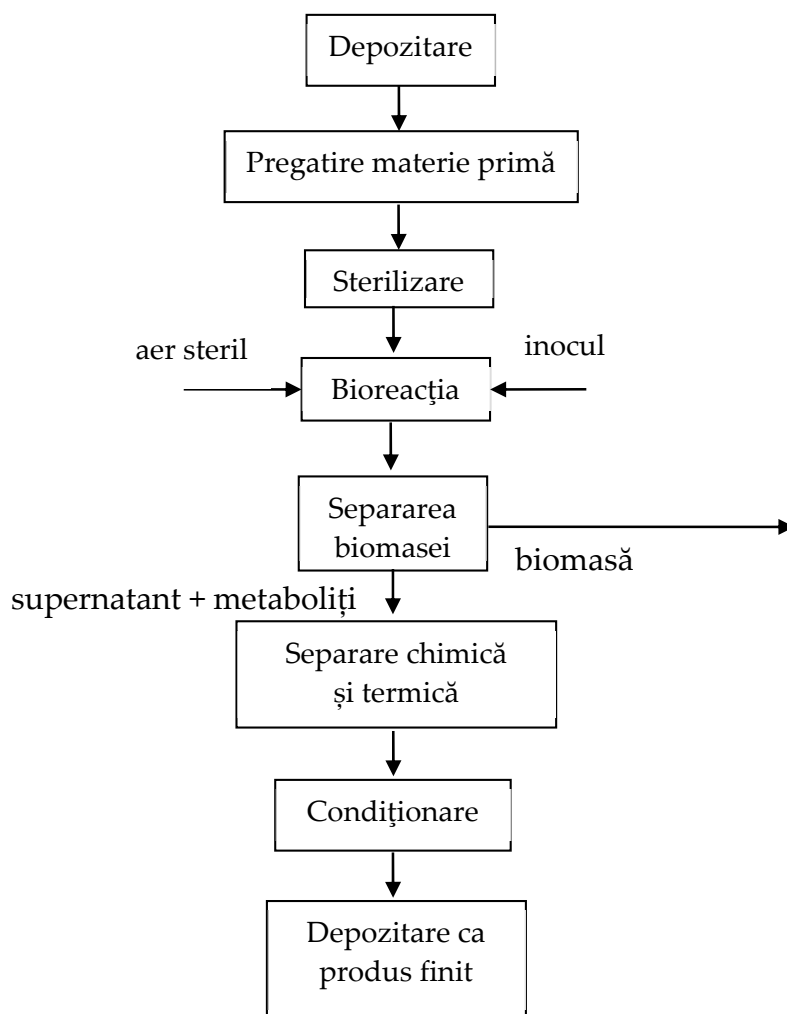
- **Fermentațiile aerobe** necesită oxigen pentru metabolismul și/sau biotransformarea precursorilor în metabolitul sau biotransformatul dorit.

- **Fermentațiile anaerobe** au loc în lipsa oxigenului, acesta fiind un inhibitor sau toxic pentru acest tip de microorganisme. Sunt frecvent întâlnite în industriile alimentare.

- **Fermentația discontinuă**, întâlnită în literatura de specialitate și sub denumirea de „sistem de cultivare batch”, se caracterizează prin aceea că microorganismele parcurg într-un singur bioreactor toate etapele de dezvoltare, după care procesul se reia de la capăt. Acest mod de operare are atât avantaje, dar și dezavantaje.

- **Fermentația continuă** oferă mai multe avantaje datorită monitorizării computerizate, dezavantajul constituindu-l volumul mare al instalațiilor, mai ales la timp de staționare lung.

Schema bloc a procesului tehnologic



Etapile principale ale procesului tehnologic de tip fermentativ aerob

- **Prima fază generală**, (etapă), a procesului tehnologic îl reprezintă depozitarea materiilor prime, a materialelor, auxiliarilor și pregătirea lor în vederea vehiculării lor. Acest pas este de mare importanță pentru întreg procesul, o depozitare în condiții necorespunzătoare poate conduce la degradarea calității materialelor, la infectarea sau infestarea unora dintre ele, la îngreunarea procesărilor ulterioare. Pregătirea materialelor constă în cântărirea, (dozarea), mărunțirea sau dizolvarea lor. Și la aceste operații, menținerea curățeniei și unor condiții igienico-sanitare severe conduc la îmbunătățirea întregului lanț tehnologic, prin prisma reducerii numărului de dezinfecții sau a modalităților de securizare a spațiilor de lucru. Tot în această fază poate fi inclusă **pregătirea inoculului** care va asigura creșterea și înmulțirea microorganismelor utile, selecționate, „de cultură”, pentru proces, deși locul efectiv de pregătire este în laboratoarele de microbiologie sau în spații special construite în acest scop, destinate cercetării biologice, de obicei plasate mai departe de instalația propriu-zisă.

- **A doua etapă**, (fază), importantă este sterilizarea aparaturii și a mediului de cultură. În marea majoritatea a proceselor biotehnologice acest proces se efectuează prin încălzirea simultană a bioreactorului și a mediului de cultură chiar în interiorul acestuia. În cazul proceselor aerobe, este necesară și sterilizarea oxigenului sau aerului introdus pentru menținerea agitării și a metabolismului microorganismelor.

- **Etapa a treia** este bioreacția propriu-zisă. Procesul biotehnologic începe după ce masa de cultură a fost răcită de la temperatura de sterilizare la temperatura de operare și apoi s-a introdus inoculul. Acesta a fost deja pregătit separat, în laboratoarele de microbiologie din sușe selecționate și „antrenate” anterior. Șarja de inocul se transferă în bioreactor în condiții sterile, prin sistemele de ecluzare aferente bioreactorului.

Din punct de vedere cinetico-termodinamic, pentru sistemul biologic din bioreactor urmează faza de lag, cea de creștere exponențială, de încetinire și de platou. De obicei faza de descreștere (de deces, de moarte a microorganismelor), nu este atinsă sau derulată din cauza reducerii semnificative a vitezei de biotransformare a substratului în produs util. De-a lungul derulării procesului se introduce aer steril sau oxigen în vederea susținerii metabolismului propriu microorganismelor, cel necesar oxidării substratului precum și asigurarea unei amestecări suplimentare prin barbotare față de eventuala amestecare mecanică. În unele cazuri, amestecarea mecanică nu este de dorit fie din cauza costurilor, fie din cauza distrugerii flocoanelor, miceliilor sau agregatelor formate din microorganisme.

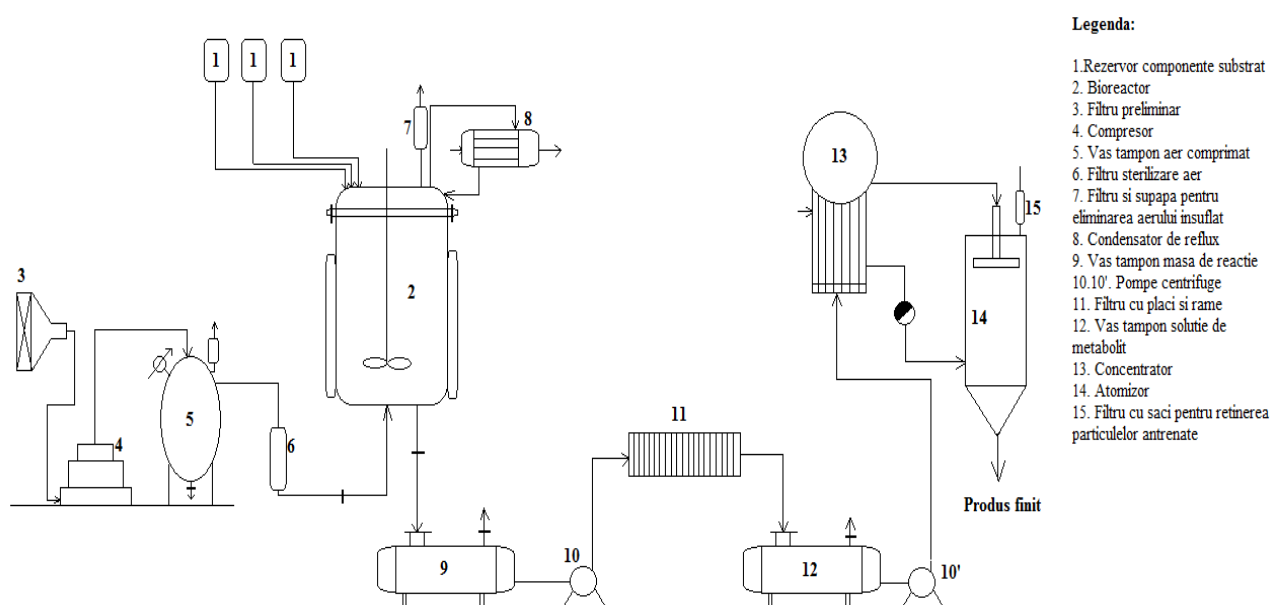
- **Faza a patra** este separarea biomasei. După terminarea bioreacției, urmează deversarea masei de bioreacție într-un vas tampon sau trecerea ei directă la separarea mecanică prin centrifugare sau filtrare. Prezența vasului tampon este utilă pentru cantități mari de masă de bioreacție, golirea bioreactorului permițând operațiile de spălare, igienizare și pregătirea bioreactorului pentru șarja următoare. Separarea directă din bioreactor este utilă pentru cantități mici și medii de material, eliminându-se posibilitatea de contaminare interoperații. Prin separarea mecanică se elimină biomasa, iar soluția de supernatant cu metaboliți și materiale netransformate este trecută la separarea fizico-chimică sau termică a produsului finit.

- **Faza a cincea** este constituită de șirul operațiilor de separare fizico-chimică a produsului util. Recuperarea și condiționarea compusului util urmează operațiile normale din industria chimică: neutralizare, filtrare, concentrare, decolorare, cristalizare, separarea cristalelor, uscare, (eventual înlocuite cu atomizare sau liofilizare), cernere, ambalare și depozitare.

- **Faza finală** e constituită de condiționarea și depozitarea produsului finit.

Cunoașterea temeinică a întregului lanț tehnologic, a operațiilor tehnice, reacțiilor (bio)chimice și condițiile de lucru în care evoluează sistemul asigură un calcul coerent și corect al aparaturii și parametrilor tehnologici. De aceea, pentru fiecare bioprocesare în parte trebuie stabilite de la început datele principale ale problemei și anume:

- produsul care se dorește a se obține, sau procesul aplicat;
- cantitatea de material procesată sau cantitatea de produs obținută: pe șarjă, orar, zilnic, lunar, anual;
- natura procesului tehnologic: discontinuu sau continuu;
- natura procesului fermentativ: aerob sau anaerob.



Exemplu de schemă tehnologică a unui bioproces aerob (obținerea acidului gluconic)

Sterilizarea

Procesele de biosinteză industrială impun absența totală a sporilor de microorganisme străine provenite din apă, aer sau materii prime, care s-ar putea dezvolta în faza de fermentație, infectând cultura unică a microorganismului util (inoculul). De asemenea, conservarea preparatelor farmaceutice, a produselor alimentare și a altor materiale se poate face numai în absența sporilor capabili de multiplicare. Această cerință tehnologică se poate realiza prin **sterilizare** sau **pasteurizare**.

- **Pasteurizarea** este operația termică prin care are drept scop distrugerea majorității microorganismelor, inclusiv a bacteriilor rezistente, prin încălziri și răciri repetate sub 100 [°C].

- **Sterilizarea** este operația de distrugere sau îndepărtare a tuturor formelor vegetative și de rezistență a microorganismelor patogene și apatogene din substanțe, preparate sau obiecte. În industria de biosinteză, industria farmaceutică și industria alimentară, unde se cere distrugerea tuturor microorganismelor (reducerea totală a viabilității, nu distrugere în sens fizic), operația de sterilizare este de neînlocuit și poate fi realizată prin unele metode:

a) Metode termice:

- flambare;
- sterilizare cu aer cald la 140 - 200 [°C];
- sterilizare cu vapori de apă sub presiune la 120 - 140 [°C];
- pasteurizare prin încălziri repetate la 70 - 100 [°C];

b) Metode fizice:

- filtrare prin umpluturi fibroase;
- filtrare prin materiale poroase;
- filtrare prin membrane;
- utilizarea radiațiilor: UV, IR, raze X, β , γ etc.

c) Metode chimice:

- utilizarea agenților chimici: oxid de etilenă, formaldehidă, fenol, azotiperită, ozon, cloramine, hipoclorit, apă oxigenată etc.

d) Metode de preparare pe cale aseptică.

- **Sterilizarea termică uscată** include și **sterilizarea prin flambare**, folosită frecvent în faza de însămânțare a inoculului și a prelevării probelor. Acest gen de sterilizare constă în trecerea probelor sau a obiectelor prin flacără, timp de câteva secunde.

În general, metoda de sterilizare se alege în funcție de proprietățile fizico-chimice ale materialelor supuse sterilizării, astfel încât să se evite modificările calitative ale acestora. Între încălzirea uscată și încălzirea umedă, în procesul de sterilizare prin metoda termică, există o deosebire importantă, ultima având o eficiență sporită. Fenomenul se explică prin acțiunea hidratantă, coagulantă și hidrolizantă a apei și a aburului la temperatură mare asupra proteinei membranelor și a altor organite microbiene. Comparând performanțele sterilizării prin încălzire uscată și umedă s-a observat că sterilizarea cu aer cald uscat necesită temperaturi și durate mult mai mari. Din aceste motive, în tehnică se preferă sterilizarea umedă.

Parametrii principali ai procesului de distrucție a microorganismelor sunt:

- **Timpul termic mortal** este perioada în care toate microorganismele sporulate sunt distruse la o temperatură dată.

- **Punctul termic mortal** este temperatura la care sunt distruse toate celulele unei specii în 10 minute.

Unele valori ale acestor parametri sunt prezentate în Anexă, „v.A.”.

Pentru realizarea sterilizării trebuie menținută temperatura pe toată durata timpului termic mortal, o procedură mai accesibilă și controlabilă tehnologic decât ridicarea temperaturii, care poate duce la descompunerea unor componenți din mediul de cultură.

- **Sterilizarea prin filtrare** pe materiale poroase se utilizează frecvent în cazul preparatelor termolabile. Procedul este preferat și atunci când prețul prea mare al energiei și cheltuielile pentru aparatură exclud îndepărtarea microorganismelor prin metoda termică. În procesul de sterilizare prin filtrare se folosesc filtre poroase: Jena G₅, filtre de azbest-celuloză, (denumite filtre Seitz sau Filtrasic), filtre cu membrană, filtre de profunzime și filtre absolute.

- **Sterilizarea cu ajutorul radiațiilor**, deși prezintă unele neajunsuri, este aplicată din ce în ce mai mult în industrie, atât pentru sterilizarea produselor, cât și a aerului din boxele sterile.

- **Prepararea produselor pe cale aseptică** se utilizează atunci când nu este posibilă sterilizarea lor prin procedeele prezentate anterior. Tehnologia preparării aseptice se realizează în boxe sterile, aerul din acestea fiind sterilizat prin filtrare, iradiere sau cu agenți chimici. În ultima perioadă a fost extinsă la scară industrială sterilizarea aerului din boxe prin curgere peliculară, (laminară), controlul sterilității aerului făcându-se cu ajutorul filtrelor cu membrană.

- **Sterilizarea aerului** tehnologic necesar în fermentația aerobă constituie una din problemele de importanță majoră în ingineria biochimică, de rezolvarea căreia depinde buna desfășurare a procesului de biosinteză. Dificultățile procesului de sterilizare a aerului sunt generate de varietatea mare de microorganisme conținute: bacterii, spori bacterieni, fungi, viruși etc., de debitul mare material, (aer), vehiculat, de rezistența lor la temperatură uscată și de limitele largi și foarte diferite ale dimensiunilor acestora. Principalele specii de bacterii și spori bacterieni, împreună cu dimensiunile lor: lungime, lățime, diametru, sunt prezentate în literatura de specialitate. Pentru sterilizarea aerului sunt propuse următoarele metode:

- sterilizare termică;
- sterilizare cu raze ionizante sau UV;
- sterilizare cu agenți chimici;
- sterilizare prin filtrare.

La sterilizarea aerului prin utilizarea procesului termic uscat, se cer temperaturi ridicate deoarece microorganismele au rezistență mare la uscăciune. Sporii din aer sunt distruși în 24 [s] la $218 \div 220$ [°C]. Această temperatură poate fi obținută fie prin încălzirea aerului într-un schimbător de căldură, o metodă neeconomică din cauza transferului prost de căldură între perete și gaz, dar și din cauza necesității unei surse termice cu potențial termic foarte ridicat, de exemplu abur saturat cu presiunea de peste 30 [ata] ce asigură 233 [°C], „v.A.”, fie prin comprimarea aerului într-un compresor adiabatic, proces mai ușor realizabil, mai ales că pentru vehicularea aerului în instalație este necesară ridicarea presiunii acestuia.

Sterilizarea aerului prin metoda filtrării se realizează pe filtre mecanice prevăzute cu un strat de material fibros ori poros. La început s-au folosit fibre din bumbac, dar odată cu dezvoltarea producției industriale de antibiotice, fibrele din bumbac au fost înlocuite cu fibre din sticlă s-au din alte materiale.

Sterilizarea aerului de barbotare prin comprimare (încălzire uscată)

Algoritm de calcul pentru sterilizarea termică uscată

1. - Calculul lucrului mecanic la comprimarea aerului într-o singură treaptă;
2. - Calculul lucrului mecanic la comprimarea aerului în mai multe treapte;
3. - Calculul temperaturii la ieșirea gazului din compresor;
4. - Calculul puterii necesare și instalate.

Observații asupra punctelor algoritmului

1. - Pentru compresoarele cu o singură treaptă se poate calcula lucrul mecanic teoretic adiabatic, L_{ad} în [J/kg], efectuat în timpul compresiei adiabactice a 1 [kg de gaz] cu formula:

$$L_{ad} = \frac{k}{k-1} \cdot p_1 \cdot v_1 \left[\left(\frac{p_2}{p_1} \right)^{\frac{k-1}{k}} - 1 \right] = \frac{k}{k-1} \cdot R \cdot T_1 \left[\left(\frac{p_2}{p_1} \right)^{\frac{k-1}{k}} - 1 \right],$$

sau utilizând diagrame de calcul: $L_{ad} = i_1 - i_2$;

2. - Pentru compresoarele cu mai multe trepte se poate calcula lucrul mecanic teoretic adiabatic, L_{ad} în [J/kg], efectuat în timpul compresiei adiabactice a 1 [kg de gaz] cu formula:

$$L_{ad} = n \cdot \frac{k}{k-1} \cdot p_1 \cdot v_1 \left[\left(\frac{p_2}{p_1} \right)^{\frac{k-1}{k \cdot n}} - 1 \right] = n \cdot \frac{k}{k-1} \cdot R \cdot T_1 \left[\left(\frac{p_2}{p_1} \right)^{\frac{k-1}{k \cdot n}} - 1 \right],$$

- numărul de trepte de comprimare, n , [-], se determină cu aproximație cu relația:

$$x^n = \left(\frac{p_2}{p_1} \right) \quad n = \left(\frac{\lg p_2 - \lg p_1}{\lg x} \right),$$

- x este gradul de comprimare într-o singură treaptă.

- Relațiile sunt valabile pentru același grad de compresie între trepte, pentru gaze cvasiideale și la aceeași temperatură de intrare în fiecare treaptă.

3. - Temperatura gazului la ieșirea din compresor se determină cu relația:

$$\frac{T_2}{T_1} = \left(\frac{p_2}{p_1} \right)^{\frac{k-1}{k}}.$$

- **Se verifică** temperatura de ieșire a gazului, (aerului), pentru eliminarea sporilor.

- **Observație:** Dacă se impune temperatura de ieșire a gazului din compresor, din aceeași relație se poate determina presiunea finală necesară, deci alegerea compresorului.

4. - Puterea, P , necesară compresorului cu o singură treaptă sau cu mai multe trepte, se determină cu ecuația, în [kW]: $P = \frac{G \cdot L_{ad}}{3\,600 \cdot 1\,000 \cdot \eta_T}.$

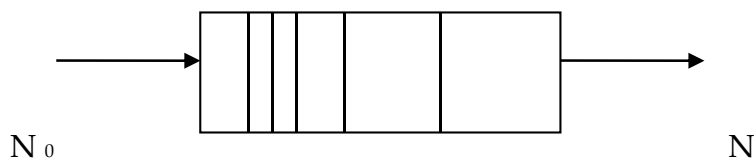
- Pentru **compresoarele pentru aer**, se mai pot utiliza relațiile.

$$P = \frac{1,69 \cdot G \cdot L_{ad}}{3600 \cdot 1000 \cdot \eta_T} = \frac{1,69 \cdot R \cdot T_1 \cdot \ln\left(\frac{p_2}{p_1}\right)}{3600 \cdot 1000 \cdot \eta_T}.$$

În relațiile anterior prezentate: - k este exponentul adiabatic al gazului: $k = c_p/c_v$; pentru aer, $k = 1,4$;

- p_1 și p_2 sunt presiunile de la care aspiră și refulează compresorul, [Pa];
- v_1 este volumul specific de gaz în condițiile inițiale p_1 și T_1 , [m^3/kg];
- R este constanta gazului, $R = \frac{8310}{M}$, [$\text{J/kg} \cdot ^\circ\text{K}$]; - $R = 0,00314$ [$\text{m}^3 \cdot \text{bar/kmol} \cdot ^\circ\text{K}$];
- $R = 0,008205$ [$\text{m}^3 \cdot \text{atm/kmol} \cdot ^\circ\text{K}$];
- M este masa moleculară a gazului, [kg/kmol]; pentru aer: $M = 28,9$ [kg/kmol];
- η_T este randamentul total al compresorului; de exemplu: $\eta_{\text{compr}} = 0,8$ [-], sau 80 [%];
- temperatura inițială a aerului se poate lua $T = 20$ [$^\circ\text{C}$] = 293 [$^\circ\text{K}$];
- presiunea atmosferică este considerată cea normală; 760 [mm Hg];
- i_1 și i_2 sunt entalpiile specifice între presiunea inițială și cea finală, [J/kg].

Sterilizarea aerului prin filtrare



- **Cinetica de reținere** a microorganismelor pe fibrele filtrului este una de ordinul I, arătând că reținerea este proporțională cu drumul parcurs de particulă de-a lungul filtrului:

$$\frac{dN}{dH} = -K \cdot N,$$

unde: - N - este numărul de microorganisme viabile, [-];

- K - este constanta vitezei de reținere, [$1/\text{m}$];

- H - este lungimea filtrului, a stratului filtrant, [m].

- **Prin integrarea ecuației în condițiile:**

- $N = N_0$ pentru $H = H_0$, adică la capătul de intrare;

- $N = N$ pentru lungimea $H = H$, se obține:

$$\frac{N}{N_0} = e^{-KH}; \quad N = N_0 \cdot e^{-KH}; \quad \ln \frac{N}{N_0} = -K \cdot H$$

unde: - N_0 - este contaminarea inițială;

- N - este concentrația particulelor din aer la ieșirea din filtru.

Relația este cunoscută ca relația logaritmică a penetrației.

Eficiența reținerii filtrului, E , este definită ca raportul dintre numărul de particule reținute și numărul inițial de particule din aerul trecut prin filtru:

$$E = \frac{N_0 - N}{N_0} = 1 - \frac{N}{N_0} \quad \text{sau:} \quad E = 1 - e^{-KH}$$

- Pentru a calcula înălțimea, (lungimea), filtrului trebuie determinată K , constanta de reținere.

- **Conceptul de X_{90}** s-a introdus pentru a arăta eficiența reținerii a 90 [%] din microorganismelor care tranzitează filtrul:

$$\ln \frac{1}{10} = -K X_{90}; \quad \lg 0,1 = -1; \quad 2,303 \lg \frac{1}{10} = -K X_{90}; \quad \text{adică:} \quad X_{90} = \frac{2,303}{K}.$$

- K este o mărime specifică fiecărui tip de microorganism, vitezei de curgere a mediului, de tipul și grosimea fibrei filtrante, „**v.A.**”.

Algoritmul de calcul pentru filtrul fibros

1. - Se determină debitul de aer necesar (pentru agitare, aerare, oxidare, creștere, ...);
2. - Se determină timpul de fermentație;
3. - Se determină concentrația microorganismelor din locul de aspirație a aerului care urmează a fi barbotat în mediul de (bio)cultură;
4. - Se impune numărul admis de celule patogene în (bio)culturi;
5. - Se calculează numărul total permis de microorganisme patogene din fermentator la sfârșitul fermentației;
6. - Se determină numărul de microorganisme reținute în total pe filtru pentru ca în finalul (bio)reacției să avem numărul permis de microorganisme patogene;
7. - Se determină K , „**v.A.**”;
8. - Se aplică relația de dimensionare a filtrului pentru a se afla lungimea necesară;
9. - Se aplică coeficientul de corecție al lungimii filtrului;
10. - Se verifică unitățile de măsură introduse în relațiile de calcul;
11. - Se determină caracteristicile aparatului de serilizare a aerului prin filtrare: suprafața transversală necesară și diametrul filtrului.

Observații asupra punctelor algoritmului

1. - Debitul total de aer necesar, Q_v , [m^3], (pentru agitare, aerare, oxidare, creștere etc.), se obține din bilanțul total de materiale.
2. - Timpul de fermentație, τ , [h], este specific tipului de bioproduct sau bioreacție.

3. - Numărul normal acceptat de microorganisme în aer, N_n , este de $[250/m^3]$. Această valoare este una impusă de parametri de calitate a aerului în medii urbane sau industriale.

4. Numărul normal de microorganisme patogene admise în culturi este de $[1/l]$ litru], adică $[10^{-3}/ml]$, sau $[1\ 000/m^3]$.

5. - Numărul total permis de microorganisme patogene din fermentator la sfârșitul fermentației este: $N_{\text{permis}} = V_{\text{amestec}} [l] \times 1 [buc/l]$.

6. - Numărul de microorganisme reținute în total pe filtru pentru ca în final să avem numărul permis este: $N_{\text{total}} = N_n \times Q_v \times \tau_{\text{fermentație}}$, $[nr = \frac{nr}{m^3} \times \frac{m^3}{h} \times h]$.

7. - Se determină K , „v.A.”.

8. - Se aplică relația de dimensionare a filtrului pentru a i se afla lungimea necesară: $\ln (N_{\text{permis}}/N_{\text{total}}) = - K \cdot H$.

9. - Se aplică un coeficient de corecție, supraunitar, dependent de numărul de cicluri de fermentație deservite de filtru, de tipul și modul de sterilizare a filtrului, de tipul constructiv, calitatea construcției filtrului, modul de operare și deservire etc.

11. - Se determină caracteristicile aparatului de serilizare a aerului prin filtrare:

- suprafața transversală necesară: $S = Q_v / (\varepsilon_f \cdot w)$;

- diametrul filtrului: $D = \sqrt{\frac{4 \cdot Q_v}{\pi \cdot \varepsilon_f \cdot w}}$;

- ε_f este volumul liber al masei de fibre sau granule a filtrului de reținere, $[m^3/m^3]$, [-].

- w este viteza de curgere a aerului prin filtru, $[m/s]$.

- Valoarea diametrului rezultat din calcul trebuie corectat, standardizat, „v.A.”, cu diametrul țevelor din care sunt confecționate acestea, („v. A.” la tabelul cu diametrul țevelor), apoi se calculează S_{element} : $S_{\text{element}} = (\pi \cdot D^2)/4$;

- numărul de elemente filtrante: $n_f = S_{\text{total}}/S_{\text{element}}$;

- calculul vitezei aerului în fiecare filtru: viteza fictivă și viteza reală;

- calculul pierderii de presiune în filtru, considerându-se acesta ca o coloană cu umplutură uscată parcursă de un fluid, „v.A.”.

- Cu valoarea pierderii de presiune printr-un filtru: Δp_{filtru} , $[Pa]$; se calculează pierderea de presiune pentru toată bateria de filtre: $\Delta p_{T \text{ filtru}} = n_f \cdot \Delta p_{\text{filtru}}$, $[Pa]$.

- Această valoare se adaugă pierderilor totale de presiune deja calculate anterior pentru traseul de conducte: Δp_d , Δp_{fr} , Δp_{rl} , Δp_h , Δp_{st} , apărând astfel o nouă valoare a pierderii de presiune, Δp_{int} :

$$\Delta p_{\text{int}} = \Delta p_d + \Delta p_{fr} + \Delta p_{rl} + \Delta p_h + \Delta p_{st} + \Delta p_{T \text{ filtru}}, [Pa].$$

- În funcție de valoarea totalului pierderilor de presiune astfel determinate, Δp_{int} , se poate evalua pierderea de presiune proprie compresorului, datorită modelelor și tipurilor constructive ale acestora. Aceste valori se preiau din cataloagele, caietele de sarcini, prospectele sau informațiile producătorilor de compresoare și sunt dependente de tipul de utilaj. Pe lângă presiunea dezvoltată de compresor, din aceste materiale informatice se alege și debitul acestuia și alte detalii tehnico-funcționale. O prezentare succintă a unei diagrame pentru alegerea dispozitivelor de vehiculare a fluidelor este dată în „v.A.”.

- Pentru un calcul orientativ se poate considera ca pierdere proprie compresorului o valoare de $25 \div 30$ [%] din valoarea totală intermediară calculată mai sus, adică:

$$\Delta p_{\text{fin.}} = (1,25 \div 1,30) \cdot \Delta p_{\text{int.}}$$

- Având valoarea presiunii totale finale, se poate determina **temperatura** la sfârșitul comprimării adiabatic. În acest fel se poate compara valoarea acesteia cu cele prezentate în literatură pentru sterilizarea uscată, eventual o estimare a unui grad de sterilizare chiar din momentul comprimării aerului tehnologic. Relația de calcul se găsește în Anexă, „v.A.”.

- Totodată, cu ajutorul relațiilor prezentate în Anexă, „v.A.”, se poate determina **puterea** necesară motorului compresorului pentru efectuarea acestui serviciu și **puterea instalată**, după recomandările de la capitolul pompe și compresoare.

Calculul teoretic al sterilizării aerului prin filtrare pe materiale granulare sau fibroase

Observație: Acest mod de calcul trebuie aplicat cu circumspecție, trebuind să fie coroborat și cu alte date despre sterilizarea prin filtrație.

O schemă de principiu a acestui tip de calcul teoretic de sterilizare este prezentată în [1, pag. 42], inclusiv modelul fizic al ansamblului procesului de filtrație, de unde se poate determina randamentul de filtrație. Sterilizarea aerului care intră în instalație este un proces continuu, chiar dacă procesul de fermentație este tip șarjă, eventual derulate decalat sau succesiv.

- Calculul randamentului de filtrație se face după formula:

$$\eta_T = \eta_d + \eta_i + \eta_s + \eta_e + \eta_w,$$

unde: - η_T = randamentul total al separării particulelor;

- η_d = randamentul separării particulelor prin difuziune;

- η_i = randamentul separării particulelor prin inserție și interceptare;

- η_s = randamentul separării particulelor prin sedimentare;
- η_e = randamentul separării particulelor datorită forțelor electrostatice;
- η_w = randamentul separării particulelor datorită forțelor Van der Waals.
- Fiecare dintre aceste procese influențează randamentul total într-o anumită măsură, putând fi calculate pentru cazuri concrete în care se cunosc:
 - diametrul fibrei, d_f , [μm], 10^{-5} [m];
 - diametrul mediu al particulei ce trece peste materialul granular sau fibros, microorganismele ce trebuie reținute, d_p , [nm], 10^{-8} [m];
 - criteriul Reynolds pentru curgerea aerului prin filtru: $Re = \frac{w \cdot d_p \cdot \rho_e}{\eta_e}$;
 - temperatura de lucru, T , [$^{\circ}\text{C}$];
 - viteza particulei înainte de a ajunge la fibră, w , [m/s];
 - volumul de fibră pe unitatea de volum de filtru, α , [-];
 - porozitatea filtrului, $\varepsilon = 1 - \alpha$, [-];
 - densitatea particulelor, microorganismelor, ρ_p , [kg/m^3].
- Cu aceste date se pot calcula celelalte mărimi, după cum urmează:

1. Calculul randamentului separării particulelor prin difuzie

- Relația de calcul este:

$$\eta_d = \frac{1}{2 \cdot (2 - \ln Re)} \cdot \left[2 \cdot \left(1 + \frac{2 \cdot x_0}{d_f} \right) \cdot \ln \left(1 + \frac{2 \cdot x_0}{d_f} \right) - \left(1 + \frac{2 \cdot x_0}{d_f} \right) + \frac{1}{\frac{2 \cdot x_0}{d_f} + 1} \right]$$

unde: - $2 \cdot x_0/d_f = (1,12 \cdot D_B/C_L/d_f)^{1/3}$;

- $C_L = v_0 / (2 \cdot (2 - \ln Re))$;
- D_B = coeficientul de difuziune browniană = $C \cdot T \cdot k_B / (3 \cdot \pi \cdot \mu \cdot d_p)$;
- C = coeficientul de corecție Cunningham, $C = 1,06$;
- k_B = constanta lui Boltzmann, $k_B = 1,37 \cdot 10^{-23}$ [$\text{kg} \cdot \text{m}^2/\text{s}$].

2. Calculul randamentului separării particulelor prin inserție și inerceptare

- Formula de calcul este:

$$\eta_i = \frac{1}{2 \cdot (2 - \ln Re)} \cdot \left[2 \cdot (1 + R) \cdot \ln(1 + R) - (1 + R) + \frac{1}{R + 1} \right]$$

unde: - R = parametrul interceptării, $R = d_p/d_f$;

3. Calculul randamentului separării particulelor prin sedimentare

$$\eta_s = \frac{C \cdot d_p \cdot 2 \cdot \rho_p \cdot g}{18 \cdot \mu \cdot v_0}$$

4. Calculul randamentului separării particulelor datorită forțelor Van der Waals

$$\eta_w = \left[\frac{43,9 \cdot d_p^2}{(2 - \ln Re)^2} \right]^{1/3}.$$

Sterilizarea mediului de cultură prin încălzire

Procesul de **distrucție termică a microorganismelor** poate fi asimilat prin analogie cu reținerea microorganismelor pe filtre fibroase reacției monomoleculare de ordinul I, a cărei viteză de reacție este descrisă prin ecuația:

$$-\frac{dN}{d\tau} = k \cdot N; \quad N = \text{număr microorganisme/V [1/ml]};$$

τ = timp de sterilizare, [s]; k = constanta de deces, de dispariție, [s^{-1}];

$$\int_{N_0}^N \frac{dN}{N} = -k \cdot \int_0^\tau d\tau; \quad \ln\left(\frac{N}{N_0}\right) = -k \cdot \tau; \quad 2,303 \cdot \lg \frac{N}{N_0} = -k \cdot \tau; \quad N = N_0 \cdot e^{-k \cdot \tau};$$

$$\tau = \frac{2,303}{k} \cdot \lg \frac{N_0}{N}, \quad \ln \frac{N_0}{N} = k \cdot \tau.$$

$$\ln \frac{N_0}{N} = k_0 \cdot e^{-\frac{E_a}{R \cdot T}} \cdot \tau, \quad E_a (\text{spor}) = 300 \div 400 \text{ [kJ/kmol]};$$

- $R = 0,008205 \text{ [m}^3 \cdot \text{atm /}^0\text{K} \cdot \text{kmol]}$, - $R = 0,00314 \text{ [m}^3 \cdot \text{bar /}^0\text{K} \cdot \text{kmol]}$,

- $R = 8\,310 \text{ [J /}^0\text{K} \cdot \text{kmol]}$.

- Cunoscându-se valoarea energiei de activare, E_a , [J/mol] și a factorului preexponențial, k_0 , [s^{-1}] se poate determina timpul de menținere la temperatura T , [^0K], în care se „degradează” microorganismele, adică timpul de sterilizare pentru orice sistem.

- În practică se preferă timpul care să distrugă cei mai rezistenți agenți patogeni.

- Ecuația permite simularea numerică a sterilizării, plecând de la valorile cinetice, tehnologice și ale gradului de sterilizare. În mod normal se consideră un grad de sterilizare, N , care să asigure 1 [microorganism/1 l de substrat] sau 10^{-3} [microorganisme/1 ml]; sau 1 000 [microorganisme/1 m^3]. Pentru sisteme pretențioase, valoarea poate fi mai mică, după caz.

- Valoarea N_0 a contaminării inițiale se determină prin măsurători microbiologice, deoarece contaminarea materialelor depinde de condițiile de transport, depozitare, de igienă locală etc.

- Din datele din literatură se pot determina aceste valori, „**v.A.**”.

Algoritmul de calcul pentru sterilizarea termică

1. - Se determină numărul inițial de microorganisme din mediul de cultură și tipul lor;
2. - Se determină constanta de deces a microorganismelor;
3. - Se calculează factorul preexponențial și energia de activare pentru reacția de deces a tipului respectiv de microorganism;
4. - Se efectuează o simulare numerică pentru optimizarea procesului;
5. - Se calculează timpul τ , [s], de menținere la temperatura T , [$^{\circ}\text{C}$] de sterilizare.

Observații asupra punctelor algoritmului

1. - Valoarea N_0 a contaminării inițiale se determină prin măsurători microbiologice de laborator, deoarece contaminarea materiilor prime, materialelor și instalațiilor depinde de condițiile de transport, depozitare, de igienă locală, de mod de operare etc.

2. - Constanta de deces a microorganismelor se poate determina din date experimentale sau din date de literatură, prin calcul, deoarece procesul de **distrucție termică a microorganismelor** poate fi asimilat reacției monomoleculare de ordinul I, vezi mai sus.

3. - Se calculează factorul preexponențial și energia de activare pentru reacția de deces a tipului respectiv de microorganism. Calculul se bazează fie pe date experimentale, fie din date de literatură „v.A.”.

4. - Simularea numerică este utilă pentru optimizarea procesului, deoarece se pot afla valorile convenabile ale temperaturii și timpului de menținere pentru sterilizare, utilizându-se valorile tehnologice din cadrul instalației.

5. - Se calculează, sau se determină din simularea numerică timpul τ , [s], de menținere la temperatura T , [$^{\circ}\text{C}$] de sterilizare. În practică se preferă timpul care să distrugă cei mai rezistenți agenți patogeni.

Calculul sterilizării umede a aparaturii și mediului de cultură prin încălzire în bioreactor

- Pentru calculul sterilizării (bio)reactorului se pornește de la tipul de proces tehnologic:

- a) - discontinuu: α - încălzire prin manta;
 β - încălzire prin serpentină;
 γ - încălzire cu „abur viu”;
 δ - încălzire electrică.
- b) - continuu.

a) α) - Pentru sistemul discontinuu, interiorul (bio)reactorului se va steriliza simultan cu cea a mediului de cultură prin încălzirea (bio)reactorului cu ajutorul aburului introdus în mantaua acestuia. Temperatura și timpul de sterilizare se stabilește conform cineticilor de deces a microorganismelor (vezi mai sus.).

Ca și proces, mediul de cultură se încarcă în bioreactor, se etanșază recipientul și se încălzește sub agitare mecanică până la temperatura prestabilită cu abur saturat introdus în mantaua reactorului. Vor exista trei perioade distincte:

1. - perioada de încălzire;
- 2.. - perioada de menținere la temperatura de sterilizare;
3. - perioada de răcire până la temperatura de inoculare cu sușa de cultură nobilă, preparatul microbiologic exersat pentru bioreacția respectivă, inoculul.

În timpul menținerii la temperatura prescrisă, care este și cea de fierbere a apei la presiunea respectivă, vaporii de apă degajați sunt condensați într-un condensator plasat deasupra reactorului, condensul returnându-se în vas, pentru a se menține concentrația mediului de cultură, evitându-se și evacuarea aburului în mediul înconjurător. Diagrama Temperatură - timp pentru procesul de sterilizare umedă direct în bioreactor este prezentată mai jos. Se remarcă prezența a celor trei porțiuni de timp și fenomene distincte: 1., 2., 3..

- Parametrii care trebuie calculați sunt: timpul de încălzire, (τ_i), de menținere, (τ_m), respectiv de răcire, (τ_r), precum și debitele, (cantitățile), de abur, respectiv apă de răcire.

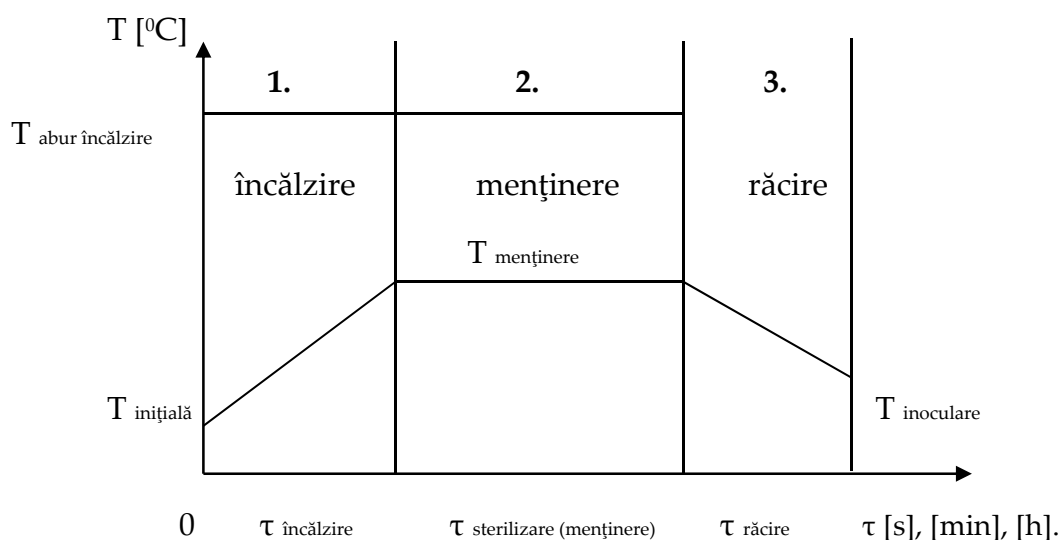


Diagrama Temperatură - timp la sterilizarea discontinuă

Algoritmul de calcul pentru încălzirea aparaturii și a mediului de cultură

1. - Se identifică sursa termică și parametrii săi;
2. - Se calculează bilanțul termic global;
3. - Calculul căldurii necesare încălzirii sistemului până la temperatura de sterilizare;
4. - Calculul sau estimarea căldurii pierdute în mediul înconjurător;
5. - Calculul grosimii stratului de izolație;
6. - Calculul suprafeței de transfer termic;
7. - Determinarea forței motrice medii, ΔT_{med} ;
8. - Calculul timpului de încălzire al reactorului și masei de reacție;
9. - Calculul cantității sau a debitului de agent termic.

Observații asupra punctelor algoritmului

1. - Încălzirea reactorului se face de obicei cu abur industrial la presiunea standard de livrare de la centrala termică a unității, abur saturat cu presiunea p_s , [ata] la temperatura de saturație, T_s . La această temperatură, T_s , se preiau din tabele caracteristicile aburului: temperatură, presiune, entalpia specifică a vaporilor, i'' , [kJ/kg], entalpia specifică a condensului, i' , [kJ/kg], entalpia de schimbare de fază, (căldura latentă de condensare), r_s , [kJ/kg], densitatea, ρ , [kg/m³], viscozitatea dinamică a lichidului, (condensului), η , [Pa·s], difuzivitatea termică, a , [m²/s]. Din datele furnizate de producătorul de abur trebuie obținute valoarea titlului aburului, x , [-], adică a procentului de condens prezent în vaporii și a procentului de gaze necondensabile, Y , [%], din vaporii furnizați, „v.A.”.

2. - Ecuația generală de bilanț termic:

$$Q_{cedat} = Q_{transferat} = Q_{primit} + Q_{pierderi};$$

- Q_{cedat} este căldura cedată de aburul de încălzire și anume căldură latentă;

- $Q_{transferat}$ este căldura transferată prin perete de la aburul de încălzire prin pereții reactorului la lichidul sub agitare;

- $Q_{primit} = Q_{încalzire}$, este căldura primită de ansamblul: (bioreactor + mediul de reacție) și anume căldură specifică;

- $Q_{pierderi}$ este energia termică disipată în mediul înconjurător.

3. - Căldura necesară încălzirii întregului sistem este suma a trei termeni:

$$Q_{încalzire} = Q_{m,cp} + Q_{reactor} + Q_{pierderi};$$

$$Q_{m,cp} = m_{m,cp} \cdot Q_{m,cp} \cdot \Delta T; \quad Q_{reactor} = M_r \cdot C_{p,o\acute{z}el} \cdot \Delta T; \quad \Delta T = (T_s - 20), [^{\circ}C];$$

$$Q_{pierderi} = \alpha_{ext} \cdot A_{ext} \cdot \Delta T; \quad \Delta T = (40 - 20), [^{\circ}C];$$

$$Q_{încalzire} = K \cdot A_m \cdot \Delta T_{med} \cdot \tau_{încalzire};$$

- $\tau_{\text{încălzire}}$ este timpul de încălzire, [s];

- K este coeficientul total de transfer termic, $[W/m^2 \cdot ^\circ K]$, determinat cu relații de calcul caracteristice sau din diagrame specifice, „**v.A.**”;

4. - Căldura pierdută înspre mediul exterior are ca potențial termic diferența de temperatură dintre suprafața izolației bioreactorului și a mediului înconjurător. Temperatura de $40 [^\circ C]$ este cea maximă impusă de normele de protecție a muncii, care normează această valoare pentru a feri operatorii chimiști de posibilele arsuri termice.

$$Q_{\text{pierderi}} = \alpha_{\text{ext}} \cdot A_{\text{ext}} \cdot \Delta T; \quad \Delta T = (40 - 20), [^\circ C];$$

- A_{ext} , $[m^2]$, este suprafața exterioară a izolației bioreactorului, care este mai mare decât suprafața mantalei din cauza grosimii stratului izolant;

- $\alpha_{\text{ext}} = 9,74 + 0,07 \cdot (T_p - T_{\text{aer}})$, $[W/m^2 \cdot ^\circ K]$, este coeficientul parțial de transfer termic de la suprafața exterioară înspre aerul înconjurător, „**v.A.**”.

- Pentru un calcul aproximativ se poate estima o pierdere de căldură cuprinsă între $2 \div 10 [\%]$ din totalul căldurii schimbate. În condițiile în care încălzirea globală și conservarea energiei sunt probleme cu urmări serioase, este de preferat limitarea pierderilor termice în mediul înconjurător.

5. - Această grosime, δ , [m], se calculează având în vedere limita maximă de temperatură admisibilă în mantaua bioreactorului și temperatura maximă impusă de normele de protecție a muncii, precum și tipul de material de izolație:

$$\frac{\lambda_{iz}}{\delta_{iz}} \cdot (T_s - 40) = \alpha_{\text{ext}} \cdot (40 - 20);$$

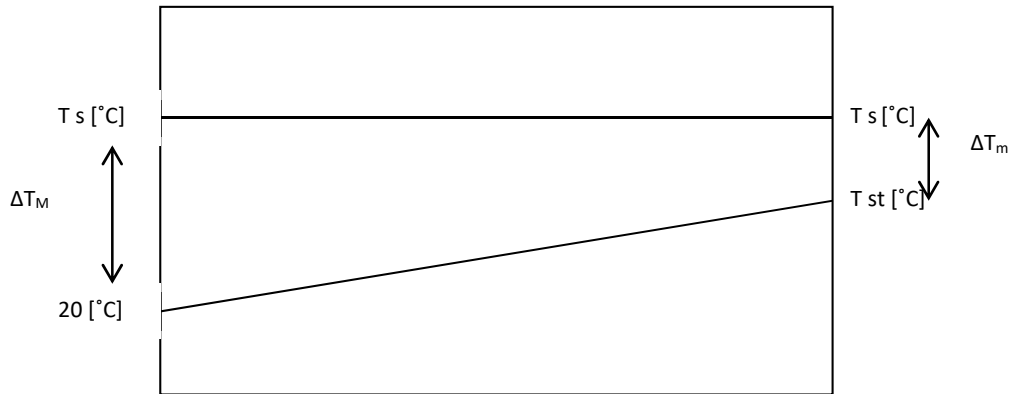
6. - Suprafața de transfer termic este suprafața interioară a mantalei, prelevată din cataloagele de utilaje sau estimate printr-un calcul orientativ.

$$A_m = \pi \cdot D_r \cdot H_m + \pi \cdot \frac{D_r^2}{4}$$

unde:

- A_m - aria de transfer termic, aria mantalei de încălzire, $[m^2]$;
- D_r - diametrul reactorului, $[m]$;
- H_m - înălțimea mantalei reactorului, $[m]$.

7. - Diagrama termică pentru perioada de încălzire este dată mai jos:



ΔT_{med} , se determină cu relația:
$$\Delta T_{med} = \frac{\Delta T_M - \Delta T_m}{\ln \frac{\Delta T_M}{\Delta T_m}},$$

unde: - $\Delta T_m = (T_s - T_{st})$ este diferența minimă de temperatură la sfârșitul etapei de încălzire;

- $\Delta T_M = (T_s - 20)$ este diferența maximă de temperatură la începutul etapei, [°K].

8. - Timpul de încălzire se determină din relația:

$$\tau_{incalzire} = \frac{Q_{incalzire}}{K \cdot A_m \cdot \Delta T_{med}} = \frac{(m_{c.m.} \cdot \rho_{m.c.} + M_r \cdot c_{p\ ote l}) \cdot (T_s - 20) + \alpha_{ext} \cdot A_{ext} \cdot (40 - 20)}{K \cdot A_m \cdot \Delta T_{med}},$$

9. - Masa de abur, [kg], necesară în perioada încălzirii se calculează cu relația:

$$M_{abur} = \frac{Q_{incalzire}}{(1-x) \cdot (1-Y) \cdot r_s},$$

- iar debitul necesar, [kg/s]:
$$Q_{M\ abur} = \frac{M_{abur}}{\tau_{incalzire}}.$$

unde: - x este umiditatea aburului, cantitatea de abur deja condensată datorită pierderilor de căldură pe traseul centrala termică - aparat, [%];

- Y este fracția de gaze necondensabile prezente în abur, [%].

- r_s este căldura latentă de condensare, [kJ/kg].

Calculul sterilizării umede a aparaturii și mediului de cultură prin încălzire în bioreactor prin intermediul serpentinelor

Observații asupra punctelor algoritmului

Sunt valabile **TOATE** punctele algoritmului de încălzire a bioreactorului cu diferența:

- **a). β_1) - Încălzire prin serpentină, β_1 .**

- Se calculează aria medie a unei serpentine:

$$S_{serp} = \pi \cdot d_{med} \cdot L_{serp}; \quad d_{med} = (d_e + d_i)/2;$$

- Se calculează aria totală de transfer a serpentinei:

$$S_{T \text{ serp}} = n_{\text{serp}} \cdot S_{\text{serp}};$$

- n - este numărul de serpentine, [-]
- **Observație:** - deosebirea constă în modul de calcul pentru suprafața de transfer termic datorită geometriei sistemului.
- Din punct de vedere tehnologic, lungimea serpentinei nu poate fi prea mare, în funcție de diametru, cel mult $20 \div 25$ [m]. Acest lucru este necesar pentru ca lichidul, condensul, să nu inunde spațiul interior al țevii, îngreunând transferul termic.
- Serpentinele se plasează în baterii de $3 \div 5$ bucăți cu alimentare și scurgere comună.
- Scurgerea comună a bateriilor de serpentine se cuplează la o evacuare comună a condensului.
- În acest mod se poate asigura suprafața de încălzire necesară.

- **Avantaje:**

- se poate utiliza numai o parte a bioreactorului, nefiind nevoie de umplere completă;
- coeficient total de transfer mai bun, mai mare;
- grad de turbulență mai ridicat datorită prezenței serpentinei; care joacă și rolul de spărgătoare de vâreț;
- arie de transfer termic flexibilă, predictibilă după necesitățile rezultate din predimensionarea operației și dimensionarea bioreactorului;

- **Dezavantaje:**

- sisteme de manipulare complexe a bateriilor de serpentine, care pot ajunge la $12 \div 25$ baterii;
- greutate proprie ce poate depăși pe cea a unui (bio)reactor cu manta;
- curățare dificilă pe exteriorul serpentinei, adică de partea de către masa de (bio)reacție;
- reducerea volumului util al (bio)reactorului, prin prezența fizică a serpentinei;

- **a). β_2) - Încălzire prin serpentină și manta; β_2 .**

- Se calculează aria medie a unei serpentine:

$$S_{\text{serp}} = \pi \cdot d_{\text{med}} \cdot L_{\text{serp}}; \quad d_{\text{med}} = (d_e + d_i)/2;$$

- Se calculează aria totală de transfer a serpentinei:

$$S_{T \text{ serp}} = n_{\text{serp}} \cdot S_{\text{serp}};$$

- n - este numărul de serpentine, [-];

$$A_{\text{finală}} = A_{\text{manta}} + A_{\text{serp}};$$

- **Observație:** - deosebirea constă în modul de calcul pentru suprafața de transfer termic datorită geometriei sistemului, manta plus serpentină.

- **Avantaje:**

- se poate utiliza simultan o suprafață de încălzire mai mare, deci reducerea timpului de încălzire, același avantaj fiind și în faza de răcire a mediului de cultură;
- coeficient total de transfer mai bun, mai mare, datorită și prezenței serpentinelor, care oferă coeficienți parțiali mai mari;
- grad de turbulență mai ridicat în vas datorită prezenței serpentinelor; care joacă și rolul de spărgătoare de vârtaj;
- arie de transfer termic flexibilă, predictibilă după necesitățile rezultate din predimensionarea operației și dimensionarea bioreactorului, bateriile de serpentine putând fi operate individual sau în comun;

- **Dezavantaje:**

- sisteme de manipulare complexe a bateriilor de serpentine, care pot ajunge la 12 ÷ 25 baterii;
- greutate proprie mai mare ca a celui cu manta;
- curățare dificilă pe exteriorul serpentinei, adică de partea de către masa de (bio)reacție;
- reducerea volumului util al (bio)reactorului, prin prezența fizică a serpentinelor.

a). γ - Încălzirea cu „abur viu”.

1. - Procedura înseamnă introducerea directă a aburului în masa de cultură. Aburul asigură atât agitarea lichidului, cât și încălzirea materialului prin cedarea căldurii de vaporizare în mod direct, fără un perete despărțitor, condensul rămânând în masa de cultură. Presiunea, deci și temperatura aburului trebuie alese cu circumspecție. Prin calcul, trebuie să se țină cont de cantitatea de condens rezultată, pentru a nu dilua masa de cultură.

2. - Bilanțul termic global; $Q_{\text{cedat}} = Q_{\text{transferat}} = Q_{\text{primit}} + Q_{\text{pierderi}}$;

se poate rescrie astfel:

$$m_{\text{ab viu}} \cdot r_{\text{ab viu}} = Q_{\text{primit}} + Q_{\text{pierderi}};$$

$$Q_{\text{primit}} = Q_{\text{m.cp}} + Q_{\text{reactor}} + Q_{\text{pierderi}};$$

$$Q_{\text{m.cp.}} = m_{\text{m.cp.}} \cdot Q_{\text{m.cp.}} \cdot \Delta T; \quad Q_{\text{reactor}} = M_r \cdot C_{p \text{ oțel}} \cdot \Delta T; \quad \Delta T = (T_s - 20), [^{\circ}\text{C}];$$

$$Q_{\text{pierderi}} = \alpha_{\text{ext}} \cdot A_{\text{ext}} \cdot \Delta T; \quad \Delta T = (40 - 20), [^{\circ}\text{C}];$$

a). δ - Încălzire electrică.

2. - Bilanțul termic global; $Q_{\text{cedat}} = Q_{\text{transferat}} = Q_{\text{primit}} + Q_{\text{pierderi}}$; este același, diferă doar forma de vehiculare a agentului termic.

b) - continuu. Operarea continuă prezintă o serie de particularități, între care:

- debite de lichid mici;
- agenți termici cu potențial înalt;
- prezența unor dispozitive speciale pentru operarea sistemului: sasuri de trecere, pompe pentru menținerea presiunilor și de recirculare, ventile de detentă, vase de separare vapori - lichid, sisteme tip manșon de răcire etc.
- necesitatea monitorizării computerizate care să controleze acționarea valvelor sau alte sisteme de comandă.

Calculul termic a perioadei de menținere, sterilizarea propriu-zisă

Pentru perioada propriu-zisă de sterilizare, prin admisia aburului de încălzire, lichidul din bioreactor, apa din mediul de cultură, fierbe, se vaporizează, vaporii ajung într-un condensator de unde retransformându-se în lichid, condens la punctul de condensare, se reîntoarce în bioreactor.

Materialele care intervin în această perioadă sunt:

- aburul de încălzire cu caracteristicile: temperatură, T_s , presiune, entalpia specifică a vaporilor, i'' , [kJ/kg], entalpia specifică a condensului, i' , [kJ/kg], entalpia de schimbare de fază, (căldura latentă de condensare), r , [kJ/kg], densitatea, ρ , [kg/m³], viscozitatea dinamică a lichidului, (condensului), η , [Pa·s], difuzivitatea termică, a , [m²/s]. Din datele furnizate de producătorul de abur trebuie obținute valoarea titlului aburului, x , [-], adică a procentului de condens prezent în vapori și a procentului de gaze necondensabile, Y , [%], din vaporii furnizați.

- mediul de cultură cu caracteristicile principale ale apei: temperatura de fierbere egală cu cea de sterilizare, $T_f = T_{st}$ la presiunea corespunzătoare, entalpia specifică a vaporilor de apă, i'' , [kJ/kg], entalpia specifică a apei condensate, i' , [kJ/kg], entalpia de schimbare de fază a apei, (căldura latentă de condensare a apei), r , [kJ/kg], densitatea condensului și a vaporilor de apă la temperatura T_f , ρ , [kg/m³], viscozitatea dinamică a lichidului, (condensului), η , [Pa·s], „v.A.”;

- τ , timpul de sterilizare, calculat anterior, [s];

- rata, (procentul), de vaporizare a apei din mediul de cultură, y_v , [%], dependentă de debitul de abur. Cu cât debitul de abur de încălzire este mai mare, crește și rata de vaporizare. Efectul este și un debit mai mare de vapori în condensator, debit care trebuie recondensat și reîntors în bioreactor. Acest lucru duce la creșterea debitului apei de răcire în condensator, cu cheltuielile energetice și materiale, (apă de răcire). De aceea se recomandă o rată minimă de vaporizare, doar pentru a menține presiunea și temperatura fixată de sterilizare.

Ecuția generală de bilanț termic:

$$Q_{\text{cedat}} = Q_{\text{transferat}} = Q_{\text{primit}} + Q_{\text{pierderi}}$$

- Q_{cedat} este căldura cedată de aburul de încălzire, și anume căldură latentă;
- $Q_{\text{transferat}}$ este căldura transferată prin perete de la aburul de încălzire prin perețele reactorului la lichidul în fierbere;
- $Q_{\text{primit}} = Q_{\text{fierbere}}$, este căldura primită de mediul de reacție pentru fierberea apei ce constituie rata de vaporizare, și anume căldură latentă;
- Q_{pierderi} este energia termică disipată în mediul înconjurător.

Căldura necesară fierberii este:

$$Q_{\text{fierbere}} = y \cdot v \cdot r_{\text{st}}$$

$$Q_{\text{fierbere}} = K \cdot A_m \cdot \Delta T_{\text{util}};$$

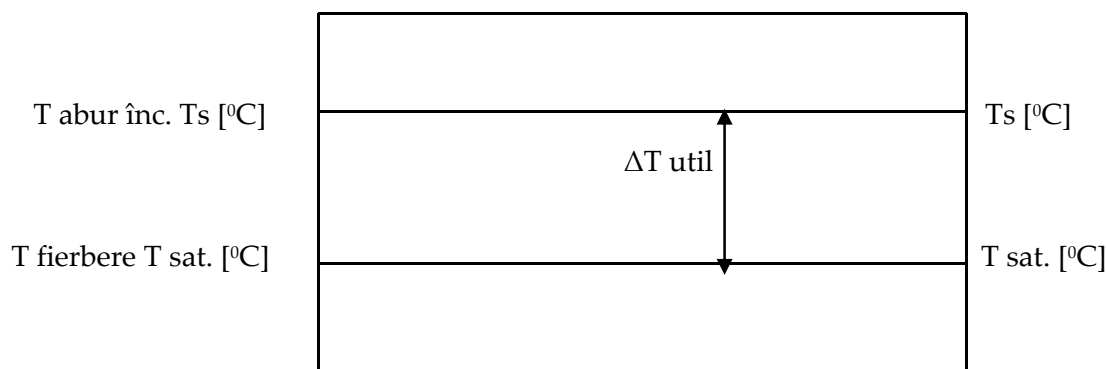
$$Q_{\text{pierderi}} = \alpha_{\text{ext}} \cdot A_{\text{ext}} \cdot \Delta T; \quad \Delta T = (40 - 20), [^{\circ}\text{C}].$$

- K este coeficientul total de transfer termic, $[\text{W}/\text{m}^2 \cdot ^{\circ}\text{K}]$
- Căldura pierdută înspre mediul exterior are ca potențial termic diferența de temperatură dintre suprafața izolației bioreactorului și a mediului înconjurător. Temperatura de $40 [^{\circ}\text{C}]$ este cea maximă impusă de normele de protecție a muncii;
- A_{ext} , $[\text{m}^2]$, este suprafața exterioară a izolației bioreactorului, care este mai mare decât suprafața mantalei din cauza grosimii stratului izolant.
- $\alpha_{\text{ext}} = 9,74 + 0,07 \cdot (T_p - T_{\text{aer}})$, $[\text{W}/\text{m}^2 \cdot ^{\circ}\text{K}]$, este coeficientul parțial de transfer termic de la suprafața exterioară înspre aerul înconjurător.
- Pentru un calcul aproximativ se mai poate estima o pierdere de căldură cuprinsă între 2-10 [%] din totalul căldurii schimbate.
- Coeficientul total de transfer termic, K , se determină astfel:
- se verifică valoarea simplexului $D_{\text{re}}/D_{\text{ri}}$;
- dacă $D_{\text{re}}/D_{\text{ri}} < 2$ se aplică relația pentru pereți plani:

$$K = \frac{1}{\frac{1}{\alpha_{\text{abur cond}}} + \frac{\delta_p}{\lambda_p} + \sum r_{\text{dep}} + \frac{1}{\alpha_{\text{fierbere}}}},$$

- unde:
- $\alpha_{\text{abur cond}}$, α_{fierbere} sunt coeficienții parțiali de transfer termic de partea aburului care condensează și de partea mediului de cultură, apa, care fierbe, $[\text{W}/\text{m}^2 \cdot ^{\circ}\text{K}]$, „**v.A.**”;
 - δ este grosimea peretelui bioreactorului, $[\text{m}]$;
 - λ este conductivitatea termică a peretelui reactorului, oțel inoxidabil, $[\text{W}/\text{m} \cdot ^{\circ}\text{K}]$;
 - $\sum r_{\text{dep}}$ este suma rezistențelor depunerilor pe perețele bioreactorului, $[\text{m}^2 \cdot ^{\circ}\text{K}/\text{W}]$.
 - Valorile acestor parametri: $\alpha_{\text{abur cond}}$, α_{fierbere} , λ , δ , $\sum r_{\text{dep}}$ se calculează conform recomandărilor specifice transferului termic sau se găsesc în datele din Anexă.
 - Cel mai corect este calcularea coeficienților parțiali de transfer termic, urmând recomandările mai sus amintite, „**v.A.**”.

Diagrama termică pentru perioada de sterilizare



Forța motrice la sterilizare: $\Delta T_{\text{util}} = (T_s - T_{\text{st}}), [^{\circ}\text{C}]$

- Masa de abur necesară în perioada sterilizării se calculează cu relația:

$$M_{\text{abur}} = \frac{Q_{\text{fierbere}}}{(1-x) \cdot (1-Y) \cdot r_s} = \frac{y_v \cdot r_{\text{sat}}}{(1-x) \cdot (1-Y) \cdot r_s},$$

iar debitul necesar:

$$Q_M = \frac{M_{\text{abur}}}{\tau_{\text{sterilizare}}}.$$

Algoritmul de calcul pentru perioada de menținere la temperatura de sterilizare

1. - Sursa termică și parametrii săi sunt deja mărimi cunoscute, aceleași ca și pentru perioada de încălzire;
2. - Identificarea caracteristicilor de bază a lichidului din mediul de cultură, apa, în condițiile de sterilizare, adică temperatura și presiunea de sterilizare;
3. - Selectarea timpului de sterilizare, determinat anterior;
4. - Alegerea ratei de vaporizare a apei din mediul de cultură, eventual optimizarea ei;
5. - Calculul bilanțului global termic;
6. - Detalierea bilanțului termic;
7. - Calculul pierderilor de căldură cu exteriorul;
8. - Calculul forței motrice la transferul termic;
9. - Calculul cantității și a debitului de abur;
10. - Calculul necesarului de apă de răcire în condensator.

Observații asupra punctelor algoritmului

1. - Sursa termică și parametrii săi sunt deja mărimi cunoscute, aceleași ca și pentru perioada de încălzire.

2. - Mediul de cultură cu caracteristicile principale ale apei: temperatura de fierbere egală cu cea de sterilizare, $T_f = T_{st}$ la presiunea corespunzătoare, p_{sat} , entalpia specifică a vaporilor de apă, i'' , [kJ/kg], entalpia specifică a apei condensate, i' , [kJ/kg], entalpia de schimbare de fază a apei, (căldura latentă de condensare a apei), r , [kJ/kg], densitatea condensului și a vaporilor de apă la temperatura T_f , ρ , [kg/m³], viscozitatea dinamică a lichidului, (condensului), η , [Pa·s], „v.A.”;

3. - Timpul de operare este cel de sterilizare, calculat anterior, τ , [s].

4. - Rata, (procentul), de vaporizare a apei din mediul de cultură, y_v , [%], dependentă de debitul de abur. Cu cât debitul de abur de încălzire este mai mare, crește și rata de vaporizare. Efectul este și un debit mai mare de vapori în condensator, debit care trebuie recondensat și reîntors în bioreactor. Acest lucru duce la creșterea debitului apei de răcire în condensator, cu cheltuielile energetice și materiale suplimentare, (apă de răcire). De aceea se recomandă o rată minimă de vaporizare, doar pentru a menține presiunea și temperatura fixată de sterilizare. O simulare numerică poate duce la optimizarea tehnico-economică.

5. - Ecuația generală de bilanț termic:

$$Q_{cedat} = Q_{transferat} = Q_{primit} + Q_{pierderi}$$

- Q_{cedat} este căldura cedată de aburul de încălzire, și anume căldură latentă;
 - $Q_{transferat}$ este căldura transferată prin perete de la aburul de încălzire prin perețele reactorului la lichidul în fierbere;

- $Q_{primit} = Q_{fierbere}$, este căldura primită de mediul de reacție pentru fierberea apei ce constituie rata de vaporizare, și anume căldură latentă;

- $Q_{pierderi}$ este energia termică disipată în mediul înconjurător.

6. - Căldura necesară fierberii este:

$$Q_{fierbere} = y_v \cdot \dot{m} \cdot r$$

$$Q_{fierbere} = K \cdot A_m \cdot \Delta T_{util};$$

$$Q_{pierderi} = \alpha_{ext} \cdot A_{ext} \cdot \Delta T; \quad \Delta T = (40 - 20), [^{\circ}\text{C}].$$

- K este coeficientul total de transfer termic, [W/m²·K], „v.A.”.

7. - Căldura pierdută înspre mediul exterior are ca potențial termic diferența de temperatură dintre suprafața izolației bioreactorului și a mediului înconjurător. Temperatura de 40 [°C] este cea maximă impusă de normele de protecție a muncii;

- A_{ext} , [m²], este suprafața exterioară a izolației bioreactorului, care este mai mare decât suprafața mantalei din cauza grosimii stratului izolant.

- $\alpha_{ext} = 9,74 + 0,07 \cdot (T_p - T_{aer})$, [W/m²·K], este coeficientul parțial de transfer termic de la suprafața exterioară înspre aerul înconjurător, „v.A.”.

8. - Forța motrice la transferul termic în această perioadă, în care apa din mediul de cultură fierbe, $T_{fierbere}$, (temperatură constantă), pe seama aburului care condensează, T_{cond} (temperatură constantă), se determină ca $\Delta T_{util} = (T_{cond} - T_{fierbere})$.

9. Masa de abur necesară în perioada sterilizării se calculează cu relația:

$$M_{abur} = \frac{Q_{fierbere}}{(1-x) \cdot (1-Y) \cdot r_s} = \frac{y_v \cdot r_{sat}}{(1-x) \cdot (1-Y) \cdot r_s},$$

iar debitul necesar:

$$Q_M = \frac{M_{abur}}{\tau_{sterilizare}}.$$

10. Necesarul minim de apă de răcire în condensatorul care menține cantitatea de apă în (bio)reactor, se determină din bilanțul termic pe condensator:

$$Q_{cedat} = Q_{transferat} = Q_{primit} + Q_{pierderi}$$

- $Q_{cedat} = y_v \cdot r_{sat}$, [J]; este căldura cedată de vaporii din (bio)reactor condensatorului;

- $Q_{primit} = Q_{M \text{ apă răcire}} \cdot C_{p \text{ apă}} \cdot \Delta T_{apă}$; - $Q_{primit} = Q_{M \text{ apă răcire}} \cdot C_{p \text{ apă}} \cdot (30 - 15)$;

$$y_v \cdot r_{sat} = Q_{M \text{ apă răcire}} \cdot C_{p \text{ apă}} \cdot (30 - 15);$$

$$M_{apa \text{ racire}} = \frac{y_v \cdot r_{sat}}{c_{p \text{ apă}} \cdot (30 - 15)}, \quad [\text{kg}];$$

$$Q_{M \text{ aparacire}} = \frac{M_{apa \text{ racire}}}{\tau_{sterilizare}}, \quad [\text{kg/s}].$$

- **Observație:** - Apa de răcire provine din apa tehnologică recirculată și răcită în turnurile de răcire. Acestea răcesc apa până la o limită dependentă de locul instalației, (longitudine, latitudine, altitudine, situație meteorologică locală, vânt, umiditate atmosferică, ...), temperatura apei tehnologice, anotimp etc. Aici s-a ales valoarea medie de 15 [°C].

- Deși teoretic apa de răcire poate prelua aproape toată energia termică, deci apa de răcire s-ar putea încălzi aproape până la temperatura fluidului cel mai cald, care cedează căldură, din punct de vedere tehnologic acest fapt **NU** este posibil. Acest fapt se datorează faptului că de la 30 - 32 [°C] începe precipitarea și depunerea pe pereții aparatelor și conductelor a carbonaților și bicarbonaților de calciu și magneziu, împreună cu oxihidroxizii de fier și mangan, ioni prezenți întotdeauna în apa naturală.

- $Q_{pierderi}$ se pot considera nule, deoarece căldura pierdută în mediul înconjurător ajută la răcirea condensatorului.

Răcirea bioreactorului

În perioada de răcire, prin admisia apei de răcire în manta începe scăderea temperaturii mediului de cultură, pe seama încălzirii apei de răcire.

Materialele care intervin în această perioadă sunt:

- mediul de cultură cu caracteristicile: temperatură continuu descrescătoare de la T_{st} la temperatura de inoculare, T_{inoc} , densitatea, ρ , [kg/m³] și viscozitatea dinamică a mediului de cultură, η , [Pa·s] cu valori continuu crescătoare;

- apa de răcire, cu temperatura inițială de intrare, T_{in} , [$^{\circ}\text{C}$] și debitul $Q_{a.r.}$, [kg/s] constant. De obicei se neglijează variația viscozității dinamice a lichidelor, η , [Pa·s];
- τ , timpul de răcire, dependent de debitul și temperaturile de intrare **constante!** și cea de ieșire a apei de răcire, care este variabilă, continuu scăzătoare, [s];

Răcirea bioreactorului este în regim nestaționar, cu temperatură și debit constant la intrarea apei de răcire și temperatură variabilă a lichidului din vas și la ieșirea apei de răcire.

Ecuția generală de bilanț termic ține seama că pierderile facilitează procesul de răcire:

$$Q_{\text{cedat}} = Q_{\text{transferat}} = Q_{\text{primit}} + Q_{\text{pierderi}},$$

- Q_{cedat} este căldura cedată de mediul de cultură și reactorul care se răcesc, și anume căldură sensibilă, de la T_{st} la T_{inoc} ;
- $Q_{\text{transferat}}$ este căldura transferată prin pereții reactorului de la mediul de cultură aflat sub agitare înspre apa de răcire în curgere forțată;
- Q_{primit} este cantitatea de căldură preluată efectiv de apa de răcire, adică diferența dintre $Q_{\text{cedat}} - Q_{\text{pierderi}}$;

$$Q_{\text{cedat}} = Q_{m.c.} + Q_{\text{reactor}} - Q_{\text{pierderi}}$$

$$Q_{\text{transferat}} = K \cdot A_m \cdot \Delta T_{\text{med nest}} \cdot \tau_{\text{răcire}}$$

$$Q_{m.c.} = m_{m.c.} \cdot Q_{m.c.} \cdot \Delta T; \quad \Delta T = (T_s - T_{inoc}), [^{\circ}\text{C}].$$

$$Q_{\text{reactor}} = M_r \cdot C_{p \text{ oțel}} \cdot \Delta T; \quad \Delta T = (T_s - T_{inoc}), [^{\circ}\text{C}].$$

$$Q_{\text{pierderi}} = \alpha_{\text{ext}} \cdot A_{\text{ext}} \cdot \Delta T; \quad \Delta T = (40 - 20), [^{\circ}\text{C}].$$

unde: - $\tau_{\text{răcire}}$ este timpul de răcire, [s];

- K este coeficientul total de transfer termic în regim nestaționar, [$\text{W}/\text{m}^2 \cdot ^{\circ}\text{K}$];
- Căldura pierdută înspre mediul exterior are ca potențial termic diferența de temperatură dintre suprafața izolației bioreactorului și a mediului înconjurător. Temperatura de 40 [$^{\circ}\text{C}$] este cea maximă impusă de normele de protecție a muncii;
- A_{ext} , [m^2], este suprafața exterioară a izolației bioreactorului;
- $\alpha_{\text{ext}} = 9,74 + 0,07 \cdot (T_p - T_{\text{aer}})$, [$\text{W}/\text{m}^2 \cdot ^{\circ}\text{K}$], este coeficientul parțial de transfer termic de la suprafața exterioară înspre aerul înconjurător.

Pentru un calcul aproximativ se poate estima o pierdere de căldură cuprinsă între 2 - 10 [%] din totalul căldurii schimbate.

Algoritmul de calcul pentru perioada de răcire nestaționară a bioreactorului

1. - Se cunoaște temperatura de sterilizare, de inoculare și de intrare a apei de răcire;
2. - Identificarea caracteristicilor de bază a materialelor și apei de răcire;
3. - Selectarea regimului nestaționar de răcire, cu specificitatea sa de calcul;

4. - Calculul bilanțului termic global;
5. - Calculul forței motrice la transferul termic în regim nestăționar;
6. - Calculul timpului de răcire;
7. - Determinarea cantității minime de apă de răcire;
8. - Calculul debitului de apă de răcire;
9. - Optimizarea timpului de răcire.

Observații asupra punctelor algoritmului

1. - În perioada de răcire, prin admisia apei de răcire în manta începe scăderea temperaturii mediului de cultură, de la temperatura de sterilizare la cea de inoculare, pe seama încălzirii apei de răcire, care intra cu temperatură constantă.

2. - Materialele care intervin în această perioadă sunt:

- mediul de cultură din bioreactor cu caracteristicile: temperatură continuu descrescătoare de la T_{st} la temperatura de inoculare, T_{inoc} , densitatea, ρ , [kg/m³] și viscozitatea dinamică a mediului de cultură, η , [Pa·s] cu valori continuu crescătoare;

- apa de răcire, cu temperatura inițială de intrare, T_{in} , [°C] și debitul $Q_{a.r.}$, [kg/s] constant. De obicei se neglijează variația viscozității dinamice a lichidelor, η , [Pa·s];

- τ , timpul de răcire, dependent de debitul și temperaturile de intrare **constante!** și cea de ieșire a apei de răcire, care este variabilă, continuu scăzătoare, [s];

3. - Răcirea bioreactorului este **în regim nestăționar**, cu temperatură și debit constant la intrarea apei de răcire și temperatură variabilă, descrescătoare, a lichidului din vas și la ieșirea apei de răcire.

4. - Ecuația generală de bilanț termic ține seama că pierderile facilitează procesul de răcire: $Q_{cedat} = Q_{transferat} = Q_{primit} + Q_{pierderi}$,

- Q_{cedat} este căldura cedată de mediul de cultură și reactorul care se răcesc, și anume căldură sensibilă, de la T_{st} la T_{inoc} ;

- $Q_{transferat}$ este căldura transferată prin peretele reactorului de la mediul de cultură aflat sub agitare înspre apa de răcire în curgere forțată;

- Q_{primit} este cantitatea de căldură preluată efectiv de apa de răcire, adică diferența dintre $Q_{cedat} - Q_{pierderi}$;

$$Q_{cedat} = Q_{m.c.} + Q_{reactor} - Q_{pierderi}$$

$$Q_{transferat} = K \cdot A_m \cdot \Delta T_{med\ nest} \cdot \tau_{răcire}$$

$$Q_{m.c.} = m_{m.c.} \cdot c_{m.c.} \cdot \Delta T; \quad \Delta T = (T_s - T_{inoc}), [^{\circ}C].$$

$$Q_{reactor} = M_r \cdot c_{p\ oțel} \cdot \Delta T; \quad \Delta T = (T_s - T_{inoc}), [^{\circ}C].$$

$$Q_{pierderi} = \alpha_{ext} \cdot A_{ext} \cdot \Delta T; \quad \Delta T = (40 - 20), [^{\circ}C].$$

unde: - $\tau_{\text{răcire}}$ este timpul de răcire, [s];

- K este coeficientul total de transfer termic în regim nestaționar, [W/m²·°K];

- Căldura pierdută înspre mediul exterior are ca potențial termic diferența de temperatură dintre suprafața izolației bioreactorului și a mediului înconjurător. Temperatura de 40 [°C] este cea maximă impusă de normele de protecție a muncii;

- A_{ext} , [m²], este suprafața exterioară a izolației bioreactorului;

- $\alpha_{\text{ext}} = 9,74 + 0,07 \cdot (T_p - T_{\text{aer}})$, [W/m²·°K], este coeficientul parțial de transfer termic de la suprafața exterioară înspre aerul înconjurător.

Pentru un calcul aproximativ se poate estima o pierdere de căldură cuprinsă între 2 - 10 [%] din totalul căldurii schimbate.

5. - Fiind un regim nestaționar, valorile de ieșire a apei de răcire sunt continuu scăzătoare. Pentru lichidul din vas, temperatura va scădea continuu în timp, astfel că forța motrice a transferului termic este variabilă în timp și se determină după formule caracteristice. Se poate schița o diagramă termică globală pentru momentul inițial și cel final:

Diagrama termică pentru răcirea bioreactorului

T_{sat} [°C] \longrightarrow T_{inoc} [°C];

T_{in} [°C] \longrightarrow T_{fin} [°C].

Forța motrice în procesul de schimb termic nestaționar de răcire se calculează cu relația:

$$-\Delta T_{\text{med nestat}} = \frac{T_{ci} - T_{cf}}{\ln \frac{T_{ci} - T_{ri}}{T_{cf} - T_{ri}}} \cdot \frac{C - 1}{C \cdot \ln C}; \quad C = \frac{T - T_{ri}}{T - T_{rf}},$$

în care: - T_{ci} , T_{cf} sunt temperaturile inițiale și finale a fluidului cald, [°C];

- T_{ri} , T_{rf} sunt temperaturile inițiale și finale a fluidului rece, [°C];

- T este temperatura fluidului cald la un moment dat, [°C].

6. - Timpul de proces se determină cu relația de transfer în regim nestaționar:

$$Q_{\text{cedat}} = K \cdot A_m \cdot \Delta T_{\text{med nestat}} \cdot \tau.$$

- Coeficientul total de transfer termic, K , [W/m²·°K], se calculează cu relația clasică, din diagrame sau se estimează din date experimentale, „v.A.”.

- Având în vedere legătura strânsă între debitul de apă de răcire și timpul de proces, o simulare numerică a interdependențelor: debit, suprafață de transfer, cantitate de mediu de cultură, masa reactorului, temperaturile fluidelor este calea de optimizare a procesului de schimb termic.

7. - Calculul necesarului de apă de răcire:

$$M_{\text{apă răcire}} = Q_{\text{cedat}} / [4.185 \cdot (T_{\text{mr}} - T_{\text{inr}})], \quad [\text{kg}],$$

8. - Debitul de apă de răcire se determină cu relația:

$$Q_{M_{\text{apă răcire}}} = \frac{M_{\text{apă răcire}}}{\tau_{\text{răcire}}}, \quad [\text{kg/s}].$$

9. - Optimizarea timpului de răcire, dacă este cazul, prin utilizarea serpentine-
lor interioare de răcire, adică suprafețe suplimentare de transfer termic, sau prin
majorarea cantității sau debitului de apă de rece, adică majorarea forței motrice.

Separarea biomasei

După terminarea bioreacției, faza tehnologică următoare este separarea bio-
masei de supernatant. Separarea se poate efectua prin decantare, filtrare sau prin
centrifugare. Fiecare dintre aceste metode au avantaje și dezavantaje care trebuie puse
în balanță pentru fiecare caz în parte.

Separarea prin decantare

Separarea prin decantare a biomasei este de cele mai multe ori utilizată în
industriile alimentare, de bioprocesare a produselor naturale: fructe, legume, cereale,
pentru cantități mici de biomasă. Fiecare din aceste bioprocese au caracteristici
specifice, de care trebuie ținut cont în calculele proiectului, de obicei timpul de proces
fiind lung.

Observații asupra punctelor algoritmului

Pentru detalii a se vedea algoritmul detaliat mai sus pentru operația de Decantare.

Separarea prin filtrare

- Calculul operației de separare prin filtrare se bazează pe ecuația generală a filtrării:

$$a \cdot V_f^2 + b \cdot V_f = \tau,$$

unde: - a și b sunt constantele filtrării, $[a] = [\text{s/m}^2]$; $[b] = [\text{s/m}]$;

- V_f este volumul specific de filtrat, $[\text{m}^3/\text{m}^2]$;

- τ este timpul de filtrare, $[\text{s}]$.

- Determinarea experimentală a constantelor de filtrare este absolut necesară în
vederea dimensionării sau verificării funcționării filtrului. Operația se execută cu
aceeași suspensie, tip de material filtrant și condiții de filtrare, (temperatură, diferență

de presiune), cu care se operează în condiții industriale. Se colectează volume egale de filtrat în intervale de timp măsurate. Constantele de filtrare se determină din liniarizarea ecuației generale a filtrării:

$$a \cdot V_f^2 + b \cdot V_f = \tau, \quad \text{prin intermediul relației liniarizate:}$$

$$2 \cdot a \cdot V_f + b = \frac{\Delta \tau}{\Delta V_f}, \quad V_f = \frac{V_{\text{filtrat}}}{S_{\text{filtranta}}} = \left[\frac{m^3}{m^2} \right].$$

- Exemple de calcul sunt prezentate în Anexă, „v.A.” și în „v.I.L.”.
- Bilanțul de materiale generează valoarea volumului de filtrat „curat”:

$$M_{\text{susp}} = M_{\text{ppumed}} + M_{\text{filtrat}}; \quad V_{\text{filtrat}} = (M_{\text{filtrat}} / Q_{\text{filtrat}}).$$

- Tipul de filtru se alege după tipul de operație: discontinuu sau continuu, sau după o analiză a fluxului tehnologic, ce va decide soluția. Această analiză are în vedere în primul rând debitul sau cantitatea de amestec de separat. Procesele continue cu debite mici prezintă în structura lor vase tampon de acumulare a materialului, fapt care poate transforma parțial procesul continuu în unul discontinuu.

- Natura proceselor tehnologice ridică unele probleme:

a) - fie există un filtru care va fi utilizat;

b) - fie trebuie calculată suprafața de filtrare necesară.

a) - Având la dispoziție filtrul, se cunosc dimensiunile suprafeței active, (de filtrare), deci din bilanțul de materiale se poate determina V_f . Din ecuația generală a filtrării se determină timpul de filtrare.

b) - Dacă se cunoaște sau se impune timpul de filtrare, se rezolvă matematic ecuația generală reținându-se soluția pozitivă. Din bilanțul de materiale se cunoaște volumul de filtrat, V_{filtrat} , iar din valoarea V_f se determină suprafața filtrantă. Pe baza suprafeței filtrante necesare se alege tipodimensiunea aparatului.

- Calculul spălării biomasei necesită determinarea vitezei de filtrare finală, care de multe ori este egală cu viteza de filtrare finală. Aceasta se determină prin derivarea

ecuației generale. Rezultă: $v_{ff} = \text{viteza de filtrare finală} = \frac{dV_f}{d\tau} = \frac{1}{2 \cdot a \cdot V_f + b}.$

- Această viteză de filtrare finală se consideră egală cu viteza de spălare, care se consideră și ea constantă, deoarece NU se mai adaugă solid peste stratul de precipitat. Această presupunere se pot elimina numai prin determinări experimentale. Volumul de lichid de spălare se determină experimental, deoarece trebuie îndepărtate materiile străine din precipitatul solid. De obicei, lichidul de spălare este 10 – 20 [%] din volumul total de filtrat. Volumul specific de lichid de spălare se calculează cu aceeași relație de bază:

$$\frac{V_{\text{lichid de spalare}}}{S_{\text{filtrului}}} = V_{f \text{ spalare}};$$

- Timpul de spălare se determină cu relația: $\tau_{spalare} = \frac{V_{spalare}}{v_{ff}}$.

- Prin calcul se poate determina evoluția concentrației lichidului de spălare în timp în cazul spălării precipitatelor prin difuziune: $c = c_f \cdot e^{\exp\left(-\frac{\beta \cdot w_{ff} \cdot \tau}{\delta}\right)}$,

unde: - c_f este concentrația filtratului, [kg/m³];

- δ este grosimea stratului de precipitat sau raza granulei poroase ce formează precipitatul, [m];

- τ este timpul de spălare, [s];

- v_{ff} este viteza de filtrare finală, [m/s];

- β este un coeficient ce ține seama de proprietățile sistemului, care se determină experimental, [-].

Timpul total de operare este suma timpului de filtrare, de spălare a precipitatului și de manevrare a aparatului.

Observații asupra punctelor algoritmului

Pentru detalii a se vedea algoritmul de calcul pentru Filtrare.

Separarea prin centrifugare

Pentru operația de centrifugare, problematica de proiectare este mai simplă din cauza specificității procesului. Firmele producătoare asigură o gamă largă de tipodimensiuni a centrifugelor, care sunt calculate pentru diferite debite sau tipuri de material. Practic, este vorba doar de alegerea centrifugei, eventual al numărului acestora.

Observații asupra punctelor algoritmului

Pentru detalii a se vedea algoritmul detaliat pentru Centrifugare.

(Pre)dimensionarea conductelor

Pentru detalii a se vedea algoritmul detaliat pentru (pre)dimensionarea conductelor.

Observații asupra algoritmului

1. - Alegerea traseului de conducte trebuie să respecte câteva condiții de bază:

- conducta este ansamblul format dintr-o serie de elemente componente: țevi, tuburi, fittinguri, (coturi, teuri, robineți de închidere, de probă, valve, reducții, ramificații), flanșe, garnituri, compensatori de dilatație, aparate de măsură și control, suporturi, izolații, vopsitorii și sevește la transportul fluidelor.

- posibilitatea de golire completă și rapidă în caz de avarie sau opriri tehnologice sau accidentale;
- se plasează paralel cu pereții, iar coturile sunt la 90 [°], unele față de altele;
- se urmărește traseul cel mai scurt pentru toate conductele unui aparat;
- trebuie evitată intersectarea sau suprapunerea cu alte conducte, urmărindu-se gruparea și plasarea în fascicule paralele de țevi același fluid, „paturi de conducte”;
- amplasarea armăturilor trebuie efectuată în locuri ușor accesibile;
- realizarea flexibilității sau plasarea compensatoarelor de dilatare la conductele care suportă variații mari de temperatură;
- asigurarea gurilor de aerisire.

2. - Se identifică și se tabelează rezistențele locale după geometria traseului și fluxul tehnologic preconizat. Valorile coeficienților de rezistență locală se iau din tabele, „v.A”, sau diagrame.

3. - Vitezele de circulație, w_i , [m/s], se obțin în două moduri:

a) - Dacă fluidul este incompresibil, **lichid**, cu densitatea constantă, ρ , [kg/m³], „v.A.” și se cunoaște debitul volumetric, Q_v , [m³/s]; viteza fluidului se calculează după relația continuității debitului.

b) - Aceeași relație se utilizează și pentru **gaze**, dar în această situație **TREBUIE** ținut cont de valoarea variabilă a densității gazului, ρ_g , [kg/m³]; cu temperatura și presiunea, „v.A.”:

$$Q_M = Q_v \cdot \rho = S_1 \cdot w_1 \cdot \rho = S_2 \cdot w_2 \cdot \rho = S_3 \cdot w_3 \cdot \rho = \dots \quad \text{ori} \quad Q_M = \sum S_i \cdot w_i \cdot \rho_i$$

sau:

$$w_i = Q_v / S_i$$

unde: S_i , [m²], este aria transversală pe axul conductei de transport, în diversele locuri de pe traseu.

- Se calculează S_i , [m²], cu relația:
$$S_i = \frac{\pi \cdot d_i^2}{4},$$

unde: - d_i , [m], utilizând valorile diametrele standardizate a țevelor, (conductelor), „v.A.”:

- pentru **gaze**, densitatea, ρ_g , [kg/m³]; cu temperatura și presiunea se calculează cu relațiile, „v.A.”:

$$\rho = \rho_0 \cdot \frac{T_0 \cdot p}{T \cdot p_0}; \quad \rho = \frac{M_m}{22,4} \cdot \frac{273 \cdot p}{T \cdot p_0};$$

în care: - $\rho_0 = (M_m/22,4)$ este densitatea gazului în condiții normale, [kg/m³];

- M_m este masa molară a gazului [kg/kmol];

- T este temperatura absolută a gazului, [°K].

Condițiile normale și standard, C.N. și C.S., sunt:

- Temperatura normală = 273,15 [°K],
- Temperatura standard = 298,15 [°K],
- Presiunea normală și standard: = 760 [mm Hg] = 101 396,16 [Pa] = 1,01396 [bar] = 1,0336 [ata] = 10,336 [m col H₂O];

4. - Se verifică dacă viteza fluidului obținută prin calcul se încadrează în limitele unanim acceptate în practică, „v.A.”.

- Dacă valorile ies din limitele acceptate, se va modifica diametrul conductei.

5. - Se calculează pierderile totale de presiune, Δp_{total} , [Pa], după relația generală:

$$\Delta p_{\text{total}} = \Delta p_{\text{din}} + \Delta p_{\text{fr}} + \Delta p_{\text{rl}} + \Delta p_{\text{st}} + \Delta p_{\text{h}},$$

în care: - Δp_{d} este pierderea de presiune dinamică, $\Delta p_{\text{d}} = \frac{\rho \cdot w^2}{2}$, [Pa];

- Δp_{fr} este pierderea de presiune prin frecare, $\Delta p_{\text{fr}} = \lambda \cdot \frac{L}{d_{\text{ech}}} \cdot \frac{\rho \cdot w^2}{2}$, [Pa];

- Δp_{rl} este pierderea de presiune prin rezistențe locale, $\Delta p_{\text{rl}} = \frac{\rho \cdot w^2}{2} \cdot \sum \xi$, [Pa],

la care se adaugă pierderile de presiune proprii pompei, (datorate funcționării pompei) sau a altor dispozitive de pe traseu, (contoare, sisteme de măsură și control);

- Δp_{st} este pierderea de presiune statică, $\Delta p_{\text{st}} = p_1 - p_2$, [Pa];

- Δp_{g} este pierderea de presiune datorată geometriei sistemului, $\Delta p_{\text{g}} = \rho \cdot g \cdot \Delta h$, [Pa].

6. - Se calculează înălțimea manometrică de pompare, H_m , [m col lich]:

$$H_m = \frac{\Delta p_{\text{total}}}{\rho \cdot g},$$

unde: - ρ este densitatea lichidului, [kg/m³];

- g este accelerația gravitațională, [m/s²].

(Pre)dimensionarea capacității (bio)reactorului

Observații asupra algoritmului

- **Situația a)** - Se impune un volum de lichid ce trebuie tratat;

a. a) - Volumul de ce trebuie prelucrat se încadrează în limitele existente ale volumului util, $V_{\text{u vas}}$, ale reactoarelor standardizate. Din catalog se preiau dimensiunile și alte caracteristici, „v.A.”.

a. b) - Volumul de lichid destinat prelucrării este diferit, mai mare, decât a reactoarelor standard.

- După alegerea aspectului și formei reactorului se calculează volumul total al aparatului și a dimensiunilor principale: V_t [m³] sau [l], diametrul, D_r [m] și înălțimea totală a reactorului, H_r [m], precum și înălțimea lichidului din reactor, H_l [m]. Dimensiunile se calculează prin intermediul coeficientului de umplere, $\varphi = V_u/V_t$ [-], „v.A.” și a celui de zveltețe, $\zeta = H/D$ [-], „v.A.” după relațiile:

$$V_t = \frac{V_u}{\varphi}; \quad V_t = \frac{\pi \cdot D_r^2}{4} \cdot H_r; \quad H_r = \zeta \cdot D_r; \quad D_r = \sqrt[3]{\frac{4 \cdot V_r}{\pi \cdot \zeta}}; \quad H_l = \frac{4 \cdot V_u}{\pi \cdot D_r^2}.$$

- Diametrul reactorului rezultat din calcul se standardizează, alegându-se cea mai apropiată valoare din tabel, „v.A.”, față de cea calculată.

- Se recalculează H_r și H_l cu valoarea diametrului standardizat, utilizând aceleași relații, ca mai sus:

- Se calculează suprafața interioară a virolei cilindrice cu noile valori a diametrului și înălțimii: $S_v = \pi \cdot D_r \cdot H_r$.

- Se calculează pierderea de presiune hidrostatică, Δp , [Pa], pentru noua înălțime a stratului de lichid folosind parametrii lichidului din vas: densitatea lichidului, [kg/m³]; viscozitatea, η_l , [Pa·s], accelerația gravitațională, g , [m/s²];

$$\Delta p_h = \rho \cdot g \cdot \Delta H_l.$$

- Se calculează, dacă este cazul, volumul și suprafața laterală a fundului recipientului în funcție de forma acestuia:

- R, R_1, r = raza mare, raza între diametru și pol, raza mică,

- G = generatoarea,

- I = înălțimea zonei sferice, a trunchiului de con.

- Emisferic: $V = (\pi \cdot D^3)/12$; $S = (\pi \cdot D^2)/2$.

- Zonă sferică: $V = (4 \cdot \pi/3) \cdot (I/2)^3 + (1/2) \cdot (\pi \cdot R^2 \cdot I + \pi \cdot r^2 \cdot I)$ $S = \pi \cdot D \cdot I$.

- Calotă sferică: $V = (\pi \cdot D^2 \cdot I)/6$; $S = \pi \cdot D \cdot I$.

- Trunchi de con $V = (I/3) \cdot (R^2 + r^2 + r \cdot R)$; $S = \pi \cdot G \cdot (R + r)$.

- Se determină suprafața secțiunii transversale a reactorului, S_r ;

$$S_r = \frac{\pi \cdot D_r^2}{4};$$

- Dacă agitarea se asigură simultan cu aerarea, se calculează cantitatea necesară de aer barbotat, Q_{nec} , [m³/min], pentru a asigura un grad de agitare corespunzător și cantitatea de oxigen solicitată de creșterea microorganismelor și de producerea de metaboliți. Debitul specific de aer, $Q_{v aer}$, [m³/m²·min], se alege în funcție de intensitatea amestecării, de tipul de microorganism și de proces, „v. A.”:

$$Q_{nec} = Q_{v aer} \cdot S_r \text{ [m}^3\text{/min]}.$$

- Cantitatea necesară de aer barbotat este pentru a asigura un grad de agitare corespunzător și cantitatea de oxigen solicitată de creșterea microorganismelor și de producerea de metaboliți. Debitul de gaz, (aer), ce asigură acest serviciu sunt prezentate în Anexă, „v. A.”. Un debit redus de aer va genera o omogenizare slabă, o lipsă de mișcare a materialului lichid, cu posibile colmatări ale orificiilor de insuflare a aerului. Deplasarea lentă a microorganismelor sau flocoanelor conduce la un transfer și transport redus de nutrienți și oxigen către celule, la o dizolvare proastă a aerului, (oxigenului), în mediul de cultură, dizolvarea gazului fiind și el un proces cu transfer de impuls și masă. Un debit mare poate duce la intensificarea formării spumelor, la degradarea fizică a microorganismelor și flocoanelor, la antrenarea picăturilor fine de lichid, dar și la necesar energetic mare pentru comprimarea și transportul aerului din atmosferă înspre masa de bioreacție. Practica industrială a stabilit unele valori acceptate a debitelor utilizate la amestecarea prin barbotare, prezentate în Anexă, „v.A.”, la capitolul destinat amestecării.

- Acest necesar de aer este considerat doar cel pentru asigurarea agitării prin barbotare. Debitul de aer total trebuie să asigure și necesarul de oxigen pentru oxidarea propriu-zisă a substratului supus (bio)transformării și pentru metabolismul microorganismelor. Se impune o verificare a necesarului de oxigen considerând cele două procese biochimice simultane, dar care se derulează cu viteze diferite pe durata fermentației. Pentru simplitatea calculului se poate aproxima un necesar constant de oxigen pe toată durata fermentației.

De exemplu: - O_2 pentru oxidare: ex. $\text{glucoză} + O_2 = \text{acid gluconic}$

- O_2 pentru respirație:

- O_2 total: Rezultă: Numărul de moli de O_2 ; Numărul de moli de aer, adică volumul total de aer necesară întregului proces, repartizat uniform de-a lungul timpului de proces. În acest calcul, trebuie să se țină seama de temperatura de lucru, care scade solubilitatea gazelor și de solubilitatea simultană în masa de reacție a oxigenului și azotului, „v.A.”.

- Aici se pot detalia următoarele aspecte de strictă specialitate ale (bio)procesului:

I. transferul de masă al oxigenului din bula de aer în lichid, difuzia sa înspre microorganism și cinetica lui de conversie de către microorganism, adică absorbția globală a O_2 ;

II. cinetica specifică a dezvoltării microorganismului utilizat și necesarul lui de oxigen în fiecare etapă de dezvoltare a sa;

Situația b) - Se impune productivitatea (bio)reactorului, cantitatea de produs finit care trebuie să rezulte în final. Aceasta arată intrinsec faptul că se cunoaște

procesul și fluxul tehnologic, etapele de lucru, pierderile tehnologice, randamentele pe fiecare fază etc. ...

- Se efectuează bilanțul de materiale conform procesului și adăugând pierderile tehnologice sau limitările conversiilor.

- Calculul productivității. Sunt necesare unele valori specifice procesului:

- concentrația de metabolit, maximă sau la finalul fermentației în masa de (bio)reacție;
- timpul de fermentație;
- componența, compoziția și concentrația substratului în mediul de cultură inițial.
- având concentrația finală a metabolitului în lichidul fermentat, c , [g/l], se poate determina volumul de masă de (bio)reacție, volumul util, V_u , [l] sau [m³] care generează cantitatea P_{rod} [kg] de produs final. Volumul util, V_u , [l] sau [m³] este dependent de modalitatea de lucru, compoziția masei de (bio)reacție, gradul de automatizare și monitorizare computerizată a instalațiilor etc. $V_u = P_r / c$, [m³],

unde: - P_r este cantitatea de produs finit din reactor, care include toate pierderile tehnologice din lanțul de operații: pierderi în timpul bioreacției, pierderi la transvazare, la separarea biomasei, la separările chimice, la manipulările dintre faze, la condiționare, depozitare, accidente tehnologice și alte pierderi previzibile sau nu.

$$P_{rod} = P_r \cdot (1 - \Sigma [\%] \text{ pierderilor}).$$

b). a) - O variantă de calcul poate apărea dacă se cunoaște volumul V , [m³], al bioreactorului și se cere productivitatea sa. În acest caz procedura este următoarea:

- se determină volumul efectiv ocupat de masa de bioreacție, volumul util, V_u :

$$V_u = \varphi \cdot V, [\text{m}^3],$$

unde: - φ , [-], este coeficientul de umplere al vasului.

- Coeficientul de umplere arată gradul în care se introduce mediul de (bio)-reacție în reactor. Pentru reacțiile cu barbotare, care generează gaze, care spumează sau generează stropi, coeficientul de umplere se consideră mai mic, deși o utilizare eficientă a spațiului de lucru solicită un grad de umplere mai înalt. În orice caz, gradul de umplere trebuie să asigure un nivel al lichidului care să depășească înălțimea mantalei de încălzire sau a serpentinelor de încălzire-răcire, dar fără a atinge garnitura de etanșare dintre capac și corp. Valorile lui φ sunt prezentate în Anexă, „**v.A.**”.

- se determină cantitatea teoretică, $P_{teoretic}$, de produs generată de V_u :

$$P_{teoretic} = V_u \cdot c, [\text{kg}];$$

- se determină productivitatea reală, P_{real} , a reactorului:

$$P_{real} = P_{teoretic} \cdot (1 - \Sigma [\%] \text{ pierderilor}).$$

- Rezultă cantitatea de materiale, respectiv întregul volum de masă de reacție.
- Se reia calculul de la punctul **a. b.)** al algoritmului.

c) - Se estimează prin calcul masa reactorului folosind relația generală:

$$M_r = \rho_{\text{oțel}} \cdot V_{T \text{ oțel}};$$

- Volumul oțelului, $V_{T \text{ oțel}}$, din care este confecționat reactorul și mantaua acestuia se determină din date geometrice. Relația generală de calcul este:

$$V = S_{\text{laterală}} \cdot \delta;$$

- δ este grosimea tablei din care este confecționată piesa, [mm], „v.A.”.

- $S_{\text{laterală}}$ este aria laterală a fiecărei piese, [m²].

- Bazin simplu: $V_{\text{oțel } r} = V_{\text{oțel virolă}} + V_{\text{oțel fund}} + V_{\text{oțel capac}};$

- Reactor cu manta: $V_{\text{oțel } r} = V_{\text{oțel virolă}} + V_{\text{oțel fund}} + V_{\text{oțel capac}} + V_{\text{manta}};$

- Reactor cu serpentină: $V_{\text{oțel } r} = V_{\text{oțel virolă}} + V_{\text{oțel fund}} + V_{\text{oțel capac}} + V_{\text{serp}};$

- R cu manta și serp: $V_{\text{oțel } r} = V_{\text{oțel virolă}} + V_{\text{oțel fund}} + V_{\text{oțel capac}} + V_{\text{serp}} + V_{\text{manta}};$

- **Observații:**

- virola, fundul și capacul reactorului au aceeași grosime.

- virola, fundul și închiderea mantalei au aceeași grosime, dar mai mică decât a reactorului.

- masa calculată se corectează cu un coeficient ε_g , [-], ce ține seama de prezența armăturilor, suporturilor, racordurilor, sistemelor de agitare, șuruburilor și piulițelor, serpentinelor etc. Coeficientul este cu atât mai mic cu cât volumul reactorului este mai mare. Uzual, valoarea sa este între:

$$1,26 < \varepsilon_g < 1,08.$$

$$M_r = \varepsilon_g \cdot \rho_{\text{oțel}} \cdot V_{T \text{ oțel}}.$$

Proiectarea instalațiilor de pompare sau ventilație

Observații asupra punctelor algoritmului

1. a) - Ce rol îndeplinește pompa în instalație: alimentare, dozare, recirculare, amestecare, umplerea rezervoarelor de stocare, evacuare, evacuare de avarie, alimentarea hidranților, ventilație, aeraj, exhaustare, transport aero- sau hidropneumatic, scopuri speciale;

b) - modul de funcționare: continuu, discontinuu, intermitent, cazuri speciale;

c) - scopul urmărit: debit oarecare, debit constant și măsurat, presiune de regim impusă și constantă.

2. - Dispozitivele de vehiculare a lichidelor se numesc pompe, pentru gaze la presiuni remanente mici: pompe de vid, pentru presiuni în jurul celei atmosferice:

exhaustoare, ventilatoare sau suflante, la presiuni mari: compresoare. Pentru fiecare dintre aceste categorii există o gamă largă de dispozitive specifice și specializate în raport cu: natura fluidului, temperatură, grad de coroziune, debit, diferența de presiune generată, încărcarea fluidului cu solide, picături sau vapori etc.

- Ca orientare generală:

- pentru lichidele obișnuite sunt uzuale pompele centrifuge mono- sau multietajate. Acestea pot fi utilizate și pentru suspensii diluate, (< 2 [%]), neabrazive și necorozive.
- pentru lichide vâscoase curate, (glicerină, uleiuri) se utilizează pompe cu roți dințate, cu rotor excentric, cu membrană, cu pistoane rotative, peristaltice etc.
- pentru suspensii anorganice și silicatică se recomandă pompele cu șurub, (MONO).
- pentru ape reziduale, cu suspensii grosiere, fibroase cu concentrații peste 2 [%] se utilizează pompe cu rotoare speciale.
- pentru debite mari și înălțimi de ridicare mici se folosesc turbopompele sau cele axiale.
- pentru instalațiile de aerisire și aeraj se utilizează ventilatoarele axiale.
- pentru ventilație și alimentare cu gaze la presiuni mici, ($< 0,05$ [MPa]), se utilizează ventilatoarele centrifugale.
- gazele, altele decât aerul, sunt vehiculate cu suflante cu lamele, cu inel lichid, cu pistoane rotative sau elicoidale.
- pentru gaze la depresiune se utilizează injectoare-ejectoare, suflante sau pompe de difuziune.
- pentru presiuni ridicate se folosesc compresoarele.

3. - Alegerea traseului pentru care se utilizează pompa chiar pentru un timp scurt și temporar, (intermediar), trebuie să respecte condițiile de bază prezentate în algoritmul pentru calculul conductelor. De cele mai multe ori, în fabrici, aceeași pompă deservește segmente de trasee sau doar porțiuni de traseu. Chiar și pe aceste segmente de trasee există: țevi, tuburi, fittinguri, (coturi, teuri, robineti de închidere, de probă, valve, reducții, ramificații), flanșe, garnituri, compensatori de dilatație, aparate de măsură și control.

4. - Se calculează pierderile totale de presiune, Δp_{total} , [Pa],

$$\Delta p_{\text{total}} = \Delta p_{\text{din}} + \Delta p_{\text{fr}} + \Delta p_{\text{rl}} + \Delta p_{\text{st}} + \Delta p_{\text{h}},$$

și înălțimea manometrică de pompare, H_m , [m].

$$H_m = \frac{\Delta p_{\text{total}}}{\rho \cdot g}.$$

5. - Din cataloagele de pompe, pentru tipul, felul și construcția pompei alese pentru fluidul respectiv, se alege tipul de pompă care se găsește la intersecția ordonatei H_m [m col. lich.] cu abscisa Q_v [m³/h].

6. - Verificarea parametrilor funcționali constă în identificarea punctului de lucru în zona de randament maxim al pompei. Punctul de lucru se găsește la intersecția caracteristicii rețelei cu cea a caracteristicii pompei. Caracteristica rețelei se calculează dând valori crescătoare debitului de fluid și trasând curba rezultată. Caracteristică pompei este dată de firma producătoare.

7. - Puterea necesară pentru acționarea pompei se determină cu relația:

$$P = \frac{Q_v \cdot \Delta p_{total}}{1000 \cdot \eta_{total}} = \frac{Q_v \cdot \rho \cdot g \cdot H_m}{1000 \cdot \eta_{total}}, [\text{kW}],$$

unde: $\eta_{total} = \eta_{pompă} \cdot \eta_{transmisie} \cdot \eta_{motor}, [\%]$.

8. - Puterea instalată se calculează cu relația:

$$P_{inst} = \beta \cdot P, [\text{kW}].$$

unde: - β este un coeficient dependent de valoarea puterii, P , [kW]:

P [kW]	< 1	$1 \div 5$	$5 \div 50$	> 50
β [-]	$1,5 \div 2,0$	$1,2 \div 1,5$	$1,15 \div 1,2$	$1,1$

- Se estimează pierderile de presiune totale, Δp_T , cu relația clasică:

$$\Delta p_T = \Delta p_d + \Delta p_{fr} + \Delta p_{rl} + \Delta p_{st} + \Delta p_g$$

în care: - $\Delta p_d = \frac{\rho \cdot w^2}{2}$; este pierderea de presiune dinamică este datorată energiei necesare creării vitezei de deplasare a fluidului, [Pa];

- $\Delta p_{fr} = \lambda \cdot \frac{L}{d_{ech}} \cdot \frac{\rho \cdot w^2}{2}$; este datorată energiei necesare învingerii frecărilor

dintre perete și fluid în porțiunile drepte ale conductelor, [Pa];

- $\Delta p_{rl} = \frac{\rho \cdot w^2}{2} \cdot \sum \xi$; este datorată energiei necesare învingerii frecării fluid-

perete în orice porțiune unde secțiunile de trecere nu sunt constante sau drepte: coturi, teuri, ramificații, robinete, lărgiri sau îngustări a spațiului de curgere etc.

- Tot în cadrul pierderilor de presiune de tip local se încadrează și alte tipuri de pierderi de presiune, cum ar fi: pierderile de presiune proprii pompelor, (ventilatoare, compresoare), coloanelor cu umplutură, filtrelor etc. Acestea de determină din cataloagele aparatelor, din estimări sau prin calcule iterative, sunt dependente de viteza fluidului, dar pot fi evaluate direct în [Pa]. De aceea aceste rezistențe locale se evaluează separat de formula de bază și se adaugă la totalul pierderilor de presiune.

Evaluarea separată are avantajul unui calcul mai comod, deoarece după calculul filtrelor de sterilizare a aerului se poate evalua mai exact pierderile de presiune în acestea, respectiv presiunea totală care condiționează alegerea compresorului.

- $\Delta p_{st} = p_1 - p_2$; este energia necesară învingerii diferenței de presiune statică dintre punctele de unde se pompează fluidul, 1, în vasul de recepție, 2.

- $\Delta p_g = \rho \cdot g \cdot \Delta h$; este energia necesară învingerii forțelor arhimedice din sistem.

În relațiile de mai sus:

- λ este coeficientul de frecare dintre fluid și perete, [-],
- L este lungimea conductei în porțiunile drepte, [m],
- d_{ech} este diametrul echivalent al conductei, [m],
- ρ este densitatea fluidului care curge prin conductă, [kg/m³],
- w este viteza fluidului din conductă, [m/s];
- Δh este diferența de nivel dintre limitele de curgere a fluidului, [m];
- ξ este coeficientul de rezistență locală pentru curgerea fluidului, [-];
- p_1 și p_2 sunt presiunile statice din punctele 1 și 2 [Pa].

- Coeficientul de frecare și cei de rezistență locală se determină cu relații matematice specifice sau prin intermediul diagramelor, tabelelor sau nomogramelor de calcul. În afara acestor limite, coeficientul de frecare se determină din diagrama Nikuradze - Moody, în care apare direct și influența rugozității, (asperității pereților), prin intermediul rugozității echivalente, $r_{ech} = d_{ech}/e$, prezentată în Anexă, „v.A.”.

- Dacă spațiul în care are loc curgerea fluidului are pereți ruгоși, cum este cazul instalațiilor din oțel corodate, a pereților de canale din beton, din lemn etc., trebuie luat în calcul și asperitatea suprafețelor. Rugozitatea absolută se notează cu e și reprezintă înălțimea medie a asperității, iar rugozitatea relativă se notează cu $r_{ech} = d_{ech}/e$, arătând raportul dintre dimensiunea caracteristică a spațiului de curgere și asperitate. Valorile acestor mărimi sunt prezentate în Anexă, „v.A.”.

- Pentru estimarea valorii pierderii totale de presiune:

a) - $\Delta p_g = \Delta p_h = Q_{am} \cdot g \cdot \Delta H_l$, [Pa], a fost determinată anterior;

b) - $\Delta p_{st} = p_1 - p_2$, reprezintă suprapresiunea din bioreactor care asigură evacuarea aerului barbotat și totodată împiedică intrarea aerului nesteril, contaminat, cel atmosferic. O suprapresiune de 0,05 - 0,20 [ata] se consideră, de obicei, suficientă.

c) - Pentru evaluarea celorlalți termeni: Δp_d , Δp_{fr} și Δp_{rl} este necesară estimarea vitezei de curgere a aerului de la atmosfera înconjurătoare prin sistemul de colectare, comprimare, condiționare, sterilizare, barbotare și evacuare prin filtrele de reținere din nou în atmosferă. Din practica industrială, există valori considerate „normale” a

vitezelor fluidelor prin conducte. Acestea sunt prezentate în Anexă, „v.A.”. O viteză mică generează secțiuni largi a conductelor, deci greutate proprie mare a instalației, dar și posibilitatea de a se depune în unele locuri a unor impurități. Vitezele mari conduc la pierderi mari de presiune, adică necesar energetic mai mare pentru funcționarea întregii instalații.

- Calculul sau estimarea vitezei fluidului este prezentată le larg în capitolul referitor la (pre)dimensionarea conductelor.

- Pentru un calcul foarte aproximativ se pot estima pierderile de presiune totale, Δp_t , prin frecare, rezistențe locale, dinamice, precum și cele generate de filtrul de aer și de compresor, considerându-le de X ori mai mari decât Δp_h : $\Delta p_t = \Delta p_h \cdot X$.

Performanțele orientative ale ventilatoarelor și compresoarelor

Nr. crt.	Tip de compresor	Turație normală [rpm]	Capacitate maximă [Nm ³ /h]	Diferență de presiune 1 etaj [bar]	n etaje [bar]
1.	cu piston	300	85	3,50	5 000
2.	cu inel lichid	200	2 550	0,70	1,7
3.	cu rotoare	250	4 250	0,35	1,7
4.	cu melc	10 000	12 750	3,50	17
5.	centrifugale	1 000	170 000	0,20	-
6.	Turbocomp.	10 000	136 000	3,5	100
7.	Suflante ax.	3 000	170 000	3,5	10
8.	Compr. ax.	3 000	170 000	3,5	10

Pentru (pre)alegerea pompelor și compresoarelor există diagrame orientative, „v.A.”.

Calculul grătarelor de reținere

Observații asupra algoritmului

1. - Alegerea tipului de grătar depinde de modul de operare, debitul de suspensie inițială, gradul de retenție, mărimea obiectelor, (particulelor), reținute, gradul de încărcare a suspensiei cu particule, forma și consistența, (textura) etc. se pot alege grătare:

a) fixe - pentru corpuri cu dimensiuni mari sau medii, debite mici sau mari, precurățarea, (preepurarea), debitelor;

b) - cu efect Coandă - care sunt tot grătare fixe, dar cu construcție mai sofisticată, dar și eficiență foarte ridicată, mai ales pentru materiale

fibroase, tabletare sau forme nedefinite de natură coerentă, lipicioase, gelatinoase și aderente față de alte tipuri de materiale. Avantajele sunt fenomenul de autocurățare, uzură foarte redusă, sunt favorabile debitelor mici, medii sau mari, nu necesită supraveghere în timpul funcționării, întreținerea este minimă, doar periodică, și nici nu solicită energie pentru funcționare;

c) - rotative - pentru debite mici și medii, cu încărcare mare și constantă de solide cu distribuție granulometrică largă;

d) - culisante - pentru debite medii și mari, cu încărcare variabilă de materiale cu distribuție granulometrică prestabilită.

2. - Calculul pierderii de presiune, ca sarcină hidraulică:

$$\Delta h = \zeta \cdot \frac{w^2}{2 \cdot g} \cdot \sin \alpha, [\text{m}]; \quad \zeta = \beta \cdot \frac{s^{4/3}}{b};$$

în care: - Δh = pierderea de presiune, [m col H₂O], denivelarea amonte-aval față de grătar, [m];

- ζ = coeficient adimensional, „v.A.”;

- β = coeficient adimensional, [-], „v.A.”;

- w = viteza curentului de apă, [m/s];

- α = unghiul de atac apă - grătar, [°];

- g = accelerația gravitațională, [m/s²];

- b = lățimea barelor, [m];

- s = distanța dintre bare, [m].

3. - Estimarea puterii necesare de acționare pentru grătarele mobile. La acest tip de grătare, evaluarea din cataloagele de produse este absolut necesară, fiecare tipodimensiune și variantă constructivă solicitând alt necesar energetic.

Calculul operației de sedimentare

Observații asupra punctelor algoritmului

Principial sunt patru variante de calcul:

a) - se impune diametrul particulei care sedimentează.

b) - se cunosc parametrii decantorului.

c) - sedimentarea nestaționară.

d) - sedimentarea în câmp centrifugal.

- **Varianta a)** - Se cunoaște sau se impune diametrul particulei care sedimentează sau care scapă din decantor.

1. - Pentru particulele fine, care sunt de dimensiuni micronice, între 3 și 40 [μm], de obicei se consideră că sedimentarea, (decantarea), are loc în regim laminar de curgere:

$$\text{Re} < 0,2; \quad \text{Ar} < 0,36; \quad \text{Li} < 0,002;$$

adică se poate utiliza pentru determinarea vitezei de sedimentare relația lui Stokes:

$$w_{sed} = \frac{1}{18} \cdot \frac{d_p^2 \cdot (\rho_p - \rho_e) \cdot g}{\eta}, \quad [\text{m/s}];$$

- Este obligatoriu ca **după calcul să se verifice regimul** de curgere cu viteza de sedimentare calculată pentru a se dovedi că regimul de curgere este laminar.

- Pentru orice formă și dimensiune a particulelor și pentru orice regim de sedimentare se urmează calea următoare:

$$\text{- se calculează criteriul Arhimede:} \quad \text{Ar} = \frac{d_p^3 \cdot \Delta\rho \cdot g \cdot \rho_l}{\eta_l^2}, \quad [-];$$

- din graficul dependenței $\text{Li} = f(\text{Ar})$ sau $\text{Re} = f(\text{Ar})$ se determină din diagrama de calcul valorile criteriului Liascenko, Li , corespunzătoare formei

$$\text{geometrice a particulei:} \quad \text{Li} = \frac{w_{sed}^3 \cdot \rho_f^2}{\eta_l \cdot \Delta\rho \cdot g} \quad [-]; \quad \text{Re} = \frac{w_{sed} \cdot d_p \cdot \rho_e}{\eta_e}, \quad [-];$$

- din aceste valori se determină viteza de sedimentare teoretică, w_t , [m/s].

2. - Se verifică regimul de sedimentare, prin calculul Criteriului Reynolds:

$$\begin{aligned} \text{- laminar} & \quad \text{Re} < 0,2; & 0,36 < \text{Ar} < 36; \\ \text{- intermediar} & \quad 0,2 < \text{Re} < 1\,000; & 36 < \text{Ar} < 84\,000; \\ \text{- turbulent} & \quad 1\,000 < \text{Re} < 500\,000 & \text{Ar} > 84\,000; \end{aligned}$$

3. - Viteza teoretică se corectează prin înjumătățire. În acest fel se iau în considerare și alți factori ce influențează sedimentarea, care nu au fost incluși în relația teoretică de calcul și anume: sedimentarea frânată, colectivă, curenții turbionari de convecție termică sau hidrodinamică: $w_{sed\text{ practică}} = 0,5 \cdot w_{sed}$, [m/s];

4. - Timpul de sedimentare sau staționare se utilizează la dimensionarea aparatelor:

$$\tau_{sed} = \frac{h}{w_{sed\text{ practică}}}, \quad [\text{s}];$$

- pentru decantoarele nestaționare, statice, adică un vas în care staționează suspensia:

$$\tau_{sed} = \frac{H}{w_{sed\text{ practică}}}, \quad [\text{s}];$$

unde: - H este înălțimea lichidului din vas, [m];

- pentru decantoarele longitudinale, transversale:

$$\tau_{sed} = \frac{h}{W_{sed\ practica}}, \quad [s];$$

- condiția de lucru, de funcționare a decantorului transversal este:

$$\tau_{sed} = \tau_{trecere}, \quad [s];$$

în care: - h este înălțimea lamei de lichid limpede care iese din decantor, [m];

- pentru decantoarele radiale, circulare:

$$W_{trecere} = Q_{V\ susp}/S_{decantor}, \quad [m/s];$$

unde: - $Q_{V\ susp}$ este debitul volumetric de suspensie, [m³/s];

- $S_{decantor}$ este suprafața orizontală a decantorului la limita deversorului, [m²];

- condiția de lucru, de funcționare, a decantorului radial este:

$$W_{sed\ practica} = W_{trecere}, \quad [m/s];$$

5. - Calcularea dimensiunilor decantorului.

* - pentru decantoarele nestaționare, statice, adică un vas în care staționează suspensia:

- se poate determina înălțimea stratului de lichid dacă se impune un timp de operare:

$$H_{str\ limpede} = \tau_{staționare} \cdot W_{sed\ practica}, \quad [m];$$

- se poate determina suprafața vasului, cunoscând volumul de suspensie, V_{susp} , [m³];

$$S_{vas} = V_{susp}/H_{str\ limpede}, \quad [m^2];$$

** - pentru decantoarele longitudinale, transversale, decantoare cu funcționare continuă

- se poate calcula lungimea decantorului, L, [m], dacă se cunoaște debitul volumetric de suspensie, $Q_{V\ susp}$, [m³/s], înălțimea lamei de lichid „limpede”, h, [m] și lățimea decantorului, l, [m]. Se determină secțiunea de trecere a suspensiei prin „lama” de lichid limpede: $A_{trecere} = l \cdot h$, [m²];

$$W_{trecere} = Q_{susp}/A_{trecere}, \quad [m/s];$$

$$L = W_{trecere} \cdot \tau_{trecere} \quad [m]; \quad \text{cu condiția: } \tau_{sed} = \tau_{trecere} \quad [s];$$

$$L = W_{trecere} \cdot \tau_{sed}, \quad [m].$$

Se remarcă faptul că pentru decantoarele longitudinale, transversale, se poate calcula ORICARE dintre parametrii aparatului, după modelul calculului Lungimii.

*** - pentru decantoarele radiale, circulare:

- se poate determina suprafața decantorului, $S_{decantor}$, [m²], cunoscând debitul de suspensie ce trebuie tratată, $Q_{V\ susp}$, [m³/s] și condiția de funcționare a acestui tip de aparat:

$$W_{sed\ practica} = W_{trecere}, \quad [m/s];$$

$$S_{decantor} = Q_{V\ susp}/W_{sed\ practica} \quad [m^2];$$

Se remarcă faptul că pentru decantoarele radiale, circulare, se poate calcula ORICARE dintre parametrii aparatului, după modelul calculului Suprafeței.

Alte observații asupra punctelor algoritmului a)

- Calculul suprafeței decantorului continuu:

$$S_{sed} = \frac{Q_{M\ initial} \cdot (c_f - c_i)}{\rho_l \cdot w_{sed\ practic} \cdot c_f}, \quad S_{sed} = \frac{Q_{V0} \cdot (x_f - x_i)}{w_{sed\ practic} \cdot x_f}, \quad S_{sed} = \frac{Q_V}{w_{sed\ practic}}.$$

unde: - i și f sunt indicii pentru inițial și final;

- 0 este indice pentru lichid;

- c și x în [kg solid/kg lichid].

Varianta b) - Se cunosc parametrii dimensionali și funcționali ai decantorului, adică se poate calcula diametrul particulei care scapă din decantor.

1. - Determinarea vitezei de trecere fluidului este primul pas în calculul diametrului particulei care scapă din decantor:

& - pentru decantoarele longitudinale, transversale, decantoare cu funcționare continuă:

$$W_{trecere} = Q_{susp}/A_{trecere}, \quad [m/s];$$

$$A_{trecere} = l \cdot h, \quad [m^2];$$

- condiția de lucru, de funcționare a decantorului transversal este:

$$\tau_{sed} = \tau_{trecere}, \quad [s];$$

$$W_{sed} = L_{sed}/\tau_{sed} = L_{trecere}/\tau_{trecere} = W_{trecere}, \quad [m/s];$$

$$0,5 \cdot W_{sed} = W_{sed\ practica} \quad [m/s];$$

$$w_{sed\ practica} = \frac{1}{18} \cdot \frac{d_p^2 \cdot (\rho_p - \rho_e) \cdot g}{\eta}, \quad [m/s];$$

$$d_p = \sqrt{\frac{18 \cdot \eta \cdot w_{sed\ practica}}{(\rho_p - \rho_l) \cdot g}}, \quad [m].$$

&& - pentru decantoarele radiale, circulare, decantoare cu funcționare continuă, condiția de lucru, de funcționare, este:

$$W_{sed\ practica} = W_{trecere}; \quad [m/s];$$

$$W_{trecere} = Q_{V\ susp}/S_{decantor} \quad [m/s];$$

$$w_{sed\ practica} = \frac{1}{18} \cdot \frac{d_p^2 \cdot (\rho_p - \rho_e) \cdot g}{\eta}; \quad [m/s];$$

$$d_p = \sqrt{\frac{18 \cdot \eta \cdot w_{sed\ practica}}{(\rho_p - \rho_l) \cdot g}}, \quad [m].$$

Varianta c) - Se cunosc parametrii dimensionali și funcționali ai decantorului, adică se poate calcula diametrul particulei care sedimentează într-un timp, τ_{sed} , sau timpul în care sedimentează o particulă cu diametrul d_p , [m].

\$ - Volumul de material, suspensie, $Q_{V\ susp}$, [m³] este determinat de suprafața orizontală a vasului, S_{vas} , [m²] și înălțimea utilă, h , [m] a vasului.

$$Q_{V\ susp} = S_{vas} \cdot h, \quad [m^3],$$

$$0,5 \cdot w_{sed} = w_{sed\ practică} \quad [m/s];$$

$$\tau_{sed} = \frac{h}{w_{sed\ practica}}, \quad [s];$$

$$w_{sed\ practica} = \frac{h}{\tau_{sed}}, \quad [m/s];$$

$$w_{sed\ practica} = \frac{1}{18} \cdot \frac{d_p^2 \cdot (\rho_p - \rho_e) \cdot g}{\eta}, \quad [m/s];$$

$$d_p = \sqrt{\frac{18 \cdot \eta \cdot w_{sed\ practica}}{(\rho_p - \rho_l) \cdot g}}, \quad [m].$$

\$\$ - Volumul de material, suspensie, $Q_{V\ susp}$, [m³] este determinat de suprafața orizontală a vasului, S_{vas} , [m²] și înălțimea utilă, h , [m] a vasului.

$$Q_{V\ susp} = S_{vas} \cdot h, \quad [m^3],$$

$$w_{sed} = \frac{1}{18} \cdot \frac{d_p^2 \cdot (\rho_p - \rho_e) \cdot g}{\eta}, \quad [m/s];$$

$$0,5 \cdot w_{sed} = w_{sed\ practică} \quad [m/s];$$

$$\tau_{sed} = \frac{h}{w_{sed\ practica}}, \quad [s].$$

\$\$\$ - Evaluarea pariculei rămase în suspensie. Este vorba de a calcula diametrul particulei din suspensie după o perioadă foarte lungă de timp, de obicei impusă. De exemplu este vorba de limpezirea vinului după o perioadă de 4 - 6 luni de zile.

$$w_{sed} = \frac{h}{\tau_{sed}}, \quad [m/s];$$

- având în vedere particularitatea sistemului, (vinul NU are în interior curenți convectivi termici sau hidrodinamici și nici alte fenomenologii sau forme de sedimentare), deci rămâne valoarea NECORECTATĂ.

$$\text{- diametrul particulei este: } d_p = \sqrt{\frac{18 \cdot \eta \cdot w_{sed}}{(\rho_p - \rho_l) \cdot g}}, \quad [m].$$

d) # - Viteza de sedimentare în câmp centrifugal a unei particule este:

$$w_{sed\ centr} = \frac{1}{18} \cdot \frac{d_p^2 \cdot (\rho_p - \rho_e) \cdot \omega^2 \cdot R}{\eta_f}; \quad w_{sed\ centr} = \frac{dR}{d\tau};$$

$$\int_0^\tau d\tau = \int_{R_1}^{R_2} \frac{dR}{w_{sed\ centr}}; \quad \text{deci: } \tau = \frac{\eta_f}{18 \cdot d_p^2 \cdot (\rho_p - \rho_f) \cdot \omega^2} \cdot \ln \frac{R_2}{R_1};$$

- R_1 și R_2 sunt raza luciului de lichid, respectiv raza tamburului centrifugei, [m];

- $\omega = 2 \cdot \pi \cdot n$ este pulsația, viteza unghiulară de rotație, [1/s];

- n este viteza de rotație a tamburului, [1/s].

- Diametrul particulei care sedimentează într-o centrifugă discontinuă depinde de timpul de operare, la turația de regim, τ , [s]:

$$d_p = \sqrt{\frac{\eta_f \cdot \ln \frac{R_2}{R_1}}{18 \cdot (\rho_p - \rho_f) \cdot \omega^2 \cdot \tau}}; \quad [m].$$

- R_1 și R_2 sunt raza luciului de lichid, respectiv raza tamburului centrifugei, [m];

- $\omega = 2 \cdot \pi \cdot n$ este pulsația, viteza unghiulară de rotație, [1/s];

- n este viteza de rotație a tamburului, [1/s].

Calculul operației de sedimentare prin centrifugare

Principial sunt trei variante de calcul:

- a) - discontinuă;
- b) - semicontinuă;
- c) - continuă.

Observații asupra punctelor algoritmului

ATENȚIE aparatura este standard, adică are parametrii funcționali cunoscuți.

a) Operarea discontinuă

1. - Volumul interior al tamburului centrifugii este: $V_i = (\pi \cdot D_i^2 \cdot H_t) / 4$, [m³];

unde: - D_i este diametrul interior al tamburului, [m],

- H_t este înălțimea tamburului, [m].

2. - Gradul de încărcare, ε , [-], a tamburului este între 0,3 și 0,5 din V_i . Relația de calcul este: $\varepsilon \cdot V_i = (\pi \cdot H_t / 4) \cdot (D_i^2 - d_{lich}^2)$. Se alege valoarea pozitivă a rădăcinii ecuației pentru d_{lich} .

- Grosimea stratului de lichid, suspensie în decantare, este:

$$\delta = (D_i - d_{lich}), \quad [m].$$

3. Se determină viteza de sedimentare, $w_{sed\ cc}$ precum și factorul de eficacitate, f :

$$w_{sed\ cc} = \frac{1}{18} \cdot \frac{d_p^2 \cdot (\rho_s - \rho_l) \cdot \omega^2 \cdot R}{\eta}, \quad [\text{m/s}], \quad f = (\omega^2 \cdot R)/g, \quad [-];$$

unde: - $\omega = 2 \cdot \pi \cdot n$, $[\text{s}^{-1}]$,

- n este turația tamburului, $[\text{s}^{-1}]$,

- R este raza tamburului, $[\text{m}]$,

- se verifică regimul de sedimentare, care este de obicei laminar:

$$Re < 0,2; \quad 0,36 < Ar < 36,$$

- viteza teoretică se corectează prin înjumătățire. În acest fel se iau în considerare și alți factori ce influențează sedimentarea, care nu au fost incluși în relația inițială teoretică de calcul: sedimentarea frânată, colectivă, curenții torbionari de convecție termică sau hidrodonamică: $w_{sed\ practic} = 0,5 \cdot w_{sed}$.

- Factorul de eficacitate este similar criteriului Froude: $Fr = (d_{ech} \cdot n^2)/g$, $[-]$.

4. - Timpul efectiv de sedimentare a particulei în câmp centrifugal se calculează cu relația:

$$\tau_{sed\ cc} = \delta / w_{sed\ practic}, \quad [\text{m/s}].$$

5. - Forța centrifugă se determină cu relația:

$$F = M \cdot \omega^2 \cdot R = (2 \cdot \pi \cdot n)^2 \cdot M \cdot R, \quad [\text{N}];$$

în care: - M este masa de material din aparat, $[\text{kg}]$,

$$M = \varepsilon \cdot V_i \cdot Q_{susp} = (\pi \cdot H_i / 4) \cdot (D_i^2 - d_{lic}^2) \cdot Q_{susp};$$

în care: - R este raza tamburului, $[\text{m}]$;

- n turația tamburului, $[1/\text{s}]$;

- ω este viteza unghiulară, $[1/\text{s}]$;

- Presiunea de filtrare este: $\Delta p_{filtrare} = F/A$, $[\text{Pa}]$, unde: $A = 2 \cdot \pi \cdot R_i \cdot H_t = \pi \cdot D_i \cdot H_t$, $[\text{m}^2]$, este aria tamburului centrifugii.

6. - Lucrul mecanic necesar pentru învingerea inerției tamburului centrifugei în perioada de pornire, L_1 , $[\text{J}]$:

$$L_1 = (M_{tambur} \cdot w_2^2) / 2 = (M_{tambur} \cdot \omega_2^2 \cdot R^2) / 2; \quad [\text{J}],$$

unde: indicele 2 este pentru partea exterioară a tamburului centrifugii;

- Lucrul mecanic necesar pentru învingerea inerției încărcăturii tamburului centrifugii, considerată la încărcare pe jumătate, la maximum acceptabil tehnologic, în perioada de pornire, L_2 , $[\text{J}]$:

$$L_2 = (0,75 \cdot w_1^2 \cdot Q_{susp} \cdot V_i) / 4 = (0,75 \cdot \omega_1^2 \cdot R_1^2 \cdot Q_{susp} \cdot V_i) / 4, \quad [\text{J}],$$

unde: - indicele 1 este pentru partea interioară a tamburului centrifugii.

- P_1 este puterea necesară acționării utilajului în perioada de pornire, până la atingerea turației de regim, $[\text{W}]$:

$$P_1 = (L_1 + L_2) / \tau,$$

unde: - τ este timpul de atingere a turației de regim, de obicei între 30 și 180 $[\text{s}]$, cu atât mai mare cu cât capacitatea tamburului este mai mare.

- P_2 , este puterea necesară învingerii frecărilor în lagărele aparatului, [W]:

$$P_2 = 0,03 \cdot M_{\text{tot}} \cdot w_{\text{ax}} \cdot g,$$

unde: - M_{tot} este masa totală a pieselor în mișcare, inclusiv a suspensiei, [kg];

- w_{ax} este viteza periferică a axului centrifugii, [m/s]:

$$w_{\text{ax}} = \omega \cdot d_{\text{ax}} = \pi \cdot n \cdot d_{\text{ax}}.$$

- P_3 este puterea necesară învingerii frecărilor dintre tambur și aerul înconjurător, [W]:

$$P_3 = 6,762 \cdot 10^{-3} \cdot R_2^2 \cdot w_2^3 \cdot Q_{\text{aer}},$$

- Puterea totală necesară, P_T , [W], este suma:

$$P_T = P_1 + P_2 + P_3.$$

- Cu un randament mecanic total, η_T , [-], puterea necesară, P_N , [W], este:

$$P_N = P_T / \eta_T;$$

- Puterea instalată, P_{inst} , [W], este: $(1,1 \div 1,3) \cdot P_N$.

- **NOTĂ:** Necesarul energetic în momentul pornirii centrifugii, primele 0 ÷ 5 - 8 secunde, este de până la 25 de ori mai mare decât în perioada de regim normal de funcționare, așa încât utilajele trebuie montate corespunzător.

b) Operarea semicontinuă

1. - Debitul volumic de suspensie, V_{susp} , (capacitatea de producție), [m³/s], a unei centrifuge de sedimentare discontinuă cu descărcare cu cuțit raclor, se determină cu relațiile:

$$\alpha) V_{\text{susp}} = \varepsilon_d \cdot S_{\text{susp}} \cdot w_{\text{sed cc}},$$

în care: - ε_d este un coeficient ce ține seama de raportul debitelor teoretice și reale utilizate, valori cuprinse între 0,4 - ε_d - 0,5, [-],

- $S_{\text{susp}} = 2 \cdot \pi \cdot R_i \cdot H_t = \pi \cdot D_i \cdot H_t$, este suprafața suspensiei, a lichidului, [m²],

- $w_{\text{sed cc}} = w_{\text{sed}} \cdot f$, pentru raza interioară, [m/s];

- factorul de eficacitate, f , este similar criteriului Froude:

$$Fr = (d_{\text{ech}} \cdot n^2) / g, f = (\omega^2 \cdot R_i) / g, [-];$$

$$\beta) V_{\text{susp}} = 25,3 \cdot \varepsilon_d \cdot k \cdot H_t \cdot n^2 \cdot w_{\text{sed}} \cdot R_i \cdot S_{\text{susp}}, \text{ [m}^3/\text{h]},$$

unde k este raportul dintre durata alimentării centrifugii cu suspensie și durata totală a procesului.

c) Operarea continuă

α) - Debitul volumic de suspensie, V_{susp} , (capacitatea de producție), [m³/h], pentru o centrifuga continuă orizontală cu descărcare prin șnec se determină cu relația:

$$V_{\text{susp}} = 3,5 \cdot [D_{\text{pl}}^2 L_{\text{pl}} \cdot (Q_s - Q_l) \cdot d^2 \cdot n^2] / \eta, \text{ [m}^3/\text{h]},$$

în care: - D_{pl} și L_{pl} sunt diametrul și lungimea „cilindrului de preaplin”, [m];

- Q_s și Q_l sunt densitățile solidului și lichidului, [kg/m³];

- d este diametrul celei mai mici particule care scapă din aparat, [m];
- n este turația centrifugii, [s⁻¹];
- η este viscozitatea lichidului, [Pa·s].

β) - Debitul volumic de suspensie, V_{susp} , (capacitatea de producție), [m³/s], pentru o supercentrifuga tubular continuă verticală se determină cu relația:

$$V_{\text{susp}} < (w \cdot V_{\text{int}})/h, \quad [\text{m}^3/\text{h}],$$

- în care:
- w este viteza de sedimentare a particulei în câmp centrifugal, [m/s];
 - $V_{\text{int}} = 0,785 \cdot (D^2 - D_0^2) \cdot H_t$, este volumul de lichid în tambur, [m³];
 - H_t este lungimea, (înălțimea), părții active a tamburului, [m];
 - D și D_0 sunt diametrele interioare și a pragului de preaplin, [m],
 - h este adâncimea pragului din tambur, [m].

Condiția funcționării corecte a utilajului este ca regimul de curgere în tambur să fie laminar, și anume: Re să fie sub 350.

Calculul operației de ciclonare

Observații asupra punctelor algoritmului

Cicloanele sunt aparate care separă materialele solide de lichide, hidrocicloanele, sau particulele solide sau picături de lichide de gaze, cicloanele, sub acțiunea forței centrifuge formate de viteza curentului de fluid într-un corp cilindric.

- **Observație:** - De obicei sunt aparate disponibile și standardizate, deci se verifică modul lor de funcționare. Pentru unele cazuri, se pot proiecta și confecționa, ele fiind aparate relativ simple.

1. - Parametrii funcționali ai operației de separare prin (hidro)ciclonare sunt: densitatea solidului și fluidului, diametrul particulei solide care se dorește a fi reținută, temperatura de operare, debitul masic sau volumic de fluid, amestec fluid – solid).

2. - Se alege, se adoptă sau se ia din cataloagele de specialitate raportul: $\Delta p/q_{\text{fluid}}$.

3. - Se calculează viteza convențională, w_c din relația: $\Delta p/q_{\text{fluid}} = \zeta \cdot (w_c^2/2)$.

Această viteză trebuie să se încadreze în limitele recomandate pentru curgeri în țevi a fluidelor, „v.A.”.

- ζ este coeficientul de rezistență locală, „v.A.”, [-].

4. - Se determină diametrul aparatului, D , [m], cu relația clasică a debitului

volumetric:

$$D = \sqrt{\frac{Q_v}{0,785 \cdot w_c}}.$$

5. - Se calculează pierderea de presiune prin rezistențe locale:

$$\Delta p = \zeta \cdot \frac{w_c^2 \cdot \rho_f}{2}.$$

6. - Se determină diametrul minim al particulei care este captată, d_{\min} , având în vedere următoarele aspecte: în timpul de depunere pe peretele cilindric al ciclonului, τ , [s], particula parcurge distanța circulară pe periferia părții cilindrice simultan cu deplasarea sa de la centru la periferie, în regim laminar și în câmp centrifugal:

$$\tau = \frac{R}{2 \cdot w_{\min}} \quad \tau = \frac{2 \cdot \pi \cdot n \cdot R}{w_c} \quad w_{sed\ cc} = \frac{1}{18} \cdot \frac{d_{p\ min}^2 \cdot \rho_p \cdot w_c^2}{\eta_l}$$

$$d_{\min} = 3 \cdot \sqrt{\frac{\eta \cdot R}{2 \cdot \pi \cdot n \cdot w_c \cdot \rho_p}}$$

- de obicei w_c , [m/s], este și viteza de intrare a fluidului în ciclon;
- Unghiul de intrare în ciclon influențează coeficientul de rezistență locală, respectiv pierderile de presiune. Cu cât unghiul de intrare al fluidului este mai mare, coeficientul de rezistență este mai mic, deci și pierderile de presiune, „v.A.”.
- Cu cât unghiul de intrare este mai mare, numărul de rotații a fluidului în ciclon este mai mic, deci d_{\min} este mai mare.
- Relația de calcul a d_{\min} , [m], oferă principalele date despre influența parametrilor asupra procesului.
- Forma geometrică a cicloanelor se ia după rapoartele dintre lungimile caracteristice, ca simplecși de similitudine, vezi Anexa, „v.A.”.

Calculul operației de agitare, (amestecare)

Observații asupra punctelor algoritmului

1. - Forma agitatorului se poate crea analizând spectrul de curgere la turații diferite, în prezența sau nu a șicanelor sau a amenajărilor interioare. Acestea depind de natura operației care se desfășoară sub agitare: dizolvare, amestecare, transfer termic, generare de germeni, reacții în mediu omogen sau heterogen, menținere în suspensie, generare de emulsii etc. ... Aceste aspecte se rezolvă experimental.

2. - Determinările experimentale pe modelul de laborator urmăresc optimizarea formei, turației, spectrului de curgere, efectului de amestecare și fixarea mărimilor geometrice finale. Scopul experimentelor este determinarea formei, dimensiunilor, amenajărilor interioare, turației și puterii la amestecare pe model.

3. - Se determină dimensiunile prototipului pornind de la forma și dimensiunile modelului experimental pornind de la raportul de scară. **MODEL** este construcția la scară experimentală de pe care se prelevează date care vor fi transpuse la o scară de proporție mai mare. **PROTOTIP** este realizarea la o scară geometrică mai mare, indiferent de mărime: semipilot, pilot, semiindustrială, industrială.

Noțiunea de scară implică nu numai forma geometrică cu respectarea scării de asemănare, dar și similitudinea de material, de temperatură sau de (bio)cinetică. Teoria similitudinii demonstrează posibilitatea simulării a maximum doi parametri simultan, dar sacrificând similitudinea de material. Pe lângă aspectul general, TRE-BUIE să se respecte TOATE rapoartele de dimensiuni: distanța fund-amestecător, numărul și poziția spărgătoarelor de vârtej, forma și plasarea paletelor amestecătoarelor, unghiul lor de înclinare etc.

4. - Se determină valorile puterii și turației pentru prototip pornind de la următoarele date:

- pentru omogenizare, dizolvare, menținere în suspensie, transfer termic se aplică regula vitezei periferice egale, a turbulenței identice, adică:

$$\text{Re}_{\text{model}} = \text{Re}_{\text{prototip}}, \quad \text{Re}_m = \text{Re}_p:$$

$$\frac{n_m \cdot d_{agm}^2 \cdot \rho_{em}}{\eta_{em}} = \frac{n_p \cdot d_{agp}^2 \cdot \rho_{lp}}{\eta_{lp}};$$

- pentru emulsionare, reacții chimice, amestecarea sistemelor neomogene, barbotare, se aplică regula egalității puterii disipate pe unitatea de volum: $K_{Nm} = K_{Np}$:

$$\frac{P_m}{\rho_{lm} \cdot n_{agm}^3 \cdot d_{agm}^5} = \frac{P_p}{\rho_{lp} \cdot n_{agp}^3 \cdot d_{agp}^5}; \quad \frac{P_m}{V_m} = \frac{P_p}{V_p};$$

- pentru amestecătoare similare geometric se poate calcula criteriul puterii, K_N , cu relația:

$$K_N = \frac{C_1}{\text{Re}^{C_2}},$$

unde: - C_1 și C_2 sunt constante specifice fiecărei geometrii ale sistemului de amestecare în parte și sunt prezentate în literatură, „v.A.”.

- pentru diferite tipuri de amestecătoare, în literatură se găsesc diagrame de corelare a criteriilor de similitudine principale: $K_N = f(\text{Re})$, din care se pot determina mărimile necesare, „v.A.”.

- La amestecarea lichidelor sau a suspensiilor prin barbotarea aerului sau a gazelor, presiunea de injectare Δp_T , [Pa], se determină cu relația:

$$\Delta p_T = \left(1 + \lambda \cdot \frac{L}{d} + \sum \xi\right) \frac{\rho_g \cdot w_g^2}{2} + \rho_l \cdot g \cdot H_l;$$

- λ este coeficientul de frecare gaz-conducta de injectare, [-];
- L este lungimea conductei de alimentare cu aer sau gaz, [m];
- d este diametrul interior al conductei, [m];
- $\sum \xi$ este suma coeficienților de rezistență locală, [-];
- ρ_g, ρ_l sunt densitățile gazului, respectiv a lichidului amestecat, [kg/m³];
- w_g este viteza gazului în conductă, [m/s];
- g este accelerația gravitațională, 9,81 [m/s²];
- H_l este înălțimea stratului de lichid amestecat, [m].

La valoarea presiunii astfel calculate, se mai adaugă un supliment de $3 \div 5$ [%].

- Debitul necesar de aer sau de gaze pe unitatea de suprafață, $Q_{v \text{ aer}}$, pentru amestecare este, „**v.A.**”:

- amestecare slabă sau puțin intensă: $0,25 \div 0,40$ [$\text{m}^3/\text{m}^2 \cdot \text{min}$];
- amestecare medie: $0,45 \div 0,75$ [$\text{m}^3/\text{m}^2 \cdot \text{min}$];
- amestecare intensă: $0,75 \div 1,10$ [$\text{m}^3/\text{m}^2 \cdot \text{min}$].

Calculul operației de filtrare

Observații asupra punctelor algoritmului

1. - Determinarea experimentală a constantelor de filtrare este absolut necesară în vederea dimensionării sau verificării funcționării filtrului. Operația se execută cu aceeași suspensie, tip de material filtrant și condiții de filtrare, (temperatură, diferență de presiune ...), cu care se operează în condiții industriale. Principial, determinarea lor se face colectând volume egale de filtrat în intervale de timp măsurate, „**v.IL**”. (În Îndrumătorul de Laborator, la capitolul „FILTRARE” se prezintă pe larg modul de lucru și se exemplifică prin calcul întreaga procedură). Constantele de filtrare se determină din liniarizarea ecuației generale a filtrării, prezentată mai jos, care poate fi prezentată sub două relații matematice, similare:

$$a \cdot V_f^2 + b \cdot V_f = \tau, \quad \text{sau scrisă sub altă formă: } V_f^2 + 2 \cdot C \cdot V_f = K \cdot \tau,$$

- a este o constantă specifică fiecărui tip de precipitat, [s/m^2];
- b este o constantă specifică fiecărui tip de material filtrant, [s/m];
- a și b sunt constantele de filtrare care se determină experimental în aceleași condiții în care are loc filtrarea;
- C este o constantă specifică fiecărui tip de material filtrant, [m^3/m^2], similară cu b;
- K este o constantă caracteristică precipitatului, [m^2/s], similară cu a.

unde:

$$[V_f] = \left[\frac{\text{m}^3}{\text{m}^2} \right] = \left[\frac{\text{volum de filtrat}}{\text{aria filtrului}} \right];$$

- Liniarizarea acestora, adică aducerea sub o formă de ecuație de ordinul I, se face prin diferențiere și trecerea la diferențe finite mici:

$$y = m \cdot x + n,$$

care conduce la expresiile legat direct de ecuațiile filtrării la relațiile:

$$\frac{\Delta \tau}{\Delta V_f} = 2 \cdot a \cdot V_f + b \quad \text{respectiv:} \quad \frac{\Delta \tau}{\Delta V_f} = \frac{2}{K} \cdot V_f + \frac{2 \cdot C}{K}.$$

*) - Constanta precipitatului:

$$K = \frac{1}{a} = \frac{2 \cdot \Delta p}{\eta \cdot c \cdot r};$$

- Δp este căderea de presiune în filtru, [Pa];
- η este viscozitatea filtratului, [Pa·s];
- r este rezistența specifică a precipitatului, calculată la 1 kg substanță uscată, [m/kg];
- c este cantitatea de solid uscat depus la trecerea prin filtru a 1 m³ filtrat, [kg/m³];

$$c = \frac{\rho \cdot x}{1 - m \cdot x};$$

- ρ este densitatea filtratului, [kg/m³];
- x este concentrația masică a solidului, [kg/kg];
- m este masa precipitatului umed raportată la 1 kg substanță uscată, [kg/kg];

$$K = \frac{1}{a} = \frac{2 \cdot \Delta p \cdot (1 - m \cdot x)}{\eta \cdot r \cdot \rho \cdot x};$$

**) - Constanta materialului filtrant, r_{mf} :

$$C = \frac{b}{2} = \frac{r_{mf}}{r \cdot c} = \frac{r_{mf} \cdot (1 - m \cdot x)}{r \cdot x \cdot \rho}.$$

***) - Cantitatea de substanță uscată, G , [kg]:

$$G = V \cdot c = V \cdot \frac{\rho_f \cdot x}{(1 - m \cdot x)};$$

****) - Concentrația x a fazei solide, [kg/kg], în suspensie se determină cu:

$$x = \frac{(\rho_{susp} - \rho_f)}{(\rho_s - \rho_f) \cdot \rho_{susp}};$$

*****) - Densitatea suspensiei, ρ_{susp} , [kg/m³], sau a precipitatului umed:

$$\rho_{susp} = \frac{\rho_f \cdot (1 + n) \cdot \rho_s}{(\rho_f + \rho_s \cdot n)};$$

- n este masa fazei lichide din suspensie pe unitatea de masă solidă, $s: l = 1/n$, [kg/kg];
- ρ_f este densitatea lichidului, [kg/m³];
- ρ_s este densitatea fazei solide, [kg/m³].

2. - Bilanțul de materiale global pentru operația de filtrare este:

$$M_{susp} = M_{pp \text{ umed}} + M_{filtrat};$$

în care: - M_{susp} și $M_{pp \text{ umed}}$, se calculează cu relația generală a densității, ținând seama de densitatea amestecurilor, „v.A.”, $M = V \cdot \rho$,

- $M_{filtrat}$ este cantitatea, [kg], de lichid, - $V_{filtrat} = M_{filtrat} / \rho_{filtrat}$, m³

3. - Tipul de filtru se alege după tipul de operație: discontinuu sau continuu, după modul de operare, după frecvența activității, gradul de automatizare etc.

Multitudinea de tipuri de filtre: Nutsche, Dorr-Oliver, cu camere, cu plăci și rame, cu bandă, carusel, cu saci etc., oferă modul în care se determină parametrii aparatului, în special suprafața filtrantă, [m²].

De exemplu: Nutsche: $S_f = (\pi \cdot D^2)/4$; cu plăci și rame: $S_f = 2 \cdot n \cdot l_i \cdot l_i$;
 Dorr-Oliver: $S_f = (\pi \cdot R^2 \cdot n^0)/360^0$; cu saci: $S_f = (\pi \cdot D^2) \cdot l/4$;
 cu camere: $S_f = n \cdot (2 \cdot D^2)/4$; carusel: $S_f = [\pi \cdot (R_e^2 - R_i^2) \cdot n^0]/360^0$.
 cu bandă, $S_f = L \cdot l$;

- Din catalogul filtrului, se determină și alți parametri ai aparatului: lungime, lățime, număr de camere sau rame și plăci, număr de rotații/minut, viteza de deplasare a benzii, lungimea spațiului filtrant și de spălare, mod de regenerare a materialului filtrant, spațiu de manevră, greutate, putere instalată etc. și bilanțul de materiale se calculează V_f :

$$V_f = \frac{[m^3_{filtrat}]}{[m^2_{suprafata}]}$$

4. - Timpul de filtrare se determină din ecuația generală, având valoarea constantelor de filtrare, determinate experimental, a , b , C , K și V_f .

5. - În cazul cunoașterii sau impunerii timpului de filtrare, τ_f , se determină suprafața activă a filtrului prin rezolvarea ecuațiilor de ordinul II a filtrării, cu necunoscuta V_f , reținându-se soluția pozitivă. Din valoarea V_f astfel obținută, se determină [m² suprafață filtrantă], cunoscându-se volumul de filtrat, [m³].

- Forma generală a ecuației de ordinul II este:

$$m \cdot x^2 + n \cdot x + p = 0;$$

unde. - m , n , p sunt parametri numerici ai ecuației de ordinul II. ..

- Soluțiile, (rădăcinile) ecuației sunt:

$$x_{1,2} = \frac{-b \pm \sqrt{b^2 - 4 \cdot m \cdot p}}{2 \cdot m}.$$

6. - În timpul filtrării, pe materialul filtrant se acumulează un strat continuu crescător de solid. Filtratul trebuie să treacă printre particulele solide depuse în stratul de precipitat continuu crescător de pe materialul filtrant. Din acest motiv, debitul de filtrat scade continuu în timp, debitul sau viteza de filtrare scade, până devine operația de filtrare neeconomică. Viteza de filtrare momentană, care este derivata de ordinul I a volumului specific de filtrat față de timp, se determină cu relațiile:

$$\frac{\Delta V_f}{\Delta \tau} = \frac{1}{2 \cdot a \cdot V_f + b}; \quad \frac{\Delta V_f}{\Delta \tau} = \frac{K}{2 \cdot (V_f + C)}.$$

- Viteza de filtrare finală se determină prin derivarea ecuației generale, în care se introduce valoarea V_{ff} în momentul încetării operației. Rezultă expresia:

$$\text{- viteza de filtrare finală} = w_{ff} = \frac{dV_{ff}}{d\tau} = \frac{1}{2 \cdot a \cdot V_{ff} + b}, \quad \text{sau:}$$

$$\text{- viteza de filtrare finală} = w_{ff} = \frac{dV_{ff}}{d\tau} = \frac{K}{[2 \cdot (V_{ff} + C)]}.$$

7. - Calculul timpului de spălare a turtei, precipitatului. Spălarea precipitatului are drept scop îndepărtarea sărurilor solubile înglobate în filtratul reținut de particulele solide. Trebuie efectuate determinări experimentale pentru a găsi cantitatea de lichid de spălare necesar atingerii purității dorite a turtei și a celui mai eficient mod de spălare. Dacă nu există asemenea informații, se poate aprecia că volumul lichidului de spălare este 10 [%] din volumul de filtrat.

- Dacă lichidul de spălare are aceeași viscozitate cu a filtratului, viteza de filtrare finală este egală cu cea de spălare.

- Dacă lichidul de spălare are viscozitatea mai mare decât a filtratului, viteza de spălare va fi mai mică decât cea de filtrare finală.

- Dacă lichidul de spălare are viscozitatea mai mică decât a filtratului, viteza de spălare va fi mai mare decât cea de filtrare finală.

Spălarea precipitatului se poate efectua în două moduri distincte:

a) - redispersarea înseamnă colectarea precipitatului de pe filtru, amestecarea sa cu lichidul de spălare și reluarea separării prin filtrare. Considerând volumul de lichid de spălare 10 [%] din volumul de filtrat, timpul de spălare se determină cu relațiile de bază:

$$a \cdot (0,1 \cdot V_f)^2 + b \cdot (0,1 \cdot V_f) = \tau_{\text{spălare}}, \quad \text{sau:} \quad (0,1 \cdot V_f)^2 + 2 \cdot C \cdot (0,1 \cdot V_f) = K \cdot \tau_{\text{spălare}},$$

b) - spălarea prin difuziune, în echicurent sau contracurent, adică lichidul de spălare fie urmează traseul parcurs de filtrat, fie traseul este în sens invers. Este clar că este mai simplu de a spăla precipitatul în echicurent.

- Considerând viteza de filtrare finală egală cu viteza de spălare, (constantă) și volumul de lichid de spălare 10 [%] din volumul de filtrat, se determină volumul specific de lichid de spălare:

$$V_{\text{spălare}} = 0,1 \cdot V_{\text{filtrat}} \quad [\text{m}^3];$$

$$\frac{V_{\text{lichid de spălare}}}{S_{\text{filtrului}}} = V_{f \text{ spălare}} \quad [\text{m}^3/\text{m}^2];$$

$$\text{- timpul de spălare se determină cu relația:} \quad \tau_{\text{spălare}} = \frac{V_{\text{spălare}}}{w_{ff}}, \quad [\text{s}].$$

- Concentrația solutului în lichidul de spălare are următoarea evoluție în timpul

$$\tau \text{ [s] al spălării prin difuziune:} \quad c = c_f \cdot e^{\exp\left(-\frac{\beta \cdot w_{ff} \cdot \tau}{\delta}\right)}.$$

- c_f este concentrația inițială, a filtratului, $[\text{kg}/\text{m}^3]$;

- c este concentrația la timpul τ de spălare; $[\text{kg}/\text{m}^3]$;

- w_{ff} este intensitatea de spălare, $[\text{m}^3/\text{m}^2 \cdot \text{s}]$;

- δ este grosimea stratului de precipitat, sau a razei particulei solidului dacă precipitatul este granular, $[\text{m}]$.

9. Calculul timpului total de operare este suma timpului de filtrare, de spălare a precipitatului și de manevrare a aparatului.

10. Volumul specific de gaz purificat în filtrele cu saci se admite:

0,2 ÷ 1 [m³/m²·min] pentru particule fine;

1 ÷ 2 [m³/m²·min] pentru particule grosiere.

Calculul operației de fluidizare

Observații asupra punctelor algoritmului

1. - Spectrul granulometric se determină experimental, prin cernere și prelucrarea datelor experimentale, „v.A”, curba de distribuție granulometrică, de unde se calculează diametrul echivalent, d_{ech} , [m], cu relația:

$$d_{ech} = \frac{1}{\sum x_i/d_i};$$

unde: - x_i este fracția masică a sortului, [-];

- d_i este diametrul mediu al ochiului sitei, [m].

- dacă granulele sunt monodisperse, (adică au același diametru), se ia diametrul granulei, d_{ech} , [m].

- Coeficientul de formă, Φ , al particulelor diferite de cea sferică se determină cu expresia:

$$\Phi = \sqrt{0,207 \cdot \frac{S_p}{V_p^{2/3}}};$$

- S_p este suprafața particulei, [m²];

- V_p este volumul particulei, [m³].

- Diametrul echivalent, d_{ech} , [m], se determină cu relația:

$$d_{ech} = \Phi \cdot d_{sf} = 1,24 \cdot \Phi \cdot \sqrt[3]{V};$$

- d_{sf} este diametrul sferei cu același volum cu al particulei, [m];

2. - Viteza minimă de fluidizare se poate determina din diagrame specifice, „v.A.”, sau cu relațiile:

$$w_{min} = 8,1 \cdot 10^{-4} \cdot \frac{(\rho_s - \rho_f) \cdot d_s^2}{\eta_f}; \quad Re_{cr} = \frac{Ar}{1400 + 5,22 \cdot \sqrt{Ar}};$$

$$Re_{cr} = \frac{w_{min} \cdot d_s \cdot \rho_f}{\eta_f}, \quad Ar = \frac{d_s^3 \cdot (\rho_s - \rho_f) \cdot \rho_f \cdot g}{\eta_f^2};$$

$$Li = \frac{w_{antr}^3 \cdot \rho_f^2}{\eta_f \cdot \Delta \rho \cdot g} = \frac{w_{antr}^3 \cdot \rho_f^2}{\eta_f \cdot (\rho_s - \rho_f) \cdot g},$$

- **Observație:** - În cazul fluidizării cu gaze se poate utiliza expresia: $Li = \frac{w_{antr}^3 \cdot \rho_f^2}{\eta_f \cdot \rho_s \cdot g}$.

unde: - d_s este diametrul granulei, [m],

- ρ_f, ρ_s este densitatea fluidului, respectiv al solidului, [kg/m³];

- η_f este viscozitatea dinamică a fluidului, [Pa·s];

- g reprezintă accelerația gravitațională, [m/s²].

- **Observație:** - La fluidizarea cu gaze se poate neglija densitatea gazului din diferența ($\rho_s - \rho_f$).

3. - Viteza de fluidizare de lucru se determină din indicele de fluidizare, K_w , indice determinat din date experimentale sau din practica industrială:

$$K_w = \frac{w \text{ de lucru}}{w \text{ critica de fluidizare}}, \quad [-].$$

4. - Porozitatea stratului fluidizat, $[\varepsilon]$, poate fi calculată din diagramele de corelare a criteriilor Liascenko și Arhimede, „**v.A.**”, sau cu relația:

$$\varepsilon = \left(\frac{18 \cdot Re + 0,36 \cdot Re^2}{Ar} \right)^{0,21}.$$

- Un strat fix de granule are porozitatea, ε_0 , sau fracția de goluri, $[m^3/m^3]$, sau $[-]$:

$$\varepsilon_0 = \frac{V - V_{gr}}{V};$$

- V și V_{gr} sunt volumele ocupate de material, respectiv granule, $[m^3]$;

- Dacă se poate neglija densitatea mediului față de a granulei:

$$\varepsilon_0 = 1 - \frac{\rho_{vrac}}{\rho_s};$$

- ρ_s și ρ_{vrac} sunt densitățile granulei, respectiv a grămezii de particule, (densitatea în vrac), $[kg/m^3]$;

- **Observație:** - Pentru un strat larg de particule monodisperse, ε_0 are valoarea 0,4.

- Pentru un strat fluidizat porozitatea, ε , se determină cu relația:

$$\varepsilon = \frac{V_{strfl} - V_{gr}}{V_{strfl}} = 1 - \frac{V_{gr}}{V_{strfl}};$$

- Relația de legătură între înălțimile caracteristice:

$$h = \frac{1 - \varepsilon_0}{1 - \varepsilon} \cdot h_0.$$

- Porozitatea stratului fluidizat la diferite viteze de fluidizare se determină cu relația:

$$\varepsilon = \left(\frac{18 \cdot Re + 0,36 \cdot Re^2}{Ar} \right)^{0,21};$$

sau din diagramele de corelare a criteriilor Liascenko și Arhimede, „**v.A.**”:

$$Re = \frac{w_{fic} \cdot d_s \cdot \rho_f}{\eta_f}; \quad Ar = \frac{d_s^3 \cdot (\rho_s - \rho_f) \cdot \rho_f \cdot g}{\eta_f^2};$$

$$Li = \frac{w_{antr}^3 \cdot \rho_f^2}{\eta_f \cdot \Delta \rho \cdot g} = \frac{w_{antr}^3 \cdot \rho_f^2}{\eta_f \cdot (\rho_s - \rho_f) \cdot g}.$$

- **Observație:** - Pentru criteriul Reynolds, Re , se utilizează viteza fictivă a fluidului, w_{fic} , care se calculează prin raportarea debitului volumic al fluidului, Q_v , $[m^3/s]$ la secțiunea considerată „goală” a aparatului, (coloanei), S , $[m^2]$: $w_{fic} = \frac{Q_v}{S}.$

- Porozitatea stratului fluidizat la diferite viteze fictive a fluidului se poate determina din diagrame specifice, „**v.A.**”, sau calcula cu relația: $\varepsilon_{w\text{fic}} = 1 - \frac{h_0}{h} \cdot (1 - \varepsilon_0)$;

- ε_0 este porozitatea inițială a stratului fix. Pentru particule polidisperse, $\varepsilon_0 = 0,38$.

- Densitatea stratului fluidizat la diferite viteze a fluidului se calculează cu relația: $[\text{kg/m}^3]$: $Q_{sf} = M_{sf}/V_{sf} = (Q_{gr} \cdot h_0)/h_{sf}$;

- Viteza reală a fluidului între granulele stratului fluidizat este: $w = \frac{w_{fic}}{\varepsilon_{w\text{fic}}}$.

5. - Viteza de antrenare, w_{antr} [m/s], este aceea care elimină din aparat particulele solide și se determină din diagramele $Li = f(Ar)$, ca mai jos, „**v.A.**”, sau cu relația:

$$Re_{antr} = \frac{Ar}{18 + 0,61\sqrt{Ar}}, \quad Re_{antr} = \frac{w_{antr} \cdot d_s \cdot \rho_f}{\eta_f};$$

- În diagrama $Li - Ar$, „**v.A.**”, această viteză corespunde situației $\varepsilon = 1$, preluată pentru criteriul Liascenko calculat cu viteza de fluidizare de lucru: $Li = Re^3 / Ar$,

$$Li_{antr} = \frac{w_{antr}^3 \cdot \rho_f^2}{\eta_f \cdot \Delta\rho \cdot g} = \frac{w_{antr}^3 \cdot \rho_f^2}{\eta_f \cdot (\rho_s - \rho_f) \cdot g}, \quad \text{sau pentru gaze: } Li_{antr} = \frac{w_{antr}^3 \cdot \rho_f^2}{\eta_f \cdot \rho_s \cdot g},$$

6. - Diametrul particulelor antrenate din strat, $d_{s\text{antr}}$ [m], se determină din criteriul Arhimede, preluat din diagrama $Li = f(Ar)$, „**v.A.**”, pentru criteriul Liascenko determinat ca mai sus:

$$Ar_{s\text{antr}} = \frac{d_{s\text{antr}}^3 \cdot (\rho_s - \rho_f) \cdot \rho_f \cdot g}{\eta_f^2}, \quad d_{s\text{antr}} = \sqrt[3]{\frac{\eta_f^2 \cdot Ar}{(\rho_s - \rho_f) \cdot \rho_f \cdot g}}.$$

7. - Debitul de fluid se determină din relația generală a debitului:

$$Q_v = w_{\text{de lucru}} \cdot S_{\text{apar.}}$$

8. - Pierderea totală de presiune în stratul fluidizat, (ΔP_{st}) , este aproximativ egală cu presiunea hidrostatică a stratului fluidizat, practic, pierderea de presiune echilibrează greutatea stratului:

$$\Delta P_{st} = (1 - \varepsilon_w) \cdot (Q_s - Q_f) \cdot h_w \cdot g,$$

$$\Delta p_{sf} = (\rho_s - \rho_f) \cdot g \cdot (1 - \varepsilon) \cdot H_{sf} = (\rho_s - \rho_f) \cdot g \cdot (1 - \varepsilon_0) \cdot H_0;$$

$$\varepsilon_0 = \frac{V_0 - V_s}{V_0} = \frac{V_0 - \frac{M}{\rho_s}}{V_0} = 1 - \frac{\rho_{gr}}{\rho_s}, \quad H = \frac{1 - \varepsilon_0}{1 - \varepsilon} \cdot H_0.$$

- Dacă nu se pierde solid din stratul fluidizat, pierderea de presiune, Δp_{sf} , [Pa], este:

$$\Delta p_{sf} = \frac{G_{sf}}{A};$$

- $G_{sf} = M \cdot g$ este greutatea materialului, $[\text{kg} \cdot \text{m/s}^2]$;

- A este secțiunea stratului, $[\text{m}^2]$.

- Pierderea de presiune în stratul fluidizat, Δp_{sf} , [Pa], se determină cu relația:

$$\Delta p_{sf} = (q_s - q_f) \cdot g \cdot (1 - \varepsilon) \cdot h = (q_s - q_f) \cdot g \cdot (1 - \varepsilon_0) \cdot h_0;$$

- h_0 și h sunt înălțimile stratului fix respectiv a stratului fluidizat, [m];

- g este accelerația gravitațională, 9,81 [m/s²].

- **Observație:** - Dacă agentul de fluidizare este un gaz, densitatea sa se poate neglija:

$$\Delta p_{sf} = q_s \cdot g \cdot (1 - \varepsilon) \cdot h = q_s \cdot g \cdot (1 - \varepsilon_0) \cdot h_0.$$

- Pierderea de presiune în sita de distribuție a fluidului se calculează cu relația:

$$\Delta p_s = \frac{0,503 \cdot w_0^2 \cdot \rho_f \cdot (1 - \varphi^2)}{C^2};$$

- φ este fracția liberă din secțiunea sitei, de obicei 0,01 ÷ 0,05;

- $w_0 = w_f / \varphi$ este viteza gazului în orificiul sitei, [m/s];

- w_f este viteza fictivă a fluidului în aparat, [m/s];

- d_0 este diametrul găurii sitei, [m];

- δ este grosimea sitei, [m];

- C este coeficientul de rezistență al sitei, [-], prelevat din tabelul de mai jos, „**v.A.**”:

d_0 / δ	0,5	1	2	3	4	5	6	7	8	9	10
C	0,85	0,82	0,78	0,74	0,70	0,69	0,68	0,66	0,64	0,62	0,60

9. - Durata medie de staționare, τ_0 , [s], a unei particule într-un strat fluidizat monodispers este:

$$\tau_0 = \frac{M}{Q_M};$$

- M este masa de material care se află în strat, [kg];

- Q_M este debitul masic de alimentare al stratului, [kg/s].

- Durata de staționare a unei particule în stratul fluidizat diferă mult de durata medie de staționare. Frația x de particule care au durata de staționare în strat egală sau mai mare decât un timp dat, τ , [s], este dată de relația:

$$x = e^{-\tau/\tau_0}.$$

- Pentru n straturi fluidizate în serie, fracția x_n de particule care au durata de staționare egală sau mai mare decât τ este:

$$x_n = \left[1 + \frac{\tau}{\tau_0} + \frac{1}{2!} \cdot \left(\frac{\tau}{\tau_0} \right)^2 + \dots + \frac{1}{(n-1)!} \cdot \left(\frac{\tau}{\tau_0} \right)^{n-1} \right] \cdot e^{-\tau/\tau_0}.$$

Calculul schimbătoarelor de căldură (pentru Fac. Biologie, secția ing. bio.)

Observații asupra punctelor algoritmului (pentru Fac. Biologie, secția ing. bio.)

1. - Se identifică materialul care se încălzește sau răcește și starea sa de agregare: solid, lichid sau gaz. Se culeg cât mai multe date despre proprietățile fizico-chimice a materialului: masă moleculară, densitate, viscozitate, tensiune superficială, căldură specifică, temperatură de tranziție de fază, căldură latentă, temperatură de descompunere etc.

- Pe baza datelor inițiale oferite de enunțul proiectului, se determină valorile necunoscute pe baza bilanțului de materiale și termic:

- pentru sisteme deschise: $M_i = M_e + M_p$, sau: $Q_{Mi} = Q_{Me} + Q_{Mp} + Q_p$;

- pentru sisteme închise: $M_i = M_e$, sau: $Q_i = Q_e + Q_p$;

- Se scrie relația generală de transport și transfer termic:

$$Q_{cedat} = Q_{transferat} = Q_{primit} + Q_{pierderi};$$

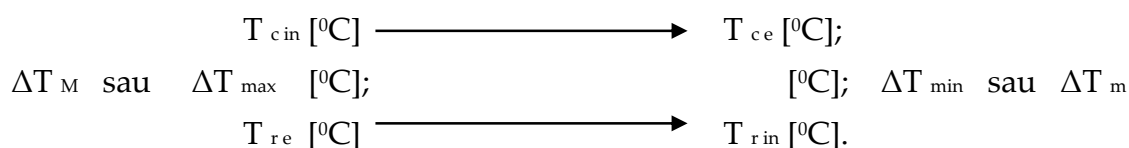
$$\text{sau: } Q_{cedat} = K \cdot A \cdot \Delta T_{med} = Q_{primit} + Q_{pierderi}.$$

- Q_{cedat} și Q_{primit} pot reprezenta căldură sensibilă: ($Q = m \cdot c_p \cdot \Delta T_c$),

sau latentă: ($Q = m \cdot r$).

2. - Se calculează forța motrice maximă din sistem și anume pentru curgerea paralelă a curenților de materialelor în contracurent, adică: $\Delta T_{med\ cc}$;

- Schema de curgere în contracurent a curenților poate fi reprezentată astfel:



iar formula de calcul este:
$$\Delta T_{med} = \frac{\Delta T_{Max} - \Delta T_{min}}{\ln \frac{\Delta T_{Max}}{\Delta T_{min}}}.$$

3. - Determinarea schemei generale de curgere a aparatului depinde de tipul de operație, de material, de temperatura de lucru, particularitățile procesului etc. Pentru aceasta e necesar un studiu din monografiile de specialitate.

4. - Calculul factorilor de corecție depind de modul de curgere a materialelor, temperaturile fluidelor și mai ales de geometria aparatului. Unele valori ale acestor coeficienți și comparațiile între ei pot fi găsite în Anexă, „v.A.”, sau în Caietul de Seminar, „v.CS”.

5. - Calculul ΔT_{med} pentru curenții încrucișați, generați de schema aparatului se face pe baza schemei generale de curgere a fluidelor. În principal: $\Delta T_{\text{med inc}} = f \cdot \Delta T_{\text{med}}$, unde: - f este un factor de corecție subunitar. Valori ale acestor coeficienți de corecție f , modul de calcul și comparațiile între ei pot fi găsite în Anexă, „v.A.”, sau în Caietul de Seminar, „v.CS”.

6. - Definitivarea geometriei aparatului și a materialelor utilizate este de obicei apanajul inginerului chimist și mecanic. Se urmărește optimizarea pierderilor de presiune și limitarea zonelor cu o curgere leneșă.

7. - Calculul coeficienților parțiali de transport termic se face conform procedurilor ingineriei chimice și mecanice. Unele aspecte sunt prezentate în Anexă, „v.A.” sau „v.CS”.

8. - Calculul rezistenței pereților despărțitori ai fluidelor se face cu relația:

$$r_p = \frac{\delta_p}{\lambda_p};$$

unde: - δ_p este grosimea peretelui, [m];

- λ_p este conductivitatea termică a peretelui, [W/m·°K].

9. - Estimarea rezistenței depunerilor pe pereți se face după tipul materialelor procesate, valori ale acestor depuneri sunt prezentate în Anexă, „v.A.”.

10. - Calculul coeficientului total de transfer termic se face după relațiile de calcul consacrate sau din diagrama prezentată în Anexă, „v.A.”.

11. - Suprafața de transfer termic, (aria schimbătorului), A , [m²], rezultă din relația de bază:

$$Q_{\text{cedat}} = K \cdot A \cdot \Delta T_{\text{med}} = Q_{\text{primit}} + Q_{\text{pierderi}},$$

$$A = Q / (K \cdot \Delta T_{\text{med}}).$$

12. Standardizarea dimensiunilor principale se execută doar pentru aparatura nou proiectată și care urmează a fi produsă „în serie”.

13. Calculul hidrodinamic al pierderilor de presiune se face dacă aparatul nu este standardizat, cele prezentate în cataloage au notate această mărime, Δp_T , [Pa].;

14. Calculul de rezistență mecanică se face dacă aparatul nu este standardizat.

Calculul izolațiilor termice

Observații asupra punctelor algoritmului

1. - Identificarea problemei generale a izolației: pentru pierderi de căldură impuse, grosime minimă pentru izolație, preț convenabil, asigurarea unei temperaturi date la exteriorul aparatului, evitarea condensării apei pe izolațiile frigorifice, evitarea congelării lichidului într-un timp dat etc.

2. - Determinarea parametrilor constanți și fixați de procesul tehnologic: diametre, lungimi, arii, temperaturi interioare și exterioare, coeficienți parțiali sau totali de transfer etc.

3. - Materialul izolant se poate alege utilizând calculele preliminare de la punctele 1. și 2. „v.A.”. Se poate efectua un calcul de optimizare al alegerii materialului de izolație reprezentat tehnic de conductivitatea sa termică, λ , [W/m·°K], Pentru 1 [m] de conductă ce este operată în regim staționar, diametrul critic, minim exterior, al izolației, se poate determina cu relația:

$$d_{e\text{ cr}} = \frac{2 \cdot \lambda_{iz}}{\alpha_e}.$$

4. - Coeficienții parțiali de transport termic se calculează cu relațiile specifice de calcul, din date experimentale sau practice și din estimări, „v.A.”.

5. - Grosimea izolației principale se calculează în funcție de informațiile de la punctul 1. al algoritmului.

6. - Alegerea materialului de protecție al izolației principale ca tip de material, preț, manoperă la montaj, durată de funcționare și rezistență la intemperii ține tot de un calcul de optimizare.

7. - Datorită normativelor de securitate a muncii și ale standardelor impuse de protecția împotriva incendiilor, materialele de izolație folosite trebuie să fie standardizate.

8. - Se impun precizarea detaliilor tehnologice de fixare și montaj a materialului de izolație, de modalitate de protecție, în acord cu prevederile luate în vedere în timpul calculului termic.

Calculul operației de vaporizarizare (pentru Fac. Biologie, secția ing. bio.)

Observații asupra punctelor algoritmului (pentru Fac. Biologie, secția ing. bio.)

1. - Algoritmul se aplică soluțiilor dintre un solut nevolatil și un solvent, de obicei apa. Apa are cea mai mare căldură specifică, [J/kg°K] și latentă, [J/kg] dintre toate lichidele.

- **Observație:** - algoritmul prezentat este pentru UN SINGUR VAPORIZATOR, al cărui schemă de funcționare este prezentată în Anexă, „v.A.”.

- instalațiile de vaporizare industriale sunt dedicate unui singur tip de soluție sau produs. Aceste instalații sunt construite cu efect multiplu, pentru eficientizarea utilizării energiei termice.

2. - Din specificul procesului tehnologic se cunosc o serie numeroasă de parametri funcționali ai instalației și ai materialelor și anume:

- presiunea în camera de vapori, [ata];
- înălțimea stratului de lichid care fierbe, [m];
- temperatura soluțiilor la intrare, T_{intr} și ieșire, $T_{\text{eșir}}$, [$^{\circ}\text{C}$];
- concentrațiile soluțiilor atât la intrare cât și la ieșire, [kg/kg];
- densitățile, [kg/m³];
- viscozitățile, [Pa·s];
- căldurile specifice, [J/kg⁰K];
- tensiunile superficiale, [N/m];
- conductivitățile termice, [W/m⁰K];
- debitele soluțiilor, [kg/h];
- proprietățile agentului termic de încălzire, (abur, [$^{\circ}\text{C}$] sau apă caldă [$^{\circ}\text{C}$] și răcire, (apă de turn), [$^{\circ}\text{C}$];
- h_v , este entalpia specifică a vaporilor, [J/kg];
- h_l , este entalpia specifică a lichidului, [J/kg].

3. - Cantitatea de solut rămâne aceeași pe toată durata operației, deci:

- Bilanțul total: $M_d = M_c + W$,

- Bilanțul parțial pentru solut: $M_d \cdot c_d = M_c \cdot c_c$;

unde: - M_d , este debitul sau masa de soluție diluată, [kg], [kg/s];

- M_c , este debitul sau masa de soluție concentrată, [kg], [kg/s];

- $M_{\text{ab pr}}$, este debitul sau masa de abur de încălzire, (de apă de încălzire), [kg], [kg/s];

- W , este debitul sau masa de vapori de solvent eliminată din soluția diluată pentru a se concentra de la c_d la c_c , [kg], [kg/s];

- c_d este concentrația soluției diluate, [kg/kg], [%], [kg/m³];

- c_c este este concentrația soluției concentrate, [kg/kg], [%], [kg/m³]

- Cantitatea de solvent eliminată: $W = M_d \cdot [1 - (c_d/c_c)]$;

- Concentrația finală a soluției: $c_c = (M_d \cdot c_d)/(M_d - M_c)$.

4. - Bilanțul termic în forma cea mai generală este:

$$Q_{\text{intrată}} = Q_{\text{transferată}} = Q_{\text{ieșită}} + Q_{\text{pierderi}},$$

sau detaliind pentru fiecare flux de materiale intrate, transferate și ieșite din aparat, precum și a celei pierdute, vezi Anexa, „v.A.”, se obține:

- a) $Q_{\text{intrată}} = Q_{\text{ag termic}} + Q_{\text{sol dil}};$

$$Q_{\text{ag termic}} = M_{\text{ab pr}} \cdot h_{v \text{ ab pr}}; \quad Q_{\text{sol dil}} = M_d \cdot c_p \cdot T_{\text{intr}};$$

- b) $Q_{\text{transferată}} = K \cdot A_{\text{inc}} \cdot \Delta T_{\text{med}}$

- c) $Q_{\text{ieșită}} = Q_{\text{condens}} + Q_{\text{sol conc}} + Q_{\text{vap sec}} ;$

$$Q_{\text{condens}} = M_{\text{ab pr}} \cdot h_{\text{l ab pr}} ; \quad Q_{\text{sol conc}} = M_{\text{c}} \cdot c_{\text{p conc}} \cdot T_{\text{eșir}} ; \quad Q_{\text{vap sec}} = W \cdot h_{\text{v w}} ;$$

- d) $Q_{\text{pierderi}} = \alpha \cdot A_{\text{ext}} \cdot \Delta T_{\text{ext}} ;$

- din aceste relații se poate calcula:

- fie debitul agentului termic de încălzire, (abur), $M_{\text{ab pr}}$, [kg/h]:

$$M_{\text{ab pr}} = D_d \cdot c_{\text{p d}} \cdot \frac{T_{\text{esit}} - T_{\text{intr}}}{h_{\text{v ab pr}} - h_{\text{l ab pr}}} + W \cdot \frac{h_{\text{v w}} - c_{\text{p a}} \cdot T_{\text{esit}}}{h_{\text{v ab pr}} - h_{\text{l ab pr}}} ,$$

- fie debitul aburul secundar, W , [kg/h]:

$$W = M_{\text{ab pr}} \cdot \frac{h_{\text{v ab pr}} - h_{\text{l ab pr}}}{h_{\text{v w}} - c_{\text{p a}} \cdot T_{\text{esit}}} + M_d \cdot c_{\text{p d}} \cdot \frac{T_{\text{intr}} - T_{\text{esit}}}{h_{\text{v w}} - c_{\text{p a}} \cdot T_{\text{esit}}}$$

5. - Temperatura de fierbere a soluțiilor la care solutul este nevolatil se determină cu relația:

$$T_{\text{fierbere}} = T_0 + \Delta T_{\text{rh}} + \Delta T_{\text{eh}} + \Delta T_{\text{dep}},$$

unde: - T_0 este temperatura de fierbere a solventului pur, [°K];

- ΔT_{rh} este creșterea temperaturii de fierbere datorate rezistențelor hidraulice, [°K];

- ΔT_{eh} este creșterea temperaturii de fierbere datorată efectului hidrostatic, [°K];

- ΔT_{dep} este creșterea temperaturii de fierbere datorată concentrării solutului, [°K];

6. - Forța motrice la vaporizare este diferența dintre temperatura agentului de încălzire, (T_{abur} , $T = \text{const.}$) și temperatura de fierbere a soluției în vaporizator, ($T_{\text{fierbere}} = \text{const.}$):

$$\Delta T_{\text{util}} = T_{\text{ab inc}} - T_{\text{fierb sol}} .$$

7. - Relația lui Babo permite calculul temperaturii de fierbere a unei soluții în alte condiții de presiune cât una de referință, de obicei presiunea atmosferică:

$$\left(\frac{p}{p_0} \right)_T = \text{const.},$$

unde: - p este presiunea de vapori a soluției, [ata];

- p_0 este presiunea de vapori a solventului pur care fierbe la aceeași temperatură, [ata].

8. - Necesarul de apă de răcire a vaporilor secundari generați de soluția diluată și amestecați cu apa de răcire în condensatorul barometric, se determină din relația de bilanț termic la amestecarea directă a materialelor în condensatorul barometric:

$$Q_{\text{intrată}} = Q_{\text{ieșită}} ;$$

$$W \cdot r_w + W \cdot c_{\text{p apă}} \cdot (T_{\text{v w}} - T_{\text{apă r final}}) = M_{\text{apă răcire}} \cdot c_{\text{p apă}} \cdot (T_{\text{apă răcire intrare}} - T_{\text{apă r final}});$$

9. - Calculul suprafeței de încălzire a camerei de fierbere:

$$Q_{\text{intrată}} = Q_{\text{transferată}}$$

$$Q_{\text{intrată}} = Q_{\text{ag termic}} + Q_{\text{sol dil}} ;$$

$$Q_{\text{ag termic}} = M_{\text{ab pr}} \cdot h_{\text{v ab pr}} ; \quad Q_{\text{sol dil}} = M_d \cdot c_{\text{p dil}} \cdot T_{\text{intr}} ;$$

$$Q_{\text{transferată}} = K \cdot A_{\text{inc}} \cdot \Delta T_{\text{util}} ;$$

10. - Pierderile de căldură cu exteriorul se efectuează cu relația consacrată:

$$Q_{\text{pierderi}} = \alpha_{\text{ext}} \cdot A_{\text{ext}} \cdot \Delta T_{\text{ext.}}$$

vezi și Anexa, „v.A.” și Algoritmul de calcul al izolațiilor.

Calculul operației de extracție (pentru Fac. Biologie, secția ing. bio.)

Observații asupra punctelor algoritmului (pentru Fac. Biologie, secția ing. bio.)

1. Operația de extracție a compușilor din diverse materiale depinde de tipul matricei:

a) - extracția solid - lichid;

b) - extracția lichid - lichid.

- Pentru ambele situații, o etapă fundamentală a extracției este trasarea curbei de echilibru a solutului între solvent și matrice. Curba de echilibru se determină în mod specific pentru cele două situații.

a) - Extracția solid - lichid este specifică recuperării materialelor biologice active din resurse naturale utilizând diverse proceduri: leaching, washing, elution, percolare, (lixiviere), macerare, infuzare, decoctie, diacolare, evacolare etc. Drept caracteristică pentru acest tip de extracție, curba de echilibru este prima diagonală în reprezentare carteziană.

b) - Extracția lichid - lichid este specifică extracției și purificării compușilor biologici activi sau metaboliților din mediile de cultură sau din concentratele acestora.

b. 1.) - Pentru solvenții practic insolubili în materia primă, curba de echilibru este redată de relația Nernst-Silov:
$$k_N = \frac{\text{conc solut in solvent}}{\text{conc solut in mat. prima}},$$

b. 2.) - Pentru solvenții parțial solubili în materia primă lichidă, curba de echilibru este determinată numai experimental, rezultând diagrama de echilibru reprezentată în triunghiul lui Gibbs.

- **Observație:** aici se va discuta numai despre extracția solid - lichid.

2. - Pentru extracția solid-lichid operațiile din lanțul tehnologic sunt următoarele:

α.) - pregătirea m.p., (mărunțirea solidului, sortarea sa pe sorturi sau monosort);

β.) - contactarea cu solventul, (lichidul), sub agitare lentă un timp determinat anterior;

γ.) - separarea solid - lichid, prin decantare, filtrare sau centrifugare;

δ.) - repetarea contactării până la o concentrație a m.p. devenită neeconomică;

ε.) - eliminarea deșeurilor solid și prelucrarea extractului.

3. - Bilanțurile de materiale pot indica modul de calcul al operației: matematic sau grafic.

Dacă intervine și componenta termică, de exemplu pentru infuzare sau decocție, trebuie efectuat calculul termic, bilanț termic, timpi de încălzire, menținere, răcire etc. în mod similar cu procesul de sterilizare, încălzire, menținere și răcire, vezi algoritmi respectivi.

- Pentru contactarea simplă solid - lichid, relația de calcul este:

$$m.p. \cdot (x_i - x_f) = s \cdot (y_i - y_f);$$

$$\frac{m.p.}{s_e} = \frac{y_i - y_f}{x_i - x_f} = \operatorname{tg} \alpha.$$

În relație:

- m.p. este cantitatea de materie primă, [kg];
- s este cantitatea de solvent, [kg];
- x_i și x_f este concentrația solutului în materia primă în momentul inițial și final al operației, [kg/kg];
- y_i și y_f este concentrația solutului în extract la începutul și sfârșitul operației, [kg/kg];
- $\operatorname{tg} \alpha$ este unghiul față de abscisă a dreptei de operare, [-].

- **Observații:** - $y_i < y_f$, adică valoarea concentrației solutului în extract la începutul operației este mai mică decât la sfârșitul ei;

- $y_i = 0$ arată că solventul este pur;
- $y_i \neq 0$ arată că solventul este recirculat, adică mai conține solut;
- dacă timpul de contact este suficient de lung, și se atinge echilibrul fizic, se poate determina x_{ech} și y_{ech} la intersecția primei diagonale, (dreapta de echilibru), cu dreapta de operare, (linia ce unește x_i sub unghiul α și prima diagonală);
- cum $y_i < y_f$, $\operatorname{tg} \alpha$ este negativ, adică dreapta de operare e înclinată spre stânga.
- dacă materia primă este „uscată”, conservată, bilanțul de materiale se exprimă astfel:

$$\text{- inițial:} \quad m.p._{usc\ in} + s_{in} = M_T;$$

$$\text{- după extracție:} \quad m.p._{umed\ fin} + (s_{in} - s_{ads}) = M_T;$$

$$m.p._{usc\ in} + s_{in} = m.p._{umed\ fin} + (s_{in} - s_{ads});$$

$$m.p._{usc\ in} + s_{ads} = m.p._{umed\ fin};$$

- deci prin măsurare directă a cantităților de m.p. uscată, m.p. umedă și a solventului, ceea ce se procedează uzual, așa încât se determină cantitatea de solvent reținută de m.p.:

- dacă m.p. este „proaspătă”, cantitățile de lichid sunt aproximativ aceleași la intrare și ieșire;

- storcerea materialului solid umed, fie prin presare, filtrare sau centrifugare, conduce la aceeași umiditate a solidului între treptele succesive de extracție;

- Pentru extracția repetată, se repetă procedura de extracție cu m.p. ieșită din preapta anterioară. Bilanțul de materiale se poate scrie:

$$\text{- treapta I: } m.p. \cdot (x_{iI} - x_{fI}) = s_{I} \cdot (y_{iI} - y_{fI});$$

$$\text{- treapta II: } m.p. \cdot (x_{fI} - x_{fII}) = s_{II} \cdot (y_{iII} - y_{fII});$$

$$\text{- treapta III: } m.p. \cdot (x_{fII} - x_{fIII}) = s_{III} \cdot (y_{iIII} - y_{fIII}); \text{ etc.,}$$

unde: - s_I, s_{II}, s_{III} etc., sunt cantitățile de solvent aduse în contact cu materia primă, [kg], deci pantele dreptelor de operare pot fi paralele, dacă solventul este în aceleași cantități, sau diferite;

- y_I, y_{II}, y_{III} etc., sunt concentrațiile solventului de contact. Este clar că în practică, pentru primele trepte e preferat solventul cu urme de solut din cauza costurilor mai mici și abea în ultima treaptă, cea de „spălare” se folosește solvent pur, „curat”.

- extractele din toate treptele se colectează împreună și se trimit la recuperarea solutului și a solventului.

4. - Determinarea cantității minime, optime și de lucru, mai ales la extracția repetată, se face prin tr-un calcul de optimizare a operației.

5. - Numărului de trepte de contact, de repetări a extracției, se face în două moduri:

- fie grafic, trasând o verticală pe abscisă din punctul de echilibru, (finalul treptei), care este și concentrația m.p. inițială în treapta următoare și repetând procedura până când se depășește concentrația finală acceptabilă pentru procesul tehnologic respectiv. Numărul de drepte de operare este și numărul de trepte de contact.

- matematic, prin calcul, reluând calculul pentru extracția repetată până când se depășește concentrația finală acceptabilă pentru procesul tehnologic respectiv.

6. - Timpului de epuizare a unei particule solide înconjurată de suficient solvent se poate determina cu relația, „v.A.”:

$$\lg \frac{x}{x_i} = \lg a - 0,434 \cdot b \cdot \frac{D_{1,2} \cdot \tau}{l^2},$$

unde: - x este concentrația medie a extractului;

- x_i este concentrația inițială în m.p.;

- $D_{1,2}$ este coeficientul de difuziune a solutului, [m²/s];

- $a = (8/\pi)$; $b = \pi^2$; pentru placă;

- $a = (6/\pi^2)$; $b = \pi^2$; pentru sferă;

- $a = 0,694$; $b = 5,76$; pentru cilindrii prin aria laterală.

7. - Retenția, reținerea statică de lichid sau saturația reziduală, ε_r , înseamnă cantitatea de lichid reținută de particulele solide după înecarea completă cu lichid a stratului de particule solide, când $\varepsilon_r = 1$ și apoi scurgerea liberă a lichidului din strat.

- Pe înălțimea H a stratului granular, [m], saturația este mai mare în partea de jos, atingând saturația reziduală limită, ε_{r0} . Înălțimea de drenaj, h_d , [m], este porțiunea din partea de jos al stratului unde retenția statică se modifică brusc, „v.A.”:

$$\varepsilon_m = \frac{(H - h_d)}{H} \cdot \varepsilon_{r0} + \frac{h_d}{H}, \quad K = \frac{1}{150} \cdot \frac{d_p^2 \cdot \varepsilon^3 \cdot g}{(1 - \varepsilon)^2}, \quad h_d = \frac{\left(\frac{0,275}{g}\right)}{\left(\frac{K}{g}\right)^{0,5} \cdot \left(\frac{\rho_l}{\sigma}\right)},$$

$$\varepsilon_{r0} = 0,075 \quad \text{pentru} \quad \frac{K \cdot \rho_l}{\sigma} \leq 0,02; \quad \varepsilon_{r0} = \frac{0,0018}{\frac{K \cdot \rho_l}{\sigma}} \quad \text{pentru} \quad \frac{K \cdot \rho_l}{\sigma} \leq 0,02,$$

- g - este accelerația gravitațională, 9,81 [m/s²];

- σ - este tensiunea superficială a lichidului, [N/m]. p. 144 img med.

- Se remarcă faptul că o particulă fină are un timp de epuizare scurt, dar stratul reține o cantitate mare de lichid.

Calculul pentru adsorbere și dispozitive schimbătoare de ioni (pentru Fac. Biologie, secția ing. bio.)

Observații asupra punctelor algoritmului (pentru Fac. Biologie, secția ing. bio.)

1. - Pentru capacitățile mici de producție și tip discontinuu de generare a materiei prime, operarea discontinuă este considerată varianta cea mai bună. De asemenea se pretează foarte bine proceselor biotehnologice sau procesării materialelor de origine vegetală și animală. Acest tip de proces este discutat în continuare.

- Pentru capacitățile mari de producție din industriile extractive, siderurgice, coxo-chimice, chimice sau de procesare a chimicalelor, unde investițiile inițiale și cele de operare sunt mari și necesită automatizare înaltă, procedurile continue sau semicontinue oferă mai multe avantaje.

2. - Adsorbantul sau schimbătorul de ioni, **S.I.**, trebuie să aibă afinitate ridicată fie numai pentru materialele nedorite, în vederea eliminării lor, fie pentru materialul util, pentru ca acesta să fie recuperat cu randament cât mai mare.

- Suprafață specifică, s_{sp} , [m²/kg] mare și capacitatea ridicată de adsorbție, c_a , [kg/kg] sau cea de schimb ionic, c_{sl} , [mval/g] sunt benefice separării.

3. - Mărimile caracteristice definite mai sus se determină doar experimental sau din date de literatură prelucrate prin calcul. Tot experimental se găsește viteza optimă de filtrație sau timpul de contact necesar.

4. - Pentru operarea discontinuă, când se tratează cantitatea M_f de fluid, [kg], ce conține un component nedorit ce trebuie eliminat între concentrațiile impuse y_i și y_f , [kg/kg], bilanțul de materiale se poate scrie:

$$M_f(y_i - y_f) = M_s(x_f - x_i).$$

- Din ecuație se poate determina cantitatea minimă de solid M_s , [kg], cu capacitatea de adsorbție dată, „v.A.”, ce trebuie adăugată, de obicei cu un mic exces, de 5 ÷ 10 [%], pentru a aduce masa de fluid M_f de la concentrația inițială la cea finală în adsorbat.

- Efectul termic al adsorbției și schimbului ionic este în general neglijabil, așa încât de obicei nu se ia în considerare.

- Un efect termic ridicat îl generează vaporii de substanțe organice reținute pe cărbune activ, „v.A.”. În acest caz, stratul de granule de cărbune trebuie răcit pentru a menține capacitatea de adsorbție a cărbunelui, iar după terminarea operației, prin încălzire, vaporii de compus organic se degajă și pot fi recuperați.

5. - Timpul de proces sau de contactare se poate determina din calculul de transfer de masă pentru regimul nestaționar, (discontinuu), de adsorbție sau de schimb ionic:

$$M_{ads} = K_{ads} \cdot S_{sp} \cdot \Delta C_{med} \cdot \tau.$$

Calculul operației de cristalizare

Observații asupra punctelor algoritmului (pentru Fac. Biologie, secția ing. bio.)

1. - Din punct de vedere operațional sunt aplicabile toate cele trei proceduri de lucru: discontinuă, semicontinuă sau continuă. Fiecare mod de operare prezintă caracteristici specifice de calcul.

2. - Modalitatea de cristalizare depinde de caracteristicile fizico-chimice a substanței:

- a) **izohidrică**, suprasaturarea se obține prin răcirea soluției, cantitatea de cristale fiind diferența dintre concentrația de la temperatura mai mare față de temperatura finală;

- b) **izotermă**, suprasaturarea se obține prin evaporarea unei părți a solventului, cantitatea de cristale fiind diferența dintre concentrația inițială și finală;

- c) **prin congelare**, suprasaturarea se obține prin înghețarea unei părți a solventului, cantitatea de cristale fiind diferența dintre concentrația inițială și finală, calculată prin intermediul cantității de solvent congelat eliminată;

- d) **prin reacții chimice**, cristalele apar prin reacții de precipitare a solutului cu un reactiv chimic judicious ales. Față de cantitatea stoichiometrică necesară, de obicei se ia un exces de 1 ÷ 3 [%].

Observații:

- trebuie cunoscută **curba de solubilitate**, concentrația solutului, [%] = f(temperatură), [°C].
- trebuie cunoscută forma de cristalizare: anhidră, M_M sau cristalohidrat, $M_M \cdot nH_2O$;
- trebuie evaluată termostabilitatea solutului: termostabil sau termolabil și între ce limite de temperatură.

3. - Bilanțul total de materiale este caracteristic modalității de cristalizare:

$$M_i = M_f + M_{cr} + M_d,$$

în care: M_i , M_f , M_{cr} sunt cantitățile de soluție inițială, [kg], finală, [kg] și de cristale, [kg], M_d este masa de solvent care se îndepărtează prin evaporare, vaporizare sau congelare, [kg].

- Bilanțul parțial pentru solut se poate scrie:

$$M_i \cdot c_i = M_f \cdot c_f + M_{cr} \cdot c_{cr},$$

în care: c_i , și c_f sunt concentrațiile soluției inițiale și finale, [%],

- c_{cr} este raportul dintre masa molară a produsului anhidru, M_0 , [kg/kmol] și al cristalohidratului, M_{0h} , [kg/kmol]: $c_{cr} = M_0 / M_{0h}$,

- dacă sarea cristalizată este anhidră, $c_{cr} = 1$,

- cantitatea de cristale obținută este:
$$M_{cr} = \frac{M_i \cdot (c_i - c_f) + M_d \cdot c_f}{(c_{cr} - c_f)}$$

- în cazul cristalizării izohidrice, (prin răcire), $M_d = 0$, așa încât relația devine:

$$M_{cr} = \frac{M_i \cdot (c_i - c_f)}{(c_{cr} - c_f)}$$

4. a) - Bilanțul termic general se poate scrie sub forma generală:

$$M_i \cdot C_{pi} \cdot T_i + M_{cr} \cdot q_{cr} + Q_{inc} = M_f \cdot C_{pf} \cdot T_f + M_{cr} \cdot C_{p cr} \cdot T_f + M_d \cdot i + Q_r + Q_p,$$

în care: - Q_{inc} este cantitatea de căldură necesară pentru realizarea cristalizării, [J],

- Q_r este căldura preluată de agentul de răcire, [J],

- Q_p este căldura pierută în mediul înconjurător, [J],

- q_{cr} este căldura de cristalizare, [J],

- i este entalpia vaporilor de dizolvant la temperatura de vaporizare, [J].

b) - În cazul cristalizării izohidrice, (prin răcire), $Q_{inc} = 0$ și din relație se calculează cantitatea de agent de răcire.

- c)** - În lipsa vaporizării, (evaporării), solventului, $M_d \cdot i = 0$, dar și $Q_p = 0$.

d) - Pentru cristalizarea izotermă, $Q_r = 0$ și din relație se determină cantitatea de căldură dată pentru realizarea cristalizării.

e) - Pentru cristalizarea în vid $Q_r = 0$ și $Q_{inc} = 0$, iar din ecuația de bilanț termic și din cele de bilanț total de material și bilanț parțial pentru solut se determină cantitatea de solvent îndepărtată, apoi se poate calcula cantitatea de cristale și necesarul termic.

5. - Randamentul cristalizării, η , [%], este: $\eta = (C/C_0)$, [%];

în care: - C este cantitatea de cristale rezultată, [kg];

- C_0 este cantitatea maxim posibilă de cristale ce ar rezulta dacă concentrația soluției finale este concentrația de saturație la temperatura finală, [kg].

- C_0 se determină dintr-o relație de bilanț de forma:

$S_0 + A_0 = (C_0/R) + C_0[1 - (1/R)] + E + [(A_0 - E - C_0[1 + (1/R)])] + (1/100) \cdot [(A_0 - E - C_0[1 + (1/R)])]$,

în care: - S_0 este solutul anhidru în soluția inițială, [kg];

- A_0 este solventul din soluția inițială, [kg];

- R este raportul dintre masa molară a cristalohidratului și masa molară a sării anhidre, [-];

- E este cantitatea de solvent evaporat în timpul evaporării, [kg];

- s este concentrația de saturație, [%].

Din această relație rezultă C_0 , [kg]:

$$C_0 = R \cdot \frac{100 \cdot S_0 - s \cdot (A_0 - E)}{100 - s \cdot (R - 1)}$$

Calcul absorberelor (pentru Fac. Biologie, secția ing. bio.)

Observații asupra punctelor algoritmului (pentru Fac. Biologie, secția ing. bio.)

1. - Pentru studenții Fac. Biologie, secția ing. bio., am adoptat o variantă prescurtată și anume absorbția chimică, ireversibilă, a gazului. Varianta are ca justificare faptul că absolvenții acestei secții pot activa și în domeniul protecției mediului și epurării noxelor industriale.

2. - Pentru acest pas al algoritmului, „v.A.”.

3. - Limitele admisibile ale diverselor noxe deversate în atmosferă sunt prezentate în Anexă, „v.A.”.

4. - Calculul stoichiometric de denocivizant și suplimentarea sa cu $1 \div 3$ [%].

5. - Tehnologic este necesară cunoașterea cantităților orare, zilnice, săptămânale sau lunare de denocivizant, precum și cea anuală, pentru a se efectua bilanțurile financiare.

La calculul absorberelor se pornește de la diagrama de echilibru gaz - lichid, iar pe lângă relațiile generale de bilanț de materiale, termic și de transfer, se ține seama de faptul că de obicei se cunosc o serie de parametri specifici și anume: debitul și concentrația de gaze, concentrația impusă la ieșire a gazului sau concentrația la intrare a lichidului. De obicei se notează cu G debitul de gaz, [kg/h], [m³/h], [kmol/h], cu L debitul de lichid, [Kg/h], [m³/h], [Kmol/h], cu Y_i concentrația la intrare a gazului, raportul molar, [kmol gaz/kmol gaz inert], cu Y_f concentrația finală a gazului, raportul molar, [kmol gaz/kmol gaz inert], cu L debitul de lichid, [kg/h], [m³/h], [kmol/h], cu X_i concentrația la intrare a lichidului, raportul molar, [kmol gaz/kmol lichid], cu X_f concentrația finală a lichidului, raportul molar, [kmol gaz/kmol lichid]. Bilanțul de materiale pentru absorbție se poate exprima într-un mod simplu și comod dacă în calcule dacă se utilizează rapoartele molare a solutului în gaz, Y și lichid X :

$$G \cdot (Y_i - Y_f) = L \cdot (X_f - X_i) \quad \text{sau} \quad \frac{L}{G} = \frac{Y_i - Y_f}{X_f - X_i}.$$

Alegerea și calculul uscătoarelor (pentru Fac. Biologie, secția ing. bio.)**Observații asupra algoritmului (pentru Fac. Biologie, secția ing. bio.)**

1. - Informațiile asupra materialului supus uscării trebuie să arate: dimensiunea particulelor, textura materialului, higroscopicitatea, lipiciozitatea, gradul final de umiditate, abraziivitatea solidului, cantitatea de materie primă etc.

2. - Problema este deosebit de complexă datorită multitudinii de parametri implicați. O modalitate de abordare poate începe de la categoria și construcția uscătoarelor folosite, cantitatea de materie primă, ciclurile de fabricație, gradul de automatizare, costurile totale pe operație, destinația finală a produsului finit, industrială, casnică, farmaceutică etc.

Uscător tip	Versatilitate	Similitudine	Uscător tip	Versatilitate	Similitudine
dulap, (cu tăvi)	mare	f. bună	cu plăci	mare	f. bună
str. fluidizat	mare	f. bună	rotativ	mică	proastă
pulverizare	mică	proastă	instant	mică	proastă

USCAREA

Forma de prezentare

turtă	soluție
granule mici	pastă
filme	suspensie
cu bandă, rotativ	nămol

timp uscare

lung	scurt
bandă, tăvi, plăci, rotativ	pulverizare, instant, strat fluidizat
	atomizare, valțuri

rezistența la abraziune

da	nu	da	nu: atomizare, pulverizare
cantitate mare		termostabil	
nu: tăvi, plăci, bandă	da: rotativ	da	nu:
		str. fluidizat	instant, valțuri

3. - Modalitatea de uscare se referă la tipul și modul de transmitere a energiei din exterior pentru vaporizarea umidității. Aceste căi sunt identice cu mecanismele de transport și transfer:

a) - conductiv, (uscător cu plăci, cu valțuri, în film etc. ...);

b) - convectiv: (uscător cu circulație naturală, cu circulație forțată, cu recirculare, cu tăvi, dulap, rotativ, cu bandă, cu falduri, atomizoare, cu pulverizare, cu jet, pneumatice etc.);

c) - radiant: (I.R., microunde, unde radio f.f. scurte, ultrasunete, curenți de înaltă frecvență, dielectric, oscilații și vibrații etc.);

d) alte metode: (prin sublimare, prin înghețare, prin răcirea gazelor, prin comprimarea gazelor, cu substanțe higroscopice, prin adsorbție, uscare osmotică, metode combinate etc. ...).

4. - Uscătorul tip „dulap” sau uscătorul „cu tăvi” operează în condiții constante de intrare a aerului în aparat. Pentru calculul aparatului și operației de uscare, precum și ridicarea la scară a sistemului este absolut necesară determinarea experimentală a coeficienților de transport și transfer a vaporilor de apă de la material la aerul înconjurător. Detaliile procesului experimental, modalitatea de calcul, modul de determinare al coeficienților de transport și transfer sunt date în partea dedicată experimentelor și calculelor specifice acestora, „**v.II**”, paragraful „**Uscarea**”.

5. - Pentru atomizare sau unele tipuri de uscătoare prin pulverizare, se poate aplica următoarea secvență de calcul:

- Timpul de parcurgere a razei atomizorului se poate calcula cu relația [Schweitzer, f; editor Handboock of separation techniques for Chemical Engineers; 2d; mc Graw Hill, N.Y., 1988. p. 872]:

$$\tau = \frac{18 \cdot \eta_{aer} \cdot \ln(r_2/r_1)}{d_p^2 \cdot \omega^2 \cdot (\rho_p - \rho_{aer})};$$

unde: - d_p este diametrul particulei, [m]; - ω este viteza unghiulară, [s⁻¹];

- r_1, r_2 sunt raza discului și raza finală a traiectoriei, [m].

- Distanța de pulverizare se poate determina cu relația:

$$R_{max} = 7,2 \cdot \left(\frac{D_{ap}}{d_{disc}} \right)^{0,21} \cdot \left(\frac{Q_{M a \lim}}{n^{0,16}} \right)^{0,2}$$

unde: - n este turația discului, [s⁻¹];

- Diametrul particulelor generate de un pulverizator cu disc cu N dinți, [-], cu înălțimea h , [m]:

$$d_p = 0,37 \cdot r_{disc} \cdot \left(\frac{M_p}{\rho \cdot n \cdot r_{disc}^2} \right)^{0,6} \cdot \left(\frac{\eta}{M_p} \right)^{0,2} \cdot \left(\frac{\sigma \cdot \rho \cdot h \cdot N}{M_p} \right)^{0,1}$$

- Diametrul particulelor generate în cazul pulverizării cu aer:

$$d_p = \frac{1410}{w_{aer}} \cdot \left(\frac{\sigma}{\rho_l} \right)^{0,4} + 191 \cdot \left[\frac{\eta_l}{(\sigma \cdot \rho_l)^{0,5}} \right]^{0,45} \cdot \left(\frac{Q_{Vlich}}{Q_{Vaer}} \cdot 10^3 \right)^{0,8};$$

unde: - η este viscozitatea în [cP]; - σ este tensiunea superficială în [dyn/cm];

- w_{aer} este în [m/s].

- Puterea de acționare a discului rotitor, [kW]:

$$P = \frac{Q_M \cdot (\omega \cdot r)^2}{g}$$

- Timpul de uscare se poate estima cu:

$$\tau = \frac{r \cdot u \cdot \rho_l \cdot d_p^2}{12 \cdot k_g \cdot (T_a - T_s)};$$

unde: - u este umiditatea materialului, [kg/kg];

- k_g este coeficientul de transfer prin filmul de gaz, [W/m^{2.0}K];

- T_a, T_s sunt temperaturile aerului, (gazului), respectiv a solidului, [°C].

$$\tau = \frac{r \cdot \rho_l}{2 \cdot k_g \cdot \Delta T} \cdot \int_{d_1}^{d_2} \frac{dr}{2 + 0,6 \cdot Re^{0,5} \cdot Pr^{0,33}};$$

- k_g se poate determina cu relația: $Nu = 2 + 0,6 \cdot Re^{0,5} \cdot Pr^{0,33}$.

- **Observație:** - Alte date privind pulverizarea lichidelor, „**v.A.**”.

6. - Uscarea osmotică este caracteristică materialelor vegetale, aplicarea ei evitând brunarea enzimatică ce apare întotdeauna la uscarea produselor naturale de tip vegetal. Principiul ei constă în introducerea materialului vegetal pregătit corespunzător într-o soluție concentrată. Apa din materialul proaspăt iese din solid prin difuziune înspre soluția concentrată, diluând-o. Timpul de uscare este cel de difuziune, vezi capitolul Extracția, iar recuperarea și reutilizarea soluției se face prin scurgere, filtrare și reconcentrare, vezi capitolele Filtrare și Vaporizare.

7. - Uscarea prin liofilizare este de fapt o sublimare în vid înaintat a apei din material. Este o procedură de lungă durată și deocamdată aplicabilă doar cantităților mici de material umed. Operația este favorizată dacă solventul este foarte volatil sau are punct de congelare imediat sub 0 [°C].

FASCICULA III. Lucrări de laborator

(cu exemplificări pentru Fac. Biologie, secția ing. bio.)

1. DETERMINAREA REGIMULUI DE CURGERE ȘI A COEFICIENTULUI DE FRECARĂ ÎN CONDUCTE DREPTE

I. CONSIDERAȚII TEORETICE

Deplasarea unui fluid printr-o conductă este influențată de diverși parametri, dintre care cei mai importanți sunt: dimensiunile geometrice ale conductei, debitul, proprietățile fluidului, gradul de prelucrare, (rugozitatea), a conductei. Peretele conductei influențează și distribuția vitezelor pe secțiunea de curgere, viteza la perete fiind nulă și maximă în centrul conductei. Pentru conductele circulare aceasta duce la o distribuție paraboloidală a vitezelor. Modul de curgere a fluidelor este definit cantitativ prin valoarea criteriului Reynolds:

$$Re = \frac{w \cdot d_{ech} \cdot \rho}{\eta}, \text{ sau } Re = \frac{w \cdot d_{ech}}{\nu}, \quad (1)$$

în care: - w este viteza fluidului, [m/s];

- d_{ech} este diametrul echivalent al secțiunii de curgere, [m];

- ν este vâscozitatea cinematică a fluidului, [m²/s].

În relația (1) diametrul echivalent se determină cu formula $d_{ech} = \frac{4 \cdot A_u}{P_u}$,

unde: - A_u este aria udată de fluid, [m²];

- P_u este perimetrul udat de fluid, [m];

- ρ este densitatea fluidului, [kg/m³];

- η este vâscozitatea dinamică, [Pa s].

În funcție de valoarea absolută a criteriului Re se deosebesc 3 domenii, (regimuri), de curgere: - regim **laminar** pentru valori ale criteriului Reynolds mici, $Re \leq 2300$, domeniu caracterizat prin faptul că straturile de fluid alunecă paralel cu ele însele și cu pereții conductei. Acest regim de curgere are drept caracteristică lipsa amestecării în interiorul fluidului.

- regim **intermediar** pentru valori $2\,300 < R \leq 10\,000$. Aici se găsesc porțiuni de fluid în care curgerea este încă laminară, elementele fluidului curgând paralel între ele, precum și zone de fluid unde apar turbulențe, elementele fluidului în curgere având direcții dezordonate în spațiul delimitat de pereții conductei. Regimul este caracterizat printr-o amestecare internă moderată.

- regim **turbulent** pentru cifre $Re > 10\,000$, caracterizat printr-o amestecare internă intensă a elementelor fluidului.

Influența geometriei conductei, a debitului și a proprietăților fluidului asupra curgerii este dată de relația Fanning:

$$\Delta p_{frecare} = \lambda \frac{L}{d_{ech}} \cdot \frac{\rho w^2}{2} \quad (2),$$

în care: - λ este coeficientul de frecare vâscoasă, adimensional, [-];

- Δp este căderea de presiune prin frecare, determinată de curgerea fluidului, [Pa];

- ρ este densitatea fluidului, [kg/m³];

- w este viteza medie prin conductă, [m/s];

- L este lungimea conductei, [m].

Factorul de proporționalitate λ se numește coeficient de frecare și are valori dependente de regimul de curgere și de rugozitatea relativă, (d_{ech}/e), a conductei. Relația $\lambda = f(Re, d_{ech}/e)$ reprezentată grafic se numește diagrama Moody sau curbe Nikuradze. În regimul laminar, vitezele de curgere sunt mici, stratul limită hidrodinamic este strâns legat de perete, grosimea lui este relativ mare, mișcarea fluidului fiind perturbată doar de propria vâscozitate dinamică, deoarece toate rugozitățile peretelui provenite din prelucrarea conductei sunt incluse în stratul limită. Se consideră stratul limită hidrodinamic o porțiune de fluid în care are loc variația vitezei fluidului de la 0 la 99,99 [%] din valoarea vitezei medii a fluidului, iar grosimea stratului limită δ este distanța de la perete până la locul în care viteza fluidului atinge 99,99 [%] din valoarea vitezei medii a fluidului. Cu cât viteza medie a fluidului este mai mare stratul limită hidrodinamic se micșorează datorită antrenării particulelor de fluid de către masa de fluid care deja nu mai curge paralel cu stratul limită, o parte din rugozități putând ieși din grosimea stratului limită, generând turbulențe suplimentare și deci pierderi energetice, (de presiune), mai mari în fluid. Mărind și mai mult viteza medie a fluidului, stratul limită hidrodinamic se micșorează și mai mult, ajungând să fie de grosime constantă și neglijabilă față de dimensiunea rugozităților. Stratul limită nu dispare complet indiferent de viteză și oricât s-ar mări viteza nu mai pot fi generate alte turbulențe de către rugozități, ci numai de către fluidului însuși, coeficientul de frecare, (dispersarea energiei) depinzând doar de mărimea asperităților: $\lambda = f(d_{ech}/e)$. O imagine generală asupra structurii pereților

hidraulici cu rugozitate efectivă, e , [mm], și grosimea stratului limită hidraulic, d , adică o rugozitatea relativă $\varepsilon = (d_{ech}/e)$ ca și o distribuție a vitezelor în interiorul conductelor drepte circulare la curgerea laminară, respectiv turbulentă a unui fluid este redată în Fig. 1. 1. și 1. 2.

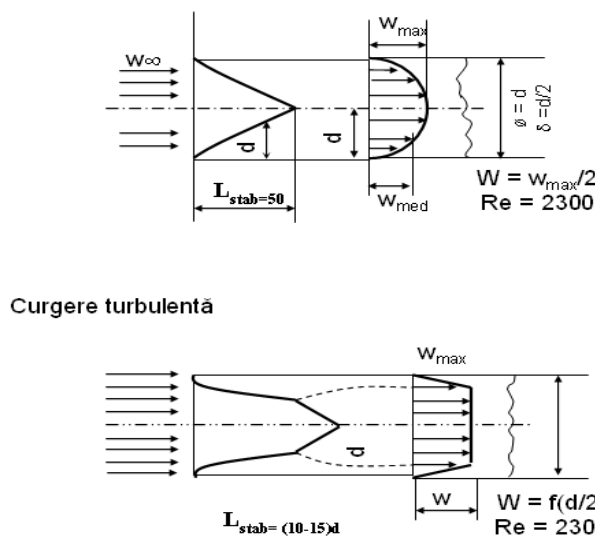


Fig. 1.1. Profilul vitezelor

d - grosimea stratului limită

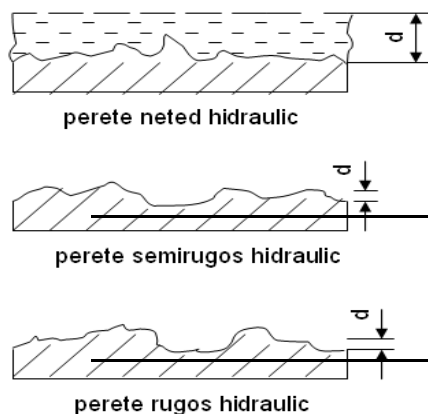


Fig. 1.2. Pereți hidraulici

Se remarcă faptul că în cazul curgerii laminare, toate rugozitățile sunt acoperite de stratul limită, curgerea nefiind influențată de acestea. În domeniul semirugos hidraulic, o parte din rugozități ies din stratul limită și generează turbulențe suplimentare. Domeniul rugos hidraulic va depinde atât de mărimea rugozităților, cât și de regimul de curgere.

II. SCOPUL LUCRĂRII

- Calculul regimul de curgere în funcție de datele măsurate: debit volumetric și pierderea de presiune.
- Calculul coeficienților de frecare pentru domeniile de curgere stabilite.
- Reprezentarea grafică a dependenței $\lambda = f(Re)$.

III. DESCRIEREA INSTALAȚIEI

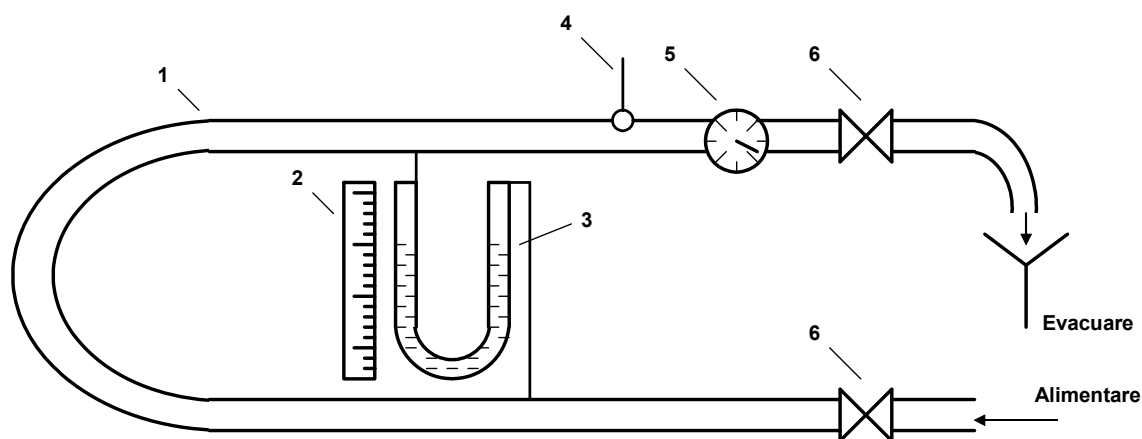


Fig. 1. 3. *Schița instalației experimentale*

1 - conductă de studiu; 2 - riglă gradată; 3 - manometru diferențial; 4 - termometru;
5 - contor; 6 - robinet de reglare

Instalația este formată dintr-o țeavă cilindrică dreaptă prin care curge apă măsurată prin intermediul unui contor. Un manometru diferențial măsoară pierderea de presiune între punctele de priză.

IV. MODUL DE LUCRU

1. Se deschide de alimentare 6 și se fixează un debit minim de apă. După stabilizarea curgerii observată prin constanța denivelării manometrice, se notează valoarea cantității de apă la momentul „0” și se cronometrează timpul de scurgere a unei cantități de apă și valoarea denivelării manometrice.

2. Se repetă măsurătorile pentru debite din ce în ce mai mari de apă.

3. Se măsoară temperatura apei.

4. După terminarea determinărilor se închide robinetul de reglare.

V. PRELUCRAREA DATELOR EXPERIMENTALE

Tab. 1. *Date primare măsurate experimental și mărimi secundare calculate*

Nr.crt	Δh_{Q_v}	Q_v	w	Re	lgRe	Δh_{fr}	Δp_{fr}	λ	λ_{calc}	Tapă
UM	[l]	[m ³ /s]	[m/s]	-	-	[m]	[Pa]	-	-	[°C]
0	1	2	3	4	5	6	7	8	9	10

Datele experimentale se prelucreză astfel:

1. Debitul volumetric Q_v [m³/s]: se citește din diagrama de calibrare, au se preiau de pe debitmetru.

2. Se calculează viteza medie în secțiunea de curgere a tubului experimental:

$$w = Q_v/A = 4 \cdot Q_v/(\pi \cdot d^2), \text{ [m/s];}$$

unde: - d este diametrul interior al tubului experimental, [m].

3. Se calculează criteriul Reynolds: $Re = (w \cdot d_{ech} \cdot \rho)/\eta$,

în care: - η este viscozitatea dinamică a apei, [Pa·s], la temperatura apei care curge, [°C].

4. Se calculează pierderea de presiune, $\Delta p_{frecare}$, suferită de lichidul în curgere corespunzătoare coloanei de lichid manometric, $\Delta h_{frecare}$, indicată de manometrul diferențial, mărime ce reprezintă pierderea energetică prin frecare între lichid și peretele conductei pe lungimea experimentală, L :

$$\Delta p_{frecare} = (\rho_M - \rho) \cdot g \cdot \Delta h_{frecare},$$

în care: - $\Delta p_{frecare}$ este pierderea de presiune prin frecare, exprimată în [Pa];

- ρ este densitatea lichidului ce trece prin conductă, a apei, [kg/m³];

- ρ_M este densitatea lichidului manometric, [kg/m³];

- $\Delta h_{frecare}$ este denivelarea coloanei de lichid manometric, [m].

5. Se calculează coeficientul de frecare din ecuația pierderii de presiune pentru învingerea forțelor de frecare în conducte drepte și canale cu ajutorul relației (2):

$$\lambda = 2 \cdot \Delta p_{frecare} d / (L \cdot w^2 \cdot \rho).$$

6. Se trasează grafic curbele: $\lambda = f(Re)$ și $\lambda = f(\lg Re)$.

7. Considerând funcția de variație a coeficientului de frecare cu regimul de curgere de forma generală:

$$\lambda = A/Re^B,$$

se determină coeficienții A și B și se compară valorile astfel obținute din datele experimentale cu valorile corespunzătoare prezentate în partea teoretică.

Coeficientul de frecare în conducte drepte, determinări experimentale de pe instalația experimentală

$D_{int} 10$ [mm]; $L = 1,8$ [m]; $T = 15$ [°C]; $w =$ [m/s]; $\Delta p =$ [mm H₂O].

w $\times 10^{-2}$	10,19	15,27	20,36	24,18	28,0	31,82	34,37	36,91	39,46
Δp	42,0	44,55	47,1	49,0	50,28	52,19			

$D_{int} 10$ [mm]; $L = 1,21$ [m]; $T = 10$ [°C]; $w =$ [m/s]; $\Delta p =$ [Pa].

w	0,134	0,178	0,23	0,344	0,433	0,47	0,484	0,497	0,51	0,522	0,541	0,548
Δp	20	32	58	137	206	230	245	261	283	298	315	322

Pe o instalație experimentală cu dimensiunile: $D_{\text{int}} 8 \text{ [mm]}$; $L = 2,25 \text{ [m]}$; $T = 15 \text{ [}^{\circ}\text{C]}$ s-au ridicat următoarele date;

a) $\Delta p \text{ [mm Hg]}$	0	3	5	8	10	9	9,5	10	10,5	11	11,5
$w_f \text{ [m/s]}$	0	0,1	0,2	0,3	0,4	0,5	0,6	0,7	0,8	0,9	1,0

$\Delta p \text{ [mm Hg]}$	12	12,5	13	14	15,5	16
$w_f \text{ [m/s]}$	1,1	1,2	1,3	1,4	1,5	1,6

Pe o instalație experimentală cu dimensiunile: $D_{\text{int}} 8 \text{ [mm]}$; $L = 2,25 \text{ [m]}$; $T = 15 \text{ [}^{\circ}\text{C]}$, s-au ridicat următoarele date;

b) $\Delta p \text{ [mm Hg]}$	0	0,5	1,25	2,0	3,75	4,25	4,0	4,5	5,0	7,0
$w_f \text{ [m/s]}$	0	0,1	0,3	0,5	0,7	0,9	1,0	1,1	1,3	1,5

2. CURGEREA PRIN COLOANE CU UEMPLUTURĂ

Un caz special, de mare interes pentru procesele ingineresti este curgerea fluidelor peste umpluturi. Umpluturile sunt corpuri solide având forme extrem de diverse care sunt utilizate în vederea îmbunătățirii contactului dintre lichide, lichide și gaze sau fluide și solide. Forma geometrică este dictată de scopul operației, de natura și proprietățile fizico-chimice ale materialelor și de parametri economico-funcționali ai procesului. Pentru procesele de epurare și denocivizare sunt importante procesele de:

- contactare a solidelor reactive cu agenții nocivi din lichide sau gaze,
- îmbunătățirea condițiilor de contactare a lichidelor și gazelor reziduale cu soluțiile de tratare.

O umplutură „bună” trebuie să îndeplinească următoarele condiții: suprafață specifică mare, volum mare de goluri, rezistență mecanică și chimică, să fie umectată de lichid, preț redus. Se pot utiliza drept umpluturi o gamă foarte largă de materiale, care de obicei se clasifică în cele cu formă nedefinită, cu formă regulată și grătare sau structuri spațiale. Materialele cu formă neregulată sunt foarte ieftine și accesibile, putând fi pietriș, piatră spartă, tuf vulcanic, cărbune sau cox, talaș, rumeguș etc. Ele se pot infunda ușor și se pot crea zone preferențiale de curgere. Aceste dezavantaje dispar în cazul umpluturilor cu forme regulate, unele dintre ele fiind prezentate în Fig. 2.1. Umpluturile se caracterizează prin intermediul diametrului echivalent:

$$d_{ech} = 4 \cdot r_h = 4 \cdot \frac{A_u}{P_u} = 4 \cdot \frac{\varepsilon}{\sigma}; \quad [5, 9],$$

unde: - ε este fracția de goluri sau volumul liber al umpluturii, $[\text{m}^3/\text{m}^3]$;

- σ este suprafața specifică a umpluturii, $[\text{m}^2/\text{m}^3]$.

Fracția de goluri sau volumul liber arată cât spațiu gol este prezent într-un metru cub de solid, adică spațiul prin care pot circula materialele. Este de preferat ca acest volum să fie cât mai mare pentru o curgere comodă a fluidelor.

Suprafața specifică arată aria de contact pusă la dispoziție de un metru cub de umplutură. Cu cât aria de contact este mai mare, contactarea este mai intensă și procesele sunt accelerate.

În cazul parcurgerii umpluturii de către **un singur fluid**, curgerea poate fi asimilată cu una monofazică, dar printr-un canal de structură complexă. Se poate delimita domeniul de **curgere laminară**, $Re < 40$ de cel al **curgerii turbulente**, $Re > 40$. Pierderea de presiune generată de frecarea fluidului cu materialul umpluturii se determină cu aceeași relație matematică prezentată la curgerea prin conducte, evoluția ei față de

viteza fluidului fiind de tip parabolic [5, 9, 39]: $\Delta p_{frecare} = \lambda \cdot \frac{H_{strat}}{d_{ech}} \cdot \rho \cdot \frac{w_r^2}{2}$.

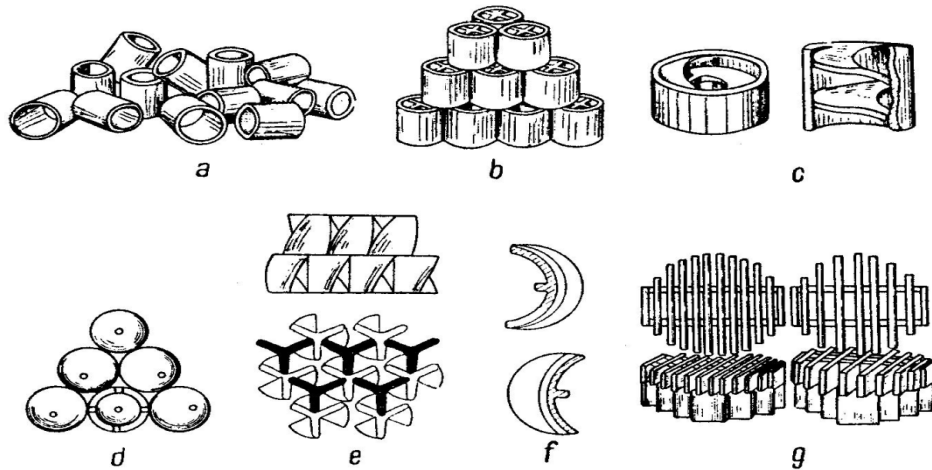


Fig. 2.1. Tipuri de umpluturi [2]

a) inele Raschig, b) inele Lessing, c) inele cu suprafață elicoidală interioară, d) sfere, e) umplutură elocoidală, f) șei Berl, g) grătare.

Viteza fluidului, gaz sau lichid, care trece prin coloana cu umplutură considerată „goală” se numește **viteză fictivă**, w_f , și se determină cu relația:

$$w_f = \frac{Q_v}{S}; \quad \left[\frac{m}{s} \right] = \left[\frac{m^3/s}{m^2} \right]; \quad [w] = [m/s]; \quad [Q] = [m^3/s]; \quad [S] = [m^2],$$

unde: - S este secțiunea, (aria) coloanei cu umplutură considerată „goală”, adică în lipsa umpluturii. Utilizarea noțiunii de viteză fictivă este comodă, deoarece se cunoaște diametrul tubului în care se pozează umplutura și acesta este constant.

Viteza reală, w_r , a fluidului care trece prin umplutură este întotdeauna **mai mare** decât viteza fictivă, deoarece spațiul de trecere este redus prin prezența fizică a

solidului din umplutură. Relația de legătură între viteza fictivă și cea reală este dată de volumul liber al umpluturii: $w_r = \frac{w_f}{\varepsilon}$. Pierderea de presiune în umplutură depinde de viteza reală, adică de contactul direct solid-fluid. Coeficientul de frecare, λ , [-], se determină prin relații specifice:

$$\text{Re} < 40 ; \quad \lambda = 140/\text{Re}_{\text{fluid}} ; \quad \text{Re} > 40 ; \quad \lambda = 16/\text{Re}_{\text{fluid}}^{0.2} .$$

Criteriul Reynolds la curgerea monofazică prin umpluturi se determină cu valoarea vitezei reale a fluidului:

$$\text{Re} = \frac{w_r \cdot d_{\text{ech}} \cdot \rho_f}{\eta} = \frac{w_r \cdot 4 \cdot \varepsilon \cdot \rho_f}{\sigma \cdot \eta} = \frac{w_f \cdot 4 \cdot \varepsilon \cdot \rho_f}{\varepsilon \cdot \sigma \cdot \eta} = \frac{4 \cdot w_f \cdot \rho_f}{\sigma \cdot \eta} .$$

La curgerea **simultană în contracurent** a unui lichid și a unui gaz printr-o umplutură apar alte fenomene caracteristice. La curgerea unui debit descendent constant de lichid și a unui foarte mic de gaz ascendent pierderea de presiune este dependentă liniar față de viteza gazului. Această situație este asemenea curgerii monofazice. Acest fenomen se desfășoară până când debitul de gaz continuu crescător este împiedicat de trecere de către scurgerea de pe umplutură a lichidului. În acest moment la partea inferioară a umpluturii apare o acumulare de lichid prin care barbotează gazul. Punctul delimitat de către vitezele relative a celor două fluxuri este numit „punct de încărcare”. Acest punct se deplasează către viteze mici a gazului la creșterea debitului de lichid. Peste acest punct, pierderea de presiune se majorează datorită presiunii hidrostatice a coloanei de lichid. Dacă se mențin constante debitele de gaz și lichid, în stratul de umplutură va rămâne o porțiune în care stratul de lichid este străbătut de curentul format din bule de gaz. Acesta este regimul normal de funcționare a coloanelor cu umplutură stropită. Dacă se majorează debitul de gaz, acesta blochează trecerea lichidului, obligându-l să se acumuleze în golurile stratului solid de unde este împins în sus, până la partea sa superioară și de aici în afara instalației. Este un alt punct important de funcționare a umpluturilor stropite și se numește „punctul de înneccare”. Coloanele în curgere bifazică pot opera corect doar între punctele de încărcare și cele de înneccare, la debite constante de fluide. În diagrama din Fig 3.14. se prezintă evoluția pierderii de presiune în coloane cu umplutură pentru diferite situații: A este cazul coloanei uscate, B reprezintă situația coloanei udate și apoi scurse, C și D sunt cazurile coloanelor stropite cu debite diferite de lichid, (debitul C fiind mai mic decât debitul D), x este **punctul de încărcare**, y este **punctul de înneccare**.

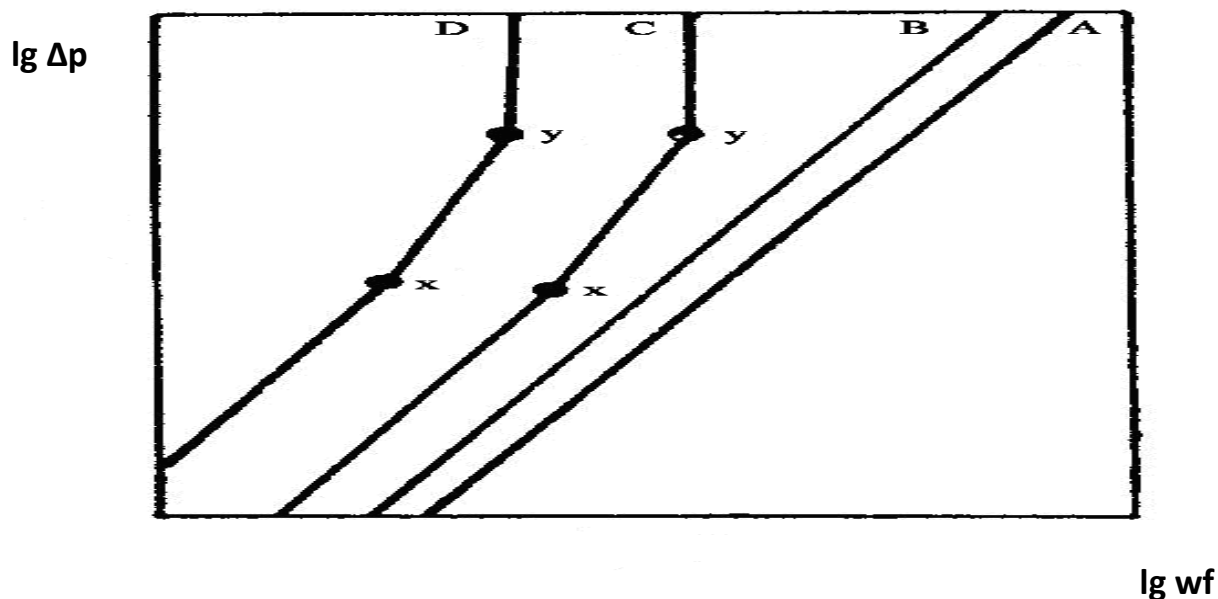


Fig. 2.2. Dependenta pierderii de presiune de viteza gazului, [7]

V. PRELUCRAREA DATELOR EXPERIMENTALE

Tab. 1. Date primare măsurate experimental și mărimi secundare calculate

Nr. crt.	Qv	wf	W	Re	lgRe	Δh	Δp fr	Λ	λ calc	T aer
UM	[m ³ /s]	[m/s]	[m/s]	-	-	[m]	[Pa]	-	-	[°C]
0	1	2	3	4	5	6	7	8	9	10

Datele experimentale se prelucrează astfel:

1. Se calculează viteza fictivă în secțiunea de curgere a tubului experimental:

$$w_f = Q_v / A = 4 \cdot Q_v / (\pi \cdot d^2), \text{ [m/s];}$$

unde: - d este diametrul interior al tubului experimental, [m].

2. Se calculează viteza reală în secțiunea de curgere a tubului experimental:

$$w_{\text{real}} = w / \varepsilon;$$

3. Se calculează criteriul Reynolds:

$$Re = \frac{w_r \cdot d_{ech} \cdot \rho_f}{\eta} = \frac{w_r}{\sigma} \cdot \frac{4 \cdot \varepsilon}{\sigma} \cdot \frac{\rho_f}{\eta} = \frac{w_f}{\varepsilon} \cdot \frac{4 \cdot \varepsilon}{\sigma} \cdot \frac{\rho_f}{\eta} = \frac{4 \cdot w_f \cdot \rho}{\sigma \cdot \eta},$$

în care: - η este viscozitatea dinamică a aerului, [Pa·s], la temperatura aerului care curge prin tub.

4. Se calculează pierderea de presiune, Δp_{fr}, suferită de aerul în curgere corespunzătoare coloanei de lichid manometric, Δh_{fr}, indicată de manometrul diferențial, mărime ce reprezintă pierderea energetică prin frecare între aer și peretele coloanei cu umplutură pe lungimea experimentală, H:

$$\Delta p_{fr} = (\rho_M - \rho) \cdot g \cdot \Delta h_{fr},$$

în care: - Δp_{fr} este pierderea de presiune prin frecare exprimată în [Pa];

- ρ este densitatea aerului ce trece prin coloană, a aerului, [kg/m³];

- ρ_M este densitatea lichidului manometric, apă, [kg/m³];

- Δh_{fr} este denivelarea coloanei de lichid manometric, [m].

5. Se calculează coeficientul de frecare din ecuația pierderii de presiune pentru învingerea forțelor de frecare în coloane cu umplutură cu ajutorul relației (2):

$$\lambda = 2 \cdot \Delta p_{fr} \cdot d_{ech} / (H \cdot w^2 \cdot \rho_{aer}).$$

6. Se trasează grafic curbele: $\lambda = f(Re)$ și $\lambda = f(\lg Re)$.

7. Considerând funcția de variație a coeficientului de frecare cu regimul de curgere de forma generală: $\lambda = A/Re^B$,

se determină coeficienții A și B și se compară valorile astfel obținute din datele experimentale cu valorile corespunzătoare prezentate în partea teoretică.

Date experimentale colectate de pe instalația experimentală

Coloana cu umplutură uscată

$$\sigma = 570 \text{ [m}^3/\text{m}^3\text{]}; \varepsilon = 0,64 \text{ [m}^2/\text{m}^3\text{]}, D_{col} = 47 \text{ [mm]}$$

Q_v [l/h]	1000	1500	2000	2500	3000	3250	3900	4400	4800
Δh [mm apă]	2,5	3	3,5	5	8	9	14	16	23

Q_v [l/h]	5000	5300	5500	6000	6300	6500	7000	7500	8000	8500
Δh [mm apă]	24	25	26	33	35	37	44	47	55	64

Coloana cu umplutură stropită, densitate de stropire 100 [ml apă/4s]

$$\sigma = 570 \text{ [m}^3/\text{m}^3\text{]}; \varepsilon = 0,64 \text{ [m}^2/\text{m}^3\text{]}, D_{col} = 47 \text{ [mm]}$$

Q_v [l/h]	1000	1500	2000	2500	3000	3500	4000	4500	5000
Δh [mm apă]	2	4	3	4	5	7	10	14	20

Q_v [l/h]	5500	6000	6500	7000						
Δh [mm apă]	27	39	70	170						

3. SEDIMENTAREA SUSPENSIILOR

A. SEDIMENTAREA GRAVITAȚIONALĂ

I. CONSIDERAȚII TEORETICE

Sistemele heterogene sunt cu atât mai stabile cu cât gradul de dispersie este mai avansat, altfel spus, cu cât dimensiunile particulelor dispersate sunt mai reduse. Prezența agenților de floclare sau de coagulare micșorează stabilitatea sistemelor disperse, ușurând separarea prin decantare.

II. RELAȚII DE CALCUL

Relația de calcul globală pentru sedimentarea particulelor într-un fluid este cea generală a vitezei:

$$H = w_{sed} \cdot \tau.$$

Expresia criteriilor de similitudine folosite sunt cele consacrate:

$$Re = \frac{w_{sed} \cdot d_p \cdot \rho_l}{\eta} \quad Ar = \frac{d_p^3 \cdot \Delta\rho \cdot g \cdot \rho_l}{\eta^2} \quad Li = \frac{w_{sed}^3 \cdot \rho_l^2}{\eta \cdot \Delta\rho \cdot g}$$

Pentru regim laminar de sedimentare, $Re < 2$, poate fi utilă relația Stokes de calcul al vitezei de sedimentare **cu verificare** ulterioară:

$$w_{sed} = \frac{1}{18} \cdot \frac{d_p^2 \cdot (\rho_p - \rho_l) \cdot g}{\eta}.$$

III. SCOPUL LUCRĂRII

Construcția experimentală și determinările prin măsurători directe conduc la următoarele puncte de interes didactic și de interpretare:

- observarea vizuală a procesului de sedimentare pentru particule; „mono-disperse”, practic acestea au un spectru granulometric foarte restrâns;
- observarea vizuală a procesului de sedimentare pentru particule „polidisperse”;
- observarea domeniilor de sedimentare pentru ambele tipuri de particule;
- observarea vizuală a procesului de sedimentare pentru particule „floclate”;
- observarea domeniilor de sedimentare pentru particulele „coagulate”;
- determinarea experimentală a curbei de sedimentare pentru cele trei tipuri de particule;
- determinarea experimentală a diametrelor unor particule care sedimentează sau a condițiilor în care are loc sedimentarea.

IV. DESCRIEREA INSTALAȚIEI EXPERIMENTALE

Instalația de laborator este prezentată în Fig. 3.1. Ea este formată dintr-un sistem de șase tuburi identice din sticlă care conțin suspensii de natură diferită. Tuburile sunt solidarizate prin flanșe închise prin intermediul garniturilor elastice și a patru tiranți. În spatele tuburilor este plasată o scară gradată în milimetri pentru a se urmări comod distanța de deplasare a particulelor în lichid.

V. MODUL DE LUCRU

1. Se verifică dacă nu există scurgeri de lichid din aparat.
2. Se notează datele specifice lucrării privind caracteristicile sistemului: diametre, densități, viscozități etc.
3. Se agită întregul aparat pentru omogenizarea sistemelor din tuburi.
4. După atingerea omogenizării apreciată vizual, se plasează aparatul pe masă și se pornește cronometrul.

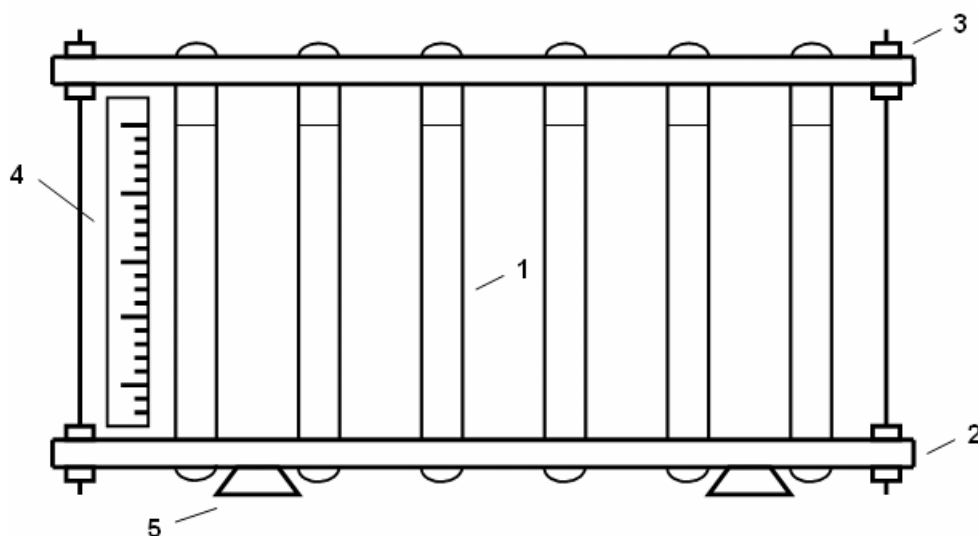


Fig. 3. 1. a) - *Schema instalației experimentale*
1 - tub de sticlă; 2 - flanșe; 3 - tiranți; 4 - scară gradată

5. Se notează timpii la care suprafața suspensie - „limpedele” parcurge câte 5 mm. Având în vedere fenomenologiile diferite de sedimentare, modul de identificare a acestei suprafețe rămâne la aprecierea experimentatorului. Se poate urmări procesul de sedimentare măsurându-se distanța parcursă de suprafața separatoare suspensie - „limpede” din timp în timp.

V. PRELUCRAREA DATELOR EXPERIMENTALE

Datele experimentale măsurate se prelucrează astfel:

Tab. 1. Date experimentale privind sedimentarea particulelor

Nr. crt.	1	2	3	4	5	6	7	8	9	10	11	12	13	14	15
H[m]															
τ [s]															

1. Se trasează curbele de sedimentare $H = H(\tau)$.
2. Se calculează viteza de sedimentare pentru fiecare pas de timp:

$$w_{\text{sed } i} = (H_{i+1} - H_i) / (\tau_{i+1} - \tau_i);$$
3. Se reprezintă grafic variația vitezei în funcție de timp: $w_{\text{sed}} = w_{\text{sed}}(\tau)$.
4. Se compară viteza de sedimentare determinată experimental cu cea descrisă

de relațiile teoretice: $w_{\text{sed}} = \frac{1}{18} \frac{d_p^2 (\rho_p - \rho_e) \cdot g}{\eta}$, care este valabilă pentru: $0 < Re \leq 2$.

Sedimentarea, date experimentale prelevate de pe instalația experimental**Analizați curbele de sedimentare și comentați fenomenul**

1. - Suspensie argilă - apă; nivelul „limpedelui”, H [mm], în timpul τ , [min], de sedimentare.

H [mm]

0 1 2 3 4 5 6 7 8 9 10 12
14 16

τ [min]

0 4 8 18 16 20 25 30 36 42 50 70
100 150

Să se reprezinte grafic nivelul „limpedelui”, H , [mm], în timpul τ [s], de sedimentare, (curba de sedimentare). Care este dimensiunea particulei ce sedimentează la 120 minute? Care este dimensiunea majoritară a particulelor solide din suspensie?

2. - Suspensie argilă - apă; nivelul „limpedelui”, H , [mm], în timpul τ [min].

H [mm]

0 2 4 6 8 10 12 14 16

τ [min]

0 3 6 9 13 15 18 21 24

Care este dimensiunea particulei care sedimentează?

3. - Suspensie argilă - apă; nivelul „limpedelui”, H [mm], în timpul τ [min].

τ [min]

0 2 4 6 8 11 15 20 26 32 38

H [mm]

0 3 6 9 12 15 18 20 22 23,5 24,5

τ [min]

40 55 70

H [mm]

25,2 25 25

Care este dimensiunea particulei care scapă din decantor?

B. SEDIMENTAREA ÎN CÂMP CENTRIFUGAL

I. CONSIDERAȚII TEORETICE

În cazul în care particulele solide sunt foarte fine, densitatea lor este apropiată de a lichidului sau lichidul are o vâzozitate ridicată, viteza de sedimentare este foarte mică, adică timpul de separare este lung. Pentru îmbunătățirea operației, adică scurtarea timpului de sedimentare se poate mări forța motrice prin aplicarea asupra suspensiei a unui câmp centrifugal.

II. RELAȚII DE CALCUL

Toate considerațiile teoretice prezentate la secțiunea sedimentarea gravitațională privind fenomenologia și echilibrul de forțe sunt valabile și în acest caz, singura deosebire este înlocuirea forței arhimedice care depinde de gravitația terestră, $g = 9,81 \text{ [m/s}^2\text{]}$

cu forța centrifugă, F_c , [N]:
$$F_c = \frac{m \cdot v_t^2}{R},$$
 unde: R este raza de rotație, [m].

Viteza periferică pentru mișcarea circulară, v_t , [m/s], se determină din relația ei de definiție: $v_t = \omega \cdot R$, [m/s], unde: $\omega = 2 \cdot \pi \cdot n$ [1/s], este viteza unghiulară sau pulsația rotației dependentă de numărul de revoluții în unitatea de timp, n, [1/s].

Accelerația centrifugă se determină cu relația: $a_c = \omega^2 \cdot R$, [m/s²].

III. SCOPUL LUCRĂRII

Construcția experimentală și determinările prin măsurători directe conduc la următoarele puncte de interes didactic și de interpretare:

- observarea vizuală a procesului de sedimentare pentru particule având diametrul foarte mic sau cu densități apropiate de a lichidului;
- determinarea experimentală a timpului de sedimentare pentru particule fine;
- determinarea experimentală diametrului unor particule care sedimentează la un timp impus.

IV. DESCRIEREA INSTALAȚIEI EXPERIMENTALE

Schema instalației de laborator este prezentată în Fig. 2. Ea este formată dintr-o centrifugă de laborator a cărei tambur are 6 cuiburi pentru eprubetele destinate măsurătorilor. În locașurile tamburului sunt plasate eprubetele cu suspensie, cântărite în prealabil pentru a avea valori cât mai apropiate și plasate astfel încât să se respecte simetria geometrică. Tamburul centrifugei poate fi acționat la diverse turații, astfel încât forța centrifugă poate fi calculată. Carcasa de protecție a sistemului asigură atât protecția experimentatorului, cât și elimină influențele exterioare.

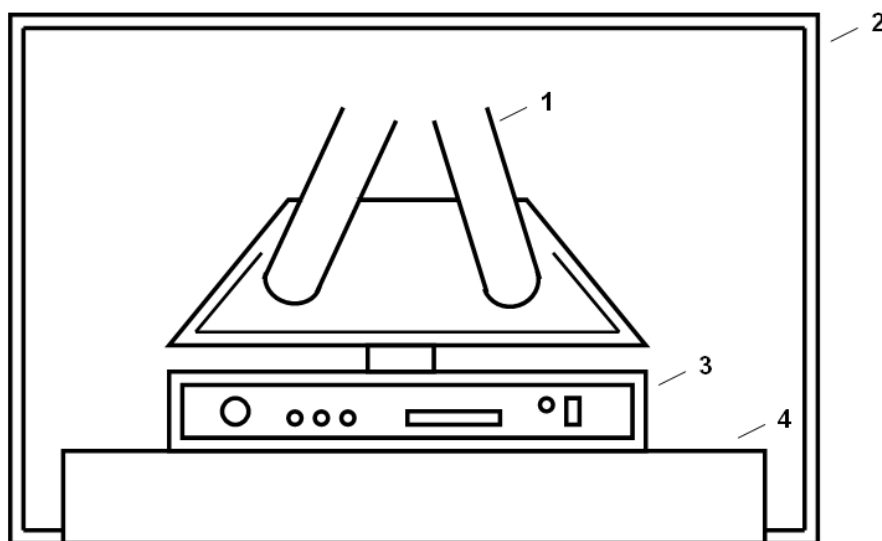


Fig. 3. 1. b.) - Schema instalației experimentale la centrifugare
1 - eprubete; 2 - carcasă de protecție; 3 - motor electric; 4 - suport

V. MODUL DE LUCRU

1. Se verifică dacă nu există particule solide sau lichide în camera epruvetelor. Locașul acestora se șterge cu delicatețe cu o cârpă curată și uscată.

2. Se verifică integritatea eprubetelor pentru probă, cele ciobite, fisurate sau care la un examen vizual sunt neomogene trebuie respinse și anunțat imediat conducătorul lucrării.

3. Se cântăresc cu cât mai mare precizie eprubetele care conțin suspensia preluată de la conducătorul lucrării. Eprubetele trebuie să aibă o masă cât mai apropiată ca valoare una de alta și se vor plasa în locașuri diametral opuse. Utilizarea unei balanțe de tip „farmaceutic” este benefică, putându-se echilibra perechi de eprubete simultan.

4. Eprubetele deja cântărite se agită astfel ca să nu se piardă din conținut, se introduc în locașurile tamburului, **având grijă ca simetria să fie respectată**, apoi se pornește motorul centrifugei și totodată cronometrul.

5. În raport cu indicațiile conducătorului de lucrări, se oprește centrifuga la intervale măsurate de timp și se examinează starea suspensiei. Se va măsura distanța H [m], între suprafața lichidului și cea a sedimentului considerat „compact”.

6. Determinările se repetă la alte turații ale centrifugii.

VI. PRELUCRAREA DATELOR EXPERIMENTALE

Datele experimentale se prelucreză astfel:

Tab. 1. b) - Date experimentale privind sedimentarea particulelor

Nr crt	1	2	3	4	5	6	7	8	9	10	11	12	13	14	15
H [m]															
τ [s]															

1. Se calculează viteza de sedimentare pentru fiecare pas de timp:

$$w_{\text{sed } i} = H_i / \tau_i;$$

2. Se determină diametrul particulei utilizând relația Stokes:

$$w_{\text{sed}} = \frac{1}{18} \cdot \frac{d_p^2 \cdot (\rho_p - \rho_e) \cdot \omega^2 \cdot R}{\eta}.$$

4. FILTRAREA LA PRESIUNE CONSTANTĂ

I. CONSIDERAȚII TEORETICE

Filtrarea este operația de separare a unui amestec heterogen solid-fluid prin intermediul unei suprafețe poroase în faza solidă îmbinată cu lichid, (turtă) și lichid (filtrat). Fenomenul de separare prin filtrare poate fi considerat ca având la bază trei procese fundamentale: sedimentarea, cernerea și adsorbția. Operația de filtrare este influențată de o multitudine de factori care depind atât de amestecul heterogen supus filtrării, de natura materialului filtrant cât și de operația de filtrare propriu-zisă. Dintre factorii tehnologici care influențează filtrarea, cei mai importanți sunt: continuitatea sau discontinuitatea procesului, temperatura și concentrația suspensiei, durata și diferența de presiune dintre cele două fețe filtrante, care constituie și forța motrice a procesului de filtrare. Pornind de la ipoteze simplificatoare: temperatură constantă, absența colmatării, uniformitatea porilor, diferență de presiune constantă, se poate deduce ecuația filtrării prin materialul filtrant și stratul precipitat.

Diferența de presiune $\Delta p = p_1 - p_2$, dintr-o parte și cealaltă a filtrului, Fig. 4. 1. se poate crea prin: - presiunea hidrostatică a coloanei de suspensie care se filtrează;
 - cu ajutorul pompelor, filtrare sub presiune ridicată;
 - cu ajutorul pompelor de vid, filtrare la vid.

$$\Delta p = p_1 - p_2; \quad p_1 = p_{atm} + \rho \cdot g \cdot \Delta h; \quad \Delta h \approx 0 \quad \rho \cdot g \cdot \Delta h \approx 0, \text{ (neglijabilă).}$$

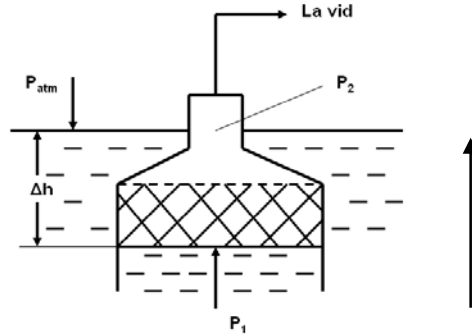


Fig. 4.1. Schiță pentru calculul forței motrice a procesului de filtrare

În cazul procesului de filtrare, din punct de vedere hidraulic apare o curgere a lichidului printr-un mediu poros, format din porii precipitatului și cei ai materialului filtrant.

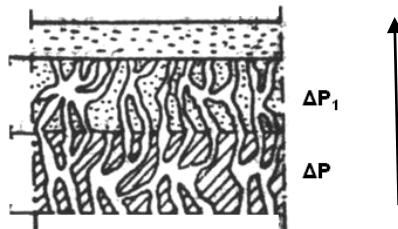


Fig. 4.2. Curgerea prin suprafața filtrantă și precipitat

Ecuția generală a filtrării poate fi scrisă sub una din formulările uzuale:

$$a \cdot V_f^2 + b \cdot V_f = \tau, \quad (1), \quad \text{sau:} \quad V_f^2 + 2 \cdot C \cdot V_f = K \cdot \tau \quad (2),$$

în care: $V_f = V_{\text{lich}}/A$ este **capacitatea specifică de filtrare**, $[m^3/m^2]$, adică volumul de filtrat raportat la suprafața filtrantă.

Constantele din ecuațiile filtrării, așa cum sunt prezentate mai sus: a , b , C și K , redau caracteristicile materialului filtrant, (b sau C) și ale precipitatului, (a sau K), definite prin relațiile teoretice deduse:

$$a = \frac{r_0 \cdot x \cdot \eta}{2 \cdot (\Delta p_t)^{1-s}} \quad [s/m^6], \quad (3), \quad \text{respectiv:} \quad b = \frac{r_0 \cdot x \cdot \eta \cdot V_1}{A \cdot (\Delta p_t)^{1-s}} \quad [s/m^3], \quad (4),$$

$$\frac{V_1}{A} = C \quad [m^3/m^2], \quad (5), \quad \text{respectiv:} \quad K = \frac{2 \cdot (\Delta p_t)^{1-s}}{r_0 \cdot x \cdot \eta} \quad [m^2/s], \quad (6).$$

Ecuția Ruth, (1), scrisă sub forma lineară prin derivatizare:

$$2 \cdot a \cdot V_f \cdot dV_f + b \cdot dV_f = d\tau, \quad (7),$$

arată **viteza de filtrare** în orice moment al procesului:

$$\frac{dV_f}{d\tau} = \frac{1}{2 \cdot (a \cdot V_f + b)}, \quad (8).$$

Relația matematică indică faptul că viteza de filtrare scade liniar cu trecerea timpului, adică acumularea de material pe filtru duce la scăderea debitului de filtrate, prin creșterea pierderii de presiune prin frecare în stratul de precipitat. Trecerea de la relația diferențială la diferențe finite măsurabile experimental conduce la expresia:

$$2 \cdot a \cdot V_f \cdot \Delta V_f + b \cdot \Delta V_f = \Delta\tau, \quad (9),$$

relație care permite evaluarea imediată fie prin metoda grafică sau metoda analitică a constantelor de filtrare, a și b, din date experimentale:

$$\frac{\Delta\tau}{\Delta V_f} = 2 \cdot a \cdot \bar{V}_f + b, \quad (10).$$

II. SCOPUL LUCRĂRII

Lucrarea urmărește studiul experimental și teoretic al filtrării suspensiilor în condiții de presiune constantă, ($\Delta p = \text{constant}$). Aceasta implică:

- cunoașterea instalației și a modului de funcționare;
- determinarea constantelor din ecuația filtrării;

III. DESCRIEREA INSTALAȚIEI

Instalația experimentală este schițată în Fig. 4. 3. Instalația se compune din: vasul cu suspensia de filtrat (1) care este menținută la concentrație constantă prin intermediul sistemului de agitare prevăzut cu motor și agitator (2). În vas se imersează filtrul (3) care se introduce de sus în jos pentru a se evita procesul de sedimentare gravitațională a particulelor solide din suspensie. Prin prezența diferenței de presiune dintre cea atmosferică și cea generată de pompa de vid, lichidul se va scurge prin porii filtrului și a stratului de precipitat fiind colectat în vasul (4). Ventilul de reglare a presiunii în sistem (7) are și rolul de a menține diferența de presiune constantă la o valoare ce poate fi citită la manometrul (5). Vasul tampon (6) este un sistem de siguranță plasat între pompa de vid și sistemul de filtrare.

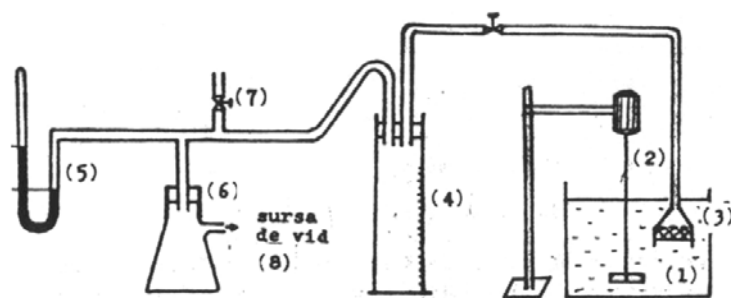


Fig. 4. 3. Schema instalației experimentale.

1 - vas cu suspensie; 2 - sistem de agitare; 3 - filtru; 4 - vas de colectare a filtratului;
5 - manometru; 6 - vas tampon; 7 - ventil de reglare

IV. MODUL DE LUCRU

Înainte de începerea propriu-zisă a filtrării se pornește agitarea pentru omogenizarea suspensiei și se pregătește suprafața filtrantă, care se decupează după mărimea pâlniei de filtrare și se montează pe aceasta.

- Se pornește apoi sistemul pentru obținerea vidului care va menține materialul filtrant pe pâlnie, apoi se introduce filtrul în vasul cu suspensie. Se asigură $\Delta p = \text{ct.}$, prin reglarea sa cu ajutorul ventilului de reglare (7). În momentul apariției filtratului în vasul de colectare se pornește cronometrul, măsurându-se timpii în care se colectează cantități egale de filtrat, de exemplu: 5, 10, 20, 25 sau 50 ml, până la valoarea totală recomandată de conducătorul lucrărilor. După terminarea determinărilor, fără a opri vidul, se scoate filtrul, (3), din vasul cu suspensie și se esorează precipitatul în vederea determinării grosimii precipitatului.

- Se deschide apoi ventilul de reglare, (7), lăsând aerul să pătrundă în instalație, se scoate precipitatul de pe filtru și se măsoară grosimea sa, (h_p) și diametrul său, (d_p), se cântărește în stare umedă, (m_{pp}), se pune la etuvă și apoi se cântărește în stare uscată, (m_s).

V. PRELUCRAREA DATELOR EXPERIMENTALE

Măsurătorile efectuate experimental, (datele primare) și mărimile calculate se trec în tabele de tipul celor alăturate.

Tab. 1. Date experimentale la filtrarea suspensiilor

Nr. crt.	τ [s]	V filtrat		V_f [m ³ /m ²]	\bar{V}_f [m ³ /m ²]	$\Delta\tau$ [s]	V [m ³ /m ²]	$\Delta\tau/\Delta V$ [s/m]	Δh [m]	$\Delta p = p_b - \Delta h$ [m]
0	1	2	3	4	5	6	7	8	9	10

p_b = presiunea barometrică, [mm Hg];

D = diametrul filtrului, [m];

Determinarea 1...2....3

Tab. 2. Caracteristicile sistemului

Tipul suspensiei		UM	
Concentrația volumică a fazei solide	x	[m ³ /m ³]	sau [%]
Concentrația masică a fazei solide	x'	[kg/kg]	(ρ _s / ρ _f)
Densitatea fazei solide	ρ _s	[kg/m ³]	
Densitatea filtratului	ρ _f	[kg/m ³]	
Temperatura filtratului	t	[°C]	
Vâscozitatea filtratului	η	[Pa s] (apa la 20 °C, η=1·10 ⁻³ [Pa s])	
Masa de precipitat umed	m _p	[kg]	
Masa de precipitat uscat	m _s	[kg]	
kg pp umed raportată la 1 kg solid uscat	m	[kg/kg]	m = m _p /m _S
Masa de pp uscat depus la filtrarea a 1m ³ filtrat	c	[kg/m ³]	
Căderea de presiune pe filtru	Δ p	[p _i]	
Diametrul suprafeței filtrante	D	[m]	
Aria suprafeței filtrante	A	[m ²]	A=πD ² /4
Grosimea precipitatului umed	h _p	[m]	
Volumul precipitatului umed	V _{pp}	[m ³]	V _{pp} = A h _p
Rezistența specifică a precipitatului (pentru 1 kg substanță uscată)	r _p	[m/kg]	
Rezistența specifică a materialului filtrant (pentru m ² suprafață)	V ₁	[m/m ²]	

A. Determinarea constantelor din ecuația filtrării se poate face pe cale grafică sau prin metode analitice.

1. Metoda analitică

Se aleg din Tabelul 1, perechi de valori pentru V_f [m³/m²] și τ [s] care se înlocuiesc în una (17) sau alta (18) din ecuațiile filtrării. Se obțin sisteme de ecuații cu două necunoscute de formele:

$$\begin{cases} V_{f1}^2 + 2 \cdot C \cdot V_{f1} = K \cdot \tau_1 \\ V_{f2}^2 + 2 \cdot C \cdot V_{f2} = K \cdot \tau_2 \end{cases} \quad \text{sau} \quad \begin{cases} a \cdot V_{f1}^2 + b \cdot V_{f1} = \tau_1 \\ a \cdot V_{f2}^2 + b \cdot V_{f2} = \tau_2 \end{cases}$$

Prin rezolvarea sistemelor se obțin: K și C, respectiv: a și b.

2. Metoda grafică

Prin diferențierea ecuațiilor filtrării la Δ p = constant:

$$V_f^2 + 2 \cdot C \cdot V_f = K \cdot \tau, \quad \text{sau} \quad a \cdot V_f^2 + b \cdot V_f = \tau,$$

rezultă expresiile:

$$2 \cdot V_f \cdot dV_f + 2 \cdot C \cdot dV_f = K \cdot d\tau, \quad \text{sau} \quad 2 \cdot a \cdot V_f \cdot dV_f + b \cdot dV_f = d\tau,$$

care după o rearanjare potrivită generează expresiile:

$$\frac{d\tau}{dV_f} = \frac{2}{K} \cdot V_f + \frac{2 \cdot C}{K} \quad \text{sau} \quad \frac{d\tau}{dV_f} = 2 \cdot a \cdot V_f + b \quad (30).$$

Se evidențiază o dependență lineară de tipul $y = mx + n$, care poate fi utilizată la determinarea coeficienților a , b , C și K . Se trece de la relațiile diferențiale la diferențe finite și se reprezintă grafic funcțiile (30), înscriind valorile măsurate $\bar{V}_{f1}, \bar{V}_{f2}$ etc. ... pe axa absciselor, iar pe axa ordonatei valorile corespunzătoare pentru: $\Delta\tau_1/\Delta V_{f1}$; $\Delta\tau_2/\Delta V_{f2}$ etc.unde: $\bar{V}_{f1} = (V_{f0} + V_{f1})/2$ $\bar{V}_{f2} = (V_{f1} + V_{f2})/2$

$$\Delta\tau_1 = \tau_1 - \tau_0$$

$$\Delta V_{f1} = V_{f1} - V_{f0}$$

$$\Delta\tau_2 = \tau_2 - \tau_1$$

$$\Delta V_{f2} = V_{f2} - V_{f1}$$

Unind punctele se obține o dreaptă, (vezi și Fig. 4.4.), în care se regăsesc valorile C și K , (respectiv a și b), din ecuațiile filtrării. Termenul liber, ($q = b = 2 \cdot C/K$) definește caracteristica suprafeței filtrante, iar panta dreptei, ($m = \tan \alpha = 2 \cdot a = 2/K$) pe a precipitatului.

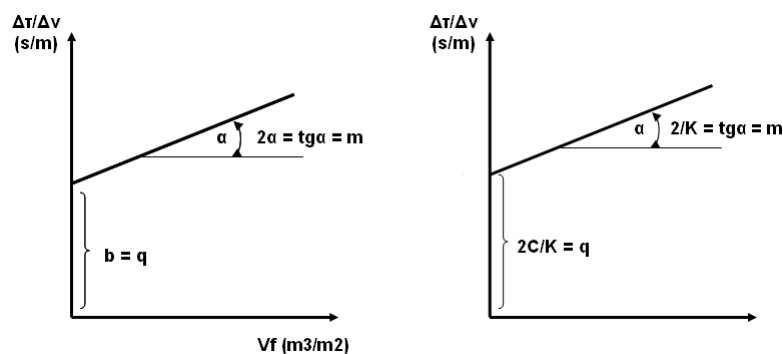


Fig. 4. 4. Liniarizarea relației generale a filtrării pentru obținerea constantelor de filtrare

Filtrarea la presiune constant,

date experimentale colectate de pe instalația experimentală

D f = 52 [mm]		Grosimea turtei, precipitatului umed, [mm]						
6 [mm]		5 [mm]		4 [mm]				
Umiditatea turtei, precipitatului, [%]								
62 [%]		65 [%]		69 [%]				
τ [s]	V [ml]	$\Delta h=3$ [mm Hg]	τ [s]	V [ml]	$\Delta h=40$ [mm Hg]	τ [s]	V [ml]	$\Delta h=80$ [mm Hg]
0	0		0	0		0	0	
22	50		25	50		32	50	
48	100		78	100		92	100	
112	150		145	150		166	150	
186	200		220	200		260	200	
274	250		306	250		356	250	
368	300		400	300		470	300	
475	350		506	350		590	350	
590	400		616	400		722	400	
714	450		738	450		864	450	

5. FLUIDIZAREA

I. CONSIDERAȚII TEORETICE

Fluidizarea este un procedeu tehnic prin care se conferă materialelor granulare dispersate într-un fluid proprietăți asemănătoare fluidelor. Utilizarea procedurii de fluidizare în inginerie și tehnologie este larg răspândită din cauza avantajelor oferite:

- intensitate mare a proceselor ce se petrec în stratul fluidizat;
- pierderi reduse de presiune la aceeași viteză comparativ cu cele din strat fix;
- posibilitatea de a lucra în proces continuu sau discontinuu;
- comoditate în adoptarea sistemelor de automatizare, vehiculare comodă a solidelor, posibilitatea reciclării materialului fluid;

Dintre dezavantaje enumerăm:

- energie mare necesară la mărunțirea solidelor;
- debite relativ mari de fluid, (lichid sau gaz), care trebuie vehiculate și apoi reciclate și apoi desprăfuite la eliminarea în atmosferă.

Dintre utilizările tehnicii stratului fluidizat se amintesc:

A. Procese fizice:

- Transfer de căldură și masă între particule și gaz: uscarea solidelor, răcire, înghețare, absorbție, adsorbție;
- Transfer de căldură și masă între particule – particule și particule – suprafețe: granulara pulberilor, acoperirea suprafețelor, amestecarea sistemelor disperse, transportul hidraulic, filtrarea prafului;
- Transfer de căldură între particule și suprafețe: tratarea termică a fibrelor, băi de tratare termică.

B. Procese chimice:

- Reacții gaz: gaz cu catalizator solid și/sau agent termic: cracarea petrolului, fabricarea acrilonitrilului și anhidridei ftalice, oxidarea compușilor organici;
- Reacții gaz–solid: combustia, carbonificarea și gazeificarea cărbunilor; reacții de calcinare și decarbonare, prăjirea minereurilor, reacții catalitice diverse.

II. SCOPUL LUCRĂRII

Construcția experimentală și determinările prin măsurători directe pe sistemul experimental conduc la următoarele puncte de interes didactic și de interpretare:

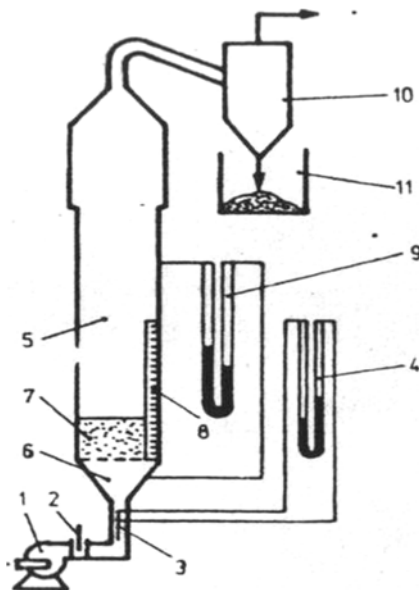
- cunoașterea calitativă a fenomenului de fluidizare;
- determinarea experimentală a dependențelor: $\Delta p_{sf} = \Delta p(w)$; $Q_{sf} = Q(w)$, $\varepsilon = \varepsilon(w)$;
- verificarea relațiilor teoretice de calcul a vitezei minime de fluidizare prin compararea cu datele experimentale.

III. DESCRIEREA INSTALAȚIEI

Instalația experimentală este schițată în Fig.5. 1. și se compune dintr-un ventilator (1), care introduce în coloana de fluidizare (5) aer cu debit reglabil prin intermediul șiberului (2) și măsurat cu tubul Pitot – Prandtl (3) la manometrul (4) etalonat direct în [1/s]. Temperatura aerului poate fi măsurată cu termometrul (6) pentru a se putea determina viscozitatea și densitatea agentului de fluidizare. La trecerea prin stratul de granule (7), a cărui înălțime poate fi măsurată cu o riglă gradată (8), pierderea de presiune în strat $\Delta p_{\text{tot}} = \Delta p_{\text{sf}}$ se măsoară cu manometrul diferențial (9) cuplat deasupra și dedesubtul stratului. Particulele antrenate din strat sunt separate în ciclonul (10) și colectate într-un vas (11).

IV. MODUL DE LUCRU

1. Se verifică integritatea instalației.
2. Se introduce în coloană pulberea fină antrenată și recuperată din vasul (11) și se închide coloana.
3. Se pornește ventilatorul (1) și se măsoară debitul și pierderea de presiune în coloană la debitul de agent de fluidizare considerat „0”, adică având șiberul în poziția „închis”.
4. Se modifică progresiv debitul de aer insuflat cu ajutorul șiberului (2) pornind de la acest debit „0”. Se recomandă ca operarea să se execute astfel încât denivelarea manometrului indicator de debit să se modifice cu aproximativ 5 [mm H₂O]. Se notează denivelarea indicatorului de debit, debitul, pierderea de presiune în strat, înălțimea stratului și temperatura aerului.
5. Se repetă determinările până la debitul maxim al ventilatorului, notându-se debitul la care apar primele granule în vasul (11), (particule antrenate din strat).
6. Determinările se continuă în sens invers, reducând debitul de aer cu același pas de debit, până la debit „0”.
7. Se oprește ventilatorul.

Fig. 5.1. *Schița instalației experimentale*

1 - ventilator; 2 - șiber; 3 tub Pitot-Prandtl; 4, 9 - manometre; 5 - coloana de fluidizare;
6 - termometru; 7 - strat de granule; 8 - riglă; 10 - ciclon; 11 - vas de captare

V. PRELUCRAREA DATELOR EXPERIMENTALE

Datele măsurate pe instalație și cele calculate se trec în Tab. 1.

Tab. 1. *Fluidizarea materialelor solide*

Nr. crt.	T	Δh_Q	Q_v	Δh_{sf}	Δp_{sf}	H_{sf}	w_f	ρ_{sf}	ε_w	$\lg \Delta p$	$\lg w_f$
um	[°C]	[mm]	[m³/s]	[mm H₂O]	[Pa]	[m]	[m/s]	[kg/m³]	[-]	[-]	[-]
0	1	2	3	4	5	6	7	8	9	10	11

Prelucrarea datelor se face astfel:

1. Se calculează cu relația (5) viteza fictivă w_f : $w_f = Q_v/S$ [m/s];

unde: - S este secțiunea transversală a coloanei de fluidizare, $S = (\pi \cdot D^2)/4$; [m²];

- D este diametrul coloanei, [m].

2. Se calculează pierderea de presiune în stratul fluidizat și coloană cu relația:

$$\Delta p_{sf} = \Delta p_{tot} = \rho_M \cdot g \cdot \Delta h_M; \quad [\text{Pa}];$$

în care: - ρ_M este densitatea lichidului manometric, apă, 1 000 [kg/m³].

3. Se calculează porozitatea stratului fluidizat: $\varepsilon_w = 1 - \frac{H_0}{H_{sf}} \cdot (1 - \varepsilon_0);$

unde: - ε_0 este porozitatea inițială a stratului fix, $\varepsilon_0 = 0,38$.

4. Se calculează densitatea stratului fluidizat cu relația:

$$\rho_{sf} = M_{sf}/V_{sf} = (\rho_{gr} \cdot H_0)/H_{sf}; \quad [\text{kg/m}^3].$$

5. Se reprezintă grafic: $\Delta p_{sf} = \Delta p(w_f)$; $Q_{sf} = Q(w_f)$ și $\varepsilon = \varepsilon(w_f)$ pe același grafic, trasându-se $\Delta p_{sf} = f(w_f)$ atât la debit crescător cât și la debit scăzător.

6. Se determină w_{min} de fluidizare teoretică după relațiile lui Rowe și Todes și se compară cu viteza minimă de fluidizare determinată experimental, pe baza

graficului $\Delta p_{sf} = f(w_f)$.

$$w_{min} = 8,1 \cdot 10^{-4} \cdot \frac{(\rho_s - \rho_f) \cdot d_s^2}{\eta_f}; \quad Re_{cr} = \frac{Ar}{1400 + 5,22 \cdot \sqrt{Ar}};$$

$$Re_{cr} = \frac{w_{min} \cdot d_s \cdot \rho_f}{\eta_f}, \quad \text{iar} \quad Ar = \frac{d_s^3 \cdot (\rho_s - \rho_f) \cdot \rho_f \cdot g}{\eta_f^2}.$$

Fluidizarea, date experimentale preluate de pe instalația experimentală

$T_{aer} = 20$ [°C]; $Q_{grămadă} = 800$ [kg/m³]; $Q_{particulă} = 1150$ [kg/m³]; $D_{coloană} = 74$ [mm]

H_{sf} [mm]	Δh_{sf} [mm]	Δh_{debit} [mm]	Q_v [m³/s] $\times 10^3$
97	23	23	0,28
97	35	37	0,48
97	44	45	0,60
97	53	55	0,74
150	57	61	0,86
220	61	70	1,04
260	63	80	1,28
290	67	102	2,24
340	68	114	3,50
390	68	117	3,86
420	70	123	4,48
390	68	120	4,20
370	66	110	3,20
330	65	92	1,68
290	63	85	1,40
280	63	75	1,14
240	60	65	0,94
210	59	62	0,88
160	53	58	0,80
94	53	54	0,74
94	43	44	0,56
94	29	29	0,38

6. COEFICIENȚI GLOBALI, (TOTALI), DE TRANSFER TERMIC, (K), ÎN SCHIMBĂTOARELE DE CĂLDURĂ TUBULARE

I. CONSIDERAȚII TEORETICE

Schimbătoarele de căldură de tip recuperativ, una din categoriile cele mai importante pentru industria chimică și nu numai, realizează schimbul termic între fluide separate prin pereți de diverse geometrii. Calculul și dimensionarea acestora necesită cunoașterea caracteristicilor fizice, starea de agregare și dinamica fluidelor: viteza, sensul de curgere, natura și geometria peretelui despărțitor, elemente care se regăsesc în mărimea complexă numită **coeficient global** sau **total** de transfer termic, k , $[W/m^2 \cdot ^\circ K]$.

Fie un segment de arie unitară dintr-un perete plan de grosime δ , $[m]$, care separă un fluid cald, (1), cu temperatura T_1 , $[^\circ C]$, de altul rece, (2), cu temperatura T_2 , $[^\circ C]$, între care are loc schimbul de căldură, Fig.1. Ca mecanism, procesul surprinde 3 etape: transferul prin convecție de la fluidul cald la perete, trecerea căldurii prin perete, (mecanism conductiv) și preluarea acesteia de către fluidul rece, de asemenea prin mecanism convectiv. Cantitatea de căldură schimbată între fluide în unitatea de timp: fluxul termic de suprafață, încărcarea termică, $[W/m^2]$, poate fi redată prin relațiile echivalente:

$$q_s = \alpha_1 \cdot \Delta T_1 = (\lambda/\delta) \cdot \Delta T_2 = \alpha_2 \cdot \Delta T_3 = k \cdot \Delta T \quad (1).$$

(a) (b) (c) (d)

Termenul (b) este expresia fluxului unitar conductiv transferat prin mecanism molecular prin peretele de grosime δ . Mărimea λ este o caracteristică de material a peretelui considerat omogen și izotrop, numită **coeficient de conductivitate termică**, $[W/m \cdot ^\circ K]$. Forța motrice a procesului conductiv: $\Delta T_2 = T_{p1} - T_{p2}$ este diferența temperaturilor pe cele două fețe ale peretelui.

Termenii (a) și (c) redau legea convecției termice în care α_1 și α_2 sunt **coeficienți parțiali de transfer termic convectiv**, α , $[W/m^2 \cdot ^\circ K]$, măsura conductivității termice a straturilor limită realizate la interfața fluid - perete. Inversul acestei mărimi $1/\alpha = R_{cv}$ reprezintă rezistența stratului limită termic la transferul de căldură între fluid și suprafață sau invers.

Ultimul termen, (d), redă **transferul global**, (complex), convectiv - conductiv. Forța motrice a procesului total este $T_{f1} - T_{f2}$, adică diferența temperaturii celor două

fluide. Termenul k este coeficientul global, (total), de transfer termic [$\text{Wm}^2\cdot\text{K}$]. Inversul acestei mărimi $1/k = R_t$ și este rezistența totală la transferul complex de căldură (convectiv -conductiv), se exprimă în [$\text{m}^2\cdot\text{K}/\text{W}$]. Semnificația termenilor și relațiilor între mărimi reiese din Fig. 6. 1.

În regim staționar $q_s = \text{constant}$ și expresia coeficientului global devine:

$$k_s = \frac{1}{R_t} = \frac{1}{1/\alpha_1 + \delta/\lambda + 1/\alpha_2} = \frac{1}{R_{s1} + R_p + R_{s2}} \quad (2).$$

În cazul în care peretele este format din mai multe fâșii, (straturi), longitudinale de grosimi: $\delta_1, \delta_2, \dots, \delta_i, \dots, \delta_n$, cu conductivități $\lambda_1, \dots, \lambda_i, \dots, \lambda_n$, expresia coeficientului total de transfer termic va fi:

$$k_s = \frac{1}{\frac{1}{\alpha_1} + \sum_{i=1}^n \frac{\delta_i}{\lambda_i} + \frac{1}{\alpha_2}} \quad (3).$$

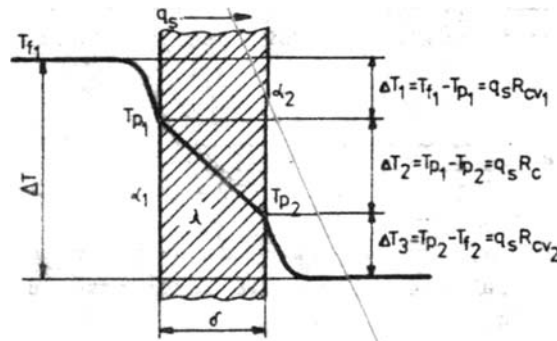


Fig. 6.1. Rezistențele specifice la trecerea căldurii printr-un perete

Dacă aria de transfer, S , [m^2], este oarecare, diferită de unitate, atunci cantitatea de căldură, Q , transferată în unitatea de timp: debit sau flux termic, [W], va fi:

$$Q = S \cdot q_s = k_s \cdot S \cdot \Delta T = \frac{S \cdot \Delta T}{R_t} \quad (4).$$

Transfer de căldură în sisteme cu temperatură variabilă pe suprafață

În mod obișnuit, fluidele implicate în schimbul de căldură se află în deplasare reciprocă, (curent paralel, mixt sau încrucișat) și ca urmare a transferului termic, temperatura lor și a pereților în contact va fi variabilă de-a lungul traseului urmat. Variabilă va fi de asemenea, valoarea parametrilor fizici ai fluidelor și a fluxurilor termice pe diverse segmente ale suprafeței de transfer. Este situația transferului de căldură în regim staționar la temperaturi variabile în lungul suprafețelor de schimb termic întâlnită la schimbătoarele de căldură de tip recuperativ.

Variația temperaturii agenților termici în lungul suprafeței de schimb de căldură se reprezintă grafic în diagrame $T = f(S)$. În Fig. 6. 2., sunt redată diagramele de temperatură pentru schimbătoare de căldură monofazice, adică cele fără schimbare

de fază a fluidelor, la curgerea paralelă în echi și contra-curent și mixtă precum și pentru schimbătoarele bifazice. Fie un schimbător de căldură de tip țevă în țevă în care fluidul cald, (1), curge prin țeava interioară, iar cel rece, (2), prin zona inelară dintre cele două conducte. Sensul reciproc de curgere putem să-l considerăm în echicurent, (Fig. 2a.), regimul de funcționare fiind continuu, (staționar). Transferul termic va decurge schematic după diagrama din Fig. 2a, fluidele modificându-și continuu temperatura de-a lungul peretelui schimbător de căldură, în sens descrescător, (1), respectiv crescător, (2), ajungând în final, (la S tinzând spre infinit), ca ele să fie egale. Fluxul termic, [W], schimbat între fluide prin suprafața S este:

$$Q = k_s \cdot S \cdot \Delta T_{med} ; \quad (5),$$

k_s fiind coeficientul total de transfer termic, iar ΔT_{med} este diferența medie de temperatură, adică forța motrice medie a procesului în ansamblu. Semnificația mărimii ΔT_{med} este de diferență de temperatură echivalentă cu a unui sistem în care agenții termici ar avea pe tot traseul temperatură constantă T_1 și T_2 , (Fig 6. 2. f) și ar schimba același flux termic Q. Diferența medie de temperatură se determină diferit pentru aparatele cu curgere paralelă, în echicurent și în contracurent și pentru curgere neparalelă, în curent încrucișat și mixt. Pentru schimb de căldură în curgere paralelă ΔT_{med} se calculează cu relația:

$$\Delta T_{med} = \frac{\Delta T_{max} - \Delta T_{min}}{\ln \frac{\Delta T_{max}}{\Delta T_{min}}} \quad (6),$$

în care: - ΔT_{max} și ΔT_{min} este diferența maximă și minimă între temperaturile agenților termici la capetele traseului, (Fig. 6.3. și Fig. 6.4.):

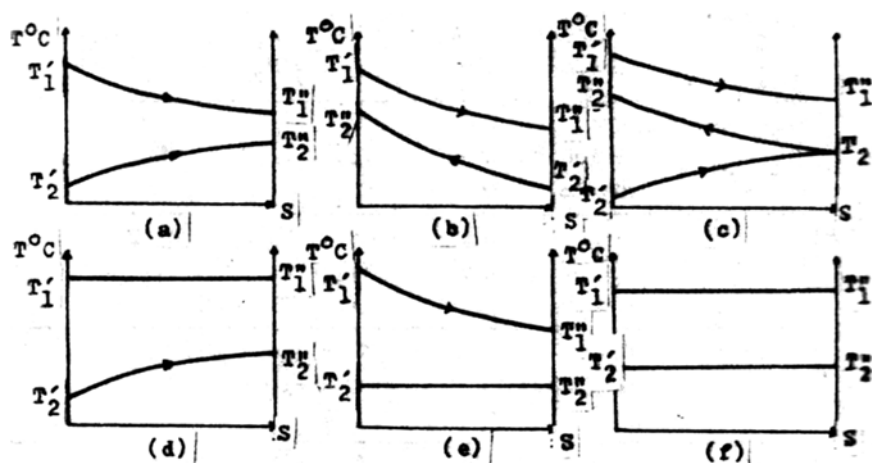


Fig. 6.2. *Diagrame termice $T = f(S)$*

Schimbătoare de căldură monofazice în (a) echicurent; (b) contracurent; (c) mixt

Schimbătoare bifazice, independente de sensul curgerii pentru:

(d) condensatoare; (e) fierbătoare; (f) vaporizare - condensare simultană

Calculul ΔT_{med} la schimbul termic staționar în curent paralel

Trecerea unei cantități de căldură, dQ , printr-un element de arie, (de suprafață), dS , poate fi evaluată prin **ecuațiile de bilanț și de transfer termic**:

- răcirea fluxului cald = căldura transferată prin perete = încălzirea fluxului rece.

$$dQ = -\eta \cdot G_1 \cdot c_{p1} \cdot dT_1 = k \cdot (T_1 - T_2) \cdot dS = \pm G_2 \cdot c_{p2} \cdot dT_2 \quad (7),$$

sau: $dQ = -\eta \cdot W_1 \cdot dT_1 = k \cdot (T_1 - T_2) \cdot dS = \pm W_2 \cdot dT_2 \quad (8),$

în care: - η este coeficientul de reținere al căldurii în aparat.

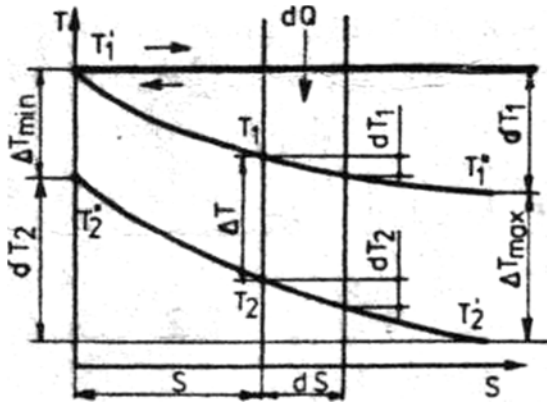


Fig. 6.3. Diagrama termică la curgerea în echicurent

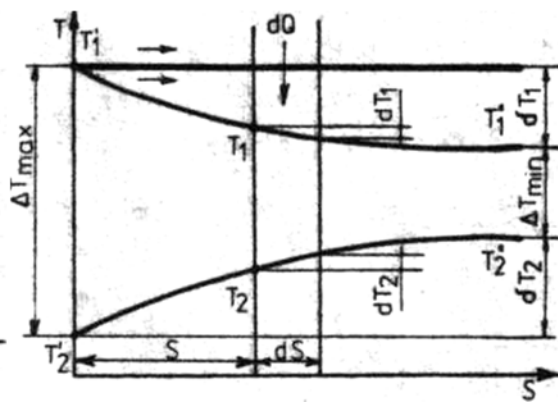


Fig. 6.4. Diagrama termică la curgerea în contracurent

Presupunând $\eta = 1$, $W_1 = G_1 \cdot c_{p1}$ și $W_2 = G_2 \cdot c_{p2}$ sunt capacitățile calorice ale fluidelor [$W/^\circ K$], G_1 și G_2 sunt debitele masice, [kg/s], ale agenților termici, iar c_{p1} și c_{p2} este căldura lor specifică, [$J/kg \cdot ^\circ K$]. Semnul negativ al primului termen marchează sensul de pierdere al căldurii, fluidul se răcește, iar la ultimul, fixează sensul curgerii, (T crește în sens invers coordonatei S în contracurent, vezi Fig. 6.4. Din termenii de bilanț, $(-\eta \cdot W_1 \cdot dT_1)$ și $(\pm W_2 \cdot dT_2)$ ai ecuației (8) se explicitează dT_1 și dT_2 iar din Fig. 6. 3. și Fig. 6. 4. reiese că schimbul termic are loc la o forță motrice egală cu diferența acestora:

$$dT_1 - dT_2 = d(T_1 - T_2) = d\Delta T = -dQ \cdot \left(\frac{1}{W_1} \pm \frac{1}{W_2} \right) = -m \cdot dQ \quad (9),$$

în care:
$$m = \left(\frac{1}{W_1} \pm \frac{1}{W_2} \right) = \frac{1}{G_1 \cdot c_{p1}} \pm \frac{1}{G_2 \cdot c_{p2}} \quad (10).$$

Pentru echicurent $m = [(1/W_1) + (1/W_2)]$, iar pentru contracurent $m = [(1/W_1) - 1/W_2]$. În ultimul caz mărimea m poate fi $m > 0$, $m = 0$ sau $m < 0$, după valoarea absolută a termenilor W_1 și W_2 . În diagramele de temperatură: $T = f(S)$, valoarea capacității termice W_1 și W_2 se evidențiază prin pantele curbelor de temperatură ale celor două fluide, (Fig. 6. 3., Fig. 6. 4.). Situația $W_1 = \infty$ corespunde schimbului de căldură însoțit de condensare, schimb bifazic, iar $W_2 = \infty$, corespunde vaporizării.

Din ecuația (9) se poate evalua căldura transferată pe întreaga arie de transfer, (pe toată suprafață), când temperaturile T_1 și T_2 variază de la intrarea în schimbător:

T'_1, T'_2 , înspre ieșirea lor: T''_1, T''_2 prin integrare: $\int_{T'_1-T'_2}^{T''_1-T''_2} d(T_1 - T_2) = -m \int_0^Q dQ$, obținând

pentru echicurent, (Fig. 6.3): $(T''_1 - T''_2) - (T'_1 - T'_2) = -m \cdot (Q - 0)$; sau:

$$Q = -\frac{\Delta T'' - \Delta T'}{m} = \frac{\Delta T' - \Delta T''}{m} = \frac{\Delta T_{\max} - \Delta T_{\min}}{m} \quad (11).$$

Pe de altă parte, cu termenul mijlociu, $k \cdot (T_1 - T_2) \cdot dS$, din ecuația (8) și relația (9) se poate scrie:

$$dQ = k(T_1 - T_2)dS = -\frac{d(T_1 - T_2)}{m} \quad (12),$$

sau după separarea variabilelor: $\frac{d(T_1 - T_2)}{T_1 - T_2} = -m \cdot k \cdot dS$, și integrare între limitele

temperaturilor agenților termici la intrare și la ieșire, respectiv suprafață: $S = 0$ și $S = S$:

$$\int_{T'_1-T'_2}^{T''_1-T''_2} \frac{d \Delta T}{\Delta T} = -m \cdot k \cdot \int_0^S dS \quad \text{rezultă:} \quad \ln \frac{T''_1 - T''_2}{T'_1 - T'_2} = -m \cdot k \cdot S \quad (13),$$

sau în transcriere exponențială: $\Delta T'' = \Delta T' \cdot \exp(-m \cdot k \cdot S)$, (14),

în care, pentru cazul analizat (echicurent):

$$\Delta T'' = T''_1 - T''_2 = \Delta T_{\min} \quad \text{și} \quad \Delta T' = T'_1 - T'_2 = \Delta T_{\max}.$$

Ecuația (14) exprimă variația ΔT în lungul suprafeței de schimb caloric și implicit a profilului temperaturilor agenților termici. Cazurile limită corespund condițiilor: $S = 0$, când $\Delta T' = \Delta T_{\max}$ și $S = \infty$, când $\Delta T'' = 0$. În orice altă situație inclusiv S/S_0 , este posibil calculul temperaturilor pentru o arie dată sau invers:

$$\Delta T = T_1 - T_2 = \Delta T' \cdot \exp(-m \cdot k \cdot S), \quad (15).$$

Substituind m între relațiile (13) și (14) se ajunge la expresia și la definirea diferenței medii logaritmice de temperatură, ΔT_{med} :

$$Q = \frac{\Delta T' - \Delta T''}{m} = \frac{\Delta T' - \Delta T''}{-\ln \frac{\Delta T''}{\Delta T'}} \cdot k \cdot S = k \cdot S \cdot \frac{\Delta T' - \Delta T''}{\ln \frac{\Delta T''}{\Delta T'}} = k \cdot S \cdot \Delta T_{\text{med}}, \quad (16),$$

în care raportul:
$$\frac{\Delta T' - \Delta T''}{\ln \frac{\Delta T''}{\Delta T'}} = \frac{\Delta T_{\max} - \Delta T_{\min}}{\ln(\Delta T_{\max} / \Delta T_{\min})} = \Delta T_{\text{med}} \quad (17).$$

este diferența de temperatură medie logaritmică. Relația (17) se aplică și pentru circulația în contracurent, Fig. 6. 4. Se cuvine menționat că pentru aceleași condiții de operare: debite, arie, temperaturi ale agenților termici, ΔT_{med} contracurent $>$ ΔT_{med} echicurent, adică rezultă o suprafață mai mică pentru același flux termic, Q , ori fluxuri mai mari pentru circulația în contracurent la arii egale, respectiv $Q_{\text{cc}} > Q_{\text{echi}}$.

II. SCOPUL LUCRĂRII

Constă în:

- determinarea coeficientului global de transfer de căldură;
- stabilirea variației coeficientului global de transfer de căldură, k , cu:
- debitul de fluid cald sau rece;
- temperatura de intrare a fluidului cald;
- variația grafică a temperaturilor în lungul schimbătorului pentru cele două fluide.

Variantele de lucru se pot realiza în echicurent sau în contracurent.

III. DESCRIEREA INSTALAȚIEI

Schița instalației este prezentată în Fig.6. 5. Schimbătorul de căldură constă din două țevi coaxiale. Termostatul asigură apă caldă încălzită la temperatură constantă. Debitele de apă se măsoară cu rotametrele (2) iar reglarea lor se face cu robinetele (4). Temperatura se măsoară cu ajutorul termometrelor (3). Reglarea temperaturii apei la termostat se face cu ajutorul termometrului indicator-regulator. Circulația se poate asigura în echicurent sau contracurent.

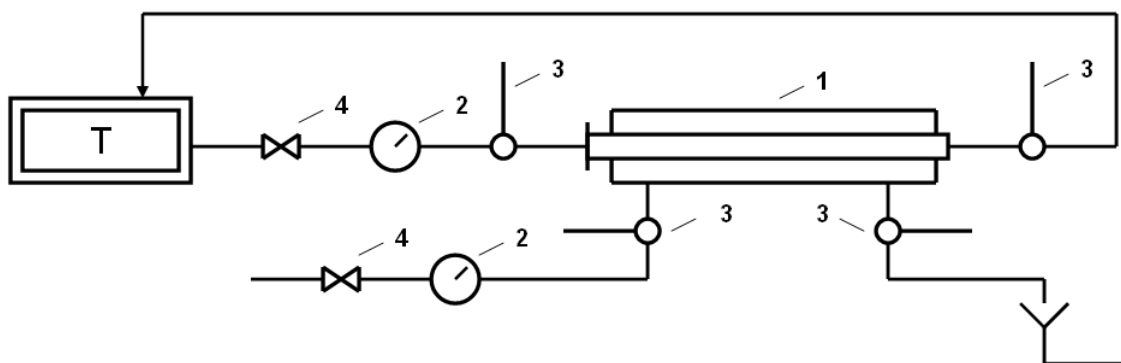


Fig. 6.5. Schema instalației experimentale
T - termostat; 1 - schimbător de căldură; 2 - debitmetre;
3 - termometre; 4 – robinet de reglare.

IV. MODUL DE LUCRU

a). Variația coeficientului de transfer termic cu debitul apei calde

Se verifică etanșeitățile instalației, funcționarea termostatului și rotametrelor, după care se dă drumul la termostat, reglând temperatura la valoarea aleasă pentru circuitul cald. Se recomandă pentru apă caldă domeniul de lucru între 60-80 [°C]. Se fixează debitele pentru fluidul cald și cel rece. Debitul de apă caldă se fixează inițial la o valoare minimă. Se urmărește atingerea regimului staționar având grijă ca debitul celor două fluide și temperaturile de intrare să fie constante. Se consideră atins regimul staționar când temperatura termometrelor rămâne constantă timp de 5-10 minute.

Se trece apoi la efectuarea următoarelor determinări cu debit mărit al fluidului cald, respectând același mod de lucru. (Debitul de apă caldă se modifică la o valoare medie și una mare).

b) Variația coeficientului de transfer termic cu temperatura fluidului cald

Se fixează debitul celor două fluide și sensul de circulație ales, echicurent sau contracurent.

Se fixează temperatura apei calde prin reglarea termometrului regulator-indicator. După atingerea regimului staționar se notează debitele fluidelor și temperaturile indicate la termometre. Se repetă determinările la temperaturi mai mari. (Se efectuează minimum 3 determinări).

V. ÎNREGISTRAREA DATELOR EXPERIMENTALE

În Tab. 1 se vor trece datele obținute experimental și cele calculate.

Nr crt	G ₁ (cald)	G ₂ (rece)	T _{ci}	T _{ce}	T _{ri}	T _{re}	ΔT _{med}	k
UM	[kg/s]	[kg/s]	[°C]	[°C]	[°C]	[°C]	[°C]	[W/m ² ·°K]
0	1	2	3	4	5	6	7	8

VI. PRELUCRAREA DATELOR EXPERIMENTALE

1. După completarea tabelului cu date experimentale se reprezintă grafic diagrama termică: variația temperaturii pe lungimea schimbătorului.

2. Se calculează fluxurile termice Q₁ și Q₂: $Q_i = m_i \cdot c_{p,i} \cdot \Delta T_i$ [W],

unde: - m_i este debitul masic de apă caldă sau rece, [kg/s];

- c_{p,i} este căldura specifică a apei, 4185 [J/kg °K];

- ΔT_i este diferența de temperatură a apei calde și reci: ΔT = T_{intrare} - T_{ieșire}

3. Se calculează aria de transfer termic S: $S = \pi \cdot d \cdot l$ [m²].

unde: - d este diametrul mediu al țevii interioare, [m];

- l este lungimea schimbătorului, [m].

4. se determină din diagrama termică diferența medie logaritmică de temperatură, ΔT_{med}, [°K].

5. Se calculează coeficientul global de transfer termic, k, [W/m²·°K].

K în regim staționar, date experimentale de pe instalațiile de laborator

1.

$Q_{vc} Q_{vr}$ $T_{ci}[^{\circ}\text{C}]$ $T_{ce}[^{\circ}\text{C}]$ $T_{c1}[^{\circ}\text{C}]$ $T_{c2}[^{\circ}\text{C}]$ $T_{c3}[^{\circ}\text{C}]$ $T_{c4}[^{\circ}\text{C}]$ $T_{c5}[^{\circ}\text{C}]$ $T_{c6}[^{\circ}\text{C}]$ $T_{ri}[^{\circ}\text{C}]$ $T_{re}[^{\circ}\text{C}]$
 [l/h] [100 ml/ τ]

72	16	32	19	16	16	16	15	15	15	15	18
72	35	47	31	19	18	17	17	16	16	15	21
72	70	51	35	21	21	20	19	18	17	16	23

2.

$Q_{vc} Q_{vr}$ $T_{ci}[^{\circ}\text{C}]$ $T_{ce}[^{\circ}\text{C}]$ $T_{c1}[^{\circ}\text{C}]$ $T_{c2}[^{\circ}\text{C}]$ $T_{c3}[^{\circ}\text{C}]$ $T_{c4}[^{\circ}\text{C}]$ $T_{c5}[^{\circ}\text{C}]$ $T_{c6}[^{\circ}\text{C}]$ $T_{ri}[^{\circ}\text{C}]$ $T_{re}[^{\circ}\text{C}]$
 [l/h] [l/h]

55	21,95	52	35	14	17	18	20	22	25	14
59	21,95	52	35	14	16	17	20	22	25	14
70	21,95	52	35	14	17	18	19	22	26	14

7. TRANSFER DE CĂLDURĂ ÎN SISTEME BIFAZICE**I. CONSIDERAȚII TEORETICE**

Fierberea este definită ca trecerea unui lichid în stare de vapori prin absorbție de căldură latentă la temperatura și presiunea de saturație. Fiind vorba de trecerea unui lichid în stare de vapori, fierberea este posibilă pe tot intervalul de existență al sistemelor bifazice lichid-vapori, adică între punctul triplu și punctul critic al substanței. Transferul termic la fierberea lichidelor a fost intens studiat din cauza importanței deosebite pe care îl are acest fenomen în practica zilnică, dar mai ales în tehnică și datorită multitudinii de situații în care se manifestă din punct de vedere al geometriei spațiului în care are loc fierberea; naturii lichidelor care pot fi supuse fierberii și diversității de factori de influență asupra fenomenului. Transferul căldurii de la suprafața peretelui cald la lichidul în fierbere este caracterizat prin coeficientul parțial de transfer termic la fierbere, α_f , coeficient ce cumulează toți factorii ce pot influența fierberea. Forța motrice a transferului de căldură este diferența între temperatura peretelui și temperatura lichidului. În funcție de valoarea forței motrice se modifică atât fluxul termic unitar, q , cât și coeficientul parțial de transfer termic la fierbere, α_f .

La diferențe mici de temperatură între perete și fluid, (0 - 2,5 [$^{\circ}\text{C}$]), căldura se transmite datorită curenților de convecție ce apar datorită micilor modificări a

proprietăților fizico-chimice ale lichidului, fierberea fiind puțin intensă, la fel și amestecarea lichidului în vas. În acest domeniu, fluxul termic, q , [W], este proporțional cu forța motrice la puterea $5/4$, $q \approx \Delta T^{5/4}$.

La diferențe ceva mai mari de temperatură între peretele încălzitor și lichidul în fierbere, (2,5 - 6 [°C]), de pe perete se desprind bule mici de vapori care urcă spre suprafața liberă. Întâlnind straturi cu lichid ceva mai rece, chiar cu câteva zecimi de grad, unele din aceste bule pot condensa în masa de lichid, altele vor ajunge la suprafață. Datorită mișcării lor în masa de lichid, se vor intensifica curenții de convecție în masa de lichid. Fluxul termic în acest domeniu al fierberii, numit „fierbere cu bule neintensivă”, este proporțional cu ΔT^n , $n \in [2 \div 5]$, ($q \approx \Delta T^n$). Bulele de vapori se formează pe așa zisele „centre de nucleație”, puncte de pe perete de schimb termic care favorizează concentrarea liniilor de câmp termic și unde sarcina termică locală este mai intensă. Aceste centre de nucleație pot fi asperități de pe perete, zgârieturi, granule de nisip, urme de gaze dizolvate în lichid, impurități. Existența centrelor de nucleație ușurează formarea bulelor de vapori, desprinderea și circulația lor în masa de lichid, deci fierberea și transferul de căldură în timpul procesului, așa încât de cele mai multe ori se dorește prezența lor, lucru realizabil prin crearea de rugozități artificiale pe suprafețele de schimb termic, agitarea mecanică sau mai prozaic, prin introducerea de bucățele de porțelan poros în lichidul rece. Bucățelele fie conțin aer absorbit în pori, gaz care se desoarbe formând o circulație locală mai intensă a lichidului, fie prin prezența asperităților și a muchiilor formează puncte concentratoare de linii de câmp termic, ce intensifică la scară microscopică transferul termic.

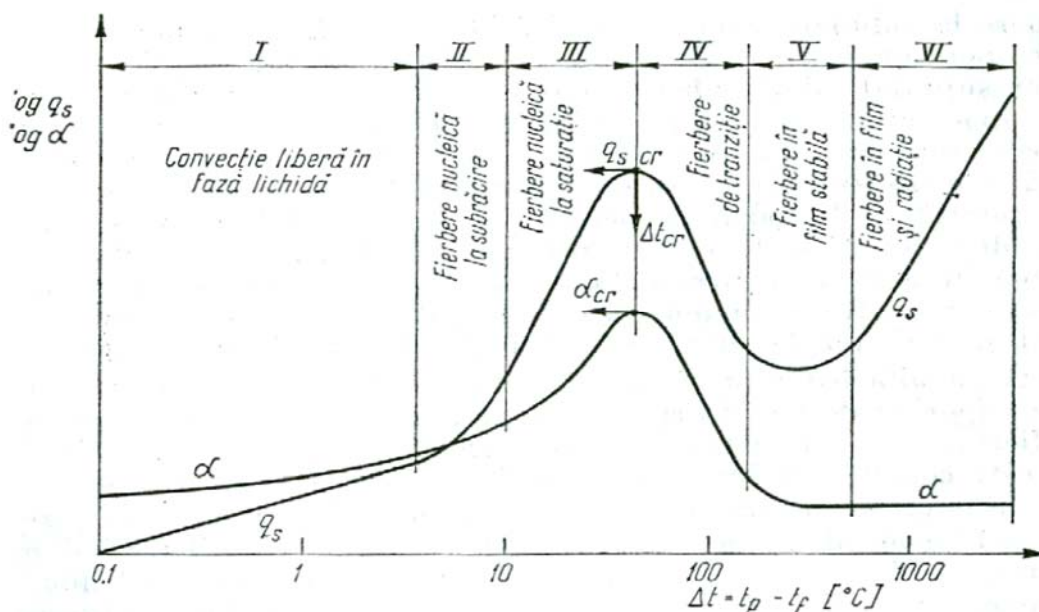


Fig. 7. 1. Diagrama de fierbere, (diagrama Nukiyama) [5]

La diferențe mai mari de temperatură, (36 - 222 [°C]), între perete și fluid, bulele de vapori care se formează la peretele de schimb termic tind să se contopească. La diferențe de temperatură și mai mari, (6 - 36 [°C]), între perete și lichid, fluxul termic transmis lichidului este suficient de mare încât centrele de nucleație să apară și în masa de lichid supraîncălzit, generând o „fierbere în bule intensivă”, domeniul în care mișcarea bulelor de vapori dezvoltă o amestecare intensă în masa de lichid. Este domeniul fierberii cel mai utilizat în tehnică, fluxurile termice transmise fiind mari iar coeficientul de transfer termic, α_f , are și el o valoare ridicată, formând o peliculă de vapori pe care apasă masa lichidului. Aceasta peliculă de vapori este nestabilă, fiind ruptă de masa de lichid și când lichidul atinge suprafața fierbinte a peretelui se formează brusc noi cantități de vapori, care printr-un proces dinamic variabil poate măcar parțial susține lichidul pe pelicula de vapori. Este domeniul fierberii peliculare nestabile. Cu cât pelicula de vapori e mai groasă și mai stabilă datorită creșterii forței motrice a transferului, ΔT și a fluxului termic, q , cu atât coeficientul parțial de transfer, α_f este mai mic. Reducerea coeficientului parțial de transfer apare din cauza schimbării stării de agregare a materialului din apropierea peretelui, de la lichid compact la gaz, astfel că se modifică semnificativ proprietățile fizico - chimice a bazei materiale pentru transportul termic prin pelicula de vapori de lângă peretele fierbinte.

Utilizarea unui asemenea domeniu în practica tehnologică nu este economică și nici recomandată, deoarece simultan cu reducerea fluxului termic preluat de masa de material în fierbere, excesul de căldură se acumulează în perete, fapt care duce la creșterea constantă a temperaturii sale, provocând astfel un efect tip „cascadă”, care generează noi cantități de vapori ce duc la creșterea peliculei de vapori prin scăderea cantității de lichid. S-a constatat că între limitele unei diferențe de temperatură dintre lichid și perete cuprinse între 222-555 [°C] există un echilibru între masa de lichid și de vapori, pelicula de vapori suportând greutatea lichidului. Este domeniul fierberii peliculare. La forțe motrice mai ridicate de 555 [°C] începe să devină importantă participarea radiației termice, atât fluxul termic transmis cât și cel preluat de lichid crescând pe baza schimbării de mecanism de transport, dar α_f nu crește în aceeași măsură. Este domeniul fierberii la radiație. Această descriere a procesului de fierbere și limitele valorilor termice pot fi influențate de o serie de factori: natura, gradul de curățenie și rugozitatea suprafeței de schimb termic, natura, cantitatea și concentrația lichidului supus fierberii, prezența unor substanțe auxiliare, tensioactive în special, presiunea la care are loc fierberea, design-ul spațiului de fierbere etc.

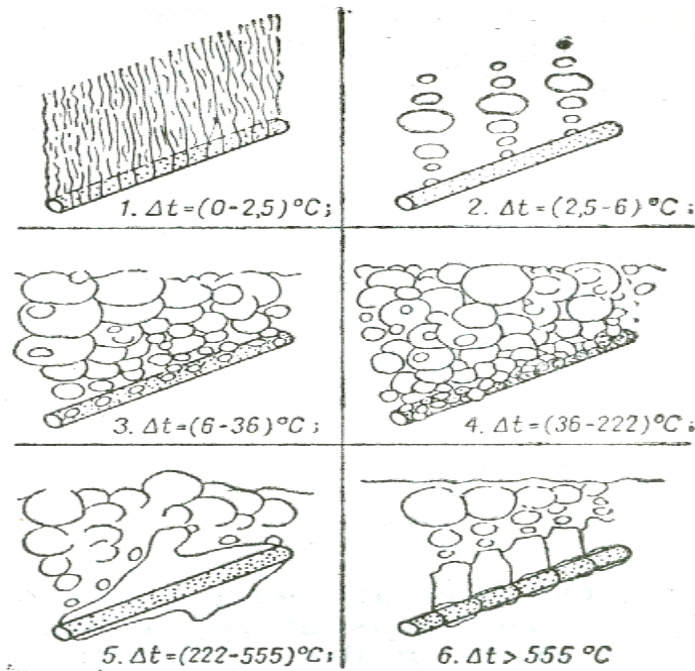


Fig. 7.2. Aspectul amestecului lichid-vapori pentru regimurile de fierbere [6]

Geometria și forma spațiului în care fierbe lichidul are influență asupra aspectului fierberii și limitelor de temperatură între care apar, dar domeniile fierberii sunt practic identice cu fierberea în volum mare.

II. RELAȚII DE CALCUL

Pentru perioada de **încălzire** a lichidului de la temperatura inițială la punctul de fierbere, cantitatea de căldură necesară se poate determina cu relația de calcul a **căldurii sensibile**, adică a **variației energiei interne**:

$$Q_{\text{inc}} = m_{\text{apă}} \cdot c_p \cdot \Delta T_{\text{apă}} = m_{\text{apă}} \cdot c_p \cdot (T_{\text{fierbere}} - T_{\text{inițial}}), \quad [\text{J}],$$

unde: - $m_{\text{apă}}$ este cantitatea de apă supusă încălzirii, [kg];

- c_p apă este căldura specifică a apei, 4185 [J/kg·°K];

- $\Delta T_{\text{apă}}$ este diferența de temperatură între cea de fierbere și cea inițială, [°K] sau [°C].

Pentru perioada de **fierbere**, cantitatea de căldură necesară vaporizării apei se determină din **căldura latentă** absorbită:

$$Q_{\text{vap}} = m_{\text{vap}} \cdot r_{\text{vap}}, \quad [\text{J}];$$

unde: - m_{vap} este cantitatea de apă vaporizată, egală cu cea de vapori formați, [kg];

- r_{vap} este căldura latentă specifică de vaporizare, [J/kg].

Pentru perioada de **răcire** a lichidului de la temperatura de fierbere la cea finală, cantitatea de căldură eliminată se poate determina tot cu relația de calcul a **căldurii sensibile**, adică a **variației energiei interne**:

$$Q_{\text{răc}} = m_{\text{apă rămasă}} \cdot C_p \text{ apă} \cdot \Delta T_{\text{apă}} = m_{\text{apă}} \cdot C_p \text{ apă} \cdot (T_{\text{fierbere}} - T_{\text{final}}), \quad [\text{J}],$$

unde: - $m_{\text{apă}}$ este cantitatea de apă rămasă după fierbere, care se răcește, [kg];

- $C_p \text{ apă}$ este căldura specifică a apei, 4185 [J/kg·°K];

- $\Delta T_{\text{apă}}$ este diferența de temperatură între cea de fierbere și cea finală, [°K] sau [°C].

Puterea termică necesară perioadei de încălzire a apei se determină cu relația:

$$P_{\text{înc}} = Q_{\text{înc}} / \tau_{\text{înc}} \quad [\text{W}],$$

iar randamentul termic este: $\eta = Q_{\text{înc}} / Q_{\text{efectiv}} \quad [\%].$

Pentru perioada de vaporizare: $P_{\text{vap}} = Q_{\text{vap}} / \tau_{\text{fierbere}} \quad [\text{W}],$

iar randamentul termic: $\eta = Q_{\text{vap}} / Q_{\text{efectiv}} \quad [\%].$

Bilanțul termic pentru întreg procesul de încălzire, fierbere și răcire se determină din relațiile generale de calcul: $Q_{\text{cedat}} = Q_{\text{transferat}} = Q_{\text{primit}} + Q_{\text{pierdut total}};$

În această relație Q_{cedat} reprezintă cantitatea de căldură necesară pentru încălzirea și fierberea lichidului: $Q_{\text{cedat}} = Q_{\text{primit}} = Q_{\text{înc}} + Q_{\text{vap}} + Q_{\text{pierdut}}.$

III. SCOPUL LUCRĂRII

Construcția experimentală și determinările prin măsurători directe conduc la următoarele puncte de interes didactic și de interpretare:

- observarea vizuală a procesului de încălzire și de fierbere a apei la presiune atmosferică;
- observarea regimurilor de fierbere;
- determinarea experimentală a coeficientului total de transfer termic la încălzirea și fierberea în regim cvasistaționar;
- determinarea experimentală a variației temperaturii unui lichid care se încălzește, fierbe și se răcește la presiune atmosferică.
- formarea unui model matematic pentru descrierea procesului de încălzire, fierbere și răcire a unui lichid.
- decelarea comportării sistemelor izolate sau neizolate termic.

IV. DESCRIEREA INSTALAȚIEI EXPERIMENTALE

Instalația de laborator este prezentată în Fig. 7.3. Ea este formată dintr-un sistem de două vase identice care conțin aceeași cantitate de apă. Unul dintre vase este izolat termic, celălalt nu. În vase sunt imersate rezistențe electrice având aceeași putere și termometre pentru măsurarea temperaturii.

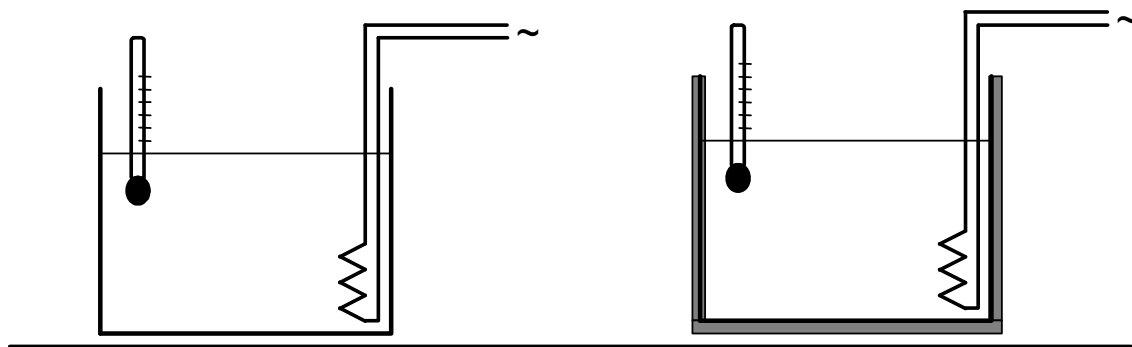


Fig. 7.3. Schema instalației experimentale

V. MODUL DE LUCRU

1. Se introduc în vasele de lucru cantități măsurate și egale de apă.
2. Se măsoară diametrul interior și înălțimea apei din vas.
3. Se introduce în priză sistemul de încălzire și se măsoară temperatura apei din timp în timp, de exemplu din minut în minut sau intervale mai mici. Se notează valorile măsurate într-un tabel temperatură-timp.
4. După atingerea punctului de fierbere, se continuă măsurătorile încă 5-10 minute, se întrerupe încălzirea, dar se continuă prelevarea datelor încă o perioadă de timp de 15-25 minute, apoi se măsoară înălțimea stratului de apă rămasă.

VI. PRELUCRAREA DATELOR EXPERIMENTALE

Datele experimentale se prelucrează astfel:

Tab. 1. Transferul de căldură în sisteme bifazice

Nr. crt.	Timp [min]	Temp [°C]	Q_{mom} [J]	P_{mom} [W]	η [%]	K_{mom} [$\text{Wm}^2 \text{ } ^\circ\text{K}$]	Q_{piereri} [J]	K_{piereri} [$\text{Wm}^2 \text{ } ^\circ\text{K}$]
0	1	2	3	4	5	6	7	8
1								

- pentru perioada de încălzire: $Q_{\text{mom}} = Q_{\text{inc}} = m_{\text{apă}} \cdot c_p \cdot \Delta T_{\text{apă}} = m_{\text{apă}} \cdot c_p \cdot (T_{i+1} - T_i)$;
- pentru perioada de vaporizare, (fierbere): $Q_{\text{mom}} = Q_{\text{vap}} = m_{\text{vap}} \cdot r_{\text{vap}} / \tau_{\text{fierbere}}$;
- pentru perioada de răcire:

$$Q_{\text{mom}} = Q_{\text{rac}} = m_{\text{apă rămasă}} \cdot c_p \cdot \Delta T_{\text{apă}} = m_{\text{apă rămasă}} \cdot c_p \cdot (T_i - T_{i+1});$$

$$P_{\text{momentan}} = Q_{\text{mom}} / (60 \cdot \Delta \tau); \quad \eta = P_{\text{mom}} / P_{\text{efectiv}};$$

$$K_{\text{mom}} = Q_{\text{mom}} / (A \cdot \Delta T \cdot \Delta \tau);$$

$$A = \pi \cdot d \cdot l; \quad d = \text{diametrul încălzitorului, [m]}; \quad l = \text{lungimea încălzitorului [m]}.$$

- pentru perioada de încălzire: $\Delta T = T_{\text{încălzitor}} - (T_{i+1} + T_i)/2$;
- pentru perioada de fierbere: $\Delta T = T_{\text{încălzitor}} - T_{\text{fierbere}}$;
- pentru perioada de răcire.

$$Q_{\text{pierderi}} = Q_{\text{răc}} = m_{\text{apă rămasă}} \cdot C_{p \text{ apă}} \cdot \Delta T_{\text{apă}} = m_{\text{apă rămasă}} \cdot C_{p \text{ apă}} \cdot (T_i - T_{i+1});$$

$$K_{\text{pierderi}} = Q_{\text{pierderi}} / (A_{\text{vas}} \cdot \Delta T \cdot \Delta \tau);$$

$$A = \pi \cdot D \cdot H; \quad D = \text{diametrul vasului, [m]}; \quad H = \text{înălțimea vasului [m]}.$$

$$\Delta T = [(T_i + T_{i+1})/2] - T_{\text{aer din sală}} ;$$

- Se reprezintă grafic:
- variația temperatură - timp;
 - variația căldură momentană - timp; - pierderea de căldură - timp.
 - variația puterii momentană - timp; - variația randament - timp;
 - variația coeficientului total de transfer - timp;
 - variația coeficientului total de transfer termic exterior - timp.

Graficele se vor executa pentru cele două vase: cel izolat și cel neizolat simultan pentru evidențierea diferențelor valorice.

8. USCAREA

I. CONSIDERAȚII TEORETICE

Uscarea este operația unitară de transfer bazată pe difuziunea lichidului dintr-o mixtură solidă înspre aerul atmosferic. În studiul ingineriei uscarea intervine în faza de depozitare a solidelor. Datorită specificului obiectului de studiu al ingineriei, agentul de uscare este aerul atmosferic mai foarte rar alte gaze, iar de multe ori materialul uscat este turta rezultată de la filtrare sau cristalele separate din soluția mumă. Din această cauză, din punct de vedere tehnologic există puține opțiuni în eficientizarea operațiilor. Din punctul de vedere al utilizării surselor alternative de energie, uscarea este o fază principală în lanțul tehnologic.

II. SCOPUL LUCRĂRII

Construcția experimentală și determinările prin măsurători directe conduc la următoarele puncte de interes didactic și de interpretare:

- ridicarea experimentală a curbelor de uscare pentru diferite materiale;
- determinarea punctelor critice pentru uscarea materialelor;
- determinarea vitezei de uscare a materialelor.

III. DESCRIEREA INSTALAȚIEI

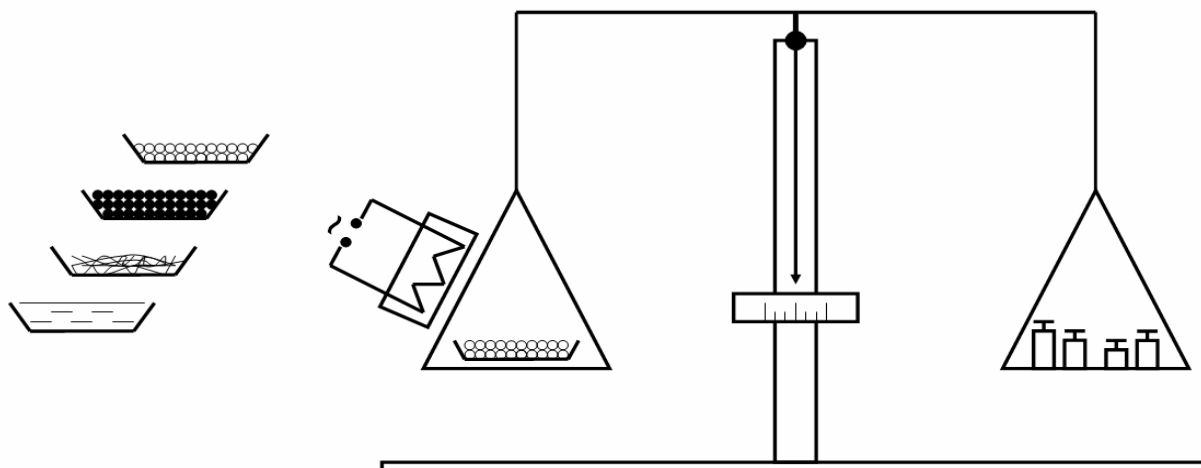


Fig. 8.1. *Schema instalației experimentale*

Instalația experimentală este compusă dintr-o balanță și un sistem de încălzire dirijat înspre materialul supus uscării. Balanța este destinată măsurării cantității de apă îndepărtată în timp din materialul umed, aparatura auxiliară măsurând parametrii aerului care usucă materialul și temperatura acestuia

IV. MODUL DE LUCRU

1. Pe talerul de sub sistemul de încălzire se plasează materialul supus uscării, de exemplu nisip. Se cântărește masa de solid „uscat”, peste care se adaugă o cantitate de apă măsurată, astfel ca întreaga masă de material să fie complet acoperită de lichid.
2. Se măsoară diametrul tăvii cu material.
3. Se echilibrează balanța și se pornește sistemul de încălzire.
4. Se pornește cronometrul și se măsoară timpul în care se elimină cantități egale de umiditate, de exemplu 0,5 [g] sau 1 [g]. Procedura se continuă până la valoarea constantă a masei materialului.
5. Se măsoară temperatura aerului în timpul uscării.

V. PRELUCRAREA DATELOR EXPERIMENTALE

Datele experimentale se trec într-un tabel asemănător celui de mai jos:

Nr. crt	Masa probei [g]	Timp [min]	Δ Timp [s]	Temp [°C]	Vit de usc [kg/m ² ·s]	Umid [kg/kg]
0	1	2	3	4	5	6
1						

1 - Se determină umiditatea inițială, u_i , a probei din datele măsurate pe proba plasată în etuvă. (De regulă această valoare este furnizată de îndrumătorul lucrării, timpul lung de determinare a acestui parametru face practic imposibilă determinarea sa în timpul alocat efectuării lucrării.) $u_{\text{inițial}} = ((m_i - m_f)/m_i) \times 100$, [%],

- m_i este cantitatea inițială a probei din etuvă, [g];

- m_f este cantitatea finală a probei din etuvă, [g].

2 - Se calculează umiditatea momentană din proba experimentală pentru timpii măsurați: $u_{\text{momentan}} = [(b + (a \times u_{\text{inițial}}/100))/(a \times (1 - u_{\text{inițial}}/100))]$;

unde: - b este cantitatea de apă existentă în fiecare moment măsurat, [kg];

- a este cantitatea de material experimental în lucru, [kg];

3 - Viteza de uscare se determină din relația de definiție: este debitul unitar de apă evaporată: $w_{\text{uscare}} = \Delta u / (A \cdot \Delta \tau)$, [kg/m²s],

unde: - A este aria, (suprafața) materialului supus uscării, [m²].

4 - Se trasează curbele caracteristice procesului de uscare:

- curba de uscare: umiditate-timp;

- curba vitezei de uscare: viteza specifică de uscare-timp;

5 - Se citește și se marchează punctele caracteristice uscării.

6 - Se determină constantele de uscare pentru fiecare perioadă caracteristică precum și a coeficientului de difuziune internă utilizând relațiile lor de definiție.

Uscarea: Date experimentale prelevate de pe instalația experimentală a uscării

Diametrul tăvii cu material: $D_t = 176$ [mm];

Masa de solid: 125 [g];

Temperatura de uscare: 72 [°C];

g [g]	125	124,5	124	123,5	123	122,5	122	121,5	121	120,5	120
-------	-----	-------	-----	-------	-----	-------	-----	-------	-----	-------	-----

τ [min]	0	6	12	19	28	37	49	65	84	113	158
--------------	---	---	----	----	----	----	----	----	----	-----	-----

g [g]	119,5	119	118,5	118
-------	-------	-----	-------	-----

τ [min]	211	266	319	382
--------------	-----	-----	-----	-----

BIOFERMENTAȚIA MATERIALELOR ORGANICE

I. CONSIDERAȚII TEORETICE

Considerațiile fenomenologice, biologice și cele legate de derularea procesului de fermentare sunt prezentate pe larg în [43, p. 153-165, 48, p. 133-142], inclusiv determinarea constantelor de viteză a bioreacției.

II. SCOPUL LUCRĂRII

Instalația experimentală și modul de lucru sunt destinate urmării unei reacții biochimice anaerobe de descompunere a glucidelor la bioxid de carbon și alcool etilic prin intermediul drojdiei de bere, *Saccharomyces Cerevisiae*. Scopul și obiectivele lucrării sunt multiple și pot fi adaptate și altor substraturi sau sușe inițiale, (inoculări). O posibilă variantă de lucru este prezentată în tabelul de la finalul lucrării.

- urmărirea derulării reacției anaerobe între zahăr și drojdia de bere;
- determinarea vitezei de reacție globală între substrat, zahăr și drojdii;
- determinarea constantelor de viteză a reacției biochimice;
- studiul influenței parametrilor de operare asupra bioreacției: concentrația substratului și a drojdilor, temperatură, grad de agitare, adausul de nutrienți și concentrația acestora.

III. DESCRIEREA INSTALAȚIEI

Instalația experimentală prezentată schematic în Fig.1. și are drept componentă principală bioreactorul, (1), un balon de sticlă cu șlif în care se introduce masa de reacție și se derulează procesul. Balonul poate fi plasat într-o baie termostatăă, (2), pentru un control riguros al temperaturii. Un agitator magnetic, (3), asigură omogenizarea masei de reacție prin intermediul amestecătorului, (4). Gazele degajate din bioreacție sunt captate într-o biuretă gradată, (5), cuplată la un vas de nivel constant (6). Prin deplasarea pe verticală a vasului cu lichid, (6), se menține și presiunea constantă în sistem, presiune verificată față de cea atmosferică prin intermediul manometrului diferențial deschis, (7). Un robinet cu trei căi, (8), permite echilibrarea presiunii din interior și exterior în momentele de manevrare a materialelor sau în cazul determinărilor cu degajări masive de gaze.

IV. MODUL DE LUCRU

- 1 - Se verifică prezența în manometrul diferențial a lichidului manometric, apă;
- 2 - Se verifică poziția „închis”, „deschis” pe diferitele direcții ale robinetului cu trei căi;
- 3 - Se verifică lipsa particulelor solide pe șliful aparatului și prezența agentului de etanșare, (agentul de ungere), pe acesta. Șliful trebuie uns cu un strat foarte subțire de lubrifiant, pe toată suprafața sa exterioară și interioară;
- 4 - Se verifică prezența sistemului elastic de compactare, de siguranță și reținere a șlifului și dacă este cazul, constanța temperaturii în baia de apă;
- 5 - Se ridică vasul de nivel constant, (6), până la o valoare inițială minimă a nivelului în biureta gradată, valoare ce coincide cu nivelul inițial, V_i [ml], care se notează;
- 6 - Se plasează robinetul cu trei căi astfel încât toate căile să fie libere în raport cu aerul atmosferic;

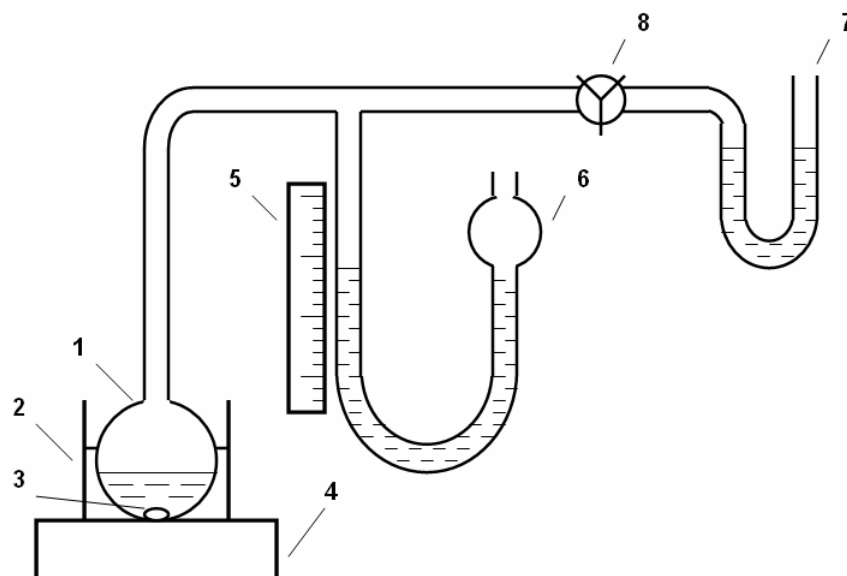


Fig. 1. Schema instalației experimentale pentru studiul bioreacției anaerobe

- 1 - bioreactor; 2 - baie termostată; 3 - amestecător; 4 - agitator magnetic; 5 - biuretă gradată;
6 - vas cu nivel constant; 7 - manometru diferențial; 8 - robinet cu trei căi

- 7 - Se introduce amestecătorul în vas, ținând vasul oblic și plasând amestecătorul pe peretele vasului, NU în cădere liberă;
- 8 - Se cântăresc materialele ce vor fi introduse în reactor: drojdie de bere și zahăr, în funcție de programul indicat de îndrumătorul lucrării;
- 9 - Apa sau soluția ce reprezintă mediul de reacție se utilizează în funcție de indicațiile conducătorului lucrării și se împarte **în trei porțiuni aproximativ egale** pentru fiecare participant la reacție:

- **o treime** din cantitatea de apă se utilizează la mobilizarea, dispersarea și omogenizarea drojdiei cu apa, până când se obține o suspensie fină, pentru spălarea recipientului în care s-a efectuat omogenizarea;

- **o treime** din cantitate se utilizează la dizolvarea totală a zahărului în apă sau soluție;

- **o treime** se utilizează la spălarea recipientilor în care s-a efectuat dispersarea, omogenizarea drojdiei, dizolvarea zahărului și spălarea tuturor recipientilor și introducerea totală a materialului în bioreactor;

10 - Se introduce suspensia de drojdie în bioreactor, având grijă ca să **NU** rămână particule pe gâtul vasului sau pe pereți. Ultima porțiune de lichid trebuie să spele părțile afectate și să introducă întreaga masă de suspensie în vas;

11 - Se stabilește turația amestecătorului și se notează, menținându-se valoarea constantă pe durata determinării;

12 - Se adaugă zahărul complet dizolvat și cu restul solventului se spală aparatura astfel ca toată cantitatea să ajungă în bioreactor;

13 - Se pornește cronometrul, momentul fiind considerat cel inițial;

14 - Se acoperă bioreactorul cu șliful, apoi imediat se întoarce robinetul cu trei căi la 180° . În acest fel se izolează spațiul interior de cel exterior, în condiții identice de lucru. Se asigură șliful bioreactorului cu elementele de siguranță elastice.

15 - Se menține aceeași denivelare manometrică **NULĂ** prin deplasarea pe verticală a vasului de nivel constant. Această operație trebuie să fie **CONTINUĂ**;

16 - Se notează timpii și volumele de gaz degajat din reacție, de preferabil în intervale cât mai mici, (atît de timp, cât și de volum).

V. PRELUCRAREA DATELOR EXPERIMENTALE

Datele experimentale se trec într-un tabel similar cu cel de mai jos:

compoziție: drojdie, [g]; zahăr, (substrat), [g]; soluție totală, [ml]; T, [°C]; n, [rpm].

Tabel 1. Înregistrarea datelor bioreacției pentru:

Nr. crt.	Volum [ml]	Timp [s]	ΔV [ml]	$\Delta \tau$ [s]	$\Delta V / \Delta \tau$ [ml/s]	τ_{med} [s]
0	1	2	3	4	5	6
1						

1 - Se reprezintă grafic curbele: volum de gaz degajat în funcție de timp, $V = V(\tau)$;

2 - Se calculează volumul de gaz captat în intervale de timp: $\Delta V = V_{i+1} - V_i$;

3 - Se calculează intervalele de timp corespunzătoare: $\Delta \tau = \tau_{i+1} - \tau_i$;

4 - Se determină viteza de degajare a gazului: $\Delta V/\Delta\tau$,

5 - Se determină media intervalului de timp: $\tau_{med} = (\tau_i + \tau_{i+1})/2$;

6 - Se reprezintă grafic viteza de degajare a gazului în timp: $\Delta V/\Delta\tau = \Delta V/\Delta\tau(\tau_{med})$.

Drept mediu de reacție, (soluție) se pot utiliza: apa distilată, apa de robinet, soluții sintetice de genul: azotat de amoniu + fosfat de potasiu + clorură de magneziu.

Datele măsurate pot fi utilizate în continuare pentru determinarea conversiei zahărului, ζ [-], în timp: $\zeta = [1 - (c_z / c_{z0})]$; $d\zeta = dc_z / dc_{z0}$; $-r_z = -(dc_z / d\tau)$;

unde: c_{z0} este concentrația inițială a zahărului, [g/ml], [mol/l];

c_z este concentrația momentană a zahărului, [g/ml], [mol/l];

r_z este viteza de consum a zahărului, [g/ml s], [mol/l s].

	1	2	3	4	5	6
m drojdie [g]	12,5/ 100 [mL sol]					
m zahar [g]	5		10		15	
n [rot/min]	0	250	0	250	0	250
timp [min]	V_{CO_2} [mL]					
0	0	0	0	0	0	0
5	0,8	1,6	0,2	6	0,2	2,6
10	1	9,8	2,2	20,4	0,8	10,2
15	2,2	27	3,2	43	1	28,6
20	3,8	44	6,2	70,2	1,2	57,6
25	7,2	72	12,2	82,2	4,2	88
30	13,8	87,4	21,2	127,4	6,2	136,2
35	26	117	34,2	139,4	9,8	187,2
40	44	117	55,2	175,2	32,8	244,2
45	68	163	81,2	201,2	66,2	280,2
50	73	174,4	110,4	211,2	84,2	
55	102	205	144,4	266,2		
60	138	209	148,4	305,2		

FASCICULA IV. Anexe și Tabele

(pentru Fac. Biologie, secția ing. bio.)

1. Masa atomică a unor elemente, aprox. [kg/kmol], [40, p. 495]

Denumire	Simbol	Masa atomică	Denumire	Simbol	Masa atomică
Aluminiu	Al	27	Mangan	Mn	55
Argint	Ag	108	Mercur	Hg	200,5
Arsen	As	75	Molibden	Mo	96
Bariu	Ba	137,5	Nichel	Ni	59
Brom	Br	80	Nitrogen, (Azot)	N	14
Cadmiu	Cd	112,5	Oxygen	O	16
Calciu	C	40	Plumb	Pb	207
Carbon	C	12	Potasiu	K	39
Clor	Cl	35,5	Siliciu	Si	28
Cobalt	Co	59	Sodiu	Na	23
Crom	Cr	52	Staniu	Sn	119
Cupru	Cu	63,5	Stibiu	Sb	122
Fer	Fe	56	Stronțiu	Sr	87,5
Fluor	F	19	Sulf	S	32
Fosfor	P	31	Titan	Ti	48
Hidrogen	H	1	Uraniu	U	238
Iod	I	127	Vanadiu	V	51
Litiu	Li	7	Zinc	Zn	65,5
Magneziu	Mg	24,5	Beriliu	Be	9

2. Grosimi ale tablelor din oțel carbon, slab aliat și oțel aliat, [mm]

STAS 500 - 68, (extras), [41, p. 45]

4; 5; 6; 7; 8; 9; 10; 12; 14; 16; 18;
 20; 22; 25; 28; 30; 32; 35; 38; 40;

3. Diametre acceptate ale virolelor, D_e, [mm] STAS 2883 - 76; (extras), [41, p. 59]

600	1 100	1 600	2 200	3 200
700	1 200	1 700	2 400	3 400
800	1 300	1 800	2 600	3 600
900	1 400	1 900	2 800	3 800
1 000	1 500	2 000	3 000	4 000

4. Diametrele țevelor din oțel carbon, slab aliat și oțel aliat, [mm], [41, p. 63 - 65] **d_e = diametrul exterior, s = grosimea peretelui**

STAS 530 - 71, STAS 404 - 71, STAS 9377 - 73, STAS 9378 -74; (extras)

d_e	16	18	20	25	30	34	38	45	48	57	60	76
s	2	2	2	2	2	2	2	2	2	-	-	-
s	-	-	2,5	2,5	2,5	2,5	2,5	2,5	2,5	-	-	-
s	-	-	-	3	3	3	3	3	3	3	3	
s	-	-	-	4	4	4	4	4	4	4	4	4
s	-	-	-	-	-	8	8	8	8	8	8	8
s	-	-	-	-	-	-	-	-	10	10	10	10

d_e	89	102	108	114	133	140	159	168	219	273	324	356
s	8	8	8	8	8	8	8	8	8	8	8	8
s	10	10	10	10	10	10	10	10	10	10	10	10
s	12	12	12	12	12	12	12	12	12	12	12	12
s	14	14	14	14	14	14	14	14	14	14	14	14

5. Dimensiuni principale ale reactoarelor standardizate, (Catalog IUC Făgăraș)**5.1. Reactor cu impeler, T_{max} : în vas 150 [°C], în manta 165 [°C]**

Tip	$V_{u \text{ vas}}$ [l]	V_{man} [l]	S [m ²]	n [r/m]	M [kg]	D_i [m]	D_m [m]	d_{ag} [m]	H_m [m]
RIp100	175	30	0,84	100	631	0,6	0,7	0,4	0,443
RIp150	300	34	1,15	100	672	0,7	0,8	0,5	0,516
RIp350	450	60	2,00	60	1230	0,8	0,9	0,5	0,650
RIp500	500	120	2,60	60	1430	0,9	1,0	0,5	0,581
RIp800	1000	100	3,60	60	2040	1,0	1,1	0,8	1,08
RIp1600	2000	330	5,00	100	3007	1,3	1,4	0,9	1,21
RIp2000	2680	220	6,50	60	3600	1,4	1,5	1,0	1,36
RIp3000	3300	565	7,00	30	4292	1,6	1,72	1,0	1,27
RIp4000	5000	760	16,0	30	5498	1,8	1,92	1,0	1,57
RIp6000	6720	700	15,6	100	6466	2,0	2,2	1,0	1,962

5.2. Reactor cu ancoră, T_{max} : în vas 150 [°C], în manta 165 [°C], (Catalog IUC Făgăraș)

Tip	$V_{u \text{ vas}}$ [l]	V_{man} [l]	S [m ²]	n [r/m]	M [kg]	D_i [m]	D_m [m]	d_{ag} [m]	H_m [m]
RAc100	170	30	0,80	50	624	0,6	0,7	0,5	0,500
RAc150	240	30	1,20	50	632	0,6	0,7	0,5	0,667
Rac200	300	34	1,15	50	886	0,7	0,8	0,6	0,578
Rac350	450	60	2,00	60	1250	0,8	0,9	0,7	0,715
Rac500	660	120	2,60	60	1431	0,9	1,0	0,857	0,807
Rac800	1000	100	4,00	60	2015	1,0	1,1	0,9	1,150
Rac1200	1530	215	4,20	60	2702	1,2	1,3	1,1	1,150
Rac1600	2000	330	5,00	60	3007	1,3	1,4	1,2	1,275
Rac2000	2200	260	5,50	60	3014	1,4	1,5	1,3	1,450
Rac3000	3300	565	6,00	30	4312	1,6	1,8	1,45	1,350
Rac4000	5000	1000	6,50	30	5424	1,8	1,92	1,65	1,650

6. Valoarea coeficientului de umplere, φ , [-], al (bio)reactoarelor:

- lichide stagnante sau sub amestecare ușoară:	0,80 ÷ 0,83;
- lichide sub agitare ușoară:	0,75 ÷ 0,80;
- lichide sub agitare medie cu spărgătoare de val:	0,72 ÷ 0,76;
- lichide intens agitate cu sparge-val:	0,70 ÷ 0,75;
- reacții cu generare de gaz:	0,60 ÷ 0,65;
- operații cu barbotare de aer:	0,55 ÷ 0,65;
- operații cu generare de spumă:	0,52 ÷ 0,62.

7. Valoarea coeficientului de zveltețe:

- vase plate: tăvi, platforme, cratițe:	0,20 ÷ 0,50;
- vase scunde:	0,50 ÷ 0,80;
- vase „normale”:	0,65 ÷ 1,10;
- reactoare:	1,00 ÷ 1,70;
- reactoare zvelte:	1,80 ÷ 3,50;
- aparate tip „coloană”:	3,50 ÷ 40,0;
- reactoare tubulare:	20,0 ÷ 250,0

8. - Densitatea materialului: $\rho = \frac{M}{V}$, [kg/m³];

- M este masa de material, [kg];
- V este volumul materialului, [m³].

- **Observație:** Dacă materialul nu este pur, el este neomogen, în el fiind prezente și alte materiale, solide, lichide sau gaze. Relația de calcul este aceeași, dar se discută despre **densitatea aparentă**. Pentru materialele granulare uscate, se discută despre **densitatea în vrac**, valoare ce se determină experimental, fiind în funcție de dimensiunile particulelor.

8. 1. - Densitatea unui amestec de lichide miscibile care nu reacționează fizico-chimic este, [40, p. 15]:

$$\frac{1}{\rho_{am}} = \frac{x_1}{\rho_1} + \frac{x_2}{\rho_2} + \frac{x_3}{\rho_3} + \dots = \sum_{i=1}^n \frac{x_i}{\rho_i};$$

- ρ_{am} este densitatea amestecului, [kg/m³];
- ρ_i este densitatea fiecărui component, [kg/m³];
- x_i este fracția masică a fiecărui component în parte, [-].

8. 2. - Densitatea unei suspensii se determină cu relația, [40, p. 15]:

$$\frac{1}{\rho_{amestec}} = \frac{1-x}{\rho_1} + \frac{x}{\rho_s};$$

unde: - x este fracția masică a fazei solide, [-].

8. 3. - Densitatea gazelor ideale, sau a celor reale, departe de punctul critic se calculează cu relațiile, [40, p. 16]: $\rho = \rho_0 \cdot \frac{T_0 \cdot p}{T \cdot p_0}; \quad \rho = \frac{M_m}{22,4} \cdot \frac{273 \cdot p}{T \cdot p_0},$

- $\rho_0 = (M_m/22,4)$ este densitatea gazului în condiții normale, [kg/m³];

- M_m este masa molară a gazului [kg/kmol];

- T este temperatura absolută a gazului, [°K];

Condițiile normale: - Temperatura 273,15 [°K], - Presiunea normală 760 [mm Hg].

8. 4. - Densitatea unui amestec de gaze se determină cu relația, [40, p. 16]:

$$\rho_{am} = y_1 \cdot \rho_1 + y_2 \cdot \rho_2 + y_3 \cdot \rho_3 + \dots + \rho_{am} = \sum y_i \cdot \rho_i;$$

- y_i este fracția molară, (volumică), a componentelor gazoși;

- ρ_i este densitatea fiecărui component, [kg/m³].

8. 5. - Ecuația fundamentală a hidrostaticii este, [40, p. 16]:

$$p = p_0 + \rho \cdot g \cdot h,$$

unde: - p_0 este presiunea de deasupra lichidului, [Pa];

- ρ este densitatea lichidului sau amestecului de lichide, [kg/m³];

- g este accelerația gravitațională, 9,81 [m/s²];

- h este înălțimea coloanei de lichid, [m].

9. - Viscositatea dinamică a apei, η , [Pa·s]×10³ în funcție de temperatură, T , [°C], [40, p. 498]

T [°C]	η [Pa·s]	T [°C]	η [Pa·s]	T [°C]	η [Pa·s]	T [°C]	η [Pa·s]	T [°C]	η [Pa·s]	T [°C]	η [Pa·s]
0	1,792	17	1,083	34	0,7371	51	0,5404	68	0,4174	85	0,3355
1	1,731	18	1,056	35	0,7225	52	0,5315	69	0,4117	86	0,3315
2	1,673	19	1,030	36	0,7085	53	0,5229	70	0,4061	87	0,3276
3	1,619	20	1,005	37	0,6947	54	0,5146	71	0,4006	88	0,3239
4	1,567	21	0,9810	38	0,6814	55	0,5064	72	0,3952	89	0,3202
5	1,519	22	0,9579	39	0,6685	56	0,4985	73	0,3900	90	0,3165
6	1,473	23	0,9358	40	0,6560	57	0,4907	74	0,3849	91	0,3130
7	1,428	24	0,9142	41	0,6439	58	0,4832	75	0,3799	92	0,3095
8	1,386	25	0,8937	42	0,6321	59	0,4759	76	0,3750	93	0,3060
9	1,346	26	0,8737	43	0,6207	60	0,4688	77	0,3702	94	0,3027
10	1,308	27	0,8545	44	0,6097	61	0,4618	78	0,3655	95	0,2994
11	1,271	28	0,8360	45	0,5988	62	0,4550	79	0,3610	96	0,2962
12	1,236	29	0,8180	46	0,5883	63	0,4483	80	0,3565	97	0,2930
13	1,203	30	0,8007	47	0,5782	64	0,4418	81	0,3521	98	0,2899
14	1,171	31	0,7840	48	0,5683	65	0,4355	82	0,3478	99	0,2868
15	1,140	32	0,7679	49	0,5588	66	0,4293	83	0,3436	100	0,2838
16	1,111	33	0,7523	50	0,5494	67	0,4233	84	0,3395		

10. - Viscositatea unor lichide în funcție de temperatură [Pa·s]×10³, [39, p. 352]

	Materialul	0 [°C]	20 [°C]	50 [°C]	70 [°C]	100 [°C]
1.	Acetat de etil	0,61	0,48	0,34	0,26	-
2.	Acid sulfuric 98 [%]	51	27	11	6,5	3,2
3.	Acid sulfuric 60 [%]	11	7,5	4,2	2,9	1,8
4.	Alcool etilic 100 [%]	1,8	1,25	0,72	0,55	-
5.	Alcool etilic 40 [%]	6,5	3,2	1,3	0,7	-
6.	Alcool metilic 100 [%]	0,83	0,62	0,41	0,32	-
7.	Alcool metilic 30 [%]	3,7	2,1	0,95	0,6	-
8.	Benzen	0,9	0,64	0,36	-	-
9.	Etilenglicol	62	22	5,2	2,4	-
10.	Glicerină 100 [%]	?	?	128	65	13
11.	Glicerină 50 [%]	13	6,3	2,4	1,4	0,68
12.	Octan	0,71	0,55	0,4	0,32	-
13.	Toluen	0,79	0,62	0,45	0,36	0,28

11. - Viscositatea dinamică a aerului, η , [Pa·s]×10³, în funcție de temperatură, T, [°C], [43, p. 257]

T [°C]	η [Pa·s]	T [°C]	η [Pa·s]	T [°C]	η [Pa·s]	T [°C]	η [Pa·s]
-50	0,0150	200	0,0258	450	0,0340	700	0,0420
0	0,0175	250	0,0275	500	0,0355	800	0,0450
50	0,0198	300	0,0290	550	0,0375	900	0,0475
100	0,0218	350	0,0305	600	0,0390	1000	0,0500
150	0,0238	400	0,0335	650	0,0408	1500	0,0620

12. - Valoarea viscozității dinamice a lichidelor se poate lua din tabele, nomograme, prin calcul sau se poate efectua experimental

- O relație de calcul este, [40, p. 17]: $\lg(\lg \eta) = \left(\sum A \cdot n + \sum r \right) \cdot \frac{\rho}{10^3 \cdot M_m} - 2,9$,

unde: - η este viscozitatea lichidului la presiune atmosferică și 20 [°C]; în [miliPoise];

- ρ este densitatea lichidului, [kg/m³];

- M_m este masa moleculară a lichidului, [kg/kmol];

- n este numărul de atomi de același fel, [-];

- A este constanta de viscozitate a atomului respectiv;

- r este corecția datorată structurii moleculare.

- Valorile acestor parametri sunt prezentate în continuare:

Atomii	H	O	N	Cl	Br	I	C
A	2,7	29,7	37,0	60,0	70,0	110,0	50,2

Nr. crt.	Grupări și legături chimice	r
1	Legătură dublă	- 15,5
2	Inel cu cinci atomi de carbon	- 24,0
3	Inel cu șase atomi de carbon	- 21,0
4	Catena laterală la inel cu 6 carboni M < 17	- 9,0
5	M > 17	- 17,0
6	Poziții orto și para substituie	+ 3,0
7	Poziția meta substituită	+ 1,0
8	(R ₁ R ₂)-CH – CH-(R ₃ R ₄)	+ 8,0
9	Carbon cuaternar	+ 13,0
10	Grupare aldehidică	+ 16,0
11	Grupare cetonică	+ 5,0
12	Poziție vinilică, - CH = CH – CH ₂ – X, X, grupare electronegativă	+ 4,0
13	(R ₁ R ₂) – CH – X	+ 6,0
14	- OH	+ 24,7
15	- COOH	- 19,6
16	- COOH	- 7,9
17	- NO ₂	- 16,4

13. - Viscositatea unui amestec de lichide perfecte, (neasociate), se calculează cu relațiile, [40, p. 18]:

$$\mathbf{a)} - \lg \eta_{am} = x_1 \cdot \lg \eta_1 + x_2 \cdot \lg \eta_2 + x_3 \cdot \lg \eta_3 + x_4 \cdot \lg \eta_4 + \dots \quad \lg \eta_{am} = \sum x_i \cdot \lg \eta_i ;$$

unde: - η_{am} este viscositatea amestecului, [Pa·s];

- x_i este fracția molară a fiecărui component, [-].

$$\mathbf{b)} - [40, p. 18]: \quad \frac{1}{\eta_{am}} = \frac{x_{v1}}{\eta_1} + \frac{x_{v2}}{\eta_2} + \frac{x_{v3}}{\eta_3} + \dots \quad \frac{1}{\eta_{am}} = \sum_1^n \frac{x_{vi}}{\eta_i};$$

unde: - x_{vi} este concentrația volumică a fiecărui component, [%].

14. - Viscositatea unei suspensii diluate, cu concentrația < 10 [% volumice], se determină cu relația Einstein, [40, p. 19]: $\eta_s = \eta_l \cdot (1 + 2,5 \cdot \varphi);$

unde: - φ este concentrația volumică a fazei solide din suspensie, [% volumice].

15. - Viscositatea unei suspensii diluate, cu concentrația < 30 [% volumice], se determină cu relația, [40, p. 19]:

$$\eta_s = \eta_l \cdot \left(\frac{0,59}{(0,77 - \varphi)^2} \right);$$

16. - Valoarea viscozității dinamice a gazelor se poate lua din tabele, nomograme, prin calcul sau experimental

a) - O relație de calcul este, [40, p. 18]:

$$\frac{M_{am}}{\eta_{am}} = \frac{y_1 \cdot M_1}{\eta_1} + \frac{y_2 \cdot M_2}{\eta_2} + \frac{y_3 \cdot M_3}{\eta_3} + \dots \quad \frac{M_{am}}{\eta_{am}} = \sum_1^n \frac{y_i \cdot M_i}{\eta_i};$$

unde: - η_{am} ; η_i este viscositatea amestecului de gaze sau a componentilor, [Pa·s];

- y_i este fracția volumică a componentilor gazului, [-];

- M_{am} ; M_i este masa moleculară a amestecului, [kg/kmol];

b) - Altă relație de calcul este, [40, p. 18]:

$$\eta_{am} = \frac{\sum y_i \cdot \eta_i \cdot \sqrt{M_i \cdot T_{cri}}}{\sum y_i \cdot \sqrt{M_i \cdot T_{cri}}};$$

- T_{cri} este temperatura critică a gazului i , [°K].

17. - Valorile expresiei $\sqrt{M \cdot T_{cr}}$ pentru diferite gaze sunt date mai jos, [20, p. 25; [40, p. 500]:

Nr. crt.	Gazul	M [kg/kmol]	T_{cr} [°K]	$\sqrt{M \cdot T_{cr}}$
1	Vapori de apă	18	647	108
2	Aer	29	132,7	61,9
3	Bioxid de carbon	44	304	115,5
4	Azot	28	126	59,5
5	Oxygen	32	154	70,2
6	Hidrogen	2	33	8,13
7	Oxid de carbon	28	134	61,4
8	Metan	16	190	55,1
9	Etilmă	28	283	89,0
10	Etan	30	305	95,6
11	Propan	44	370	128
12	Butan	58	426	157
13	Pentan	72	470	184
14	Hexan	86	508	209

18. - Variația viscozității gazelor cu temperatura se poate determina cu relația,

[40, p. 18]:

$$\eta_T = \eta_0 \cdot \frac{273 + C}{T + C} \cdot \left(\frac{T}{273} \right)^{3/2};$$

unde: - η_T ; η_0 este viscozitatea gazului la T [°K] respectiv la 273 [°K], în [Pa·s];

- C este constanta lui Sutherland: $k = c_{pv}/c_{pv}$, [-].

19. - Debitul volumic de fluid, Q_v , se determină din relația generală, [40, p. 19]:

$$Q_v = A \cdot w;$$

în care: - A este aria secțiunii de curgere transversale pe direcția de curgere, [m²];

- w este viteza curentului de fluid, [m/s].

20. - Ecuația continuității debitului este urmarea legii conservării materiei și energiei, [40, p. 20]:

a) pentru fluide necompresibile, (lichide și suspensii):

$$Q_v = A_1 \cdot w_1 = A_2 \cdot w_2 = A_3 \cdot w_3 = A_4 \cdot w_4 = A_5 \cdot w_5 = \dots$$

b) pentru fluide compresibile, (gaze, vapori), [40, p. 20]:

$$M = A_1 \cdot w_1 \cdot \rho_1 = A_2 \cdot w_2 \cdot \rho_2 = A_3 \cdot w_3 \cdot \rho_3 = A_4 \cdot w_4 \cdot \rho_4 = A_5 \cdot w_5 \cdot \rho_5 = \dots$$

- **Observație:** Viteza acceptată a fluidelor în conducte și canale este limitată la anumite valori, prezentate mai jos, dependente de condițiile de operare.

21. Valori acceptate a vitezei fluidului în funcție de natura sa, [40, p. 20]:

Nr. crt.	Tipul curentului de fluid	w [m/s]
1	Gaze în convecție liberă	1 ÷ 4
2	Gaze ventilate aproape de presiunea atmosferică	5 ÷ 20
3	Gaze vehiculate de compresoare 0,9 ÷ 1,5 [ata]	6 ÷ 22
4	Gaze vehiculate de compresoare 1,4 ÷ 3,5 [ata]	18 ÷ 55
5	Gaze vehiculate sub vid 0,1 ÷ 0,9 [ata]	18 ÷ 45
6	Lichide în curgere liberă	0,1 ÷ 0,5
7	Lichide în conducte sub presiune	0,5 ÷ 2,5
8	Vapori de apă sau gaze până la 2 [ata]	15 ÷ 40
9	Vapori de apă sau gaze între 2 [ata] și 5 [ata]	40 ÷ 70

- săpunuri, soluții foarte viscoase 0,3 ÷ 0,60 [m/s];
- uleiuri, soluții viscoase 0,5 ÷ 1,00 [m/s];
- apă 1,0 ÷ 3,00 [m/s];
- soluții apoase în curgere liberă 0,35 ÷ 0,75 [m/s];
- lichide organice 0,75 ÷ 2,50 [m/s];
- aer $0,1 < p < 1$ [MPa] 8,0 ÷ 20,0 [m/s];
- abur $0,0001 < p < 0,05$ [MPa] 40,0 ÷ 60,0 [m/s];
- abur $0,1 < p < 1$ [MPa] 10,0 ÷ 20,0 [m/s];
- abur $1,0 < p < 4$ [MPa] 20,0 ÷ 40,0 [m/s];
- abur $4,0 < p < 12,5$ [MPa] 30,0 ÷ 60,0 [m/s];
- gaze $0,08 < p < 0,12$ [MPa] 2,0 ÷ 4,00 [m/s];
- gaze $0,13 < p < 0,3$ [MPa] 5,0 ÷ 15,0 [m/s];
- gaze $0,35 < p < 1,0$ [MPa] 10,0 ÷ 25,0 [m/s].

22. - Diametrul echivalent al secțiunii de curgere se determină cu relația, [40, p. 21]:

$$d_{ech} = 4 \cdot r_h = 4 \cdot \frac{A_u}{P_u};$$

în care: - r_h este raza hidraulică, [m];

- A_u este aria udată de fluid, perpendiculară pe direcția de curgere, [m²];

- P_u este perimetrul udat de fluid, perpendicular pe direcția de curgere, [m].

Se consideră doar perimetrul efectiv ud, de exemplu în canale NU se consideră partea de lichid în contact cu aerul.

23. - Regimul de curgere se determină prin intermediul criteriului Reynolds, [40, p. 20]:

$$Re = \frac{w \cdot d_{ech} \cdot \rho}{\eta}, \quad Re = \frac{w \cdot d_{ech}}{\nu} \quad [Re] = [-].$$

unde: - η este viscozitatea dinamică a fluidului, [Pa·s];

- w este viteza curentului de fluid, [m/s];

- ρ este densitatea fluidului, [kg/m³];

- d_{ech} este diametrul echivalent, [m];

- ν este viscozitatea cinematică a fluidului, $\nu = \frac{\eta}{\rho}$; [s/m²].

24. - Regimurile de curgere în conducte drepte și canale sunt delimitate de valorile criteriului Reynolds, astfel, [40, p. 21]:

- | | | |
|-------------------------|------|---------------------------|
| a) curgere laminară | dacă | $0 < Re < 2\,300$; |
| b) curgere intermediară | dacă | $2\,300 < Re < 10\,000$; |
| c) curgere turbulentă | dacă | $Re > 10\,000$. |

25. - Pierderea de presiune totală, Δp_T , [Pa] se determină cu relația, [40, p. 25]:

$$\Delta p_T = \Delta p_d + \Delta p_{fr} + \Delta p_{rl} + \Delta p_{st} + \Delta p_g ;$$

în care: - Δp_d este pierderea de presiune dinamică, [Pa];

- Δp_{fr} este pierderea de presiune prin frecare, [Pa];
- Δp_{rl} este pierderea de presiune prin rezistențe locale, [Pa];
- Δp_{st} este pierderea de presiune statică, [Pa];
- Δp_g este pierderea de presiune datorată geometriei sistemului, [Pa].

$$\Delta p_d = \frac{\rho \cdot w^2}{2} ; \quad \Delta p_{fr} = \lambda \cdot \frac{L}{d_{ech}} \cdot \frac{\rho \cdot w^2}{2} ; \quad \Delta p_{rl} = \frac{\rho \cdot w^2}{2} \cdot \sum \xi ;$$

$$\Delta p_{st} = p_1 - p_2 ; \quad \Delta p_g = \rho \cdot g \cdot \Delta h ;$$

- λ este coeficientul de frecare dintre fluid și perete, [-],
- L este lungimea conductei în porțiunile drepte, [m],
- d_{ech} este diametrul echivalent al conductei, [m],
- ρ este densitatea fluidului care curge prin conductă, [kg/m³],
- w este viteza fluidului din conductă, [m/s];
- Δh este diferența de nivel dintre limitele de curgere a fluidului, [m];
- ξ este coeficientul de rezistență locală pentru curgerea fluidului, [-];
- p_1 și p_2 sunt presiunile statice din punctele 1 și 2 [Pa].

26. - Coeficientul de frecare, λ , [-], se determină cu relații matematice specifice sau prin intermediul diagramelor, tabelor sau nomogramelor de calcul, [40, p. 26-28]:

- | | | |
|--|------------------|-------------------------------|
| a) - pentru regimul laminar de curgere: | $Re < 2\,300$: | $\lambda = 64/Re$, |
| b) - pentru valori mari ale turbulenței: | $Re > 10\,000$: | $\lambda = 0,316/Re^{0,25}$. |

c) - la curgerea fluidului prin pereți ruгоși, cum este cazul canalelor de scurgere, a celor de irigații, a instalațiilor din oțel corodate sau acoperite cu ciment, trebuie luată în calcul și asperitatea suprafețelor. Rugozitatea absolută se notează cu e și reprezintă înălțimea medie a asperității, iar rugozitatea relativă se notează cu $\varepsilon = e/d_{ech}$, arătând raportul dintre asperitate și dimensiunea spațiului de curgere. Formula de calcul a coeficientului de frecare în acest caz este: $1/\lambda = -2 \lg \cdot (\varepsilon/3,7 + (6,81/Re)^{0,9})$.

27. - Valorile medii a rugozității conductelor, e, [mm], [40, p. 501]:

Tipul de conduct	e [mm]
Țevi din oțel trase și sudate la coroziune neînsenmată	0,02
Țevi din oțel vechi și ruginite	0,67 - 0,9
Țevi din oțel acoperite, zincate sau impregnate	0,125
Țevi de fontă pentru apă și canalizări	1,4
Țevi din aluminiu	0,015 - 0,06
Țevi din alamă, cupru, plumb și materiale plastice	0,002 - 0,01
Țevi de sticlă	0,001 - 0,0015
Conducte din beton noi	0,3 - 0,8
Conducte din beton uzate	1 - 5
Canale pietruite	5 - 15
Conducte de abur saturat	0,2 - 0,3
Conducte de abur utilizate periodic	0,5 - 0,8
Conducte de aer comprimat	0,8 - 1,0

28. - Coeficientul de frecare, λ , în serpentine se determină cu relația, [40, p. 29]:

$$\lambda_{serp} = \lambda_{drept} \cdot \left(1 + 3,54 \cdot \frac{d_{cond}}{D_{serp}} \right);$$

unde: - d este diametrul interior al conductei, [m];

- D este diametrul spirei serpentinei, [m].

29. - Pentru curgerea neizotermă, (la răcirea sau încălzirea fluidului), pierderea de presiune pe înălțime se corectează cu un coeficient x, adimensional, [40, p. 24]:

$$-\Delta p_{fr \text{ neizoterm}} = x \cdot \Delta p_{fr};$$

$$\text{a) pentru regimul laminar: } x = \left(\frac{Pr_p}{Pr_l} \right)^{1/3} \cdot \left[1 + 0,22 \cdot \left(\frac{Gr_l \cdot Pr_l}{Re_l} \right)^{0,15} \right];$$

$$\text{b) pentru regimul turbulent: } x = \left(\frac{Pr_p}{Pr_l} \right)^{1/3};$$

- indicele p se referă la valoarea temperaturii peretelui;

- indicele l se referă la valoarea temperaturii medii a sistemului, adică;

$$t_l = (t_p + t_{med})/2;$$

$$t_{med} = (t_i + t_e)/2 \text{ a lichidului, la care trebuie}$$

luate valorile caracteristicilor fizico-chimice a materialului.

$$\text{- Criteriul Prandtl: } Pr = \frac{c_p \cdot \eta}{\lambda} = \frac{\nu}{a};$$

$$\text{- Criteriul Grasshof: } Gr = Ga \cdot \beta \cdot \Delta T = \frac{g \cdot l^3}{\nu^2} \cdot \beta \cdot \Delta T = \frac{g \cdot l^3 \cdot \rho^2}{\eta^2} \cdot \beta \cdot \Delta T;$$

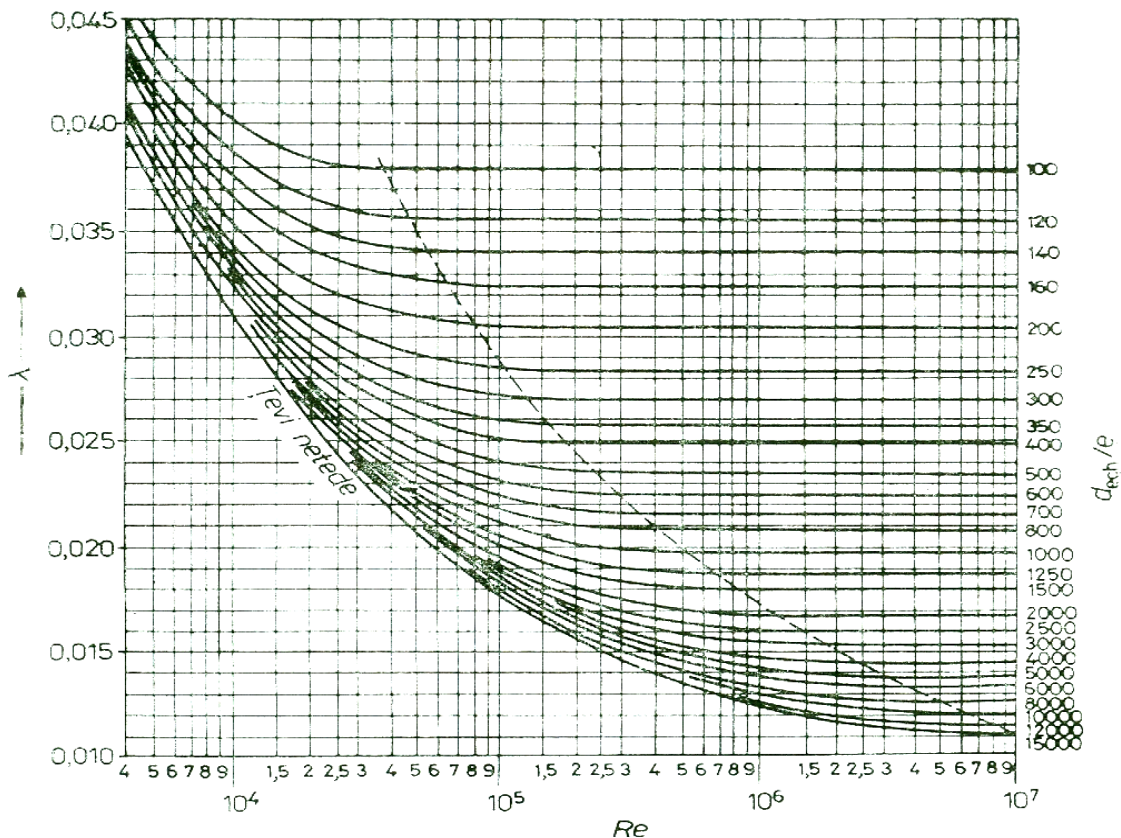
unde: - c_p este căldura specifică la presiune constantă, [J/kg·°K];

- λ este conductivitatea termică a lichidului, [W/m·°K];

- η este viscozitatea dinamică a lichidului, [Pa·s];

- ν este viscozitatea cinematică a lichidului, [s/m²];
- a este difuzivitatea termică a lichidului, [s/m²];
- g este accelerația gravitațională, [m/s²];
- l este dimensiunea caracteristică a sistemului, d_{ech} , [m];
- β este coeficientul de dilatare cubică a lichidului, [°K⁻¹];
- ΔT este diferența de temperatură între perete și temperatura medie a lichidului, [°K].

30. - Diagrama $\lambda - Re$ în funcție de rugozitatea echivalentă, d_{ech}/e , [40, p. 26]:



- **Observație:** Pentru gaze valoarea criteriului Prandtl, Pr , este practic constantă cu variația temperaturii, adică: $Pr/Pr_p = 1$, atât la răcire cât și la încălzire, deci x în regim turbulent este unitar.

31. Valorile criteriului Prandtl pentru gaze depinde numai de structura moleculară a gazului. Se recomandă pentru gaze următoarele valori ale criteriului Pr , [40, p. 159]:

- | | |
|---------------------|-------|
| - gaze monoatomice | 0,67; |
| - gaze biatomice | 0,72; |
| - gaze triatomice | 0,80; |
| - gaze tetraatomice | 1,00; |
| - gaze poliatomice | 1,00. |

c) - fascicul de țevi decalate și: $(s_1/d) > (s_2/d)$;

$$Eu = b \cdot (2,7 + 1,7 \cdot m) \cdot Re^{-0,28};$$

unde: - b este coeficient de corecție al unghiului de atac, [°],

φ [°]	90	80	70	60	50	40	30	20	10
b [-]	1	1	0,95	0,83	0,69	0,53	0,38	0,22	0,15

- m este numărul de rânduri de țevi pe direcția curgerii, [-];

- d este diametrul exterior al țevelor, [m];

- s_1 este pasul transversal al țevelor, [m];

- s_2 este pasul longitudinal al țevelor, [m].

35. - Viteza de scurgere a unui lichid printr-un orificiu mic de la fundul vasului sau din laterala vasului, **la un nivel constant** al lichidului în vas este, [40, p. 22]:

$$w = \varphi \cdot \sqrt{2 \cdot g \cdot H};$$

unde: - φ este un coeficient de viteză, subunitar, [-];

- g este accelerația gravitațională, 9,81 [m/s²],

- H este înălțimea coloanei de lichid, [m].

Dacă în vasul de colectare este altă presiune p_v decât cea din vasul de deversare, p_{dev} , H din formulă se înlocuiește cu valoarea: $H_1 = H + \frac{(p_v - p_{dev})}{\rho \cdot g}$.

36. - Timpul de golire, τ , [s], al unui vas deschis, cu suprafața secțiunii constantă, S, [m²], printr-un orificiu cu suprafața S_0 , [m²], se determină cu relația, [40, p. 23]:

$$\tau = \frac{2 \cdot S \cdot \sqrt{H}}{\alpha \cdot S_0 \cdot \sqrt{2 \cdot g}};$$

unde: - H este înălțimea inițială a lichidului din vas, [m];

- α este un coeficient de debit, subunitar, [-].

37. - Pierderea de presiune în coloanele cu umplutură se calculează cu relația, [40, p. 32]:

$$\Delta p = \lambda \cdot \frac{H_{strat}}{d_{ech}} \cdot \rho \cdot \frac{w_r^2}{2};$$

unde: - $d_{ech} = 4 r_h = 4 \cdot \frac{A_u}{P_u} = 4 \cdot \frac{\varepsilon}{\sigma}$; [m];

- ε este fracția de goluri sau volumul liber al umpluturii, [m³/m³];

- σ este suprafața specifică a umpluturii, [m²/m³].

38. - Viteza fictivă, w_f , a fluidului este cea calculată pentru coloana considerată goală, fără umplutură, [40, p. 32]: $w_f = \frac{Q_v}{S}$; [w] = [m/s]; [Q_v] = [m³/s]; [S] = [m²].

39. - Viteza reală, w_r , a fluidului care trece prin umplutură, [40, p. 32]:

$$w_r = \frac{w_f}{\varepsilon}, \text{ [m/s];}$$

40. - Coeficientul de frecare, λ , în coloana cu umplutură „uscată” se determină cu relațiile, [40, p. 32]:

- a) regim laminar: $Re < 40$; $\lambda = 140/Re_{\text{fluid}}$;
- b) regim turbulent: $Re > 40$; $\lambda = 16/Re^{0,2}_{\text{fluid}}$.

41. - Criteriul Reynolds la curgerea monofazică prin umpluturi se determină cu valoarea vitezei reale a fluidului, [40, p. 32]:

$$Re = \frac{w_r \cdot d_{ech} \cdot \rho}{\eta} = \frac{w_r}{\sigma} \cdot \frac{4 \cdot \varepsilon}{\eta} \cdot \frac{\rho}{\eta} = \frac{w_f}{\varepsilon} \cdot \frac{4 \cdot \varepsilon}{\sigma} \cdot \frac{\rho}{\eta} = \frac{4 \cdot w_f \cdot \rho}{\sigma \cdot \eta}.$$

42. - Caracteristicile unor umpluturi, [40, p. 506]:

Tipul umpluturii	Dimensiuni [mm]	Volumul liber ε [m ³ /m ³]	Suprafața specifică σ [m ² /m ³]	Masa a 1 m ³ [kg]
Inele de porțelan	8 × 8 × 1,5	0,64	570	600
Inele ceramice	15 × 15 × 2	0,70	330	690
Inele ceramice	25 × 25 × 3	0,74	204	532
Inele ceramice	35 × 35 × 4	0,78	140	505
Inele ceramice	50 × 50 × 5	0,785	87,5	530
Inele de fier	35 × 35 × 2,5	0,83	147	620
Inele de fier	50 × 50 × 1	0,95	110	430
Pietriș rotund	42	0,388	80,5	-
Andezit bucăți	43,2	0,565	68	1 200
Cocs bucăți	42,6	0,56	77	455
Cocs bucăți	40,8	0,545	86	585
Cocs bucăți	28,6	0,535	110	660
Cocs bucăți	24,4	0,532	120	600
Catalizator amoniac	6,1	0,465	960	2 420
Catalizator CO, pastile	d = 11,5 h = 11,0	0,38	460	1 100
Catalizator SO ₂ , pastile	d = 11,0 h = 6,5	0,43	415	614

43. - La curgerea bifazică, lichid-gaz printr-o coloană cu umplutură, determinarea punctelor de încărcare și înecare se poate face experimental sau prin calcul, [15, p. 17; 45, p. 36 - 37; 40, p. 276; 48, p. 17]. O cale de determinare a vitezei de înecare prin calcul este prezentată mai jos:

- Se calculează viteza fictivă a gazului la punctul de înecare, w_{fin} cu relația, (ecuația):

$$\lg \left(\frac{w_{fin}^2 \cdot \sigma \cdot \rho_g \cdot \eta_l^{0,16}}{g \cdot \varepsilon^3 \cdot \rho_l} \right) = 0,022 - 1,75 \cdot \left(\frac{L}{G} \right)^{0,25} \cdot \left(\frac{\rho_g}{\rho_l} \right)^{0,125};$$

unde: - ρ_l și ρ_g sunt densitățile gazului și lichidului, [kg/m³];

- σ este suprafața specifică a umpluturii, [m²/m³];

- η_l este viscozitatea dinamică a lichidului, [Pa·s];

- ε este volumul liber al umpluturii, [m³/m³];

- g este accelerația gravitațională, 9,81 [m/s²];

- L și G sunt debitele masice de lichid și de gaz, [kg/s].

- Coloanele cu umplutură lucrează la un punct hidrodinamic optim plasat la 75÷90 [%] din viteza de înec. O relație de calcul ce indică acest optim este [7, 12, 22, 37]:

$$Re = 0,045 \cdot Ar^{0,57} \cdot \left(\frac{G}{L} \right)^{0,43}$$

în care Ar este criteriul de similitudine Arhimede caracterizat de relația matematică:

$$Ar = \frac{d_{ech}^3 \cdot \rho_g \cdot \rho_l \cdot g}{\eta_g^2}; \quad \text{în care:} \quad d_{ech} = \frac{4 \cdot \varepsilon}{\sigma}.$$

44. - Calculul puterii, P , necesare pentru acționarea dispozitivelor de vehiculare a fluidelor: pompe, ventilatoare sau compresoare, se face pe baza relației, [40, p. 72]:

$$P = \frac{V \cdot \rho \cdot g \cdot H_m}{1000 \cdot \eta_T} = \frac{V \cdot \Delta p_T}{1000 \cdot \eta_T}; \quad [\text{kW}],$$

unde: - V este debitul volumic al dispozitivului, [m³/s];

- ρ este densitatea fluidului pompat, [kg/m³];

- g este accelerația gravitațională, 9,81 [m/s²];

- H_m este înălțimea manometrică de pompare, [m coloană de lichid pompat];

- η_T este randamentul total al pompei, [-];

- Δp_T este pierderea totală de presiune în sistem, [Pa].

45. - Puterea instalată este mai mare decât cea necesară, cea rezultată din calcul, fiind multiplicată cu un coeficient, β , supraunitar, cu atât mai mic cu cât puterea necesară este mai mare, [40, p. 72]:

$$P_{inst} = \beta \cdot P.$$

Nr. crt.	P necesară [kW]	β [-]
1	< 1	2,0 ÷ 1,5
2	1 ÷ 5	1,5 ÷ 1,2
3	5 ÷ 50	1,2 ÷ 1,15
4	> 50	1,1

46. - Înălțimea de aspirație a pompei, H_{asp} , se determină cu relația, [40, p. 72]:

$$H_{asp} \leq p_{atm} - h_T - \Sigma h_p - h_{cav};$$

unde: - p_{atm} este presiunea atmosferică multianuală locală, [Pa];

- h_T este presiunea vaporilor saturați ai lichidului dependentă de temperatură și de altitudine, exprimată în metri de coloană de lichid, [m];

- Σh_p este suma pierderilor de presiune pe traseul de aspirație, [Pa].

47. - Pentru apă, valoarea h_T este dată mai jos, [40, p. 73-74]:

T [°C]	5	10	20	30	40	50	60	70	80	90	100
H_T [m H ₂ O]	0,09	0,12	0,21	0,43	0,75	1,25	2,02	3,17	4,82	7,14	10,33
[kPa]	0,88	1,18	2,36	4,22	7,36	12,26	19,82	31,10	47,30	70,04	101,3
m [m H ₂ O]	0,09	0,12	0,24	0,43	0,75	1,25	2,02	3,17	4,82	7,14	10,33

$$- h_{cav} = 0,00125 \cdot (V \cdot n^2)^{0,67};$$

- n este turația rotorului pompei, [s⁻¹];

- V este debitul pompei, [m³/s].

48. - Pentru pompe similare, se poate conta pe simplecșii de similitudine, [40, p. 73]:

$$\frac{Q_{V1}}{Q_{V2}} = \left(\frac{n_1}{n_2} \right); \quad \frac{H_{m1}}{H_{m2}} = \left(\frac{n_1}{n_2} \right)^2; \quad \frac{P_1}{P_2} = \left(\frac{n_1}{n_2} \right)^3.$$

49. - Pentru compresoarele cu singură treaptă se poate calcula lucrul mecanic teoretic adiabatic, L_{ad} în [J/kg], efectuat în timpul compresiei adiabateice a 1 kg de gaz

cu formula, [40, 1p. 75]:

$$L_{ad} = \frac{k}{k-1} \cdot p_1 \cdot V_1 \left[\left(\frac{p_2}{p_1} \right)^{\frac{k-1}{k}} - 1 \right] = \frac{k}{k-1} \cdot R \cdot T_1 \left[\left(\frac{p_2}{p_1} \right)^{\frac{k-1}{k}} - 1 \right].$$

50. - Lucrul mecanic adiabatic, L_{ad} în [J/kg], pentru un kilogram de gaz comprimat poate fi determinat și din diagramele specifice, $T = f(S)$, (temperatură = $f(\text{entropie})$) după relația, [40, p. 75]:

$$L_{ad} = i_1 - i_2,$$

unde: - i_1 și i_2 sunt entalpiile specifice, (pe kilogram de gaz), între punctele inițiale și finale a transformării adiabateice, (compresiei).

51. - Temperatura gazului la ieșirea din compresor se determină cu relația, [40,

p. 76]:

$$\frac{T_2}{T_1} = \left(\frac{p_2}{p_1} \right)^{\frac{k-1}{k}}.$$

52. - Temperatura la ieșire din compresor pentru 1 [m³] de aer având presiunea de aspirație 1,013·10⁵ [Pa] și raport de comprimare (p_2/p_1), [20, vol. I, p. 252]:

(p_2/p_1)	1,5	2	3	4	5	6	7	8	9	10
T _i [10 °C]	45	72	114	148	175	199	220	240	257	273
T _i [20 °C]	56	84	128	162	191	216	238	258	276	293

53. - Puterea, P, [kW], compresorului cu o singură treaptă sau mai multe trepte se determină cu relația, [40, p. 77]:

$$P = \frac{G \cdot L_{ad}}{3\,600 \cdot 1\,000 \cdot \eta_T},$$

- G este masa de gaz prelucrată, [kg];
- k este exponentul adiabatic al gazului: $k = c_p/c_v$; pentru aer, $k = 1,4$;
- p_1 și p_2 sunt presiunile de la care aspiră și refulează compresorul, [Pa];
- v_1 este volumul specific de gaz în condițiile inițiale p_1 și T_1 , [m³/kg];
- R este constanta gazului, $R = \frac{8\,310}{M_m}$, [J/kg·°K];
- $R = 0,00314$ [m³·bar/kmol·°K];
- $R = 0,008205$ [m³·atm/kmol·°K].
- M_m este masa moleculară a gazului, [kg]; pentru aer: $M_m = 28,9$ [kg/kmol];
- η_T este randamentul total al compresorului; de exemplu: $\eta_{comp} = 0,8$ [-], sau 80 [%]. Datele exacte despre randament se pot prelua din cărțile tehnice ale aparatelor.
- temperatura inițială a aerului se poate lua $T = 20$ [°C] = 293 [°K];
- presiunea atmosferică este considerată cea normală; 760 [mm Hg].

54. - Numărul de trepte ale unui compresor poate fi calculat cu relația, [40, p. 77]:

$$x^n = \frac{p_2}{p_1}; \quad \text{sau} \quad n = \frac{\lg p_2 - \lg p_1}{\lg x};$$

- x este gradul de comprimare într-o treaptă.

55. - Debitul pompei sau compresorului, Q_v, [m³/s], cu simplu efect se calculează cu relația, [40, p. 75]:

$$Q_v = \lambda \cdot \frac{S \cdot s \cdot n}{60}, \quad \lambda = (0,8 \div 0,95) \cdot \lambda_0; \quad \lambda_0 = 1 - \varepsilon_0 \cdot \left[\left(\frac{p_2}{p_1} \right)^{1/m} - 1 \right],$$

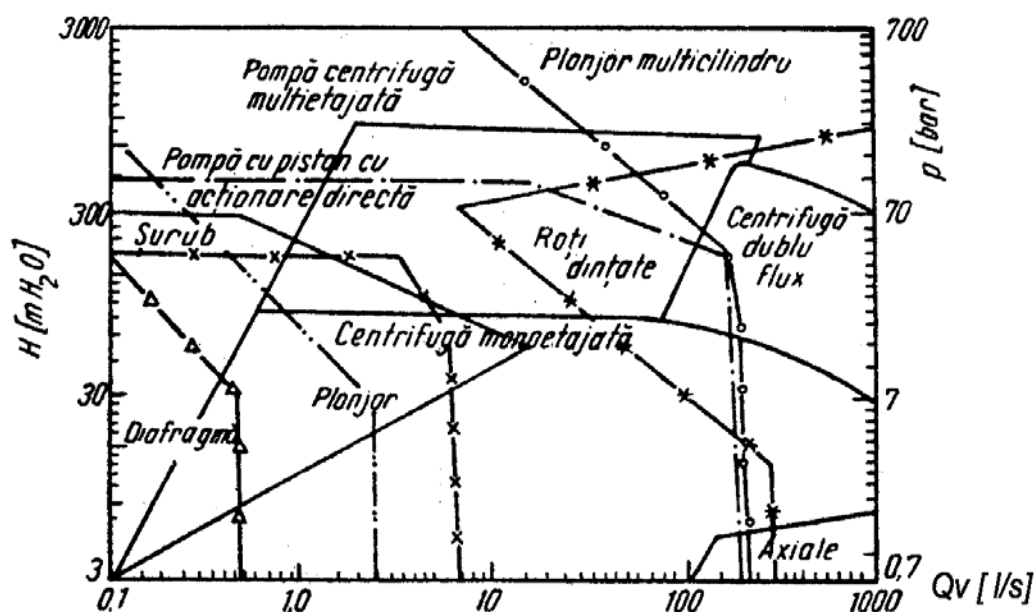
56. - Debitul pompei sau compresorului, Q_v, [m³/s], cu dublu efect se

calculează cu relația, [40, p. 75]:

$$Q_v = \lambda \cdot \frac{(2 \cdot S - S_{tp}) \cdot s \cdot n}{60},$$

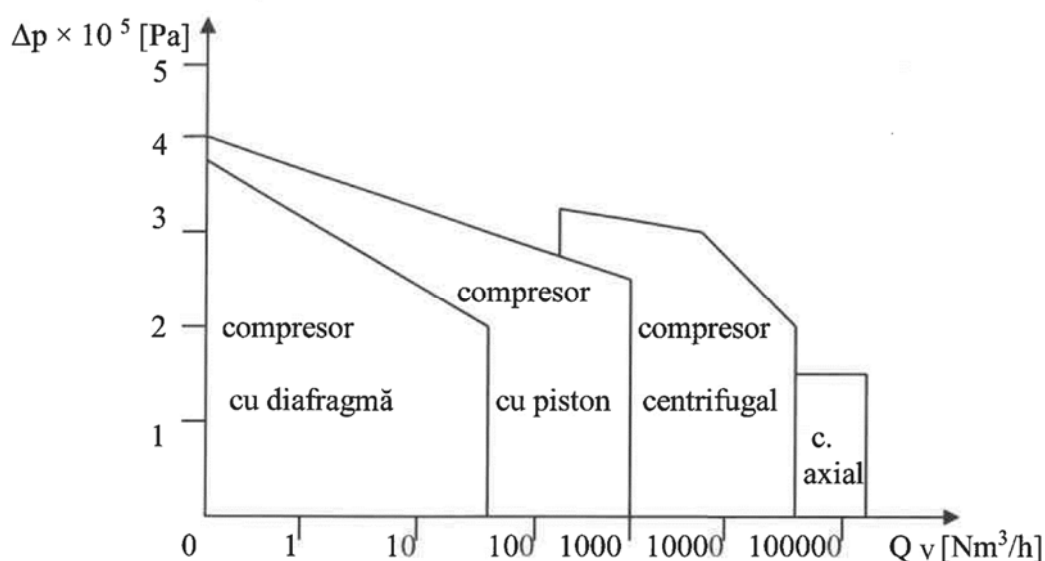
- λ - coeficient de debit, [-];
- n - numărul de curse, [rpm], [s⁻¹];
- S - secțiunea pistonului, [m²];
- S_{tp} - secțiunea tijei pistonului, [m²];
- s - cursa pistonului, [m];
- m - exponentul politropic al gazului;
- ε_0 - raportul dintre spațiul mort și volumul descris de piston, [-].

57. - Diagrama de alegere a pompelor, [46, p. 35]:



- linia continuă se referă la scara H, [m H₂O], - linia întreruptă se referă la scara p [bar].

58. - Domenii de funcționare a compresoarelor, [46, p. 35]:



59. - Sedimentarea particulelor fine, cu diametru mic, în câmp gravitațional se poate considera în **regim laminar**, (Stockes), cu verificarea ulterioară a regimului de curgere, dacă: $0 < Re \leq 2$; $3,6 \leq Ar$; $2 \cdot 10^{-3} \leq Li$.

- Criteriul Reynolds: $Re = \frac{w_{sed} \cdot d_p \cdot \rho_e}{\eta_e}$; - Criteriul Arhimede: $Ar = \frac{d_p^3 \cdot \Delta \rho \cdot g \cdot \rho_l}{\eta_l^2}$;

- Criteriul Liascenko: $Li = \frac{w_{sed}^3 \cdot \rho_f^2}{\eta_l \cdot \Delta \rho \cdot g}$;

60. - Viteza de sedimentare în câmp gravitațional, pentru acest caz, particule cu diametru mic, se determină cu relația, [40, p. 95]:

$$w_{sed} = \frac{1}{18} \cdot \frac{d_p^2 \cdot (\rho_p - \rho_f) \cdot g}{\eta_f};$$

unde: - d_p este diametrul particulelor, [m]; - ρ_p este densitatea particulelor, [kg/m³];
 - ρ_f este densitatea fluidului, [kg/m³]; - η_f este viscozitatea a fluidului, [Pa·s];
 - g este accelerația gravitațională, [m/s²]; - $\Delta\rho = (\rho_p - \rho_f)$, [kg/m³].

61. - Viteza de sedimentare în câmp centrifugal a unei particule este, [46, p. 55]:

$$w_{sed\ cent} = \frac{1}{18} \cdot \frac{d_p^2 \cdot (\rho_p - \rho_f) \cdot \omega^2 \cdot R}{\eta_f}; \quad w_{sed\ cent} = \frac{dR}{d\tau}.$$

62. - Timpul de sedimentare în câmp centrifugal a unei particule cu diametrul d_p :

$$\int_0^\tau d\tau = \int_{R_1}^{R_2} \frac{dR}{w_{sed\ cent}}; \quad \text{deci: } \tau = \frac{\eta_f}{18 \cdot d_p^2 \cdot (\rho_p - \rho_f) \cdot \omega^2} \cdot \ln \frac{R_2}{R_1};$$

unde: - R_1 și R_2 sunt raza luciului de lichid, respectiv raza tamburului centrifugei, [m];
 - $\omega = 2 \cdot \pi \cdot n$ este pulsația, viteza unghiulară de rotație, [1/s];
 - n este viteza de rotație a tamburului, [1/s].

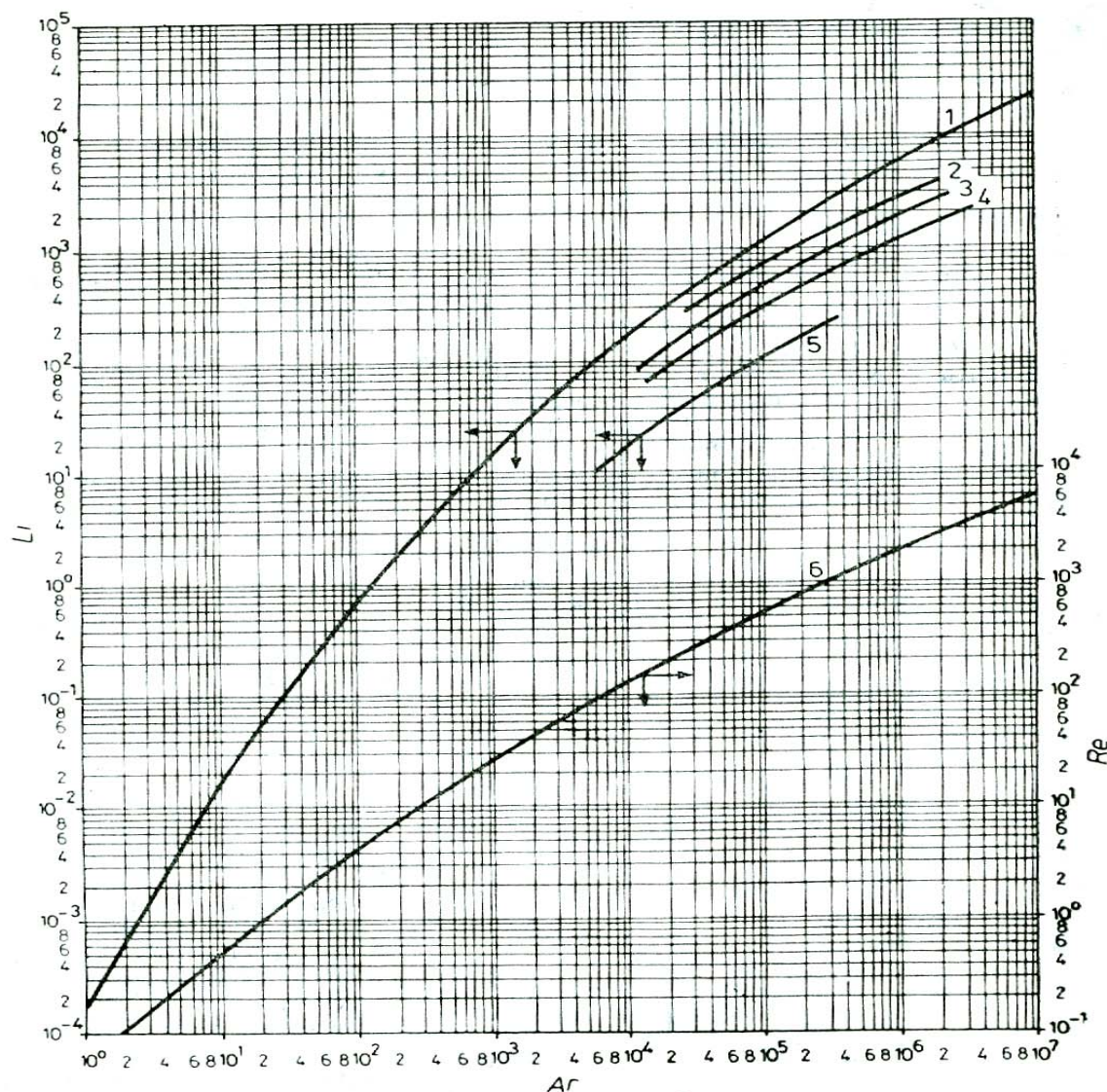
63. - Diametrul particulei care sedimentează într-o **centrifugă discontinuă** depinde de timpul de operare, la turația de regim, τ , [s], [40, p. 106]:

$$d_p = \sqrt{\frac{\eta_f \cdot \ln \frac{R_2}{R_1}}{18 \cdot (\rho_p - \rho_f) \cdot \omega^2 \cdot \tau}}$$

unde: - R_1 și R_2 sunt raza luciului de lichid, respectiv raza tamburului centrifugei, [m];
 - $\omega = 2 \cdot \pi \cdot n$ este pulsația, viteza unghiulară de rotație, [1/s];
 - n este viteza de rotație a tamburului, [1/s].

64. - Diagrama de sedimentare a particulelor solide:

$Li = f(Ar)$, $Re = f(Ar)$, [40, p. 97]:



1 și 6 - particule sferice; 2 - particule rotunjite; 3 - colțuroase; 4 - alungite; 5 - lamelare

65. - Date practice pentru cicloane [20, vol II, p. 156]

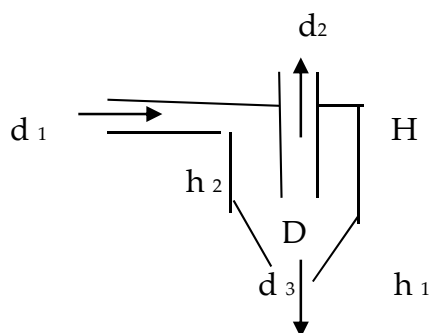
- Eficacitatea de colectare,	- normal	70 ÷ 80	[%];
	- excepțional	99	[%];
- Diametrul minim	- normal	200 ÷ 5	[μm];
	- excepțional	0,1	[μm];
- Viteza maximă de intrare în ciclon		20	[m/s];
- Temperatura maximă de utilizare		1 000	[°C];
- Presiunea maximă de utilizare		500·10 ⁵	[Pa];
- Pierderea de presiune, (rez. hidraulică), în ciclon		400-850	[Pa];
- în multicicloane,	- sarcină normală	350 - 500	[Pa];
	- sarcină maximă	600 - 850	[Pa].

66. - Dimensiuni pentru cicloane [20, vol II, p. 154]

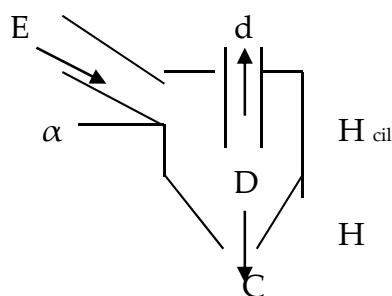
Debit de gaz [m ³ /s]	D [mm]	H [mm]	I [mm]	E [mm]	C [mm]
0,57	740	975	1 655	205	203
1,74	1 145	1 735	3 355	355	203
3,58	1 400	2 615	3 600	510	203
5,67	1 990	3 125	5 720	635	203
11,3	2 740	4 275	7 750	915	203
18,9	3 585	5 490	9 930	1 170	203
22,2	3 970	6 100	11 065	1 270	203

67. - Simplecși de similitudine recomandați pentru cicloane [16, p. 270]

$E/D = 0,5$, $E_{\text{exh}}/D = 0,5 \div 0,6$, $C/D = 0,25$, $H/D = 1,75 \div 2$, $(H_{\text{cil}} - H)/D = 2 \div 3$,
 $(H_{\text{cil}} - H - E)/D = 0,12$, unghiul părții conice = $30^\circ \div 40^\circ$.

68. - Scheme și rapoarte de similitudine pentru cicloane, [40, p. 99]

$d_1/D = 0,5$; $d_2/D = 0,5 \div 0,6$;
 $d_3/D = 0,25$; $H/D = 2 \div 3$;
 $h_1/D = 1,75 \div 2$; $h_2/D = 0,12$;
 $H/h_1 = 2 \div 3$; $(H - d_1)/D = 0,12$;
 unghiul apex-ului $\alpha = 30^\circ \div 40^\circ$



unghi de atac coef. rez. locală ζ
 $\alpha = 24^\circ$ 60
 $\alpha = 15^\circ$ 105
 $\alpha = 11^\circ$ 180
 $E/D = 0,5$; $C/D = 0,25$;
 $H/D = 1,75 \div 2$; $d/D = 0,58 \cdot D$.

69. - Ecuația generală a filtrării este, [40, p. 100 - 103]:

$a \cdot V_f^2 + b \cdot V_f = \tau$, sau scrisă sub altă formă: $V_f^2 + 2 \cdot C \cdot V_f = K \cdot \tau$,

unde: $[V_f] = \left[\frac{m^3}{m^2} \right] = \left[\frac{\text{volum de filtrat}}{\text{aria filtrului}} \right];$

- a este o constantă specifică fiecărui tip de precipitat, [s/m²];
- b este o constantă specifică fiecărui tip de material filtrant, [s/m];
- a și b sunt constantele de filtrare care se determină experimental în aceleași condiții în care are loc filtrarea;
- C este o constantă specifică fiecărui tip de material filtrant, [m³/m²], similară cu b;
- K este o constantă caracteristică precipitatului, [m²/s], similară cu a.

70. - Viteza de filtrare a lichidului prin materialul filtrant, $[m^3/m^2s]$, se poate determina prin derivarea ecuației filtrării în raport cu timpul, [40, p. 100 - 103]:

$$dV_f/d\tau = 1/[(2 \cdot a \cdot V_f + b)], \quad \text{sau} \quad dV_f/d\tau = 1/[2 \cdot (V_f + C)],$$

71. - Constanta precipitatului, [40, p. 100 - 103]:

$$K = \frac{1}{a} = \frac{2 \cdot \Delta p}{\eta \cdot c \cdot r};$$

unde: - Δp este căderea de presiune în filtru, [Pa];

- η este viscozitatea filtratului, [Pa·s];

- r este rezistența specifică a precipitatului, calculată la 1 [kg] substanță uscată, [m/kg];

- c este cantitatea de solid uscat depus la trecerea prin filtru a 1 $[m^3]$ filtrat, $[kg/m^3]$;

$$c = \frac{\rho \cdot x}{1 - m \cdot x};$$

unde: - ρ este densitatea filtratului, $[kg/m^3]$;

- x este concentrația masică a solidului, $[kg/kg]$;

- m este masa precipitatului umed raportată la 1 [kg] substanță uscată, $[kg/kg]$;

$$K = \frac{1}{a} = \frac{2 \cdot \Delta p \cdot (1 - m \cdot x)}{\eta \cdot r \cdot \rho \cdot x};$$

Dacă se cunoaște constanta K sau a din date experimentale, se poate determina r :

$$r = \frac{2 \cdot \Delta p \cdot (1 - m \cdot x)}{K \cdot \eta \cdot \rho \cdot x}.$$

72. - Constanta materialului filtrant, r_{mf} :

$$C = \frac{b}{2} = \frac{r_{mf}}{r \cdot c} = \frac{r_{mf} \cdot (1 - m \cdot x)}{r \cdot x \cdot \rho}.$$

unde: - r_{mf} este rezistența specifică a materialului filtrant pe 1 $[m^2]$ filtru].

Dacă se cunoaște constanta C sau b din date experimentale, se poate determina r_{mf} :

$$r_{mf} = \frac{C \cdot r \cdot \rho \cdot x}{1 - m \cdot x}.$$

73. - Concentrația apei de spălare în perioada de spălare prin difuziune:

$$c_{sp} = c_{in} \cdot e^{-\beta \cdot w \cdot \tau / \delta};$$

unde: - c_{in} este concentrația inițială, $[kg/m^3]$;

- c_{sp} este concentrația la timpul τ de spălare; $[kg/m^3]$;

- w este intensitatea de spălare, $[m^3/m^2 \cdot s]$;

- δ este grosimea stratului de precipitat, [m];

- β – este un coeficient determinat experimental, [-].

74. - Cantitatea de substanță uscată, G , [kg] din precipitatul rezultat pe filtru este:

$$G = V \cdot c = V \cdot \frac{\rho_f \cdot x}{(1 - m \cdot x)},$$

unde: - V este cantitatea de filtrat colectat, [m³].

75. - Concentrația x a fazei solide, [kg/kg], în suspensie se poate determina cu relația:

$$x = \frac{(\rho_{susp} - \rho_f)}{(\rho_s - \rho_f) \cdot \rho_{susp}},$$

unde: - ρ_{susp} , ρ_f , ρ_s sunt densitățile suspensiei, filtratului și solidului, [kg/m³];

- n este masa fazei lichide din suspensie pe unitatea de masă de fază solidă, adică:

$$s : l = 1 : n.$$

76. - Densitatea suspensiei, ρ_{susp} , [kg/m³], sau a precipitatului umed se calculează cu relația:

$$\rho_{susp} = \frac{\rho_f \cdot (1 + n) \cdot \rho_s}{(\rho_f + \rho_s \cdot n)}.$$

77. - Suprafața filtrului cu saci se determină cu formula, [40, p. 100 - 1003]:

$$S = \frac{V}{V_{sp}},$$

unde: - V este debitul volumic de gaz purificat, [m³/min];

- V_{sp} este volumul specific de gaz purificat în filtrele cu saci, care se admite:

$$0,2 \div 1 \text{ [m}^3/\text{m}^2 \cdot \text{min]} \text{ pentru particule fine;}$$

$$1 \div 2,5 \text{ [m}^3/\text{m}^2 \cdot \text{min]} \text{ pentru particule grosiere.}$$

78. - Forța centrifugă, [N], generată la centrifugare se determină cu relația:

$$F = M \cdot \omega^2 \cdot R \approx 40 \cdot M \cdot n^2 \cdot R \approx 20 \cdot M \cdot n^2 \cdot D$$

unde: - M este masa de material din centrifugă, lichid plus solid, [kg];

- $D = 2 \cdot R$ este diametrul, respectiv raza tamburului centrifugei, [m];

- n este turația centrifugei, [1/s];

- $\omega = 2 \cdot \pi \cdot n$ este pulsația de rotație, viteza unghiulară de rotație, [1/s].

79. - Presiunea de filtrare la centrifugare, Δp , [Pa], se calculează aproximativ cu relațiile, [40, p. 103 - 107]:

$$\text{a)} \quad \Delta p_{centr} = \frac{F}{A};$$

unde: - F este forța centrifugă, [Pa];

- $A = \pi \cdot D \cdot H$, este aria laterală a tamburului, [m²];

- H este înălțimea tamburului, [m].

$$\mathbf{b)} \quad \Delta p = 20 \cdot \rho_{\text{susp}} \cdot n^2 \cdot (R_2^2 - R_1^2) = 5 \cdot \rho_{\text{susp}} \cdot n^2 \cdot (D_2^2 - D_1^2);$$

- ρ_{susp} este densitatea suspensiei, [kg/m³];
- $D_1 = 2 \cdot R_1$ este diametrul interior al stratului de lichid, [m];
- $D_2 = 2 \cdot R_2$ este diametrul interior al tamburului, [m];
- n este turația centrifugei, [1/s].

80. - Puterea necesară în perioada de pornire, P_1 , a unei centrifuge discontinue, [W]:

$$P = \frac{L_1 + L_2}{\tau};$$

- unde: - τ este timpul de ajungere la turația de regim, [s];
- **Observație:** din date practice, timpul de pornire este de 1 ÷ 3 [min];
 - L_1 este lucrul mecanic necesar pentru învingerea inerției tamburului, [J];

$$L_1 = \frac{M_t \cdot w_2^2}{2};$$

- unde: - M_t este masa tamburului, [kg];
- $w_2 = \omega \cdot R_2$ este viteza tamburului la diametrul exterior, [m/s].
 - L_2 este lucrul mecanic necesar pentru învingerea inerției materialului, [J];

$$L_2 = \frac{0,75 \cdot w_1^2 \cdot \rho_{\text{susp}} \cdot V}{4};$$

- unde: - $w_1 = \omega \cdot R_1$ este viteza tamburului la diametrul interior, [m/s];
- $V = (\pi \cdot D_1^2 \cdot H)/8$ este volumul de suspensie considerat la jumătatea tamburului, [m³].

81. - Puterea necesară pentru învingerea frecărilor axului în lagăre, P_2 :

$$P_2 = \lambda \cdot M \cdot w_{\text{ax}} \cdot g;$$

- unde: - λ este coeficientul de frecare ax - lagăre inelare: 0,07 – 0,1;
 ax - lagăre cu rulmenți cu bile: 0,03;
- m este masa totală a pieselor în mișcare, inclusiv suspensia, [kg];
 - w_{ax} este viteza periferică a axului tamburului, [m/s];
 - g este accelerația gravitațională, [m/s²].

82. - Puterea necesară pentru învingerea frecărilor tamburului cu aerul, P_3 :

$$P_3 = 6,762 \cdot 10^{-3} \cdot R_2^2 \cdot w_2^3 \cdot \rho_{\text{aer}};$$

83. - Puterea totală necesară, P_T , pentru centrifugele cu funcționare discontinuă este:

$$P_T = P_1 + P_2 + P_3;$$

84. - Pentru puterea calculată, P_c , se aplică formula:

$$P_c = \frac{P_T}{\eta_T};$$

- unde: - η_T este randamentul sistemului de transmisie, [-], de obicei cuprins între 0,7–0,9.

85. - Puterea electrică instalată, P_{inst} , va ține seama de recomandările prezentate la pompe.

$$P_{\text{inst}} = \beta \cdot P_c.$$

86. - Capacitatea de producție, V_p , [m^3/s], a unei centrifuge verticale cu funcționare continuă și îndepărtare automată a sedimentului cu racletă se poate calcula cu relația:

$$V_p = 25,3 \cdot \eta \cdot L \cdot n^2 \cdot w_{\text{sed centr}} \cdot R_0^2;$$

unde: - η este un coeficient exprimă turbulențele create de sistemele interioare, 0,4–0,5;
 - L este lungimea tamburului, [m];
 - n este turația centrifugii, [1/s];
 - R_0 este raza interioară a stratului de suspensie, [m].

87. - Capacitatea de producție, V_p , [m^3/s], a unei centrifuge orizontale cu funcționare continuă și îndepărtare automată a sedimentului cu șneac, (melc), se poate calcula cu relația:

$$V_p = 3,5 \cdot \frac{D_{pl}^2 \cdot L_{pl} \cdot (\rho_s - \rho_f) \cdot d^2 \cdot n^2}{\eta_f};$$

unde: - D_{pl} și L_{pl} sunt diametrele și lungimea cilindrului de preaplin, [m];
 - d este diametrul particulei cele mai mici care sedimentează, [m].

88. - Debitul supercentrifugei tubulare, V_p [m^3/s] se determină cu relația:

$$V_p \leq \frac{w_{\text{sed centr}} \cdot V_l}{h};$$

unde: - $w_{\text{sed centr}}$ este viteza de sedimentare în câmp centrifugal, [m/s];
 - V_l este volumul de lichid din tambur, [m^3], $V_l = 0,785 \cdot (D^2 - D_0^2) \cdot L$;
 - L este lungimea părții active a tamburului, [m];
 - h este adâncimea curentului din tambur, [m];
 - D și D_0 sunt diametrele interioare, respectiv a pragului de preaplin, [m].

89. - Un strat fix de granule are porozitatea, ε_0 , sau fracția de goluri, [m^3/m^3],

sau [-], [40, p. 19 - 112]:

$$\varepsilon_0 = \frac{V - V_{gr}}{V};$$

unde: - V și V_{gr} sunt volumele ocupate de material, respectiv granule, [m^3];
 - Dacă se poate neglija densitatea mediului față de a granulei

$$\varepsilon_0 = 1 - \frac{\rho_{\text{vrac}}}{\rho_s};$$

unde: - ρ_s și ρ_{vrac} sunt densitățile granulei, respectiv a grămezii de particule, (densitate în vrac), [kg/m^3];

- **Observație:** pentru un strat larg de particule **monodisperse**, ε_0 are valoarea 0,4.

90. - Pentru un strat fluidizat porozitatea, ε , se determină cu relația:

$$\varepsilon = \frac{V_{strfl} - V_{gr}}{V_{strfl}} = 1 - \frac{V_{gr}}{V_{strfl}}.$$

91. - Dacă nu se pierde solid din strat ul fluidizat, pierderea de presiune, Δp_{sf} , [Pa], este:

$$\Delta p_{sf} = \frac{G_{sf}}{A};$$

unde: - $G_{sf} = M \cdot g$ este greutatea materialului, [kg·m/s²];

- A este secțiunea stratului, [m²].

92. - Pierderea de presiune în stratul fluidizat, Δp_{sf} , [Pa], se determină cu relația:

$$\Delta p_{sf} = (Q_s - Q_f) \cdot g \cdot (1 - \varepsilon) \cdot h = (Q_s - Q_f) \cdot g \cdot (1 - \varepsilon_0) \cdot h_0;$$

unde: - h_0 și h sunt înălțimile stratului fix respectiv a stratului fluidizat, [m];

- g este accelerația gravitațională, 9,81 [m/s²].

- **Observație:** dacă agentul de fluidizare este un gaz, densitatea sa se poate neglija:

$$\Delta p_{sf} = Q_s \cdot g \cdot (1 - \varepsilon) \cdot h = Q_s \cdot g \cdot (1 - \varepsilon_0) \cdot h_0.$$

93. - Relația de legătură între înălțimile caracteristice:

$$h = \frac{1 - \varepsilon_0}{1 - \varepsilon} \cdot h_0.$$

94. - Porozitatea stratului fluidizat la diferite viteze de fluidizare se determină

cu relația:

$$\varepsilon = \left(\frac{18 \cdot Re + 0,36 \cdot Re^2}{Ar} \right)^{0,21};$$

sau din diagramele de corelare a criteriilor Liascenko și Arhimede.

$$Re = \frac{w_{fic} \cdot d_s \cdot \rho_f}{\eta_f}; \quad Ar = \frac{d_s^3 \cdot (\rho_s - \rho_f) \cdot \rho_f \cdot g}{\eta_f^2}.$$

- **Observație:** Pentru criteriul Reynolds, Re , se utilizează **viteza fictivă** a fluidului, w_{fic} , care se calculează prin raportarea debitului volumic al fluidului, Q_v , [m³/s], la secțiunea considerată „goală” a aparatului, (coloanei): $w_{fic} = \frac{Q_v}{S}.$

95. - Porozitatea stratului fluidizat la diferite viteze fictive a fluidului se poate

calcula cu relația:

$$\varepsilon_{w_{fic}} = 1 - \frac{h_0}{h} \cdot (1 - \varepsilon_0);$$

unde: - ε_0 este porozitatea inițială a stratului fix. Pentru particule polidisperse, $\varepsilon_0 = 0,38$.

96. - Densitatea stratului fluidizat la diferite viteze a fluidului se calculează cu

relația:

$$Q_{sf} = M_{sf} / V_{sf} = (Q_{gr} \cdot h_0) / h_{sf}; \quad [kg/m^3].$$

97. - Viteza minimă de fluidizare se poate determina fie cu relația empirică a lui Rowe, cu alte relații criteriale sau din diagrame specifice:

$$w_{\min} = 8,1 \cdot 10^{-4} \cdot \frac{(\rho_s - \rho_f) \cdot d_s^2}{\eta_f}; \quad \text{Re}_{cr} = \frac{Ar}{1400 + 5,22 \cdot \sqrt{Ar}};$$

$$\text{Re}_{cr} = \frac{w_{\min} \cdot d_s \cdot \rho_f}{\eta_f}, \quad \text{iar} \quad Ar = \frac{d_s^3 \cdot (\rho_s - \rho_f) \cdot \rho_f \cdot g}{\eta_f^2}.$$

unde: - d_s este diametrul granulei, [m], - η_f este viscozitatea dinamică [Pa·s],
 - ρ_f este densitatea, [kg/m³], - g reprezintă accelerația gravitațională [m/s²].
- Observație: La fluidizarea cu gaze se poate neglija densitatea gazului din diferența ($\rho_s - \rho_f$).

În diagrama $Li - Ar$, această viteză corespunde situației $\varepsilon = 0,4$.

98. - Indicele de fluidizare este raportul dintre viteza practică de lucru și cea minimă de fluidizare:

$$K_w = w_{\text{lucru}} / w_{\min};$$

99. - Viteza reală a fluidului între granulele stratului fluidizat este: $w = \frac{w_{fic}}{\varepsilon_{w fic}}.$

100. - Viteza de antrenare, w_{antr} [m/s], este aceea care elimină din aparat particulele solide și se determină cu relația:

$$\text{Re}_{\text{antr}} = \frac{Ar}{18 + 0,61\sqrt{Ar}}, \quad \text{Re}_{\text{antr}} = \frac{w_{\text{antr}} \cdot d_s \cdot \rho_f}{\eta_f};$$

În diagrama $Li - Ar$, această viteză corespunde situației $\varepsilon = 1$.

101. - Diametrul particulelor antrenate din strat se determină din criteriul

Liascenko: $Li = \text{Re}^3 / Ar,$ $Li = \frac{w_{\text{antr}}^3 \cdot \rho_f^2}{\eta_f \cdot \Delta\rho \cdot g} = \frac{w_{\text{antr}}^3 \cdot \rho_f^2}{\eta_f \cdot (\rho_s - \rho_f) \cdot g}.$

- Observație: În cazul fluidizării cu gaze se poate utiliza expresia: $Li = \frac{w_{\text{antr}}^3 \cdot \rho_f^2}{\eta_f \cdot \rho_s \cdot g}.$

102. - Pierderea de presiune în sita de distribuție a fluidului se calculează cu relația:

$$\Delta p_s = \frac{0,503 \cdot w_0^2 \cdot \rho_f \cdot (1 - \varphi^2)}{C^2};$$

unde: - φ este fracția liberă din secțiunea sitei, de obicei $0,01 \div 0,05$;

- $w_0 = w_f / \varphi$ este viteza gazului în orificiul sitei, [m/s];

- w_f este viteza fictivă a fluidului în aparat, [m/s];

- d_0 este diametrul găurii sitei, [m];

- δ este grosimea sitei, [m];

- C este coeficientul de rezistență al sitei, [-], prelevat din tabelul de mai jos:

d_0/δ	0,5	1	2	3	4	5	6	7	8	9	10
C	0,85	0,82	0,78	0,74	0,70	0,69	0,68	0,66	0,64	0,62	0,60

103. - Coeficientul de formă, Φ , a particulelor diferite de cea sferică se determină cu expresia:

$$\Phi = \sqrt{0,207 \cdot \frac{S_p}{V_p^{2/3}}};$$

unde: - S_p este suprafața particulei, [m²]; - V_p este volumul particulei, [m³].

104. - Diametrul echivalent, d_{ech} , [m], se determină cu relația:

$$d_{ech} = \Phi \cdot d_{sf} = 1,24 \cdot \Phi \cdot \sqrt[3]{V};$$

- d_{sf} este diametrul sferei cu același volum cu al particulei, [m];

- Pentru un **strat fluidizat din particule polidisperse**, diametrul echivalent al întregului strat se determină cu relația:
$$d_{ech} = \frac{1}{\sum_i \frac{x_i}{d_i}};$$

unde: - n este numărul de sorturi obținute prin sitare;

- x_i este fracția masică a sortului i, [-].

- d_i este diametrul mediu al sortului i, [m].

105. - Durata medie de staționare, τ_0 , [s], a unei particule într-un strat fluidizat format din particule monodisperse este:
$$\tau_0 = \frac{M}{Q_M};$$

unde: - M este masa de material care se află în strat, [kg];

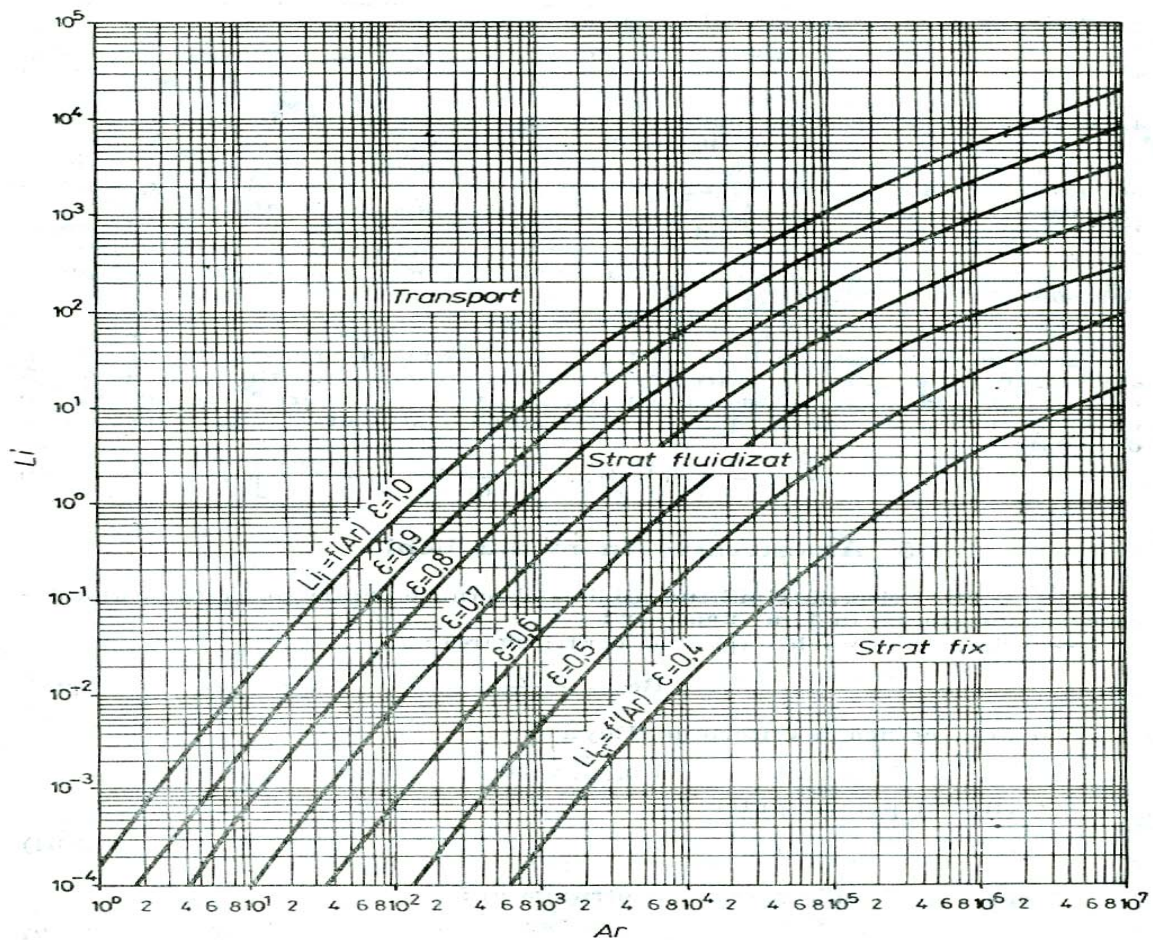
- Q_M este debitul masic de alimentare al stratului, [kg/s].

106. - Durata de staționare a unei particule în stratul fluidizat diferă mult de durata medie de staționare. Fracția x de particule care au durata de staționare în strat egală sau mai mare decât un timp dat, τ , [s], este dată de relația:
$$x = e^{-\tau/\tau_0}.$$

107. - Pentru n straturi fluidizate în serie, fracția x_n de particule care au durata de staționare egală sau mai mare decât τ este:

$$x_n = \left[1 + \frac{\tau}{\tau_0} + \frac{1}{2!} \cdot \left(\frac{\tau}{\tau_0} \right)^2 + \dots + \frac{1}{(n-1)!} \cdot \left(\frac{\tau}{\tau_0} \right)^{n-1} \right] \cdot e^{-\tau/\tau_0}.$$

108. - Diagrama de corelare $Li = f(Ar)$ la fluidizare



109. - La amestecarea lichidelor sau a suspensiilor prin barbotarea aerului sau a gazelor, **presiunea** de injectare Δp_T , [Pa], se determină cu relația, [40, p. 112 - 113]:

$$\Delta p_T = \left(1 + \lambda \cdot \frac{L}{d} + \Sigma \xi \right) \cdot \frac{\rho_g \cdot w_g^2}{2} + \rho_l \cdot g \cdot H_l;$$

unde: - λ este coeficientul de frecare gaz-conducta de injectare, [-];

- L este lungimea conductei de alimentare cu aer sau gaz, [m];

- d este diametrul interior al conductei, [m];

- $\Sigma \xi$ este suma coeficienților de rezistență locală, [-];

- ρ_g, ρ_l sunt densitățile gazului, respectiv a lichidului amestecat, [kg/m³];

- w_g este viteza gazului în conductă, [m/s];

- g este accelerația gravitațională, 9,81 [m/s²];

- H_l este înălțimea stratului de lichid amestecat, [m].

La valoarea presiunii astfel calculate, se mai adaugă un supliment de 3 ÷ 5 [%].

- 110. - Debitul necesar de aer** sau de gaze pe unitatea de suprafață, Q_{aer} , necesar amestecării este:
- amestecare slabă sau puțin intensă: $0,25 \div 0,40 \text{ [m}^3/\text{m}^2 \cdot \text{min]};$
 - amestecare medie: $0,45 \div 0,75 \text{ [m}^3/\text{m}^2 \cdot \text{min]};$
 - amestecare intensă: $0,75 \div 1,10 \text{ [m}^3/\text{m}^2 \cdot \text{min]}.$

110. - Pentru amestecarea lichidelor sau a suspensiilor cu amestecătoare mecanice pentru sisteme asemenea din punct de vedere geometric, (similitudine de formă și de dimensiune), se utilizează relația de asemănare: $K_N = \frac{c}{\text{Re}^m};$

unde: - c și m sunt constante caracteristice tipului de agitator și regim de amestecare:

- K_N este criteriul Puterii sau criteriul Euler la amestecare: $K_N = \frac{P}{\rho_l \cdot n^3 \cdot d_{ag}^5};$

- Re_{am} este criteriul Reynolds pentru amestecare: $\text{Re}_{am} = \frac{w_{ag} \cdot d_{ag} \cdot \rho_l}{\eta_l} = \frac{n \cdot d_{ag}^2 \cdot \rho_l}{\eta_l}.$

111. - Intensitatea amestecării este determinată de cifra Reynolds, $\text{Re}.$

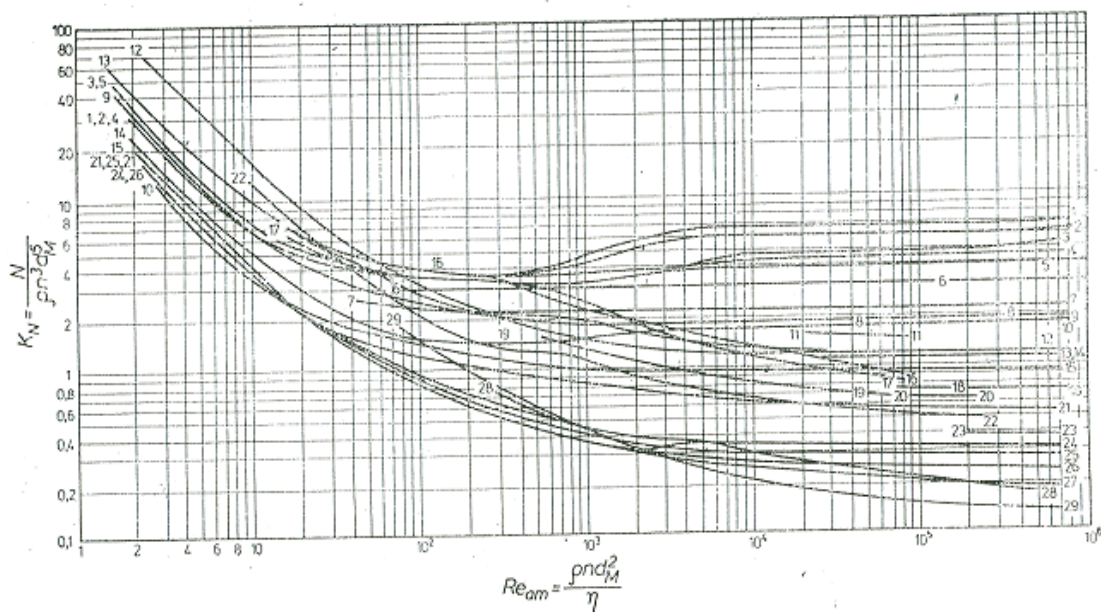
- $\text{Re}_{am} < 50$; regim laminar de amestecare,
- $\text{Re}_{am} > 50$; regim turbulent de amestecare.
- Fr_{am} este criteriul Froude pentru amestecare: $\text{Fr}_{am} = \frac{n^2 \cdot d_{ag}}{g}.$
- P este puterea necesară creării turbulenței la amestecare, [W];
- ρ_l este densitatea lichidului sau amestecului, $[\text{kg}/\text{m}^3];$
- η_l este viscozitatea lichidului sau amestecului, $[\text{Pa} \cdot \text{s}];$
- n este turația amestecătorului, $[\text{rot}/\text{s}];$
- d_{ag} este diametrul agitatorului, [m];
- w_{ag} este viteza periferică a agitatorului: $w_{ag} = \pi \cdot n \cdot d_{ag}, [\text{m}/\text{s}].$

112. Valorile constantelor c și m pentru unele tipuri de amestecătoare, [40, p. 507]

Tipul agitatorului	H/d	D/d	h/d	c	M	Condiții
Cu două palete	2	2	0,36	111	1	$Re < 20$
Cu două palete	2	2	0,36	14,35	0,31	$10^2 < Re < 5 \times 10^4$
Cu două palete	3	3	0,33	6,8	0,2	
Cu două palete la unghi de 45°	3	3	0,33	4,05	0,2	
Cu patru palete	3	3	0,33	8,52	0,2	
Cu patru palete la 45° în sus	3	3	0,33	5,05	0,2	
Cu patru palete la 60° în sus	3	3	0,33	6,30	0,18	
Ancoră cu două palete	1,11	1,11	0,11	6,2	0,25	
Ancoră cu patru palete	1,11	1,11	0,11	6	0,25	
Elice cu două palete la $22,5^\circ$	3	3	0,33	0,985	0,15	
Elice cu trei palete	3,5	3,8	1	230	1,67	$Re < 30$
Elice cu trei palete	3,5	3,8	1	4,63	0,35	$30 < Re < 3 \times 10^3$
Elice cu trei palete	3,5	3,8	1	1,19	0,15	$Re > 3 \times 10^3$
Turbină cu trei palete	3	3	0,33	3,9	0,2	
Turbină cu șase palete și tub de tiraj	1,78	2,4	0,25	5,98	0,15	

113. - Similitudinea la amestecarea lichidelor și suspensiilor trebuie să ia în considerare atât geometria vasului și a amestecătorului cât și rapoartele dintre mărimile acestora, adică: H/D , H/d , H/h , D/d , D/h , d/h etc.

- **Puterea** necesară pentru crearea turbulenței la amestecarea materialelor fluide se mai poate determina din diagrama de dependență $K_N = f(Re)$.

114. - Diagrama de corelare $K_N - Re$, [40, p. 535]:

115. - Fluxul termic molecular, (conductiv), ce trece printr-un perete plan monostrat în regim staționar: $q = \frac{Q}{A} = \frac{(T_c - T_r)}{r_c} = \frac{\lambda_c}{\delta} \cdot (T_c - T_r);$

în care: - q este densitatea fluxului termic, [W/m²];

- Q este cantitatea de căldură raportată la unitatea de timp, fluxul termic, [J/s] = [W];

- A este mărimea ariei prin care trece căldura, [m²];

- T_c și T_r sunt temperaturile fețelor calde și reci, [°K], [°C];

- $r_c = \frac{\delta}{\lambda_c}$, este rezistența conductivă a peretelui, [m²·°K/W];

- δ este grosimea stratului, peretelui, [m];

- λ_c este conductivitatea termică a materialului peretelui, [W/m·°K].

116. - Fluxul termic molecular, (conductiv), ce trece printr-un perete plan multistrat în regim staționar: $q = \frac{Q}{A} = \frac{(T_c - T_r)}{\sum_1^n r_{ci}} = \frac{(T_c - T_r)}{\frac{\delta_1}{\lambda_{c1}} + \frac{\delta_2}{\lambda_{c2}} + \frac{\delta_3}{\lambda_{c3}} + \dots}.$

117. - Aria medie logaritmică a suprafețelor cilindrice monostrat se determină cu:

$$A_{med} = \pi \cdot d_{med} \cdot L = \frac{\pi \cdot (d_e - d_i) \cdot L}{\ln \frac{d_e}{d_i}};$$

unde: - d_e și d_i sunt diametrele exterioare și interioare ale suprafeței cilindrice, [m];

- L este lungimea țevii, [m].

118. - Căldura transmisă prin peretele cilindric monostrat este:

$$Q = \frac{\lambda_c}{\delta} \cdot (T_c - T_r) \cdot A_{med} = \frac{2 \cdot \pi \cdot \lambda_c \cdot (T_c - T_r) \cdot L}{\ln \frac{d_e}{d_i}};$$

- **Observație:** Dacă raportul $d_e / d_i < 2$, se poate utiliza diametrul mediu:

$$A_{med} = \frac{\pi \cdot (d_e - d_i) \cdot L}{2}.$$

119. - Fluxul termic trecut printr-un perete cilindric multistrat în regim staționar

$$q = \frac{Q}{A_{med}} = \frac{2 \cdot \pi \cdot L \cdot (T_c - T_r)}{\sum_1^n r_{ci}} = \frac{2 \cdot \pi \cdot L \cdot (T_c - T_r)}{\sum_1^n \frac{1}{\lambda_{ci}}} = \frac{2 \cdot \pi \cdot L \cdot (T_c - T_r)}{\frac{1}{\lambda_{c1}} \cdot \ln \frac{d_{e1}}{d_{i1}} + \frac{1}{\lambda_{c2}} \cdot \ln \frac{d_{e2}}{d_{i2}} + \frac{1}{\lambda_{c3}} \cdot \ln \frac{d_{e3}}{d_{i3}} + \dots}$$

120. - Constantele fizico-chimice ale fluidului, (lichid sau gaz): densitate, viscozitate, călduri specifice, conductivitate termică, tensiune superficială, se iau la așa numită **temperatură determinantă**, care se indică pentru fiecare caz în parte.

- **Observație:** De cele mai multe ori valoarea temperaturii determinante este valoarea medie aritmetică a fluidului între intrare și ieșire.

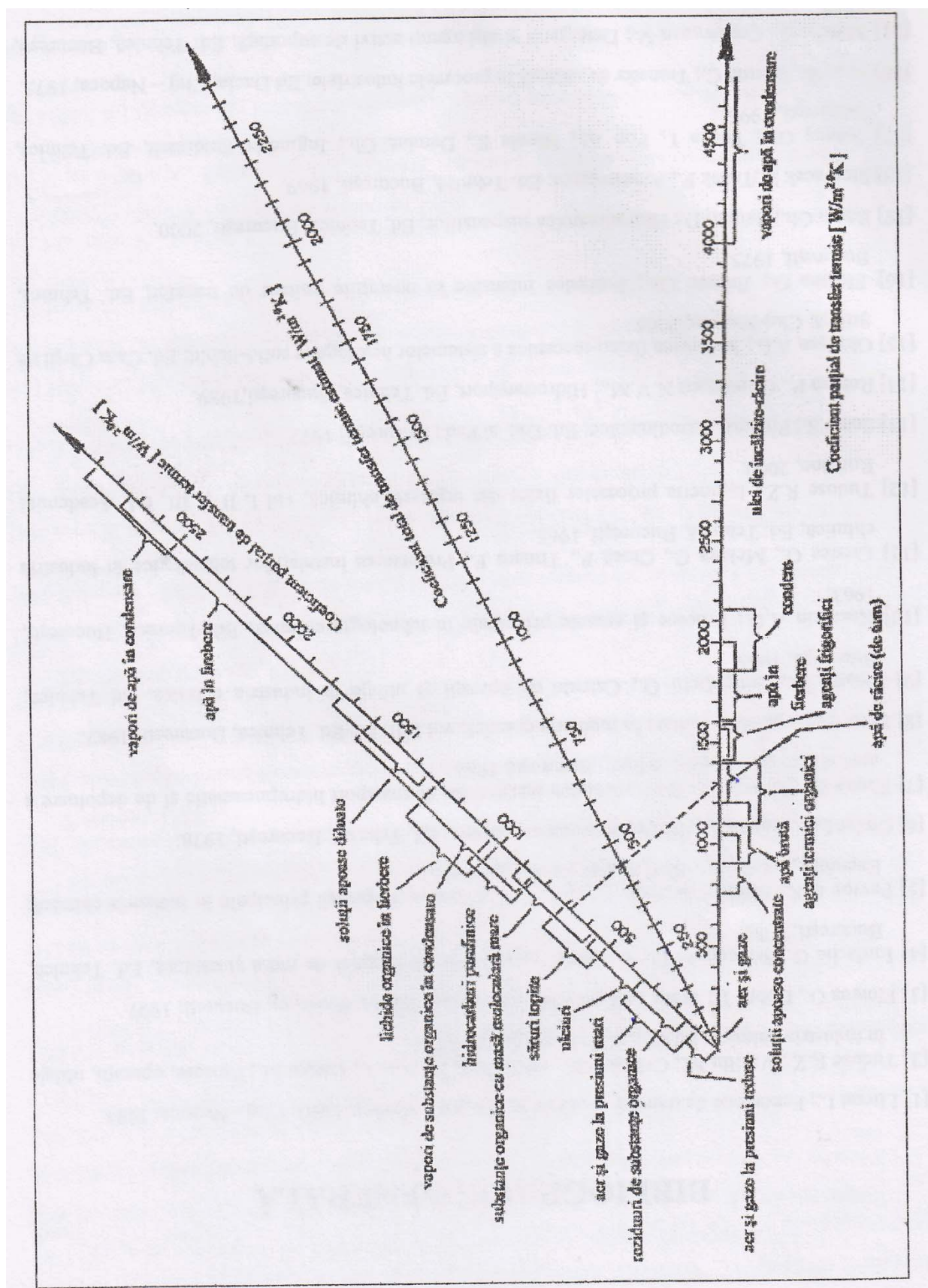
121. - Valori orientative privind coeficienții parțiali de transmitere a căldurii, α , [W/m².°K], valorile prezentate sunt considerate în condiții normale de funcționare: presiuni în jurul celei atmosferice, viteze pentru lichide 0,5 - 2,5 [m/s], viteze pentru gaze 5 - 15 [m/s], diametrul țevii 30 [mm].

Situația	apă sau lichide	aer, gaze și vapori de apă
1. Curgere turbulentă forțată:		
- în țevi și canale	1 000 - 3 500	30 - 70
- peste fascicule	3 000 - 10 000	60 - 110
2. Curgere liberă:		
- toate cazurile	200 - 700	3 - 12
3. Fierberea lichidelor:	2 000 - 24 000	
4. Condensarea vaporilor:	7 000 - 15 000	

122. - Valori orientative privind coeficienții totali de transmitere a căldurii, K, [W/m².°K]

Situația	Curgere forțată	Curgere liberă
1. Gaz - gaz (la presiuni obișnuite)	10 ÷ 40	3 ÷ 10
2. Gaz - lichid (răcitoare de gaz)	10 ÷ 60	6 ÷ 20
3. Vapori în condensare - gaz (încălzitoare de gaz)	10 ÷ 60	6 ÷ 12
4. Lichid - lichid (apă și soluții apoase)	800 ÷ 1 700	130 ÷ 350
5. Lichid - lichid (hidrocarburi, substanțe organice)	120 ÷ 280	30 ÷ 60
6. Vapori în condensare - apă (încălzitoare de apă)	800 ÷ 3 500	300 ÷ 1 300
7. Vapori în condensare - lichide organice(încălzitoare)	120 ÷ 350	60 ÷ 200
8. Vapori de substanțe organice în condensare - apă	300 ÷ 800	230 ÷ 460
9. Vapori în condensare - lichid în fierbere	500 ÷ 4 000	300 ÷ 2500

Alăturat este prezentată o diagramă care conduce la valori orientative pentru estimarea, (aproximarea), valorilor coeficienților totali de transfer termic din evaluarea coeficienților parțiali pentru diferite cazuri de transport termic și tipuri de materiale.



123. Diagramă pentru estimarea, (aproximarea),
coeficientului total de transfer termic, K , [$W/m^2 \cdot K$]

124. - Transmiterea căldurii în aparate are la bază bilanțul termic între căldurile schimbate și cea transferată prin pereții separator.

$$Q_{\text{ced}} = Q_{\text{transf}} = Q_{\text{prim}} + Q_{\text{pier.}}$$

125. - Q_{ced} și Q_{prim} poate fi căldură sensibilă sau latentă și se determină prin intermediul bilanțurilor de materiale care vehiculează căldura.

126. - Q_{pier} sunt disipările energetice inerente sistemelor fizice înspre spațiul înconjurător.

$$127. - Q_{\text{transf}} = K \cdot A \cdot \Delta T_{\text{med.}}$$

$$128. - \text{Căldura sensibilă este: } Q = m_{\text{corp}} \cdot c_{p \text{ corp}} \cdot (T_{\text{iniț}} - T_{\text{fin}}) = m_{\text{corp}} \cdot c_{p \text{ corp}} \cdot \Delta T_{\text{corp}} .$$

$$129. - \text{Căldura latentă se calculează cu: } Q = m_{\text{corp}} \cdot r_{\text{corp}} .$$

unde: - $c_{p \text{ corp}}$ este căldura specifică la presiune constantă a corpului respectiv, [J/kg·°K];

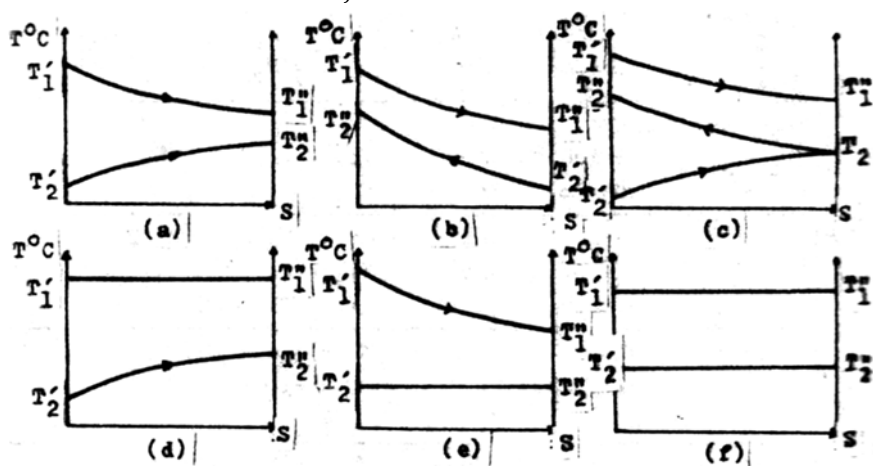
- r este căldura latentă de schimbare de fază, [J/kg].

- K este coeficientul total de transmitere a căldurii, [W/m²·°K].

$$130. - \Delta T_{\text{med}} = \frac{\Delta T_M - \Delta T_m}{\ln \frac{\Delta T_M}{\Delta T_m}} ; \text{ unde: } - \Delta T_M \text{ și } \Delta T_m \text{ sunt diferențele maxime și}$$

minime de temperatură la începutul și sfârșitul procesului de schimb termic.

131. Pentru **determinarea** ΔT_M și ΔT_m sunt utile diagramele termice ale procesului sunt utile diagramele de temperatură, care arată variația temperaturii pe lungimea schimbătorului, vezi mai jos:



132. Tipuri de diagrame termice $T = T(A)$

Schimbătoare de căldură monofazice: (a) - echicurent; (b) - contracurent; (c) - mixt.

Schimbătoare de căldură bifazice, (independente de sensul curgerii):

(d) - condensatoare sau încălzitoare cu vapori sau rezistențe electrice;

(e) - evaporatoare cu gaze calde sau răcitoare cu gheață; (f) - vaporizare-condensare.

133. - Transferul termic în regim nestaționar

133. 1. - Pentru regimurile **pseudostaționare**, adică acelea în care variația temperaturii în timp este valabilă doar pentru unul dintre fluxuri, Q , cantitatea de căldură transferată, se determină cu relația:

$$Q = K \cdot A \cdot \Delta T_{med} \cdot \tau,$$

unde: - K este coeficientul total de transfer termic, $[W/m^2 \cdot K]$;

- A este aria de transfer, $[m^2]$;

- ΔT_{med} este forța motrice medie logaritmică, $[^{\circ}K]$;

- τ este timpul de proces, $[s]$.

133. 2. - Pentru regimurile **nestaționare**, adică acelea în care variația temperaturii în timp este valabilă pentru ambele fluxuri, Q , cantitatea de căldură transferată, se determină cu relația:

$$Q = K \cdot A \cdot \Delta T'_{med} \cdot \tau,$$

unde: - $\Delta T'_{med}$ este **forța motrice medie logaritmică pentru regim nestaționar**, $[^{\circ}K]$;

133. 3. - Pentru **răcirea** unei mase de material cu un curent de fluid cu temperatură inițială constantă, $\Delta T'_{med}$ se determină cu relațiile:

$$\Delta T_{med} = \frac{T_{ci} - T_{cf}}{\ln \frac{T_{ci} - T_{ri}}{T_{cf} - T_{ri}}}; \quad C = \frac{T - T_{ri}}{T - T_{rf}}; \quad \Delta T'_{med} = \Delta T_{med} \cdot \frac{(C - 1)}{C \cdot \ln C}.$$

133. 4. - Pentru **încălzirea** unei mase de material cu un curent de fluid cu temperatură inițială constantă, $\Delta T'_{med}$ se determină cu relațiile:

$$\Delta T_{med} = \frac{T_{rf} - T_{ri}}{\ln \frac{T_{ci} - T_{ri}}{T_{ci} - T_{rf}}}; \quad C = \frac{T_{ci} - T}{T_{cf} - T}; \quad \Delta T'_{med} = \Delta T_{med} \cdot \frac{(C - 1)}{C \cdot \ln C}$$

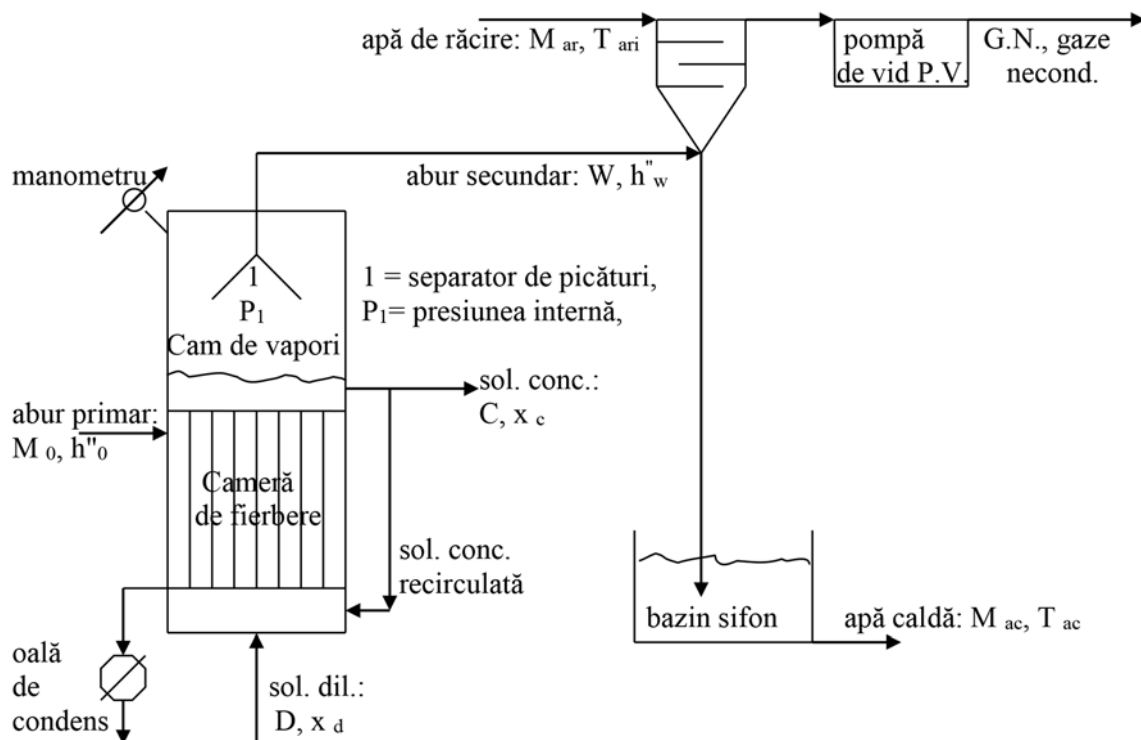
unde: - „ c'' ” și „ r'' ” sunt simbolurile pentru fluidul „cald” respectiv „rece”;

- „ i'' ” și „ f'' ” sunt simbolurile pentru inițial și final;

- T este temperatura momentană, (la un moment dat);

- C este o valoare constantă pentru un proces nestaționar oarecare.

134. - Vaporizatoarele sunt aparate care servesc la generarea vaporilor din solvenți puri sau din soluțiile solvenților cu solut nevolatil prin absorbție de căldură latentă, adică și pentru concentrarea soluțiilor diluate. Vaporizarea lichidului are loc în condiții de echilibru, la saturație, pe când evaporarea are loc în alte condiții decât cele de echilibru și saturație, dar tot prin absorbție de căldură latentă. Schema tehnologică și modul de funcționare a unui vaporizator cu simplu efect sunt prezentate în continuare:



135. Vaporizator cu simplu efect

136. - Capacitatea de vaporizare, C_e este cantitatea de solvent vaporizat, M_e , raportată la suprafața de transfer termic, A și unitatea de timp, τ :
$$C_e = \frac{M_e}{A \cdot \tau}.$$

137. - Temperatura de fierbere a soluțiilor la care solutul este nevolatil se determină cu relația:

$$T_{\text{fierbere}} = T_0 + \Delta T_{rh} + \Delta T_{eh} + \Delta T_{dep},$$

unde: - T_0 este temperatura de fierbere a solventului pur, [$^{\circ}\text{K}$];

- ΔT_{rh} este creșterea temperaturii de fierbere datorate rezistențelor hidraulice, [$^{\circ}\text{K}$];

- ΔT_{eh} este creșterea temperaturii de fierbere datorată efectului hidrostatic, [$^{\circ}\text{K}$];

- ΔT_{dep} este creșterea temperaturii de fierbere datorată concentrării solutului, [$^{\circ}\text{K}$].

138. - Relația lui Babo:
$$\left(\frac{p}{p_0} \right)_T = \text{const.},$$

unde. - p este presiunea de vapori a soluției;

- p_0 este presiunea de vapori a solventului pur care fierbe la aceeași temperatură.

139. - Corecția lui Strabnikov pentru soluții concentrate care fierb sub vid se adună dacă dizolvarea substanței este exotermă și se scade din valoarea rezultată din relația Babo dacă dizolvarea este endotermă.

		Raportul (p/p _o)					Corecția ± T [°K]
0,9	0,8	0,7	0,6	0,5	0,4	0,3	
Presiunea absolută [mm Hg]							
100	200	400	450	500	550	650	0,9
-	50	200	350	450	500	550	1,8
-	-	100	275	300	350	400	2,6
-	-	-	150	200	250	300	3,6

140. - ΔT_{rh} , [°K], este creșterea temperaturii de fierbere datorate tuturor rezistențelor hidraulice ale traseului de evacuare a vaporilor din aparat, inclusiv a separatoarelor de picături. Energia cinetică a vaporilor provine de la energia termică a agentului de încălzire:

$$\Delta p_{rh} = \frac{\rho \cdot w^2}{2} \cdot \left(1 + \lambda \cdot \frac{L}{d} + \sum \xi \right).$$

141. - ΔT_{eh} este creșterea temperaturii de fierbere datorată efectului hidrostatic, [°K];

$$\Delta p = \rho_{sol\ conc} \cdot g \cdot h_n,$$

unde: - $\rho_{sol\ conc}$ este densitatea soluției concentrate, [kg/m³];

- h_n este înălțimea normală a soluției în țevi, [m], calculată cu relația:

$$h_n = [0,26 + 0,0014 \cdot (\rho_{sol\ conc} - \rho_{solvent})] \cdot h_T,$$

- $\rho_{solvent}$ este densitatea solventului la temperatura de fierbere din aparat, [kg/m³];

- h_T este înălțimea stratului de lichid sau a țevelor fierbătoare, [m].

142. - ΔT_{dep} , [°K], este creșterea temperaturii de fierbere datorată concentrării solutului, adică este efectul ebullioscopic specific fiecărui cuplu solvent-solut.

143. - Căldura latentă de vaporizare a unui lichid scade cu creșterea temperaturii și se anulează la punctul critic al fluidului. Pentru presiunea p, căldura latentă de vaporizare se poate determina cu relația:

$$r = r_{et} \cdot \frac{M_{et}}{M} \cdot \left(\frac{T}{T_{et}} \right)^2 \cdot \frac{dT_{et}}{dT} \cong r_{et} \cdot \frac{M_{et}}{M} \cdot \left(\frac{T}{T_{et}} \right)^2 \cdot \left(\frac{T_{p1} - T_{p2}}{T_{et\ p1} - T_{et\ p2}} \right),$$

unde: - r și r_{et} sunt căldurile latente a lichidului și a lichidului ales etalon, [J/kg];

- M și M_{et} sunt masele molare ale acestor lichide, [kg/kmol];

- T și T_{et} sunt temperaturile de fierbere a lichidului și a lichidului ales drept etalon la aceeași presiune, [°K];

- dT și dT_{et} sunt temperaturile diferențiale de fierbere, care se pot înlocui cu diferențele finite.

144. - Căldura latentă de vaporizare a lichidelor nepolare, [J/kg], se poate determina cu relația:

$$r = 19,2 \cdot 10^3 \cdot \left(\frac{T}{M} \right) \cdot (1,91 + \lg T),$$

unde: - T este temperatura absolută de fierbere, [°K];

- M este masa moleculară a lichidului, [kg/kmol].

145. - Căldura specifică de dizolvare, sau de cristalizare, q_d , [J/kg], a substanțelor solide cu solubilitate redusă se poate determina cu relația:

$$q_d = \frac{19,2 \cdot 10^3 \cdot \lg \frac{c_1}{c_2}}{M \cdot \left(\frac{1}{T_2} - \frac{1}{T_1} \right)},$$

unde: - M este masa moleculară a substanței dizolvate, anhidre, [kg/kmol];

- c_1 și c_2 sunt solubilitățile la temperaturile absolute T_1 și T_2 , [°K].

146. - Căldura latentă specifică de topire sau de lichefiere, q_t , [J/kg], poate fi estimată cu relațiile: a) - pentru compuși anorganici:

$$q_t = 25,1 \cdot 10^3 \cdot \frac{T_t}{M},$$

$$\text{b) - pentru compuși organici: } q_t = 41,9 \cdot 10^3 \cdot \frac{T_t}{M},$$

unde: - M este masa moleculară a substanței, (compusului), [kg/kmol];

- T_t este temperatura absolută de topire sau lichefiere, [°K].

147. - Căldura latentă de topire a gheții la presiune atmosferică este de 333,7 [kJ/kg].

148. - Temperatura, [°C] și concentrațiile, [% masă], a unor soluții apoase care fierb la presiune atmosferică, 760 [mm Hg], 1,033 [ata], 101 396,16 [Pa], [40, p. 557]

		101	102	103	104	105	107	110	115	120	125
1	CaCl ₂	5,66	10,31	14,16	17,36	20,00	24,24	29,33	35,68	40,83	45,80
2	KOH	4,49	8,51	11,97	14,82	17,01	20,88	25,65	31,97	36,51	40,23
3	KCl	8,42	14,31	18,96	23,02	26,57	32,62	-	-	-	-
4	K ₂ CO ₃	10,31	18,37	24,24	28,57	32,24	37,69	43,97	50,86	56,04	60,40
5	KNO ₃	13,19	23,66	32,23	39,20	45,10	54,65	65,34	79,53	-	-
6	MgCl ₂	4,67	8,42	11,66	14,31	16,59	20,32	24,41	29,48	33,07	36,02
7	MgSO ₄	14,31	22,78	28,31	32,23	35,32	24,86	-	-	-	-
8	NaOH	4,12	7,40	10,15	12,51	14,53	18,32	23,08	26,21	33,77	37,58
9	NaCl	6,19	11,03	14,67	17,69	20,32	25,09	-	-	-	-
10	NaNO ₃	8,26	15,61	21,87	27,53	32,43	40,47	49,87	60,94	68,94	-
11	Na ₂ SO ₄	15,26	24,81	30,73	-	-	-	-	-	-	-
12	Na ₂ CO ₃	9,42	17,22	23,72	29,18	33,86	-	-	-	-	-
13	CuSO ₄	26,95	36,98	40,83	44,47	-	-	-	-	-	-
14	ZnSO ₄	20,00	31,22	37,89	42,92	46,15	-	-	-	-	-
15	NH ₄ NO ₃	9,09	16,6166	23,08	29,08	34,21	42,53	51,92	63,24	71,26	77,11
16	NH ₄ Cl	6,10	17,11,35	15,96	19,80	22,89	28,37	35,98	46,95	-	-
17	(NH ₄) ₂ SO ₄	13,34	23,14	30,65	36,71	41,79	49,73	-	-	-	-

148. - Coeficientul total de transfer termic, K , [$\text{W}/\text{m}^2\cdot^\circ\text{K}$] se determină cu relația

generală: a) - pentru **pereți plani**:
$$K = \frac{1}{\frac{1}{\alpha_1} + \sum \frac{\delta_p}{\lambda_{cp}} + \sum r_{dep} + \frac{1}{\alpha_2}};$$

b) - pentru pereți cilindrici de un metru lungime:

$$K_L = \frac{\pi}{\frac{1}{\alpha_{int} \cdot d_{int}} + \sum \frac{1}{2 \cdot \lambda_c} \cdot \ln \frac{d_{ext}}{d_{int}} + \frac{1}{\alpha_{ext} \cdot d_{ext}} + \sum_1^n \frac{r_{dep}}{d_{i dep}}};$$

unde: - α_1 și α_2 sunt coeficienții parțiali de transfer termic, [$\text{W}/\text{m}^2\cdot^\circ\text{K}$];

- δ_p este grosimea efectivă a peretelui separator, [m];

- λ_{cp} este conductivitatea termică a peretelui, [$\text{W}/\text{m}\cdot^\circ\text{K}$];

- r_{dep} este rezistența depunerilor de pe peretele de schimb termic, [$\text{m}^2\cdot^\circ\text{K}/\text{W}$];

- d_{int} și d_{ext} sunt diametrele interioare și exterioare a peretelui, [m].

- **Observații:** - Valorile rezistențelor depunerilor sunt prelevate din date experimentale și tabelate. Cum condițiile experimentale nu pot fi identice, între aceste valori există diferențe, uneori mari.

- Dacă raportul $d_{ext}/d_{int} < 2$, se poate folosi cu suficientă precizie relația de calcul pentru pereții plani. În acest caz, aria de schimb termic se determină cu diametrul mediu al peretelui: $A_{cil} = \pi \cdot 0,5 \cdot (d_{ext} + d_{int}) \cdot L_{cil}$;

- Pentru schimbătoarele de căldură multitubulare formate din n țevi cu lungimea L , transmiterea căldurii se determină cu relația:

$$Q = K \cdot n \cdot L \cdot \Delta T_{med}.$$

149. - Transmiterea căldurii la contactul direct între fluide:

$$\alpha = K = 0,01 \cdot (\lambda_g/d_{ech}) \cdot Re_g^{0,7} \cdot Re_l^{0,7} \cdot Pr^{0,33}$$

$$Re_l = (4 \cdot Q_m / \sigma \cdot \eta_l) / g;$$

$$Re_g = (4 \cdot w_f \cdot Q_g / \sigma \cdot \eta_g);$$

unde: - Q_m este densitatea de stropire, [$\text{kg}/\text{m}^2\cdot\text{s}$];

- indicele „l” este pentru lichid, iar „g” pentru gaz;

- $d_{ech} = 4 \cdot \varepsilon / \sigma$ este diametrul echivalent al umpluturii, [m].

150. - Suprafața necesară de răcire pentru apă în aer staționar:

$$A = 170 + 0,09 \cdot (T_1 - T_2) \cdot (p_s - p);$$

unde. - T_1 și T_2 sunt temperaturile de intrare și ieșire a apei, [$^\circ\text{K}$];

- p_s este presiunea de vapori a apei la T_m , [torr];

- p este presiunea vaporilor de apă din aer, [torr];

- T_m este temperatura medie a apei, $(T_1 + T_2)/2$, [$^\circ\text{K}$].

151. - Pentru schimbul termic între pereți izolați termic și mediul înconjurător se mai pot folosi relațiile:

a) - pentru conducte izolate: $\alpha = 8,1 + 0,045 \cdot (T_{iz} - T_a); [W/m^2 \cdot K];$

b) - pentru conducte prin care circulă agenți frigorifici: $\alpha = 8,0; [W/m^2 \cdot K];$

c) - pentru pereți plani: $\alpha = 8,4 + 0,06 \cdot (T_{iz} - T_a).$

152. - Pentru schimbul termic între pereți și mediul înconjurător se mai pot folosi relațiile: d) la temperaturi între $50 \div 350 [^{\circ}C]$, $\alpha_e = 8 + 0,05 \cdot T_{pe}.$

e) - pentru aer ce curge forțat peste pereți rușoși:

$w \leq 5 [m/s], \quad \alpha_e = 5,3 + 3,6 \cdot w [kcal/m^2 \cdot h^{\circ}K];$

$w > 5 [m/s], \quad \alpha_e = 6,7 \cdot w^{0,78} [kcal/m^2 \cdot h^{\circ}K].$

153. - Dacă se cunoaște pierderea admisă de căldură, grosimea izolației se determină cu relația:

$$\delta_{iz} = \frac{d^{1,2} \cdot \lambda^{1,35} \cdot T^{1,73}}{q_p^{1,5}},$$

unde: - $\alpha = [kcal/cm^2 \cdot h \cdot K];$

- T_1 și T_2 sunt temperaturile feței izolațiilor și a aerului, $[^{\circ}C];$

- δ este grosimea izolației, $[mm];$

- λ este conductivitatea izolației, $[kcal/m \cdot h \cdot ^{\circ}K];$

- T este temperatura exterioară a conductei neizolate, $[^{\circ}C];$

- q_p este pierderea admisă de căldură, după izolare, $[kcal/m \cdot h].$

154. - Căldura de adsorbție a unor substanțe pe cărbune activ, $[kJ/kg]$, [40, p. 526]

Substanța	$Q_{ads} [kJ/kg]$	Substanța	$Q_{ads} [kJ/kg]$
Alcool etilic	1 386	Clorură de etil	779,3
Alcool metilic	1 715	Clorură de propil	779,3
Alcool propilic	1 145	Cloroform	508,2
Benzină	628,5	Diclorometan	611,3
Benzen	789,8	Eter etilic	877,8
Bromură de etil	534,6	Formiat de etil	820,8
Clorură de butil primară	706,4	Iodură de etil	376,3
Clorură de butil secundară	652,4	Metan	1 230
Clorură de trimetil metan	615,9	Sulfură de carbon	689,3
Clorură de izopropil	699,3	Tetraclorură de carbon	415,2
Clorură de metil	763,4		

**155. Gradul de îndepărtare a substanțelor extrase la prelucrarea succesivă
cu aceleași cantități de solvent proaspăt, [40, p. 527]**

Număr de spălări	1									
Raportul cantităților	1	2	3	4	5	6	7	8	9	10
Volum total de solvent		1	2	3	4	5	6	7	8	9
	10									
Gradul de spălare (% masă)	50,00	66,67	75,00	80,00	83,33	85,71	87,50	88,89	90,00	90,90

Număr de spălări	2									
Raportul cantităților	1	2	3	4	5	6	7	8	9	10
Volum total de solvent		2	4	6	8	10	12	14	16	18
	20									
Gradul de spălare (% masă)	75,00	88,89	93,75	96,00	97,22	97,96	98,44	98,76	99,00	99,17

Număr de spălări	3									
Raportul cantităților	1	2	3	4	5	6	7	8	9	10
Volum total de solvent		3	6	9	12	15	18	21	24	27
	30									
Gradul de spălare (% masă)	87,50	96,30	98,44	99,20	99,54	99,71	99,81	99,86	99,90	99,92

Număr de spălări	4									
Raportul cantităților	1	2	3	4	5	6	7	8	9	10
Volum total de solvent		4	8	12	16	20	24	28	32	36
	40									
Gradul de spălare (% masă)	93,75	98,76	99,61	99,84	99,92	99,96	99,98	99,98	99,99	99,99

156. Capacitatea de adsorbție a unor materiale, [%], [43, p. 227]

Nr. crt.	Adsorbent\Adsorbit	Benzen	CCl ₄	Gazolină	Color. org.	Comp. halog.
1	Cărbune activ pudră	22 ÷ 25	17	10 ÷ 20	8 ÷ 12	12 ÷ 15
2	Cărbune activ granule	18 ÷ 20	15	9 ÷ 18	7 ÷ 11	10 ÷ 13
3	Silicagel	0	15 ÷ 35	0	3 ÷ 5	8 ÷ 10
4	Bentonită	6 ÷ 10	10 ÷ 26	5 ÷ 9	8 ÷ 13	8 ÷ 10
5	Alumină activată	0	0	0	0 ÷ 22	4 ÷ 10
6	Tuf vulcanic	8 ÷ 18	0 ÷ 22	8 ÷ 12	10 ÷ 18	8 ÷ 15
7	Pământ decolorant	10 ÷ 20	8 ÷ 10	10 ÷ 18	10 ÷ 25	6 ÷ 18

157. - Uscarea gazelor cu substanțe higroscopice, [20, vol III, p. 531]

Substanța	Pres. vap. apă, [Pa]	Substanța	Pres. vap. apă, [Pa]
Anhidridă fosforică	0,0027	Oxid de calciu	27
Anhidridă fosforică, topită	0,27	Clorură de calciu, anh.	19 - 33
Acid sulfuric	0,4	Clorură de zinc	107
Oxid de magneziu	1,07	Sulfat de cupru, anh.	187
Hidroxid de sodiu	21,3		

158. Presiunea de vapori a gheții în funcție de temperatură, [20, vol III, p. 522]

Temp. [°C]	Pres. [Pa]	Temp. [°C]	Pres. [Pa]	Temp. [°C]	Pres. [Pa]
0	610	- 11	237	- 21	93
- 1	563	- 12	217	- 22	85
- 2	517	- 13	199	- 23	77
- 3	476	- 14	181	- 24	71
- 4	437	- 15	165	- 25	64
- 5	401	- 16	151	- 26	57
- 6	368	- 17	137	- 27	52
- 7	339	- 18	125	- 28	47
- 8	311	- 19	113	- 29	43
- 9	284	- 20	104	- 30	39
- 10	260				

159. Mărimea și durata de uscare a picăturilor la $\Delta T = 153$ [°K], [20, vol II, p. 518]

D pic [μm]	S pic [m ²]	V pic [m ³]	Nr pic/l lich [l ⁻¹]	S pic/l lich [m ² /l]	Timp [s]
10 000	$3,1420 \cdot 10^{-4}$	$0,523600 \cdot 10^{-6}$	$1,910 \cdot 10^3$	0,6	4 200
5 000	$0,7854 \cdot 10^{-4}$	$0,065450 \cdot 10^{-6}$	$15,23 \cdot 10^3$	1,2	1050
2 000	$0,1256 \cdot 10^{-4}$	$0,004189 \cdot 10^{-6}$	$239,0 \cdot 10^3$	3,0	170
1 000	$3,1420 \cdot 10^{-6}$	$0,523600 \cdot 10^{-9}$	$1,910 \cdot 10^6$	6	42
500	$0,7854 \cdot 10^{-6}$	$0,065450 \cdot 10^{-9}$	$15,23 \cdot 10^6$	12	11
200	$0,1256 \cdot 10^{-6}$	$0,004198 \cdot 10^{-9}$	$239,0 \cdot 10^6$	30	1,7
100	$3,1420 \cdot 10^{-8}$	$0,523600 \cdot 10^{-12}$	$1,910 \cdot 10^9$	60	0,42
50	$0,7845 \cdot 10^{-8}$	$0,065450 \cdot 10^{-12}$	$15,23 \cdot 10^9$	120	0,11
20	$0,1256 \cdot 10^{-8}$	$0,004189 \cdot 10^{-12}$	$239,0 \cdot 10^9$	300	0,017
10	$3,1420 \cdot 10^{-10}$	$0,523600 \cdot 10^{-15}$	$1,910 \cdot 10^{12}$	600	0,0042
5	$0,7845 \cdot 10^{-10}$	$0,065450 \cdot 10^{-15}$	$15,23 \cdot 10^{12}$	1 200	0,0011
2	$0,1256 \cdot 10^{-10}$	$0,004189 \cdot 10^{-15}$	$239,0 \cdot 10^{12}$	3 000	0,00017
1	$3,1420 \cdot 10^{-12}$	$0,523600 \cdot 10^{-18}$	$1,910 \cdot 10^{15}$	6 000	0,000042

160. STAS 1077 - 76 Site normale românești cu dimensiunea ochiului, diametrul sârmei și numărul de ochiuri pe [cm²], [20, p. 250]

Latura [mm]	0,042	0,045	0,053	0,06	0,063	0,075	0,085	0,09	0,1	0,105
ø sârmă [mm]	0,03	0,33	0,035	0,04	0,045	0,05	0,05	0,055	0,066	0,07
Nr. ochiuri	19320	15525	12900	10000	8575	6400	5486	4900	3600	3270

Latura [mm]	0,12	0,125	0,15	0,18	0,2	0,21	0,25	0,3	0,335	0,4
ø sârmă [mm]	0,08	0,1	0,1	0,11	0,13	0,14	0,17	0,2	0,22	0,24
Nr. ochiuri	2500	1975	1600	1188	900	811	566	400	302	256

Latura [mm]	0,42	0,5	0,6	0,7	0,75	0,85	1
ø sârmă [mm]	0,28	0,34	0,4	0,45	0,5	0,55	0,65
Nr. ochiuri	204	142	100	81	64	50	36

161. Schema de reacții de neutralizare a principalilor poluanți chimici

acid + bază = sare + apă;

Cation⁺ + Anion⁻ = compus „inactiv”, sare greu solubilă;

Metale grele⁺ + Anion⁻ = precipitat, sare greu solubilă;

Metale grele⁺ + S²⁻ = sulfuri greu solubile;

Metale grele⁺ + OH⁻ = hidroxizi greu solubili;

Simbolizări:

X⁻ = F⁻, Cl⁻, Br⁻, I⁻

Me⁺ = ion metalic

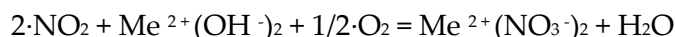
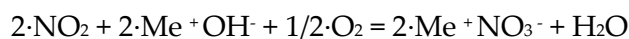
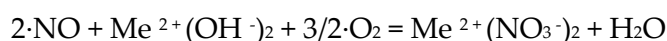
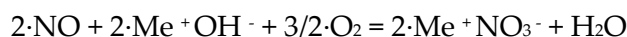
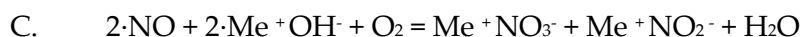
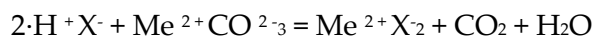
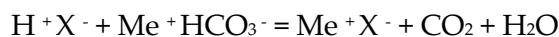
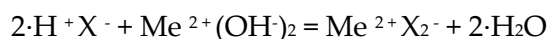
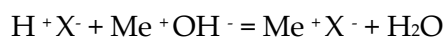
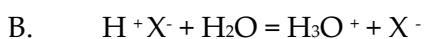
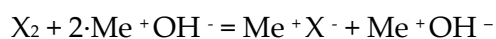
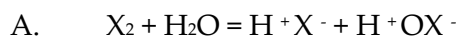
Na⁺, K⁺, Mg²⁺, Ca²⁺, Ba²⁺

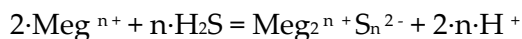
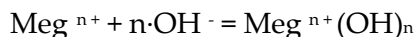
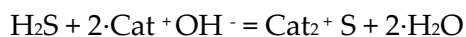
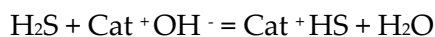
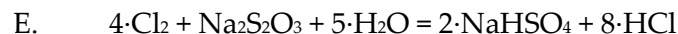
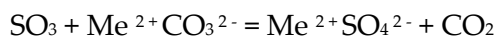
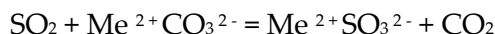
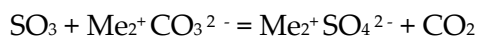
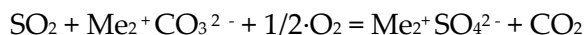
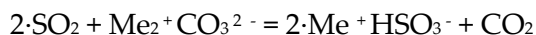
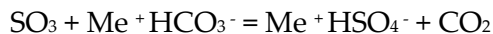
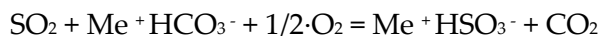
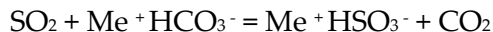
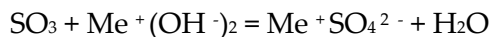
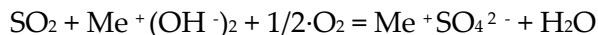
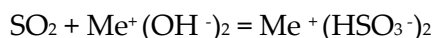
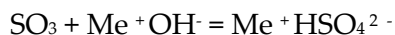
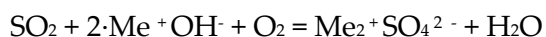
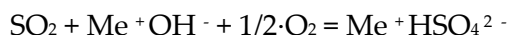
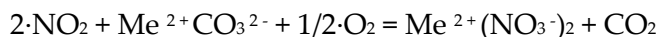
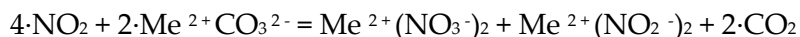
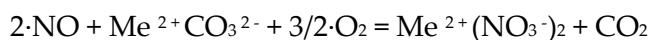
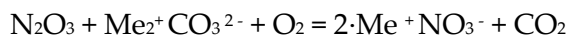
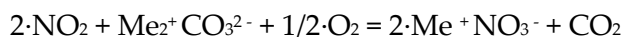
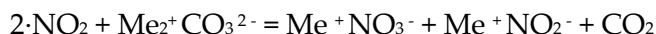
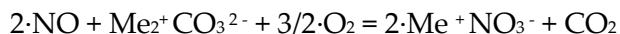
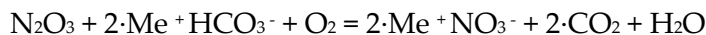
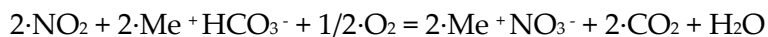
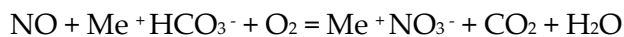
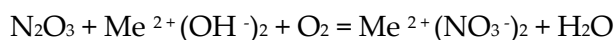
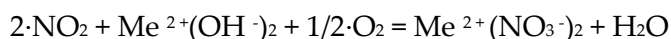
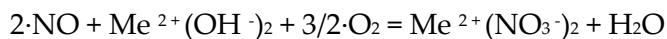
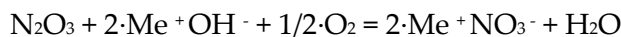
Meg⁺ = ioni de metale „grele”: Fe²⁺, Fe³⁺, Cu²⁺, Mn²⁺, Mn³⁺, Pb²⁺, Pb⁴⁺, Sn²⁺, Hg²⁺, Zn²⁺, Cd²⁺, Ni²⁺,

Ani⁻ = anion

Cat⁺ = cation

H⁺ = proton





162. - Solubilitatea unor gaze în apă, [20, vol. III, p 33]

Pres. parțială p_A		Constanta lui Henry, $H, \times 10^4$							
		Azot		Hidrogen		Oxygen		Oxid de carbon	
[Torr]	[Pa]	19,4 [°C]	24,9 [°C]	19,5 [°C]	23 [°C]	23 [°C]	25,9 [°C]	17,7 [°C]	19 [°C]
900	120000	8,35	9,20	7,52	4,64	4,83	4,94	-	-
2 000	266600	8,43	9,27	7,52	7,86	4,65	4,86	4,83	4,97
3 000	399900	8,52	9,37	7,53	7,87	4,66	4,89	4,83	4,99
4 000	533200	8,60	9,50	7,57	7,91	4,74	4,94	4,84	5,01
5 000	666500	8,70	9,61	7,66	7,99	4,79	4,98	4,86	5,03
6 000	799800	8,85	9,74	7,80	8,10	4,86	5,04	4,88	5,04
7 000	933100	8,98	9,88	7,97	8,27	4,94	5,12	4,92	5,09

163. Constanta lui Henry, $H, \times 10^4$ [Pa] pentru gazele uzuale în apă, [20, vol. III, p. 33]

Gazul	0 [°C]	10 [°C]	20 [°C]	30 [°C]	40 [°C]	50 [°C]	60 [°C]	80 [°C]	100 [°C]
H ₂	5,87	6,44	6,92	7,38	7,61	7,75	7,75	7,65	7,55
N ₂	5,36	6,76	8,14	9,36	10,5	11,45	11,35	12,76	12,76
Aer	4,38	5,56	6,73	7,81	8,81	9,59	10,23	10,84	10,84
CO	3,57	4,48	5,43	5,28	7,05	7,71	8,32	8,56	8,57
O ₂	2,58	3,31	4,06	4,81	5,42	5,96	6,37	6,96	7,10
CH ₄	2,27	3,01	3,81	4,55	5,29	5,84	6,34	6,34	7,10
C ₂ H ₆	1,28	1,92	2,66	3,46	4,28	5,07	5,73	6,71	7,01
C ₂ H ₄	0,559	0,778	1,03	1,29	-	-	-	-	-
CO ₂	0,0737	0,1054	0,144	0,1188	0,236	0,287	0,345	-	-
C ₂ H ₂	0,0729	0,097	0,123	0,148	-	-	-	-	-
H ₂ S	0,0271	0,0372	0,0489	0,0617	0,0755	0,0895	0,104	0,137	0,15
Cl ₂	0,0271	0,0396	0,0535	0,0669	0,08	0,0902	0,0975	0,0972	-
Br ₂	21,6	37,1	61,1	91,7	0,0135	0,0193	0,0254	0,0409	-
SO ₂	16,66	24,5	35,5	48,5	66,0	87,1	0,0111	0,0170	-
HCl	2,46	2,62	2,79	2,94	3,03	3,05	2,99	-	-
NH ₃	2,08	2,4	2,78	3,21	-	-	-	-	-

Pentru un gaz și un lichid, concentrația de echilibru este o funcție de presiune și temperatură:

$$c = f(p, T).$$

La temperatură constantă, ecuația devine Legea lui Henry, adică presiunea gazului este proporțională cu fracția molară în lichid:

$$p = H \cdot x;$$

unde: - x este fracția molară a gazului dizolvat în lichid, [mol/mol], [-];

- H este constanta lui Henry, [Pa];

- p este presiunea gazului, [Pa].

**164 Coeficientul de conductivitate termică, λ , [W/m⁰K]
între 0 și 100 [°C] pentru solide, [40, p. 510]**

Materialul	Densitatea	λ [W/m ⁰ K]	Materialul	Densitatea	λ [W/m ⁰ K]
Azbest	600	0,151	Magnezie	216	0,070
Beton	2 300	1,28	Nisip uscat	1 500	0,349 - 0,814
Căramidă obișnuită	1 700	0,698 - 0,814	Plută	160	0,047
Căramidă refractară	1 840	1,05	Pâslă	300	0,047
Căramidă izolanță	600	0,116 - 0,209	Rugină	-	1,16
Crustă, piatră de cazan	-	1,163 - 3,49	Piatră, (bazalt)	3 000	0,698
Email anticoroziv	2 350	0,872 - 1,163	Sticlă	2 500	0,698 - 0,814
Gheață	920	2,33	Vată de sticlă	200	0,035 - 0,070
Lemn, (brad) pp pe fibră	600	1,140 - 1,174	Vată de zgură	250	0,076
Lemn, (brad) par pe fibră	600	0,384	Vopsea	-	0,233

**165. Coeficientul de conductivitate termică, λ , [W/m⁰K],
între 0 și 100 [°C] pentru metale, [40, p. 510]**

Materialul	Densitatea, ρ , [kg/m ³]	λ , [W/m ⁰ K]
Aluminiu	2700	203,5
Alamă	8500	93,0
Bronz	8000	64,0
Cupru	8800	384
Fontă	7500	46,5 - 93,0
Oțel	7850	46,5
Oțel inoxidabil	7900	17,5

166. Conductanța termică a pereților impurificați, $\frac{1}{r_{dep}}$, [W/m²·K], [40, p. 511]

Purtătorul de căldură	Valoarea r_{dep} , [W/m ² ·K]
Apă impurificată	1 200 - 1 600
Apă de calitate medie	1 600 - 2 500
Apă de calitate bună	2 500 - 5 000
Apă purificată	2 700 - 5 500
Apă distilată	10 000
Condens	12 000
Produse petroliere curate, uleiuri,	2 500
Produse petroliere brute	1 000
Păcură	125
Lichide organice, soluții de săruri, agenți frigorifici lichizi	5 000
Hidrocarburi halogenate	2 500
Vapori de apă cu urme de ulei	5 000
Vapori de apă curați	12 000
Vapori de compuși organici	10 000

Purtătorul de căldură	Valoarea r_{dep} , [W/m ² ·K]
Vapori de agenți frigorifici	5 500
Aer	2 400
Aer atmosferic	1 500
Aer comprimat	4 000
Azot, hidrogen, alte gaze curate	10 000

167. Conductivitatea unor depuneri pe pereții de transfer termic, $\lambda_{c dep}$ [W/m·°K]

Biofilm	0,7	Resturi proteice, (lapte)	0,5 – 0,7
CaCO ₃	2,9	CaSO ₄	2,3
Ca ₃ (PO ₄) ₂	2,6	Mg ₃ (PO ₄) ₂	2,3
Fe ₂ O ₃ (magnetit)	2,9	Fe ₂ O ₃ (hematit)	0,6 (vaporizatoare)
CaCO ₃	0,9 (vaporizatoare)	CaSO ₄	1,3 (vaporizatoare)

168. Valorile unor proprietăți termice a câtorva materiale

Nr. crt.	Materialul	Coeficient de dilatare liniară [° K ⁻¹ × 10 ⁵]	Conductivitatea termică, λ , [W/m·° K]
1.	ABS (acrilonitril-butadiena-stiren)	6 ÷ 11	0,174
2.	CA (acetat de celuloză)	9,5 ÷ 15	0,186 ÷ 0,221
3.	Rășini fenoxidice	6,4	0,232
4.	PEjd (polietilenă joasă densitate)	19 ÷ 20	0,43 ÷ 0,488
5.	PEid (polietilenă înaltă densitate)	14,5 ÷ 20	0,31 ÷ 0,35
6.	PA (poliamidă)	5 ÷ 10	0,198 ÷ 0,29
7.	PVC plastifiat	20 ÷ 24	0,08 ÷ 0,09
8.	PVC dur	6,5 ÷ 7,5	0,083
9.	PU compact (poliuretan)	16 ÷ 24	0,29
10.	PEN (poliester nesaturat)	9 ÷ 13	1,163 ÷ 0,187
11.	Rășini fenolice	1 ÷ 3	0,1977
12.	Rășini ureice	4 ÷ 5	0,32 ÷ 0,43
13.	Rășini melaminice	1 ÷ 6	0,43 ÷ 0,488
14.	Rășini epoxidice	6 ÷ 10	0,081 ÷ 0,235
15.	Aluminiu	2,4	205,85
16.	Alamă	18,4	93 ÷ 109,3
17.	Bronz	17,5	60 ÷ 82,6
18.	Cupru	1,9	349 ÷ 384
19.	Duraluminiu	23,4	139,6
20.	Mercur	18,5	244,3
21.	Oțel	12	47,5
22.	Sticlă de cuarț	0,5	0,013
23.	Sticlă „Jena”	6,3 ÷ 8,1	0,029
24.	Sticlă A	1	0,028

169. Valori informative despre unele materiale izolatoare termice, [30, p. 313]

Denumirea	Densitatea	λ [W/m ⁰ K]	Observații
Spumă FFA	30 – 150	0,02 – 0,03	$R_c = 2,8 - 4,0$ kgf/cm ² , fragilă
Spumă UFA	24 – 30	0,052	$R_c = 0,9 - 2,1$ kgf/cm ² , fragilă
Spumă epoxidică	20 – 80	0,02 – 0,03	$R_c = 2,3 - 6,0$ kgf/cm ²
Spume siliconice	700 – 900	0,0158	
Spume PU	30 – 600	0,01 – 0,18	dependente de structură
Polistiren expandat	10	0,035	
	20	0,028	
	30	0,026	
	40	0,027	
	50	0,028	
	60	0,0285	
	70	0,0287	
	80	0,0289	
Plută	260	0,047	
Rumeguș	260	0,07 – 0,093	
Vată de sticlă	200	0,035 – 0,075	
Vată de zgură	250	0,076	

170. Unele proprietăți ale vaporilor de apă saturați, [44, p. 235]

p [ata]	T [°C]	r [kJ/kg]	p [ata]	T [°C]	r [kJ/kg]
0,08	41,1	2 400	1,2	104,2	2 249
0,1	45,4	2 390	1,4	108,7	2 237
0,2	59,7	2 358	1,6	112,7	2 227
0,3	68,7	2 336	1,8	116,3	2 217
0,4	75,1	2 320	2,0	119,6	2 208
0,5	80,9	2 307	3,0	132,9	2 171
0,6	85,5	2 296	4,0	142,9	2 141
0,7	89,3	2 286	5,0	151,1	2 117
0,8	93,3	2 278	6,0	158,1	2 095
0,9	96,2	2 270	7,0	164,2	2 075
1,0	99,1	2 264	8,0	169,6	2 057

171. Parametri sterilizării umede și uscate, [4, vol I, p. 98]

TTM	Uscat		Umed	
	Temp [°C]	Timp [min]	Temp [°C]	Timp [min]
Salmonella typhi	100	30	65	20 [s]
Mycobacterium tuberculosis	100	45	65	10 [s]
Staphylococcus pyogenes	120	30	65	1
Spori fungici	120	90	80	30
Spori de Bacillus anthracis	170	10	100	10
Spori nativi din sol	180	30	120	30

Timp termic mortal, (TTM) = toate microorganismele sporulate sunt distruse la o temperatură dată.

Punctul termic mortal, (PTM) = temperatura la care sunt distruse toate celulele unei specii în 10 minute.

PTM	80 [°C]	100 [°C]	110 [°C]	120 [°C]
Bacillus subtilis	74 ÷ 75 h	175 min	37 min	7,5 ÷ 8 min
Bacillus fusiformis	10 ÷ 10,5 h	40 – 45 min		
Bacillus mycoides	7,5 ÷ 8 h	10 min		
Bacillus megaterium	16 ÷ 17 h	15 -16 min		
Bacillus cylindricus		20 h		
Clostridium botulinum		5,5 h	32 min	4 min
Clostridium sporogenes		10 h	90 min	15 min

172. Valorile parametrului X_{90} pentru diferite situații, [4, I, p 117]

Material filtrant	D fir [μm]	Microorganism	w [cm/s]	X_{90}
Fibră de sticlă	16	Bacillus subtilis (spori)	3	4,0
			15	9,0
			30	11,5
			150	1,5
			300	0,4
	18,5	Serratia marcescens	3,9	3,1
			78	3,0
	8,5	Escherichia coli (Fagi tip 129)	3	0,4
			15	0,6
			30	0,7
			150	0,8
			300	0,9
Norite	15 - 30 mesh	Bacillus cereus (spori)	1,4	1,7
			6,4	1,5
Cărbune activ	4 - 8 mesh	Bacillus cereus (spori)	18	1,7
			28,5	8,7

Notă: mesh este o unitate de măsură a fineții particulelor solide, uzuală în S.U.A. Unitatea se definește ca 200 [ochiuri de sită/țol]. Altfel spus 200/2,54 [cm], 1 mesh = 0,0127 [cm], 1 mesh = 0,127 [mm], 1 mesh = 127 [μm].

173. Timpul de epuizare a unei particule solide înconjurată de suficient solvent se poate determina cu relația: $\lg \frac{x}{x_i} = \lg a - 0,434 \cdot b \cdot \frac{D_{1,2} \cdot \tau}{l^2}$, [42, p. 316]

unde: - x este concentrația medie a extractului;

- x_i este concentrația inițială în m.p.;

- $D_{1,2}$ este coeficientul de difuziune a solutului;

- $a = (8/\pi)$; $b = \pi^2$; pentru placă;
- $a = (6/\pi^2)$; $b = \pi^2$; pentru sferă;
- $a = 0,694$; $b = 5,76$; pentru cilindrii prin aria laterală.

174. Retenția, reținerea statică de lichid sau saturația reziduală, ε_r , este lichidul reținut de particulele solide după înecarea completă cu lichid a stratului de particule solide, când $\varepsilon_r = 1$ și apoi scurgerea liberă a lichidului din strat. Pe înălțimea H a stratului granular, [m], saturația este mai mare în partea de jos, atingând saturația reziduală limită, ε_{r0} . Înălțimea de drenaj, h_d , [m], este porțiunea din partea de jos al stratului unde retenția statică se modifică brusc.

$$\varepsilon_m = \frac{(H - h_d)}{H} \cdot \varepsilon_{r0} + \frac{h_d}{H}, \quad K = \frac{1}{150} \cdot \frac{d_p^2 \cdot \varepsilon^3 \cdot g}{(1 - \varepsilon)^2}, \quad h_d = \frac{\left(\frac{0,275}{g}\right)}{\left(\frac{K}{g}\right)^{0,5} \cdot \left(\frac{\rho_l}{\sigma}\right)},$$

$$\varepsilon_{r0} = 0,075 \quad \text{pentru} \quad \frac{K \cdot \rho_l}{\sigma} \leq 0,02; \quad \varepsilon_{r0} = \frac{0,0018}{\frac{K \cdot \rho_l}{\sigma}} \quad \text{pentru} \quad \frac{K \cdot \rho_l}{\sigma} \leq 0,02,$$

- g - este accelerația gravitațională, 9,81 [m/s²];

- σ - este tensiunea superficială a lichidului, [N/m]. [43, p. 144]

175. Valorile poluanților considerate normale, de alertă și intervenție, pentru diverse tipuri de utilizări a solurilor, conform O.G. 756 din 3 noiembrie 1997

Nr. crt.	Elementul	Val. normale [mg/kg SU]	Prag alertă sensibil	Prag alertă mai puțin sensibil	Prag intervenție sensibil	Prag intervenție mai puțin sensibil	Val. det. [mg/kg SU]
1	Antimoniu	5	12,5	20	20	40	
2	Argint	2	10	20	20	40	
3	Arsen	5	15	25	25	50	
4	Bariu	200	400	1000	625	2000	
5	Beriliu	1	2	7,5	5	15	
6	Bor solubil	1	2	5	3	10	
7	Cadmiu	1	3	5	5	10	
8	Cobalt	15	30	100	50	250	
9	Crom total	30	100	300	300	600	
10	Crom hexaval	1	4	10	10	20	
11	Cupru	20	100	250	200	500	
12	Mangan	900	1500	2000	2500	4000	
13	Mercur	0,1	1	4	2	10	
14	Molibden	2	5	15	10	40	
15	Nichel	20	75	200	150	500	
16	Plumb	20	50	250	100	1000	

Nr. crt.	Elementul	Val. normale [mg/kg SU]	Prag alertă sensibile	Prag alertă mai puțin sensibile	Prag intervenți e sensibile	Prag intervenție mai puțin sensibile	Val. det. [mg/kg SU]
17	Seleniu	1	3	10	5	20	
18	Staniu	20	35	100	50	300	
19	Taliu	0,1	0,5	2	2	5	
20	Vanadiu	50	100	200	200	400	
21	Zinc	100	300	700	600	1500	
	Altele						
22	Cianuri libere	Max. 1	5	10	10	20	
23	Cianuri compl	Max 5	100	200	250	500	
24	Sulfocianați	Max. 0,1	10	20	20	40	
25	Fluor	-	150	500	300	1000	
26	Brom	-	50	100	100	300	
27	Sulf elementar	-	400	5000	1000	20000	
28	Sulfuri	-	200	400	1000	2000	
29	Sulfați	-	2000	5000	10000	50000	

**176. Valorile limită ale poluanților deversați în efluenți,
conform HG 188/2002, NORME NTPA-001/2002**

Nr. crt.	Indicatorul de calitate	U.M.	Valori limită admise	Metoda de determinare
1.	Temperatura	°C	35	-
2.	pH	unit pH	6,5 ÷ 8,5	SR ISO10523-97
3.	Materii în suspensie	mg/dm ³	35,0 (60)	STAS 6953-81
4.	CBO ₅	mg O ₂ /dm ³	20 (25,0)	STAS 6560-82 ST ISO 5815-98
5.	CCO bicromat	mg O ₂ /dm ³	70 (125)	ST ISO 6060-96
6.	Azot amoniacal	mg/dm ³	2,0 (3)	STAS 8683-70
7.	Azot total	mg/dm ³	10 (15)	STAS 7312-83
8.	Azotați	mg/dm ³	25 (37)	STAS 8900/1-98
9.	Azotiți	mg/dm ³	1,0 (2)	STAS 8900/2-98
10.	Sulfuri și H ₂ S	mg/dm ³	0,5	ST ISO10530-97 SR 7510-97
11.	Sulfiți	mg/dm ³	1,0	STAS 7661-89
12.	Sulfați	mg/dm ³	600	STAS 8601-70
13.	Fenoli antrenabili	mg/dm ³	0,3	STAS R 7167-92
14.	Substanțe extractibile cu solvenți	mg/dm ³	20	SR 7567-96
15.	Produse petroliere	mg/dm ³	5,0	SR 7277/1-95
16.	P total	mg/dm ³	1,0 (2)	SR EN 1189-99
17.	Detergenți sintetici	mg/dm ³	0,5	SR ISO 7825/1-96
18.	Cianuri totale	mg/dm ³	0,1	SR ISO 6703/1-98
19.	Clor rezidual liber	mg/dm ³	0,2	STAS 6364-78

20.	Cloruri	mg/dm ³	500	STAS 8663-70
21.	Fluoruri	mg/dm ³	5,0	STAS 8910-71
22.	Reziduu filtrat la 105°C	mg/dm ³	2000	STAS 9187-84
23.	Arsen	mg/dm ³	0,1	SR ISO 6595-97
24.	Aluminiu	mg/dm ³	5,0	STAS 9411-83
25.	Calciu	mg/dm ³	300	STAS3662-90
26.	Plumb	mg/dm ³	0,2	STAS 8637-79
27.	Cadmium	mg/dm ³	0,2	STAS 7852-80
28.	Crom total	mg/dm ³	1,0	STAS 7884-91
29.	Crom hexavalent	mg/dm ³	0,1	STAS 7884-91
30.	Fier total ionic	mg/dm ³	5,0	SR ISO 6332-96
31.	Cupru	mg/dm ³	0,1	STAS 7795-80
32.	Nichel	mg/dm ³	0,5	STAS 7987-67
33.	Zinc	mg/dm ³	0,5	STAS 8314-87
34.	Mercur	mg/dm ³	0,05	STAS 8045-79
35.	Argint	mg/dm ³	0,1	STAS 8190-68
36.	Molibden	mg/dm ³	0,1	STAS 11422-84
37.	Seleniu	mg/dm ³	0,1	STAS 12663-88
38.	Mangan	mg/dm ³	1,0	STAS 8662/1-96
39.	Magneziu	mg/dm ³	100	STAS6674-77
40.	Cobalt	mg/dm ³	1,0	STAS 8288-69

177. Substanțe poluante cu un grad ridicat de pericolozitate

1. Compuși organohalogeți;
2. Compuși organostanici și organofosforici;
3. Substanțe cu proprietăți cancerigene.
4. Compuși organici ai mercurului;
5. Compuși organosiliciici.

178. Valorile limită ale poluanților deversați în canalizările municipale, conform HG 188/2002 NORME NTPA-002/2002

Nr. crt.	Indicatorul de calitate	U.M.	Valori limită admise	Metoda de determinare
1.	Temperatura	°C	40	-
2.	pH	unit pH	6,5 ÷ 8,5	SR ISO10523-97
3.	Materii în suspensie	mg/dm ³	350	STAS 6953-81
4.	CBO ₅	mg O ₂ /dm ³	300	STAS 6560-82
				ST ISO 5815-98
5.	CCO bicromat	mg O ₂ /dm ³	500	ST ISO 6060-96
6.	Azot amoniacal	mg/dm ³	30	STAS 8683-70
7.	Azot total	mg/dm ³	- - -	STAS 8900/1-98
9.	Azotiți	mg/dm ³	- - -	STAS 8900/2-98
10.	Sulfuri și H ₂ S	mg/dm ³	1,0	ST ISO10530-97

				SR 7510-97
11.	Sulfizi	mg/dm ³	2	STAS 7661-89
12.	Sulfați	mg/dm ³	600	STAS 8601-70
13.	Fenoli antrenabili	mg/dm ³	30	STAS R 7167-92
14.	Substanțe extr. cu solv.	mg/dm ³	30	SR 7567-96
15.	Produse petroliere	mg/dm ³	---	SR 7277/1-95
16.	P total	mg/dm ³	5,0	SR EN 1189-99
17.	Detergenți sintetici	mg/dm ³	25	SR ISO 7825/1-96
18.	Cianuri totale	mg/dm ³	1,0	SR ISO 6703/1-98
19.	Clor rezidual liber	mg/dm ³	0,5	STAS 6364-78
20.	Cloruri	mg/dm ³	----	STAS 8663-70
21.	Fluoruri	mg/dm ³	---	STAS 8910-71
22.	Reziduu filtrat la 105°C	mg/dm ³	---	STAS 9187-84
23.	Arsen	mg/dm ³	---	SR ISO 6595-97
24.	Aluminiu	mg/dm ³	----	STAS 9411-83
25.	Calciu	mg/dm ³	----	STAS 3662-90
26.	Plumb	mg/dm ³	0,5	STAS 8637-79
27.	Cadmium	mg/dm ³	0,3	STAS 7852-80
28.	Crom total	mg/dm ³	1,5	STAS 7884-91
29.	Crom hexavalent	mg/dm	0,2	STAS 7884-91
30.	Fier total ionic	mg/dm	---	SR ISO 6332-96
31.	Cupru	mg/dm	0,2	STAS 7795-80
32.	Nichel	mg/dm	1,0	STAS 7987-67
33.	Zinc	mg/dm ³	1,0	STAS 8314-87
34.	Mercur	mg/dm ³	---	STAS 8045-79
35.	Argint	mg/dm ³	----	STAS 8190-68
36.	Molibden	mg/dm ³	----	STAS 11422-84
37.	Seleniu	mg/dm ³	----	STAS 12663-88
38.	Mangan	mg/dm ³	2,0	STAS 8662/1-96
39.	Magneziu	mg/dm ³	----	STAS 6674-77
40.	Cobalt	mg/dm ³	----	STAS 8288-69

179. Extras din Legea 458/2002 privind calitatea apei potabile

Tab. 2. Parametri chimici

Nr. crt.	Parametrul	U.M.	Val CMA	Metoda de analiză	Obs. Val.
1	Acrilamidă	μg/l	0,10	*	
2	Arsen	μg/l	10,0	STAS 7885/67 ISO 6595/97	
3	Benzen	μg/l	1,0	SR ISO 11423/1,2-00	
4	Benz(a)piren	μg/l	0,01	*	
5	Bor	mg/l	1,0	SR ISO 9390/01	
6	Bromați	μg/l	10,0	SR ISO 9562/89	
7	Cadmium	μg/l	5,0	STAS 11184/78 SR ISO 5961/93	
8	Clorură de vinil	μg/l	0,50	*	

9	Crom (total)	μg/l	50,0	STAS 7884/67 SR ISO 9178/98 SR ISO 11083/98 Cr ⁶⁺	
10	Cupru	mg/l	0,10	STAS 3224/69	
11	Cianuri (totale)	μg/l	50,0	STAS 10847/77 SR ISO 6703/1-98	
12	Cianuri (libere)	μg/l	10,0	STAS 10847/77 SR ISO 6703/1-98	
13	Diclorețan	μg/l	3,0	*	
14	Epilorhidrină	μg/l	0,10	*	
15	Fluor	mg/l	1,20	STAS 6673/62	
16	Hidrocarburi policiclice	μg/l	0,10	*	
17	Mercur	μg/l	1,0	STAS 10267/89	
18	Nichel	μg/l	20,0	*	
19	Nitrați	mg/l	50,0	STAS 3048/1-77	
20	Nitriți	mg/l	0,50	STAS 304/2-96 SR ISO 6777/96	
21	Pesticide (cant/clasă)	μg/l	0,10	STAS 12650/88	
22	Pesticide (total)	μg/l	0,50	STAS 12998/91	
23	Plumb	μg/l	10,0	STAS 6362/85	
24	Seleniu	μg/l	10,0	STAS 12663/88	
25	Stibiu	μg/l	5,0	*	
26	Tetraclorețan și tetraenă	μg/l	10,0	*	
27	Trihalometani (total)	μg/l	100,0	STAS 12997/91	

**180. Valori maxime ale unor noxe în emisiile provenite de la incineratoare,
conform OMAPP 462/1993 Anexa 3, par. 2)**

1. Pulberi:	5 mg / Nmc	24 de ore;
2. Carbon total	5 mg / Nmc	24 de ore;
3. Acid clorhidric	5 mg / Nmc	24 de ore;
4. Acid fluorhidric	1 mg / Nmc	24 de ore;
5. Oxizi de azot	300 mg / Nmc	24 de ore;
6. Oxizi de sulf	25 mg / Nmc	24 de ore;
7. Monoxid de carbon	50 mg / Nmc	24 de ore;
Metale grele: Hg	0,05 mg / Nmc	0,5 - 4 ore;
Cd + Tl	0,05 mg / Nmc	0,5 - 4 ore;

Alte metale grele sau poluanți:

Sb, As, Pb, Cr, Co, Cu, Mn, Ni, Sn, V,	0,5 mg / Nmc	0,5 - 4 ore,
Dioxine și furani	0,1 mg / Nmc	6 - 16 ore,

Valori raportate la 11, 5 [%] oxigen

181. Valori limită de emisie în aer a poluanților din gazele de ardere**1. Combustibil gazos**

Indicator	U/M	Valoare
a) Pulberi	mg/Nm ³	5
b) CO (monoxid de carbon)	mg/Nm ³	100
c) SO _x (exprimat ca SO ₂)	mg/Nm ³	35
d) NO _x (exprimat ca NO ₂)	mg/Nm ³	350

2. Combustibil lichid

Indicator	U/M	Valoare
a) Pulberi	mg/Nm ³	50
b) CO (monoxid de carbon)	mg/Nm ³	170
c) SO _x (exprimat ca SO ₂)	mg/Nm ³	1 700 pt P < 300 [MW/h]; 400 pt P > 300 [MW/h];
d) NO _x (exprimat ca NO ₂)	mg/Nm ³	450

3. Combustibil solid

Indicator	U/M	Valoare
a) Pulberi	mg/Nm ³	100
b) CO (monoxid de carbon)	mg/Nm ³	250
c) SO _x (exprimat ca SO ₂)	mg/Nm ³	2 000 pt P < 100 [MW/h]; 1 400 pt P > 100 [MW/h];
d) NO _x (exprimat ca NO ₂)	mg/Nm ³	500 400 pt P > 100 [MW/h];
e) Substanțe organice	mg/Nm ³	50

**182. Valori limită de emisie în aer a poluanților din aer, Ord. 592 - 2002
în [μg/m³], aer în condiții standard, T = 293 [°K], p = 101,3 [kPa]**

Poluantul	Valoare	Observații
SO _x	350	sănătate umană, 1 h
	125	sănătate umană 24 h
	20	ecosistem 1 an
NO _x	200	sănătate umană, 1 h
	40	sănătate umană, 24 h
	30	ecosistem vegetal 1 an
Pulberi	50	sănătate umană, 1 h
	40	sănătate umană, 24 h
Alții: Pb	50	CO 10 Benzen 5

FASCICULA V.

a) Bibliografie selectivă (pentru biotehnologie)

(pentru Fac. Biologie, secția ing. bio.)

- [1]. Oniscu C.; Tehnologia produselor de biosinteza; Ed. Tehnică, București, 1978.
- [2]. Zarnea G., Mencinicopschi Gh., Brăgărea Șt.; Bioingineria preparatelor enzimactice microbiene; Ed. Tehnică, București, 1980.
- [3]. Oniscu C.; Cascaval D.; Inginerie biochimică și biotehnologie; vol I și II; Ed. Interglobal, Iași, 2000.
- [4]. Cascaval D. Oniscu C., Galaction; Bioreactoare; Ed. Interglobal, Iași, 2002;
- [5]. Păsat, Gh.D., Turtoi M.; Bioreactoare, vol. I, Ed. Printech, București, 1998.
- [7]. Păsat Gh. D., Turtoi M., Iordache Gh.; Bioreactoare, vol. II, Ed. Printech, București, 1999.
- [8]. Sassson A.; Biotehnologiile. Sfidare și promisiuni. Ed. Tehnică, București, 1988.
- [9]. Kiss St., Ștefănie Gh.; Enzimologia mediului înconjurător; Ed. Ceres, București, 1991.
- [10]. Viesturs U., Smite J., Zilevica A.; Biotehnologie. Agenți biotehnologici. Tehnologii. Aparatură.; Ed. Ceres, București, 1991.
- [11]. Anghel I., Vamanu A., Mitache L., Stanciu C., Arizan D., Popa O., Rozmarin G., Cercel M., Popa C., Herczegh M., Arizan R.; Biologia și tehnologia drojdiilor, vol I, II, III; Ed. Tehnică, București, 1933.
- [12]. Blom R.H.; Pfeifer V.F.; Moyer A.J.; Traufler D.H., Conway H.F.; Sodium gluconate production; Fermentation with *Aspergillus niger*; Ind. Eng. Chem.; 44; 1952; p 435 - 447.
- [13]. Vitan F., Badea N.; Fenomene de transfer prin medii poroase, Ed. Princeps, Iași, 1993.
- [14]. Ciplea L.I., Ciplea Al.; Poluarea mediului ambiant; Ed. Tehnică, București, 1978.

b) Bibliografie generală (pentru operații, procese și calcule)

(pentru Fac. Biologie, secția ing. bio.)

- [15]. Literat L.; Fenomene de transfer și utilaje în industria chimică; U.B.B; Cluj - Napoca; 1985.
- [16]. Tudose R.Z., Vasiliu M., Cristian Gh., Isbășoiu I., Stancu A., Lungu M.; Procese, operații și utilaje în industria chimică; Ed Did. și Ped.; București; 1977.
- [17]. Tudose R.Z.; Ingineria proceselor fizice din ingineria chimică, vol I, II și III, Ed. Academiei Române, 2000.
- [18]. Floarea O., Dobre T.; Transferul cantității de mișcare; Ed. Matrix-Rom; București; 1997.

- [19]. Iordache O., Smigelschi O.; Ecuatiile fenomenelor de transfer de masă și căldură, Ed. Tehnică, București, 1981.
- [20]. Bratu E.A.; Operatii unitare în ingineria chimică, vol I, II, III; Ed. Tehnică, București; 1982.
- [21]. Kasatkin A.G.; Procese și aparate principale în tehnologia chimică; Ed. Tehnică, București, 1963.
- [22]. Florea J.; Robescu D.; Hidrodinamica instalațiilor de transport hidropneumatic și de depoluare a apei și aerului; Ed. Did. și Ped.; București; 1982.
- [23]. Soare S.; Procese hidrodinamice; Ed. Did. și Ped.; București; 1972.
- [24]. Roman P., Grigorescu N.V.M.; Hidrotransport, Ed. Tehnică, București, 1989.
- [25]. Băran Gh., Beuran D.; Hidrodinamica suspensiilor; Ed. Tehnică, București, 2000.
- [26]. Ghirișan A.L.; Separarea fizico-mecanică a sistemelor heterogene solid-lichid; Ed. Casa Cărții de Știință, Cluj-Napoca, 2005.
- [27]. Sterbacek Z., Tausk P., Amestecarea; Ed. Tehnică, București, 1969.
- [28]. Ivănuș Gh., Todea I., Pop Al., Nicola S., Damian Gh.; Ingineria fluidizării, Ed. Tehnică, București, 1996.
- [29]. Popa B., Vintilă C.; Transfer de căldură în procesele industriale; Ed Dacia; Cluj – Napoca; 1975.
- [30]. Seremet A., Medvedovici C.; Izolarea termică a instalațiilor; Ed Tehnică; București; 1989.
- [31]. Strățulă C.; Purificarea gazelor; Ed. Științifică și Enciclopedică; București, 1984.
- [32]. Ionescu T.D.; Schimbători de ioni; Ed. Tehnică, București, 1964.
- [33]. Cruceanu M., Popovici E., Vlădescu, Bâlba N., Russu R., Naum N., Vasile A.; Site moleculare zeolitice, Ed. Științifică și Enciclopedică, București, 1986.
- [34]. Strumillo C.; Bazele teoriei și tehnicii uscării; Ed. Tehnică, București, 1984.
- [35]. Florea O., Jinescu Gh.; Procedee intensive în operațiile unitare de transfer; Ed. Tehnică, București, 1975.
- [36]. Stoianovici S., Robescu D., Stamatoiu D.; Calculul și construcția echipamentelor de oxigenare a apelor; Ed. Ceres; București; 1985
- [37]. Negulescu M. (coordonator); Epurarea apelor uzate industriale, vol. I și II; Ed, Tehnică, București, 1989.
- [38]. Lydia-Maria Vaicum; Epurarea apelor uzate cu nămol activ, Ed. Academiei RSR, 1981
- [39]. Florea O., Smigelschi O.; Calcule de operații și utilaje în industria chimică; Ed Tehnică; București; 1966
- [40]. Pavlov I.; Romankov P.G.; Noskov A.A.; Procese și aparate în ingineria chimică; Exerciții și probleme; Traducere din limba rusă după ediția a 8-a; Ed. Tehnică, București, 1981.
- [41]. Bănescu A., Radulian D.; Sistematizarea calculelor aparatelor în industria chimică, Ed. Tehnică, București, 1977.
- [42]. Luca Gh.; Probleme de operații și utilaje în industria alimentară, Ed. Tehnică, București, 1978
- [43]. Mișca B.R.H.; Ozunu A.; Introducere în ingineria mediului, Ed. Presa Universitară Clujeană, 2006.

- [44]. Mișca B.R.H.; Procese de transport și transfer, (pentru Facultatea de Biologie), Ed. Presa universitară Clujeană, 2014.
- [45]. Mișca B.R.H.; Procese de transport și transfer, (pentru Facultatea de Biologie), Ed. Presa Universitară Clujeană, 2014, (format electronic),
forma electronică a lucrării: <http://www.editura.ubbcluj.ro/bd/ebooks/pdf1696.pdf>
- [46]. Ozunu A., Mișca B.R.H., Introducere în proiectarea instalațiilor chimice, Ed. Genesis, 1995.
- [47] Literat L., Ghirișan A.L., R.H.; Fenomene de transfer și utilaje în industria chimică, Îndrumător de lucrări practice, Ed. UBB Cluj-Napoca, 1991.
- [48] Mișca B.R.H., Manciula D., Ozunu A.; Caiet de lucrări practice pentru ingineria mediului; Ed. Presa Universitară Clujeană, Cluj-Napoca. 2009.
- [49]. Cristea G., Melega C., Ciucă P., Timaru F.; Proiectarea instalațiilor tehnologice în industria chimică; Ed. Tehnică, București, 1965.



ISBN: 978-606-37-0418-5